

การศึกษาอินพีแดนซ์ภายในของแหล่งจ่ายไฟแบบสวิตซ์ชิ่ง
สำหรับการออกแบบวงจรกรองสัญญาณรบกวนทางแม่เหล็กไฟฟ้า

STUDY OF INPUT IMPEDANCE OF SWITCHED MODE POWER
SUPPLIES FOR EMI FILTER DESIGN



วิทยานิพนธ์นี้เป็นส่วนหนึ่งของการศึกษาตามหลักสูตรปริญญาวิศวกรรมศาสตรมหาบัณฑิต

สาขาวิชาวิศวกรรมไฟฟ้า

บัณฑิตศึกษาระดับ

สถาบันเทคโนโลยีพระจอมเกล้าเจ้าคุณทหารลาดกระบัง

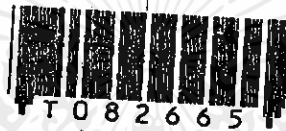
พ.ศ. 2551

KMITL-2008-EN-M-020-368

สำนักหอสมุดกลาง พระจอมเกล้าลาดกระบัง

การศึกษาอิมพีแดนซ์ภายในของแหล่งจ่ายไฟแบบสวิตซ์ซิ่ง
สำหรับการออกแบบวงจรกรองสัญญาณรบกวนทางแม่เหล็กไฟฟ้า

**STUDY OF INPUT IMPEDANCE OF SWITCHED MODE POWER
SUPPLIES FOR EMI FILTER DESIGN**



คทาวุธ เกียรติกำจร

KATAWOOT KIATGAMJORN

เลขหมู่.....
เลขทะเบียน..... 82665
วัน,เดือน,ปี 21 ก.ค. 2551

b.....
i.....

วิทยานิพนธ์นี้เป็นส่วนหนึ่งของการศึกษาตามหลักสูตรปริญญาวิศวกรรมศาสตรมหาบัณฑิต

เอกสารนี้เป็นเอกสารที่สงวนไว้สำหรับการใช้ภายในของสาขาวิชาวิศวกรรมไฟฟ้า ไม่อนุญาตให้นำไปใช้ประโยชน์ด้านการค้า

ไม่ว่ากรณีใดๆทั้งสิ้น อีกทั้งห้ามมิให้คัดแปลงเนื้อหาวิทยานิพนธ์นี้ไปยังเจ้าของเอกสารทุกครั้งที่มีการนำไปใช้

สถาบันเทคโนโลยีพระจอมเกล้าเจ้าคุณทหารลาดกระบัง

พ.ศ.2551

KMITL-2008-EN-M-020-368

**STUDY OF INPUT IMPEDANCE OF SWITCHED MODE POWER
SUPPLIES FOR EMI FILTER DESIGN**



KATAWOOT KIATGAMJORN

**A THESIS SUBMITTED IN PARTIAL FULFILLMENT
OF THE REQUIREMENT FOR THE DEGREE OF**

MASTER OF ENGINEERING IN ELECTRICAL ENGINEERING

SCHOOL OF GRADUATE STUDIES

KING MONGKUT'S INSTITUTE OF TECHNOLOGY LADKRABANG

2008

KMITL-2008-EN-M-020-368



เอกสารนี้เป็นเอกสารที่สงวนไว้สำหรับการใช้งานเพื่อการศึกษาเท่านั้น "ไม่อนุญาตให้นำไปใช้ประโยชน์ด้านการค้า

COPYRIGHT 2008

ไม่ว่ากรณีใดๆ ทั้งสิ้น ซึ่งหากมีให้คัดแปลงเนื้อหา และต้องอ้างอิงถึงเจ้าของเอกสารทุกครั้งที่มีการนำไปใช้

SCHOOL OF GRADUATE STUDIES

KING MONGKUT'S INSTITUTE OF TECHNOLOGY LADKRABANG

บัณฑิตวิทยาลัย
สถาบันเทคโนโลยีพระจอมเกล้าเจ้าคุณทหารลาดกระบัง
ใบรับรองวิทยานิพนธ์

หัวข้อวิทยานิพนธ์ การศึกษาอิมพีแดนซ์ภายในของแหล่งจ่ายไฟแบบสวิตซ์ซิงสำหรับการออกแบบ
วงจรกรองสัญญาณรบกวนทางแม่เหล็กไฟฟ้า

Study of Input Impedance of Switched Mode Power Supplies for EMI Filter
Design

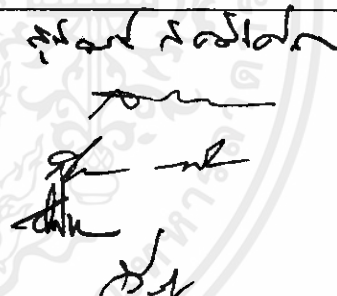
นักศึกษา นายคทาวุธ เกียรติกิจาร

รหัสประจำตัว 48060209

ปริญญา วิศวกรรมศาสตรมหาบัณฑิต

สาขาวิชา วิศวกรรมไฟฟ้า

อาจารย์ที่ปรึกษาวิทยานิพนธ์ รศ.ร.อ.ดร.วีระเชษฐ ชันเงิน

คณะกรรมการสอบวิทยานิพนธ์		ลายมือชื่อ
ผศ.ดร.สุพัฒน์	กิตติรัตน์สังจา	
ดร.สมยศ	เกียรติวนิชวิไล	
ดร.สมภพ	ผลไม้	
รศ.ดร.วิบูลย์	ชันแขก	
รศ.ร.อ.ดร.วีระเชษฐ	ชันเงิน	

วัน/เดือน/ปี ที่สอบ 13 พฤษภาคม 2551 เวลา 09.00-11.00 น.

สถานที่สอบ ณ ห้องประชุม 2 ชั้น 3 อาคาร A



เอกสารนี้เป็นเอกสารที่สงวนไว้สำหรับการใช้งานเพื่อการศึกษาเท่านั้น **คณะบัณฑิตวิทยาลัย** ระโชชน์ด้านการค้า
ไม่ว่ากรณีใดๆทั้งสิ้น อีกทั้งห้ามมิให้คัดแปลงเนื้อที่วันที่...**30**...เดือน...**พฤษภาคม**...พ.ศ...**2551**...นี้

หัวข้อวิทยานิพนธ์	การศึกษาอิมพีแดนซ์ภายในของแหล่งจ่ายไฟแบบสวิตซ์ซิง สำหรับการออกแบบวงจรกรองสัญญาณรบกวนทาง แม่เหล็กไฟฟ้า
นักศึกษา	นายคทาวุธ เกียรติกำจร
รหัสนักศึกษา	48060209
ปริญญา	วิศวกรรมศาสตรมหาบัณฑิต
สาขาวิชา	วิศวกรรมไฟฟ้า
พ.ศ.	2551
อาจารย์ผู้ควบคุมวิทยานิพนธ์	รศ.ดร.วีระเชษฐ์ ชันเงิน

บทคัดย่อ

วิทยานิพนธ์นี้นำเสนอเกี่ยวกับวิธีการหาค่าอิมพีแดนซ์ภายใน ของแหล่งจ่ายไฟแบบสวิตซ์ซิง โดยวิธีการใช้การลดทอนสัญญาณรบกวนทางแม่เหล็กไฟฟ้า โดยใช้หลักการของการลดทอนสัญญาณรบกวน ของวงจรกรองสัญญาณรบกวนทางแม่เหล็กไฟฟ้า และนำเสนอเกี่ยวกับการออกแบบวงจรกรองสัญญาณรบกวนทางแม่เหล็กไฟฟ้า โดยวิธีการใช้ค่าอิมพีแดนซ์ภายในของแหล่งจ่ายไฟแบบสวิตซ์ซิงในการช่วยออกแบบ อิมพีแดนซ์ภายในของแหล่งจ่ายไฟแบบสวิตซ์ซิง โหมดผลรวม และอิมพีแดนซ์ภายในของแหล่งจ่ายไฟแบบสวิตซ์ซิงโหมดผลต่างนั้น เป็นพารามิเตอร์ที่สำคัญ ในการออกแบบวงจรกรองสัญญาณรบกวนทางแม่เหล็กไฟฟ้า ให้ความสามารถในการลดทอนสัญญาณรบกวนสูงสุด โดยการหาค่าอิมพีแดนซ์ของระบบนั้น มีความสำคัญในการออกแบบและวิเคราะห์วงจรกรองสัญญาณรบกวนทางแม่เหล็กไฟฟ้า โดยมีผลทดลองยืนยัน โดยทำการเปรียบเทียบกับวิธีการหาค่าความถี่หักมุม (Corner Frequency) โดยมีวงจรชุดคอนเวอร์เตอร์ขนาด 60 วัตต์เป็นแหล่งกำเนิดสัญญาณรบกวน โดยมีการตรวจวัดสัญญาณในโหมดผลรวม และโหมดผลต่าง เพื่อยืนยันผลการทดลอง

Thesis Title	Study of Input Impedance of Switched Mode Power Supplies for EMI Filter Design
Student	Mr. Katawoot Kiatgamjorn
Student ID	48060209
Degree	Master of Engineering (Electrical Engineering)
Programme	Electrical Engineering
Year	2008
Thesis Advisor	Assoc. Prof. Dr. Werachet Khan-ngern

ABSTRACT

This thesis presents the input impedance measurement technique of a switching mode power supply (SMPS) by the insertion loss approach. The insertion loss approach with the assumption condition is described. The input impedance of switching mode power supply for electromagnetic interference filter design is proposed. The common mode input impedance and the differential mode input impedance of switching mode power supply are the key parameters which can be used to design the EMI filter effectively. In addition, the calculating impedance will be very useful for the EMI filter design and analysis comparing with corner frequency method. The result can be confirmed by differential mode and common mode experiments based on Cuk converter 60 W, as an EMI source.

คำสำคัญของวิทยานิพนธ์

อิมพีแดนซ์ภายใน

อัตราการลดทอนสัญญาณรบกวน

วงจรกรองสัญญาณรบกวนทางแม่เหล็กไฟฟ้า

Keywords

Input Impedance

Insertion Loss

Electromagnetic Interference Filter



เอกสารนี้เป็นเอกสารที่สงวนไว้สำหรับการใช้งานเพื่อการศึกษาเท่านั้น ไม่อนุญาตให้นำไปใช้ประโยชน์ด้านการค้า
ไม่ว่ากรณีใดๆทั้งสิ้น อีกทั้งห้ามมิให้คัดแปลงเนื้อหา และต้องอ้างอิงถึงเจ้าของเอกสารทุกครั้งที่มีการนำไปใช้

กิตติกรรมประกาศ

วิทยานิพนธ์ฉบับนี้สำเร็จได้ด้วยดี จากคำแนะนำ จาก รศ. ดร. วีระเชษฐ ชันเงิน ซึ่งเป็นอาจารย์ผู้ควบคุมวิทยานิพนธ์ ผู้ซึ่งให้ทั้งโอกาสและความรู้รวมถึงประสบการณ์ในหลายๆ ด้าน ที่ได้จากอาจารย์รวมถึงคำแนะนำต่างๆ ที่มีคุณค่าทั้งในด้านวิชาการและในด้านการดำเนินชีวิต สำหรับอาจารย์ที่ปรึกษา ข้าพเจ้ารู้สึกซาบซึ้งในความอนุเคราะห์ และขอขอบพระคุณเป็นอย่างสูง

ขอขอบคุณ อาจารย์วุฒิพล ธาราธิ์เศรษฐ์ เป็นอย่างสูงยิ่ง ที่คอยให้คำแนะนำและแนวความคิดที่เป็นประโยชน์ต่องานวิจัยเสมอมา

ขอขอบคุณ อาจารย์ปวิวัติ บุญมา ที่เป็นที่พักพิงในทุกด้านแก่น้องคนนี้เสมอมา

ขอขอบคุณ พี่ๆ และน้องๆ ในห้องวิจัยความเข้ากันได้ทางแม่เหล็กไฟฟ้าทุกๆ คน ที่เคยร่วมทุกข์ร่วมสุขกันมา ทำให้ผมได้เห็นซึ่งความสามัคคีเมื่อยามที่ร่วมมือกันทำงานที่หนักให้สำเร็จด้วยดี

ขอขอบคุณ นางสาวปานิสรา ประยูรรวงศ์ ที่ให้คำปรึกษาด้านต่างๆ ที่เป็นประโยชน์ และเป็นกำลังใจที่ดีเสมอมา

ขอขอบคุณทุกท่านที่ให้กำลังใจและความช่วยเหลือ ซึ่งไม่อาจกล่าวถึงได้หมดในที่นี้

สุดท้ายนี้ผมขอกราบขอบพระคุณ คุณพ่อมนตรี, คุณแม่พนิดา เกียรติกำจร และ นางสาวภัทรี เกียรติกำจร พี่สาวผู้มีพระคุณยิ่ง ท่านเหล่านี้ผู้ให้กำลังใจ สนับสนุนในทุกๆ เรื่อง ให้ความรัก ความเชื่อใจและเข้าใจ รวมถึงทุกๆ คนในครอบครัวที่คอยให้กำลังใจและเข้าใจผมตลอดมา

ศทาวุธ เกียรติกำจร

เอกสารนี้เป็นเอกสารที่สงวนไว้สำหรับการใช้งานเพื่อการศึกษาเท่านั้น ไม่อนุญาตให้นำไปใช้ประโยชน์ด้านการค้า ไม่ว่าจะกรณีใดๆ ทั้งสิ้น อีกทั้งห้ามมิให้คัดแปลงเนื้อหา และต้องอ้างอิงถึงเจ้าของเอกสารทุกครั้งที่มีการนำไปใช้

สารบัญ

	หน้า
บทคัดย่อภาษาไทย.....	I
บทคัดย่อภาษาอังกฤษ.....	II
คำสำคัญของวิทยานิพนธ์	III
กิตติกรรมประกาศ.....	IV
สารบัญ.....	V
สารบัญรูป.....	IX
สารบัญตาราง.....	XIII
บทที่ 1 บทนำ.....	1
1.1 ความเป็นมาของงานวิจัย.....	1
1.2 เพราะเหตุใดปัญหานี้ถึงน่าสนใจ.....	1
1.3 เปรียบเทียบกับหลักการที่มีอยู่เดิม.....	2
1.4 วัตถุประสงค์ของงานวิจัย.....	2
1.5 ขอบเขตของงานวิจัย.....	2
1.6 ขั้นตอนการวิจัย.....	2
บทที่ 2 ทฤษฎีพื้นฐานความเข้ากันได้ทางแม่เหล็กไฟฟ้า.....	4
2.1 ความเข้ากันได้ทางแม่เหล็กไฟฟ้า.....	4
2.2 รูปแบบการรบกวนแม่เหล็กไฟฟ้าทางสายตัวนำ.....	6
2.3 มาตรฐานและการวัดสัญญาณรบกวนทางแม่เหล็กไฟฟ้าทางสายตัวนำ.....	8
2.3.1 ตัวอย่างมาตรฐานสำหรับความเข้ากันได้ทางแม่เหล็กไฟฟ้า.....	8
2.3.2 วิธีการวัดและทดสอบสัญญาณรบกวนทางแม่เหล็กไฟฟ้าทางสายตัวนำ.....	10
2.3.3 การจัดวางอุปกรณ์ (ตามมาตรฐาน มอก. 1956-2542 ข้อ 8.4).....	15
2.4 การวัดและเครื่องมือวัดที่ใช้ในงานวิจัย.....	17
2.5 สรุปภาพรวมทฤษฎีพื้นฐานความเข้ากันได้ทางแม่เหล็กไฟฟ้า.....	18
บทที่ 3 วงจรกรองสัญญาณรบกวนแม่เหล็กไฟฟ้า.....	19
3.1 บทนำ.....	19

สารบัญ (ต่อ)

	หน้า
3.2 ความสำคัญของอิมพีแดนซ์ภายในของแหล่งจ่ายไฟฟ้าแบบสวิตซ์ซึ่งต่อการ ออกแบบวงจรกรองสัญญาณรบกวนทางแม่เหล็กไฟฟ้า.....	19
3.3 วิธีการหาอิมพีแดนซ์ภายในของแหล่งจ่ายไฟฟ้าแบบสวิตซ์ซึ่ง.....	27
3.3.1 การหาค่าอิมพีแดนซ์ภายในของแหล่งจ่ายไฟแบบสวิตซ์ซึ่งโดยวิธีใช้ การลดทอนสัญญาณรบกวน.....	28
3.3.2 วิธีทดสอบรีโซแนนซ์ (Resonance Method).....	30
3.3.3 วิธีการใช้โพรบกระแส 2 ตัว (2 Current Probes Method).....	33
3.4 บทสรุป.....	35
บทที่ 4 การออกแบบวงจรกรองสัญญาณรบกวนแม่เหล็กไฟฟ้า.....	37
4.1 การออกแบบวงจรกรองสัญญาณรบกวนแม่เหล็กไฟฟ้า.....	37
4.1.1 สร้างแหล่งกำเนิดสัญญาณรบกวนแม่เหล็กไฟฟ้า.....	38
4.1.2 การพันตัวเหนี่ยวนำโหมคผลร่วมและโหมคผลต่าง.....	39
4.1.3 ขั้นตอนออกแบบวงจรกรองสัญญาณรบกวนแม่เหล็กไฟฟ้า.....	46
4.2 การคำนวณหาค่าการออกแบบและส่วนประกอบของวงจรกรองสัญญาณ รบกวนแม่เหล็กไฟฟ้า.....	49
4.2.1. การคำนวณค่าการออกแบบวงจรกรองสัญญาณรบกวน แม่เหล็กไฟฟ้า.....	50
4.2.2 สรุปการหาค่าส่วนประกอบของวงจรกรองสัญญาณรบกวน แม่เหล็กไฟฟ้าที่มีรูปแบบการพันตัวเหนี่ยวนำโหมคผลร่วมและโหมค ผลต่าง.....	54
4.2.3 ตรวจสอบการทำงานของแกนเหล็กที่ใช้พันตัวเหนี่ยวนำโหมคผล ร่วมและโหมคผลต่าง.....	55
4.3 การลดทอนสัญญาณรบกวนแม่เหล็กไฟฟ้าของรูปแบบการพันตัวเหนี่ยวนำ โหมคผลร่วมและโหมคผลต่าง.....	57
บทที่ 5 การออกแบบวงจรกรองสัญญาณรบกวนแม่เหล็กไฟฟ้าโดยใช้อิมพีแดนซ์ภายใน แหล่งจ่ายไฟฟ้าแบบสวิตซ์ซึ่ง.....	59
5.1 บทนำ.....	59

สารบัญ (ต่อ)

	หน้า
5.2 การออกแบบวงจรกรองสัญญาณรบกวนแม่เหล็กไฟฟ้า โดยใช้อิมพีแดนซ์ ภายในแหล่งจ่ายไฟแบบสวิตซ์ซิ่ง.....	60
บทที่ 6 ผลการทดลองและการวิเคราะห์.....	74
6.1 การทดลองด้านความเข้ากันได้ทางแม่เหล็กไฟฟ้า.....	74
6.1.1 ผลการทดสอบวัดสัญญาณแม่เหล็กไฟฟ้าทางสายตัวนำของวงจรชุด คอนเวอร์เตอร์.....	75
6.1.2 การทดสอบวงจรกรองสัญญาณรบกวนแม่เหล็กไฟฟ้า ณ จุดที่ สัญญาณรบกวนแม่เหล็กไฟฟ้าทางสายตัวนำที่มีค่าเกินมาตรฐาน.....	77
6.1.3 การทดสอบวงจรกรองสัญญาณรบกวนแม่เหล็กไฟฟ้า เมื่อกระแส ไหลเท่ากับ 0.25 แอมแปร์.....	86
6.2 สรุปผลการทดสอบวงจรกรองสัญญาณรบกวนแม่เหล็กไฟฟ้า.....	91
บทที่ 7 สรุปผลการวิจัย และข้อเสนอแนะ.....	92
7.1 สรุปผลการวิจัย.....	92
7.1.1 สรุปการหาอิมพีแดนซ์ภายในของแหล่งจ่ายไฟแบบสวิตซ์ซิ่ง.....	92
7.1.2 สรุปการออกแบบวงจรกรองสัญญาณรบกวนแม่เหล็กไฟฟ้าทาง สายตัวนำ.....	92
7.1.3 การสรุปงานวิจัยในด้านอื่นๆ.....	96
7.2 ข้อเสนอแนะ.....	96
บรรณานุกรม.....	98
ภาคผนวก.....	99
ภาคผนวก ก การวัดสัญญาณรบกวนทางแม่เหล็กไฟฟ้าในตัวนำตามมาตรฐาน CISPR 11 และ CISPR 22.....	99
ภาคผนวก ข วงจรชุดคอนเวอร์เตอร์.....	106
ภาคผนวก ค ข้อมูลแกนเหล็ก.....	113
ภาคผนวก ง ผลงานวิจัยที่ได้รับการตีพิมพ์เผยแพร่.....	118

สารบัญ (ต่อ)

ประวัติผู้เขียน.....

หน้า

130



เอกสารนี้เป็นเอกสารที่สงวนไว้สำหรับการใช้งานเพื่อการศึกษาเท่านั้น ไม่อนุญาตให้นำไปใช้ประโยชน์ด้านการค้า
ไม่ว่ากรณีใดๆทั้งสิ้น อีกทั้งห้ามมิให้คัดแปลงเนื้อหา และต้องอ้างอิงถึงเจ้าของเอกสารทุกครั้งที่มีการนำไปใช้

สารบัญ

รูปที่	หน้า
1.1	3
2.1	4
2.2	5
2.3	6
2.4	9
2.5	10
2.6	11
2.7	11
2.8	11
2.9	12
2.10	13
2.11	16
2.12	17
2.13	18
3.1	20
3.2	20
3.3	22
3.4	23
3.5	23
3.6	24
3.7	25
3.8	26
3.9	26

สารบัญญรูป (ต่อ)

รูปที่		หน้า
3.10	การต่ออิมพีแดนซ์ภายในของแหล่งจ่ายและโหลดที่เหมาะสมสำหรับวงจรกรองสัญญาณรบกวน โดยใช้ตัวเก็บประจุและตัวเหนี่ยวนำ.....	27
3.11	แสดงการหาค่าอิมพีแดนซ์ภายในของแหล่งจ่ายไฟแบบสวิดซ์ซิง โดยวิธีการลดทอนสัญญาณรบกวนแม่เหล็กไฟฟ้า.....	28
3.12	วงจรรีโซแนนซ์แบบขนาน.....	31
3.13	การวัดค่าอิมพีแดนซ์ภายในของแหล่งจ่ายไฟฟ้าแบบสวิดซ์ซิง โดยวิธีทดสอบรีโซแนนซ์.....	32
3.14	วงจรในการตรวจวัดค่าอิมพีแดนซ์โดยวิธีการใช้โพรบกระแส 2 ตัว.....	33
3.15	วงจรสมมูลย์ของโพรบจ่ายสัญญาณ.....	33
3.16	วงจรสมมูลย์การตรวจวัดค่าอิมพีแดนซ์โดยวิธีการใช้โพรบกระแส 2 ตัว.....	34
4.1	วงจรกรองสัญญาณรบกวนแม่เหล็กไฟฟ้า.....	38
4.2	วงจรชุกคอนเวอร์เตอร์.....	39
4.3	วงจรกรองสัญญาณรบกวนแม่เหล็กไฟฟ้าแบบทั่วไป.....	40
4.4	วงจรสมมูลย์ของคอนเวอร์เตอร์ของแหล่งจ่ายสัญญาณรบกวนที่โหมคต่างๆ.....	41
4.5	การหาค่าการลดทอนสัญญาณรบกวนโหมคผลรวม.....	43
4.6	การหาค่าการลดทอนสัญญาณรบกวนโหมคผลต่าง.....	45
4.7	ขั้นตอนการออกแบบวงจรกรองสัญญาณรบกวนแม่เหล็กไฟฟ้า.....	46
4.8	ตัวอย่างการหาค่าจุดเปลี่ยนความถี่.....	48
4.9	การออกแบบของวงจรกรองสัญญาณรบกวนแม่เหล็กไฟฟ้า.....	49
4.10	สัญญาณรบกวนโหมคผลรวมที่ได้จากการวัด.....	50
4.11	สัญญาณรบกวนโหมคผลต่างที่ได้จากการวัด.....	50
4.12	การลดทอนสัญญาณรบกวน และค่าจุดเปลี่ยนความถี่โหมคผลรวม $f_{r,CM}$	51
4.13	การลดทอนสัญญาณรบกวน และค่าจุดเปลี่ยนความถี่โหมคผลต่าง $f_{r,DM}$	52
4.14	ค่าส่วนประกอบของวงจรกรองสัญญาณรบกวนแม่เหล็กไฟฟ้าแบบทั่วไป.....	54
5.1	แสดงขั้นตอนการออกแบบวงจรกรองสัญญาณรบกวนแม่เหล็กไฟฟ้า โดยการใช้อิมพีแดนซ์ภายในแหล่งจ่ายไฟฟ้าแบบสวิดซ์ซิง.....	60
5.2	วงจรชุกคอนเวอร์เตอร์ที่ใช้ทดสอบ.....	61
5.3	การติดตั้งเพื่อทดสอบสัญญาณรบกวนแม่เหล็กไฟฟ้า.....	62

สารบัญรูปรูป (ต่อ)

รูปที่		หน้า
5.4	สัญญาณรบกวน โหมดผลรวมของชุดคอนเวอร์เตอร์.....	62
5.5	สัญญาณรบกวน โหมดผลต่างของชุดคอนเวอร์เตอร์.....	62
5.6	วงจรทดสอบอิมพีแดนซ์ภายในของแหล่งจ่ายไฟฟ้าแบบสวิตซ์ซิงโหมดผลรวม...	63
5.7	วงจรทดสอบอิมพีแดนซ์ภายในของแหล่งจ่ายไฟฟ้าแบบสวิตซ์ซิงโหมดผลต่าง...	63
5.8	อุปกรณ์ที่ใช้การลดทอนสัญญาณรบกวนแม่เหล็กไฟฟ้า.....	64
5.9	อิมพีแดนซ์อุปกรณ์ที่ใช้ทดสอบหาการลดทอนสัญญาณรบกวน.....	65
5.10	อิมพีแดนซ์ภายใน โหมดผลรวมของชุดคอนเวอร์เตอร์.....	66
5.11	อิมพีแดนซ์ภายใน โหมดผลต่างของชุดคอนเวอร์เตอร์.....	67
5.12	วงจรกรองสัญญาณรบกวนแม่เหล็กไฟฟ้าโหมดผลรวม.....	67
5.13	วงจรกรองสัญญาณรบกวนแม่เหล็กไฟฟ้าโหมดผลต่าง.....	69
5.14	การวัดค่าเหนี่ยวนำที่ขดลวดปฐมภูมิ.....	69
5.15	การวัดค่าเหนี่ยวนำรั่วไหลที่ขดลวดปฐมภูมิ.....	69
5.16	วงจรกรองสัญญาณรบกวนแม่เหล็กไฟฟ้าโหมดผลรวม.....	71
5.17	ค่าของส่วนประกอบของวงจรกรองสัญญาณรบกวนแม่เหล็กไฟฟ้าโหมดผลรวม	71
6.1	เส้นขีดจำกัดมาตรฐานของ CISPR 22 Class B.....	74
6.2	สัญญาณรบกวน โหมดผลรวมขณะที่ไม่ใส่วงจรกรอง.....	75
6.3	สัญญาณรบกวน โหมดผลต่างขณะที่ไม่ใส่วงจรกรอง.....	76
6.4	สัญญาณรบกวน โหมดผลรวมขณะที่ไม่ใส่วงจรกรอง.....	76
6.5	คุณสมบัติของแกนเหล็กชนิดเฟอร์ไรต์.....	77
6.6	คุณสมบัติของแกนเหล็กชนิดผงโลหะ.....	77
6.7	ผลการทดสอบวงจรกรองสัญญาณรบกวนที่มีการออกแบบโดยใช้วิธีจุดเปลี่ยน ความถี่.....	79
6.8	ผลการทดสอบวงจรกรองสัญญาณรบกวนที่มีการออกแบบโดยใช้อิมพีแดนซ์ ภายในของแหล่งจ่ายไฟฟ้าแบบสวิตซ์ซิง.....	80
6.9	สัญญาณรบกวน โหมดผลรวมของการออกแบบทั้ง 2 แบบ.....	81
6.10	เปรียบเทียบสัญญาณรบกวน โหมดผลรวม.....	81
6.11	สัญญาณรบกวน โหมดผลต่างของการออกแบบทั้ง 2 แบบ.....	82
6.12	เปรียบเทียบสัญญาณรบกวน โหมดผลต่าง.....	82
6.13	สัญญาณรบกวน โหมดผลรวมของการออกแบบทั้ง 2 แบบ.....	83

สารบัญญรูป (ต่อ)

รูปที่		หน้า
6.14	เปรียบเทียบสัญญาณรบกวน โหมดผลรวม.....	83
6.15	เปรียบเทียบสัญญาณรบกวน โหมดผลรวมขณะมีวงจรรองกับไม่มีวงจรรอง....	84
6.16	เปรียบเทียบสัญญาณรบกวน โหมดผลต่างขณะมีวงจรรองกับไม่มีวงจรรอง.....	85
6.17	เปรียบเทียบสัญญาณรบกวน โหมดผลรวมขณะมีวงจรรองกับ ไม่มีวงจรรอง....	85
6.18	สัญญาณรบกวน โหมดผลรวม.....	86
6.19	เปรียบเทียบสัญญาณรบกวน โหมดผลรวม.....	87
6.20	สัญญาณรบกวน โหมดผลต่าง.....	87
6.21	เปรียบเทียบสัญญาณรบกวน โหมดผลต่าง.....	88
6.22	สัญญาณรบกวน โหมดผลรวม.....	88
6.23	เปรียบเทียบสัญญาณรบกวน โหมดผลรวม.....	89
6.24	เปรียบเทียบสัญญาณรบกวน โหมดผลรวมขณะมีวงจรรองกับ ไม่มีวงจรรอง....	90
6.25	เปรียบเทียบสัญญาณรบกวน โหมดผลต่างขณะมีวงจรรองกับ ไม่มีวงจรรอง....	90
6.26	เปรียบเทียบสัญญาณรบกวน โหมดผลรวมขณะมีวงจรรองกับ ไม่มีวงจรรอง....	91
7.1	อุปกรณ์ในวงจรรองสัญญาณรบกวนแม่เหล็กไฟฟ้า ที่ออกแบบโดยการใช้จุดเปลี่ยนความถี่.....	93
7.2	ผลการตอบสนองความถี่ของอุปกรณ์ที่ใช้ในการออกแบบวงจรรองด้วยวิธีการใช้จุดเปลี่ยนความถี่.....	94
7.3	อุปกรณ์ในวงจรรองสัญญาณรบกวนแม่เหล็กไฟฟ้า ที่ออกแบบโดยการใช้อิมพีแดนซ์ภายในของแหล่งจ่ายไฟฟ้าแบบสวิตซ์ซิง.....	95
7.4	ผลการตอบสนองความถี่ของอุปกรณ์ที่ใช้ในการออกแบบวงจรรองด้วยวิธีการใช้อิมพีแดนซ์ภายในของแหล่งจ่ายไฟฟ้าแบบสวิตซ์ซิง.....	96

เอกสารนี้เป็นเอกสารที่สงวนไว้สำหรับการใช้งานเพื่อการศึกษาเท่านั้น ไม่อนุญาตให้นำไปใช้ประโยชน์ด้านการค้า
ไม่ว่ากรณีใดๆทั้งสิ้น อีกทั้งห้ามมิให้คัดแปลงเนื้อหา และต้องอ้างอิงถึงเจ้าของเอกสารทุกครั้งที่มีการนำไปใช้

สารบัญตาราง

ตารางที่		หน้า
4.1	พิกัดของวงจรชุกคอนเวอร์เตอร์ (Cúk converter).....	38
5.1	อัตราการลดทอนสัญญาณรบกวนแม่เหล็กไฟฟ้า.....	66
6.1	ผลการทดสอบสัญญาณรบกวนแม่เหล็กไฟฟ้าในโหมดต่างๆ	84
6.2	ผลการทดสอบสัญญาณรบกวนแม่เหล็กไฟฟ้าในโหมดต่างๆ.....	89



เอกสารนี้เป็นเอกสารที่สงวนไว้สำหรับการใช้งานเพื่อการศึกษาเท่านั้น ไม่อนุญาตให้นำไปใช้ประโยชน์ด้านการค้า
ไม่ว่ากรณีใดๆทั้งสิ้น อีกทั้งห้ามมิให้คัดแปลงเนื้อหา และต้องอ้างอิงถึงเจ้าของเอกสารทุกครั้งที่มีการนำไปใช้

บทที่ 1

บทนำ

1.1 ความเป็นมาของงานวิจัย

ปัญหาของสัญญากรบวงแม่เหล็กไฟฟ้าทางสายตัวนำ ที่เกิดจากแหล่งจ่ายไฟสวิตซ์ซึ่งนั้น จะไม่สามารถบอกได้ว่า สัญญากรบวงแม่เหล็กไฟฟ้าที่เกิดขึ้นเป็นผลมาจากตัวอุปกรณ์หรือเกิด จากวงจรไฟฟ้า ซึ่งโดยทั่วไปจะใช้วงจรกรงสัญญากรบวงแม่เหล็กไฟฟ้าในการลดทอนสัญญากรบวงแม่เหล็กไฟฟ้า ดังนั้นจึงต้องพัฒนาวงจรกรงสัญญากรบวงแม่เหล็กไฟฟ้า ให้มีขีดความสามารถในการลดทอนสัญญากรบวงแม่เหล็กไฟฟ้าโหมดผลรวมและโหมดผลต่างได้สูง จึงมีแนวความคิดที่จะออกแบบวงจรกรงสัญญากรบวงแม่เหล็กไฟฟ้าทางสายตัวนำ ที่สามารถลดทอนสัญญากรบวงแม่เหล็กไฟฟ้าได้สูงที่สุด โดยในการออกแบบวงจรกรงสัญญากรบวงแม่เหล็กไฟฟ้านั้น สนใจเพียงความถี่ที่ต้องการจะลดสัญญากรบวงในการออกแบบเท่านั้น โดยไม่ให้ความสำคัญกับอิมพีแดนซ์ภายในของแหล่งจ่ายไฟแบบสวิตซ์ซิง งานวิจัยนี้จึงให้ความสำคัญกับอิมพีแดนซ์ภายในของแหล่งจ่ายไฟฟ้าแบบสวิตซ์ซิง ในการใช้ออกแบบวงจรกรงสัญญากรบวงทางแม่เหล็กไฟฟ้า

1.2 เพราะเหตุใดปัญหานี้ถึงน่าสนใจ

ปัจจุบันการออกแบบวงจรกรงสัญญากรบวงแม่เหล็กไฟฟ้านั้น จะทำการวัดสัญญากรบวงแม่เหล็กไฟฟ้าทางสายตัวนำที่เกิดจากวงจรแหล่งจ่ายไฟฟ้าแบบสวิตซ์ซิง และทำการคำนวณหาค่าของอุปกรณ์ของวงจรกรงจากการหาโดยวิธีใช้จุดเปลี่ยนความถี่ และในการหาค่าของอุปกรณ์ของวงจรกรงโดยวิธีนี้ไม่ได้ให้ความสำคัญต่อ อิมพีแดนซ์ภายในของแหล่งจ่ายไฟฟ้าแบบสวิตซ์ซิง ซึ่งจะตั้งสมมติฐานเพียงว่าเป็นอิมพีแดนซ์ที่มีค่าสูงในการวิเคราะห์โหมดผลรวม ส่วนในโหมดผลต่างในสถานะที่ไดโอดทำงานจะเป็นอิมพีแดนซ์ที่มีค่าต่ำ และเมื่อไดโอดไม่ทำงานอิมพีแดนซ์ภายในจะมีค่าสูง ไม่ได้คำนึงถึงค่าอิมพีแดนซ์ภายในจริงที่เกิดขึ้นจริง จึงอาจทำให้ผลของการลดทอนสัญญากรบวงไม่ได้ตามที่คำนวณไว้ ดังนั้นจึงได้นำเสนอวิธีการออกแบบวงจรกรงสัญญากรบวงแม่เหล็กไฟฟ้า โดยใช้อิมพีแดนซ์ภายในของแหล่งจ่ายไฟฟ้าแบบสวิตซ์ซิงมาช่วยในการออกแบบทั้งนี้เพื่อให้ได้การลดทอนสัญญากรบวงแม่เหล็กไฟฟ้า ณ ความถี่ที่ต้องการลดค่าได้อย่างมีประสิทธิภาพมากขึ้น

1.3 เปรียบเทียบกับหลักการที่มีอยู่เดิม

ในวิทยานิพนธ์นี้จะเป็นการพัฒนาวงจรกรองสัญญาณรบกวนแม่เหล็กไฟฟ้า ให้สามารถลดทอนสัญญาณรบกวนแม่เหล็กไฟฟ้าได้สูง โดยใช้อิมพีแดนซ์ภายในของแหล่งจ่ายไฟแบบสวิตซ์จริงจริงที่หาได้จากการทดลองมาใช้ในการออกแบบ วงจรกรองสัญญาณรบกวนทางแม่เหล็กไฟฟ้า เปรียบเทียบกับการออกแบบวงจรกรองสัญญาณรบกวนทางแม่เหล็กไฟฟ้าเดิมที่ใช้อยู่ คือการตั้งสมมติฐานเกี่ยวกับอิมพีแดนซ์ภายในของแหล่งจ่ายไฟแบบสวิตซ์จริง เป็นเพียงอิมพีแดนซ์ภายในที่มีค่าสูง และอิมพีแดนซ์ภายในที่มีค่าต่ำ

1.4 วัตถุประสงค์ของงานวิจัย

- 1) ศึกษาการหาค่าอิมพีแดนซ์ภายในของแหล่งจ่ายไฟฟ้าแบบสวิตซ์จริง
- 2) ศึกษาความสำคัญของอิมพีแดนซ์ภายในที่มีต่อการออกแบบวงจรกรองสัญญาณรบกวนทางแม่เหล็กไฟฟ้า
- 3) ออกแบบวงจรกรองสัญญาณรบกวนทางแม่เหล็กไฟฟ้าโดยใช้อิมพีแดนซ์ภายในของแหล่งจ่ายไฟฟ้าแบบสวิตซ์จริง
- 4) เปรียบเทียบการลดทอนของสัญญาณรบกวนทางแม่เหล็กไฟฟ้าระหว่างการออกแบบโดยใช้จุดเปลี่ยนความถี่ และการใช้อิมพีแดนซ์ภายในของแหล่งจ่ายไฟฟ้าแบบสวิตซ์จริง

1.5 ขอบเขตของงานวิจัย

- 1) นำเสนอการออกแบบวงจรกรองสัญญาณรบกวนแม่เหล็กไฟฟ้าทางสายตัวนำโดยการใช้อิมพีแดนซ์ภายในของแหล่งจ่ายไฟฟ้าแบบสวิตซ์จริงเปรียบเทียบกับ การออกแบบโดยการใช้ corner frequency
- 2) หากการตอบสนองความถี่ของอิมพีแดนซ์ภายในของแหล่งจ่ายไฟฟ้าแบบสวิตซ์จริง
- 3) หา Margin ของระดับสัญญาณรบกวนแม่เหล็กไฟฟ้ากับ เส้นมาตรฐาน EN 55022

1.6 ขั้นตอนการวิจัย

ขั้นตอนในการศึกษานี้แบ่งเป็นขั้นตอนหลักดังแผนภูมิในรูปที่ 1.1 โดยครอบคลุมเนื้อหาสำหรับวิทยานิพนธ์ฉบับนี้ซึ่งมีทั้งหมด 7 บทด้วยกัน คือ

บทที่ 1 บทนำ จะกล่าวถึงความเป็นมาของงานวิจัย, วัตถุประสงค์ของงานวิจัย, แนวความคิดของงานวิจัย, และขอบเขตของงานวิจัย

บทที่ 2 ความเข้ากันได้ทางแม่เหล็กไฟฟ้า จะประกอบด้วยนิยามความเข้ากันได้ทางแม่เหล็กไฟฟ้า, องค์ประกอบและปรากฏการณ์ของความเข้ากันได้ทางแม่เหล็กไฟฟ้า, สัญญาณรบกวนแม่เหล็กไฟฟ้าในวงจรอิเล็กทรอนิกส์กำลังทางสายตัวนำและมาตรฐานความเข้ากันได้แม่เหล็กไฟฟ้าทางสายตัวนำ

บทที่ 3 อิมพีแดนซ์ภายในของแหล่งจ่ายไฟฟ้าแบบสวิตซ์ซิ่ง จะกล่าวถึงความสำคัญของอิมพีแดนซ์ภายในของแหล่งจ่ายไฟฟ้าแบบสวิตซ์ซิ่งต่อการออกแบบวงจรกรองสัญญาณรบกวนทางแม่เหล็กไฟฟ้า และวิธีการหาอิมพีแดนซ์ภายในของแหล่งจ่ายไฟฟ้าแบบสวิตซ์ซิ่ง

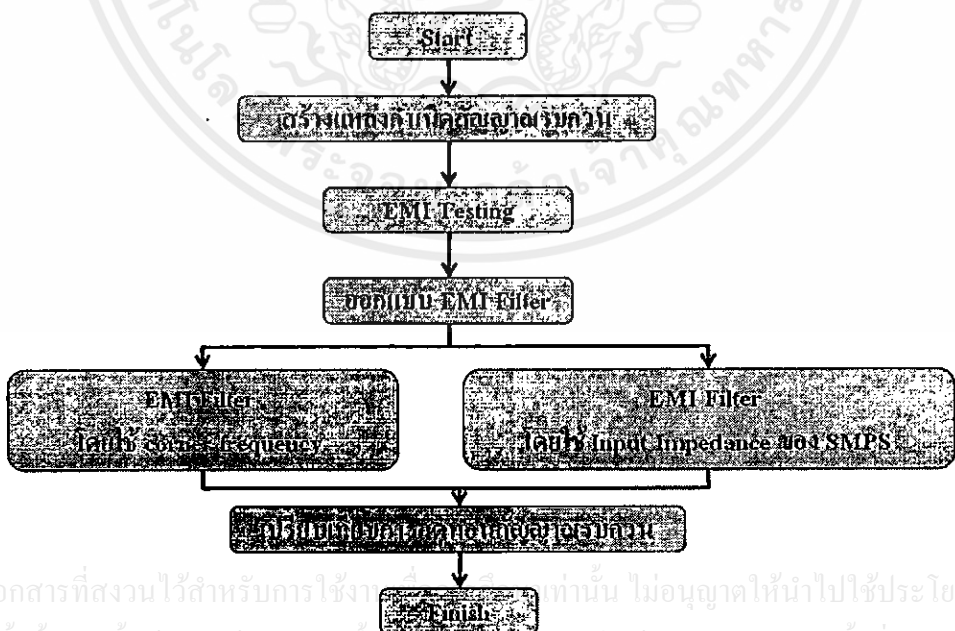
บทที่ 4 วงจรกรองสัญญาณรบกวนแม่เหล็กไฟฟ้า ประกอบด้วยคุณลักษณะของวงจรกรองสัญญาณรบกวนแม่เหล็กไฟฟ้า, หลักการทำงานของวงจรกรองสัญญาณรบกวนแม่เหล็กไฟฟ้า และการขึ้นตอนออกแบบวงจรกรองสัญญาณรบกวนแม่เหล็กไฟฟ้า

บทที่ 5 การออกแบบวงจรกรองสัญญาณรบกวนแม่เหล็กไฟฟ้าโดยใช้อิมพีแดนซ์ภายในแหล่งจ่ายไฟ จะกล่าวถึง การออกแบบวงจรกรองสัญญาณรบกวนแม่เหล็กไฟฟ้าโดยใช้อิมพีแดนซ์ภายในแหล่งจ่ายไฟแบบสวิตซ์ซิ่ง

บทที่ 6 การทดลองและการวิเคราะห์การเกิดสัญญาณรบกวนแม่เหล็กไฟฟ้าทางสายตัวนำ ประกอบด้วย การทดลองการเกิดสัญญาณรบกวนแม่เหล็กไฟฟ้าทางสายตัวนำ และการวิเคราะห์การเกิดสัญญาณรบกวนแม่เหล็กไฟฟ้าทางสายตัวนำ

บทที่ 7 สรุปผลการวิจัยและข้อเสนอแนะ

โดยขั้นตอนของการวิจัยแสดงในรูปที่ 1.1



รูปที่ 1.1 ขั้นตอนของการวิจัย

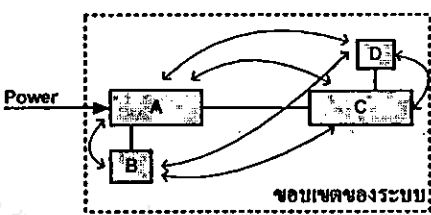
บทที่ 2

ทฤษฎีพื้นฐานความเข้ากันได้ทางแม่เหล็กไฟฟ้า

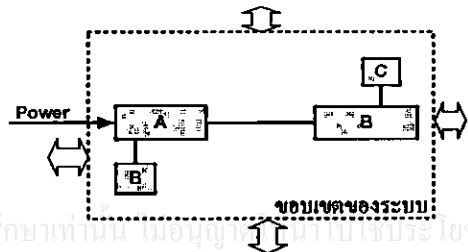
สัญญาณรบกวนแม่เหล็กไฟฟ้าทางสายตัวนำ ที่เกิดขึ้นจากอุปกรณ์อิเล็กทรอนิกส์หรือแหล่งจ่ายกำลังไฟฟ้าแบบสวิตชิ่งนั้นจะสามารถอธิบายให้เข้าใจได้ก็ต่อเมื่อ ทราบถึงสาเหตุการเกิดสัญญาณรบกวนแม่เหล็กไฟฟ้าทางสายตัวนำ และมีความเข้าใจพฤติกรรมการเกิดของสัญญาณรบกวนแม่เหล็กไฟฟ้าทางสายตัวนำด้วย ดังนั้นในบทนี้จะเป็นการกล่าวถึงนิยามของความเข้ากันได้ทางแม่เหล็กไฟฟ้า (electromagnetic compatibility: EMC) รูปแบบการเกิดสัญญาณรบกวนทางแม่เหล็กไฟฟ้า และอธิบายถึงหลักการพื้นฐานของการเกิดสัญญาณรบกวนทางแม่เหล็กไฟฟ้า รวมทั้งกล่าวถึงมาตรฐานในการวัดสัญญาณรบกวนทางแม่เหล็กไฟฟ้าโดยสังเขป

2.1 ความเข้ากันได้ทางแม่เหล็กไฟฟ้า

ความเข้ากันได้ทางแม่เหล็กไฟฟ้า หมายถึง ความสามารถของอุปกรณ์ (device) เครื่องมือ (equipment) หรือระบบ (system) ที่สามารถทำงานรวมกันได้เป็นปกติในสภาวะแวดล้อมที่มีคลื่นแม่เหล็กไฟฟ้า โดยไม่ก่อให้เกิดความเสียหาย หรือผลกระทบใดๆ ต่ออุปกรณ์ เครื่องมือ หรือระบบ ที่ทำงานในสภาวะสิ่งแวดล้อมแม่เหล็กไฟฟ้าเดียวกัน แต่เมื่อเกิดความเสียหายหรือการทำงานผิดพลาดจะเรียกว่า สัญญาณรบกวนทางแม่เหล็กไฟฟ้า (electromagnetic interference: EMI) หมายถึง การที่อุปกรณ์ เครื่องมือ หรือระบบ เกิดการทำงานผิดพลาด หรือเกิดความเสียหายซึ่งมีสาเหตุมาจากการรบกวนทางแม่เหล็กไฟฟ้า โดยปกติรูปแบบของความเข้ากันได้ทางแม่เหล็กไฟฟ้านั้น สามารถแบ่งออกได้เป็น 2 ประเภท คือ ความเข้ากันได้ทางแม่เหล็กไฟฟ้าภายในระบบเดียวกัน (intra-system EMC) และ ความเข้ากันได้ทางแม่เหล็กไฟฟ้ากับระบบภายนอก (inter-system EMC) [1] ดังในรูปที่ 2.1



ระบบ



ระบบภายนอก

รูปที่ 2.1 ความเข้ากันได้ทางแม่เหล็กไฟฟ้า

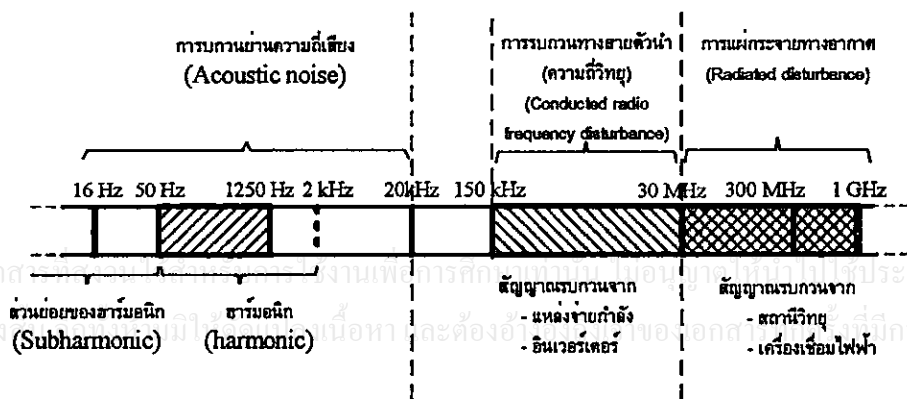
ก) ความเข้ากันได้ทางแม่เหล็กไฟฟ้าภายในระบบ คือความสามารถของส่วนประกอบภายในระบบเดียวกันสามารถทำงานได้ ในสภาวะแวดล้อมที่เกิดการรบกวนแม่เหล็กไฟฟ้า ที่เกิดจากอุปกรณ์ภายในระบบ ดังแสดงในรูปที่ 2.1 (ก)

ข) ความเข้ากันได้ทางแม่เหล็กไฟฟ้ากับระบบภายนอก คือความสามารถในการทำงานของระบบทั้งระบบที่สามารถทำงานได้ในสภาวะแวดล้อม ที่เกิดการรบกวนแม่เหล็กไฟฟ้าจากระบบอื่น และตัวระบบเองไม่สร้างสัญญาณรบกวนทางแม่เหล็กไฟฟ้า ดังแสดงในรูปที่ 2.1 (ข)

โดยทั่วไปการรบกวนทางแม่เหล็กไฟฟ้า สามารถแบ่งออกได้หลายรูปแบบตามย่านความถี่ดังแสดงในรูปที่ 2.2 จะแสดงการรบกวนทางแม่เหล็กไฟฟ้าที่ความถี่ในย่าน 0 Hz ถึง 2 kHz จะจัดอยู่ในย่านการรบกวนทางแม่เหล็กไฟฟ้าความถี่ต่ำหรือที่นิยมเรียกกันว่า “ฮาร์มอนิก” (harmonics) ซึ่งจะมีผลทำให้สัญญาณรูปคลื่นแรงดันไฟฟ้าจากระบบไฟฟ้ากำลังมีความผิดเพี้ยนไปจากสัญญาณไซน์และนอกจากนั้นยังเพิ่มความสูญเสียในระบบไฟฟ้ากำลังอีกด้วย

สำหรับความถี่ในย่าน 1.25 kHz ถึง 150 kHz ในปัจจุบัน (ค.ศ. 2004) ยังไม่จัดว่าเป็นปัญหาที่จะต้องแก้ไขด้วยวิศวกรทางด้านความเข้ากันได้ทางแม่เหล็กไฟฟ้า (EMC engineers) แต่อย่างไรก็ตามมาตรฐานนานาชาติหลายฉบับได้ขยายย่านความถี่ฮาร์มอนิก ให้ครอบคลุมถึงย่านความถี่ดังกล่าวบ้างแล้ว [2]

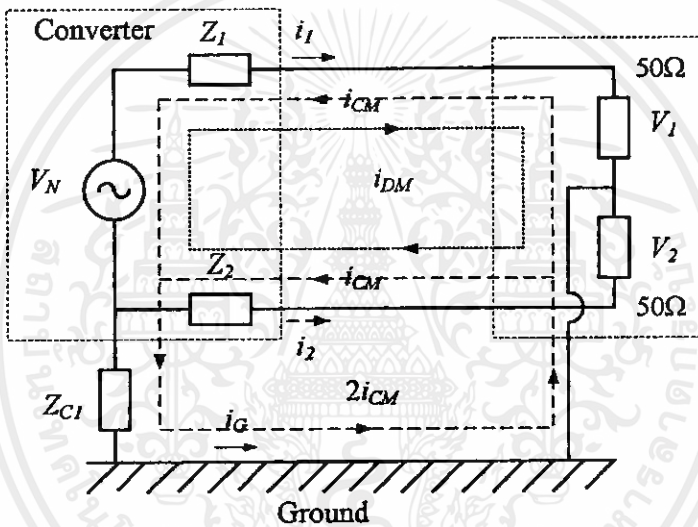
ส่วนย่านความถี่ของการรบกวนทางแม่เหล็กไฟฟ้าหรือบางครั้งจะเรียกแทนว่าการรบกวนความถี่วิทยุ (radio frequency disturbance) จะจัดอยู่ในการรบกวนทางแม่เหล็กไฟฟ้าความถี่สูงโดยเริ่มพิจารณาความถี่ตั้งแต่ 150 kHz ถึง 1 GHz สามารถแบ่งออกได้เป็นสองแบบด้วยกันคือ ที่ความถี่ตั้งแต่ 150 kHz ถึง 30 MHz จะพิจารณาว่าเป็นสัญญาณรบกวนแม่เหล็กไฟฟ้าทางสายตัวนำ (conducted EMI) และย่านความถี่ตั้งแต่ 30 MHz ถึง 1 GHz จะพิจารณาว่าเป็นสัญญาณรบกวนแม่เหล็กไฟฟ้าทางอากาศ (radiated EMI) ซึ่งทั้งสองแบบจะมีรูปแบบในการรบกวนและวิธีในการตรวจจับสัญญาณรบกวนแม่เหล็กไฟฟ้าที่แตกต่างกัน [3] ดังแสดงในรูปที่ 2.2



รูปที่ 2.2 ย่านความถี่ของการรบกวนทางแม่เหล็กไฟฟ้า [2]

2.2 รูปแบบการรบกวนแม่เหล็กไฟฟ้าทางสายตัวนำ

การเกิดสัญญาณรบกวนแม่เหล็กไฟฟ้าในสายตัวนำ ที่เกิดจากการทำงานของวงจรอิเล็กทรอนิกส์กำลังหรือแหล่งจ่ายกำลังไฟฟ้าแบบสวิตชิง ของอุปกรณ์สารกึ่งตัวนำที่มีการสวิตชิงที่ความถี่สูง ทำให้มีการเปลี่ยนแปลงแรงดันต่อเวลา (dv/dt) ซึ่งจะเกิดในช่วงเริ่มหยุดนำกระแส และผลของการเปลี่ยนแปลงกระแสต่อเวลา (di/dt) ซึ่งจะเกิดในช่วงเริ่มนำกระแส จะส่งผลให้การเกิดสัญญาณรบกวนแม่เหล็กไฟฟ้าในสายตัวนำ โดยการเกิดสัญญาณรบกวนทางแม่เหล็กไฟฟ้าทางตัวนำนั้น สามารถแบ่งออกเป็น 2 ชนิดด้วยกันคือ การเกิดสัญญาณรบกวนแม่เหล็กไฟฟ้าโหมดผลรวม (common mode: CM) และการเกิดสัญญาณรบกวนแม่เหล็กไฟฟ้าโหมดผลต่าง (differential mode: DM)



รูปที่ 2.3 เส้นทางของสัญญาณรบกวนแม่เหล็กไฟฟ้าทางสายตัวนำ [4-5]

จากรูปที่ 2.3 แสดงการเกิดสัญญาณรบกวนแม่เหล็กไฟฟ้าทางสายตัวนำ และเพื่อให้ง่ายในการอธิบายจากรูป จึงแสดงทิศทางของกระแสในสายตัวนำและสายนิวตรอนเทียบกับสายกราวด์ โดยใช้คอนเวอร์เตอร์ (V_N) เป็นแหล่งกำเนิดสัญญาณรบกวน (noise source) โดยมีตัวต้านทาน 50 Ω จำนวน 2 ตัว เป็นโหลดของสัญญาณรบกวน โดยเส้นสีแดงจะแสดงทิศทางกระแสไฟฟ้าโหมดผลรวม (common mode current: i_{CM}) ซึ่งกระแสไฟฟ้าโหมดผลรวมจะเป็นกระแสไฟฟ้าที่ไหลจากแหล่งกำเนิดสัญญาณรบกวน ทั้งสายตัวนำและสายนิวตรอน ผ่านทางตัวเก็บประจุแผ่นลงกราวด์หรือ ผ่านทางส่วนอื่นๆ ที่มีการเชื่อมต่อระหว่างแหล่งกำเนิดสัญญาณรบกวนกับกราวด์ และจากในรูปเส้นสีน้ำเงิน จะแสดงทิศทางกระแสไฟฟ้าโหมดผลต่าง (differential mode current: i_{DM}) ซึ่งกระแสไฟฟ้าโหมดผลต่าง จะเป็นกระแสที่ไหลจากแหล่งกำเนิดสัญญาณรบกวนผ่านสายตัวนำ แล้วไหลกลับครบวงจรผ่านสายนิวตรอน โดยจะไม่

ไหลผ่านกราวด์ดังในรูปที่ 2.3 และกระแสไฟฟ้าโหมคผลรวมและกระแสไฟฟ้าโหมคผลต่างที่ไหลจะสามารถหาได้ ดังสมการที่ (2.1) ถึง (2.3)

$$i_1 = -i_{CM} + i_{DM} \quad (2.1)$$

$$i_2 = -i_{CM} - i_{DM} \quad (2.2)$$

$$i_G = 2i_{CM} \quad (2.3)$$

- เมื่อ i_1 คือ กระแสไฟฟ้าที่ไหลในสายตัวนำ
 i_2 คือ กระแสไฟฟ้าที่ไหลในสายนิวตรอน
 i_G คือ กระแสไฟฟ้าที่ไหลผ่านกราวด์
 i_{CM} คือ กระแสไฟฟ้าโหมคผลรวม
 i_{DM} คือ กระแสไฟฟ้าโหมคผลต่าง
 Z_1 คือ ค่าอิมพีแดนซ์ของสายตัวนำ
 Z_2 คือ ค่าอิมพีแดนซ์ของสายนิวตรอน
 Z_{C1} คือ ค่าอิมพีแดนซ์ระหว่างคอนเวอร์เตอร์กับกราวด์

สำหรับแรงดันไฟฟ้าที่ตกคร่อมตัวต้านทาน 50Ω คือแรงดันไฟฟ้า v_1 และ v_2 จะคำนวณได้จากกระแสที่ไหลผ่านตัวต้านทานทั้งสอง ดังในสมการที่ (2.4) และ (2.5)

$$v_1 = 50 \times (-i_{CM} + i_{DM}) \quad (2.4)$$

$$v_2 = 50 \times (-i_{CM} - i_{DM}) \quad (2.5)$$

จากสมการที่ (2.4) และ (2.5) จะได้แรงดันไฟฟ้าโหมคผลรวมและโหมคผลต่าง ดังในสมการที่ (2.6) และ (2.7) โดยแรงดันไฟฟ้าโหมคผลรวมจะคำนวณจากผลคูณของกระแสโหมคผลรวมที่ไหลผ่านตัวต้านทาน 50Ω และส่วนแรงดันไฟฟ้าโหมคผลต่าง จะคำนวณจากผลคูณของกระแสโหมคผลต่างที่ไหลผ่านตัวต้านทาน 50Ω ดังในสมการที่ (2.6) และ (2.7)

$$v_{CM} = -50i_{CM} = \frac{v_1 + v_2}{2} \quad (2.6)$$

$$v_{DM} = 50i_{DM} = \frac{v_1 - v_2}{2} \quad (2.7)$$

- เมื่อ v_{CM} คือ แรงดันไฟฟ้าโหมคผลรวม
 v_{DM} คือ แรงดันไฟฟ้าโหมคผลต่าง

จากสมการที่ (2.6) และ (2.7) จะคำนวณหาค่าแรงดันไฟฟ้า v_1 และ v_2 ได้จาก ผลรวม หรือผลต่างของแรงดันไฟฟ้าโหมคผลรวมและโหมคผลต่าง ดังสมการที่ (2.8) และ (2.9)

$$v_1 = v_{CM} + v_{DM} \quad (2.8)$$

$$v_2 = v_{CM} - v_{DM} \quad (2.9)$$

ข้อสำคัญคือแรงดันไฟฟ้า v_1 และ v_2 คือ แรงดันไฟฟ้าที่ตกคร่อมตัวต้านทาน 50Ω ทั้งด้านสายตัวนำและสายนิวตรอน ซึ่งขนาดแอมพลิจูดของสเปกตรัม (spectrum) ของแรงดันทั้งด้านสายตัวนำและสายนิวตรอนในย่านความถี่การใช้งาน จะต้องไม่เกินเส้นขีดจำกัดมาตรฐานของสัญญาณรบกวนแม่เหล็กไฟฟ้าทางสายตัวนำกำหนด

2.3 มาตรฐานและการวัดสัญญาณรบกวนทางแม่เหล็กไฟฟ้าทางสายตัวนำ

ผลิตภัณฑ์ไฟฟ้าที่ใช้อยู่ในปัจจุบัน เกือบจะทั้งหมดต้องผ่านการทดสอบที่เกี่ยวกับความเข้ากันได้ทางแม่เหล็กไฟฟ้าไม่ว่าจะเป็นการรบกวนทางสายตัวนำหรือแพร่ทางอากาศ และในการทดสอบและการวัดให้เป็นไปในทิศทางเดียวกัน จึงได้มีการกำหนดมาตรฐานสำหรับการวัดและการทดสอบผลิตภัณฑ์ โดยมาตรฐานที่ใช้มีจะอยู่หลายมาตรฐาน มีทั้งมาตรฐานนานาชาติ มาตรฐานของภูมิภาคหรือมาตรฐานของประเทศนั้นๆ สำหรับวิธีการวัดและวิธีการติดตั้ง จำเป็นต้องใช้อุปกรณ์และเครื่องมือตามมาตรฐานนานาชาติกำหนด และผลิตภัณฑ์ไฟฟ้าที่ผ่านการทดสอบตามมาตรฐานนั้น ไม่ได้หมายความว่าไม่มีสัญญาณรบกวนเกิดขึ้น เพียงแต่เป็นการจำกัดขนาดของสัญญาณรบกวนให้อยู่ในระดับที่ยอมรับได้ ตามมาตรฐานของประเทศนั้นๆ และในหัวข้อต่อไปจะแสดงตัวอย่างของมาตรฐานที่ใช้อยู่ในปัจจุบัน

2.3.1 ตัวอย่างมาตรฐานสำหรับความเข้ากันได้ทางแม่เหล็กไฟฟ้า

1) FCC REGULATIONS

FCC ย่อมาจาก Federal Communications Commission เป็นของประเทศสหรัฐอเมริกาที่ทำการออกกฎข้อบังคับสำหรับอุปกรณ์สื่อสาร (wire and radio communications) โดยสามารถแบ่งออกได้เป็นสามส่วนใหญ่ๆ ด้วยกันกล่าวคือ Part 15 สำหรับอุปกรณ์ความถี่วิทยุ (radio-frequency devices) Part 18 สำหรับอุตสาหกรรม วิทยาศาสตร์ และอุปกรณ์ทางการแพทย์ และ Part 68 สำหรับอุปกรณ์ที่ต่ออยู่กับระบบ โทรศัพท์ (telephone network)

2) CISPR

CISPR ย่อมาจากภาษาฝรั่งเศสคือ (Comite International Special des Perturbations Radioelectrique) ซึ่งเกิดขึ้นเมื่อปี ค.ศ. 1933 เพื่อหาวิธีการวัดและขีดจำกัดของการรบกวนในย่าน

ความถี่วิทยุสำหรับนานาชาติ นอกจากนั้นตัว CISPR ไม่ได้เป็นกฎข้อบังคับหรือมาตรฐานบังคับใช้แต่อย่างใด แต่มาตรฐานดังกล่าวจะถูกดัดแปลงโดยรัฐบาลของแต่ละประเทศให้เป็นมาตรฐานบังคับใช้ภายในประเทศ จึงกลายเป็นมาตรฐานสากลไปโดยปริยาย โดยมาตรฐาน CISPR Publication 22 เป็นการออกมาเพื่อการควบคุมสัญญาณรบกวนที่เกิดจากกรณีของบริภัณฑ์เทคโนโลยีสารสนเทศ (information technology equipment)

3) มาตรฐานทางการทหาร (Military standards)

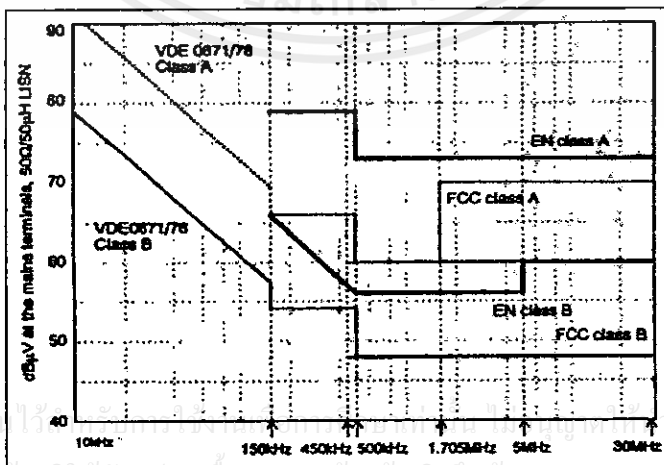
MIL-STD-461B และ MIL-STD-462 เป็นมาตรฐานที่ออกโดยการทหารของประเทศสหรัฐอเมริกา โดยที่ MIL-STD-461B กำหนดเส้นขีดจำกัด (Limit) และ MIL-STD-462 จะกำหนดขั้นตอนและวิธีการทดสอบ โดยที่มาตรฐานดังกล่าวจะมีรายละเอียดมากกว่าและเข้มงวดกว่า FCC และย่านความถี่ที่พิจารณาจะกว้างกว่าอีกด้วย

4) VDE

VDE ย่อมาจาก Verband Deutscher Elektrotechniker ซึ่งเป็นมาตรฐานของประเทศเยอรมัน ซึ่งในประเทศเยอรมันได้กำหนดไว้ว่าอุปกรณ์ที่มีความถี่ในการทำงานสูงกว่า 10 kHz จะไม่สามารถนำมาใช้ได้ถ้าไม่มีใบอนุญาต ทำให้โรงงานในประเทศเยอรมันทั้งหมดต้องมีการทดสอบสินค้าตามมาตรฐานดังกล่าว ซึ่งมาตรฐานของประเทศเยอรมันดังกล่าวจะคล้ายกับมาตรฐานของยุโรป ยกเว้นเพียงแต่ย่านความถี่ที่พิจารณาจะมีความแตกต่างกัน

5) มาตรฐานผลิตภัณฑ์อุตสาหกรรม (มอก.)

ในด้านที่เกี่ยวข้องกับความเข้ากันได้ทางแม่เหล็กไฟฟ้า สำหรับประเทศไทยได้มีการเริ่มต้นนำมาตรฐานนานาชาติ (IEC) มาปรับปรุงแก้ไขโดยอ้างอิงจากมาตรฐาน CISPR 15 ที่เกี่ยวกับบริภัณฑ์ส่องสว่าง สำหรับ CISPR 22 ที่เกี่ยวข้องกับบริภัณฑ์ทางด้านเทคโนโลยีสารสนเทศและมัลติมีเดีย และอยู่ในระหว่างการพิจารณาที่จะมีการบังคับใช้ในประเทศไทย



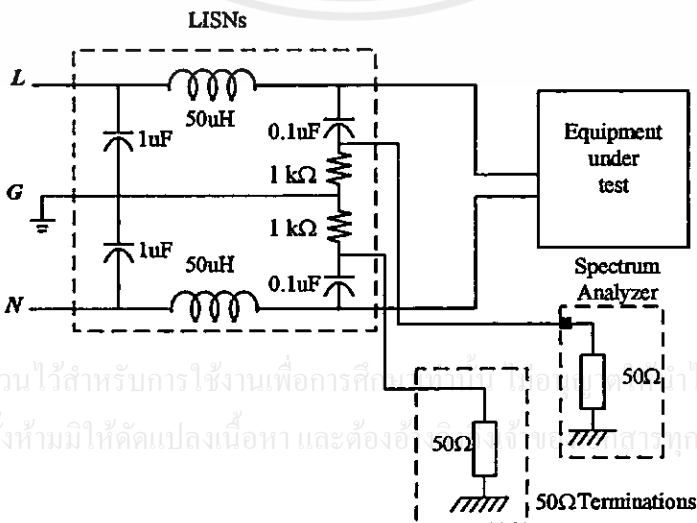
รูปที่ 2.4 ตัวอย่างเส้นขีดจำกัดและย่านความถี่ของมาตรฐานที่มาตรฐานสายตัวนำ

จากรูปที่ 2.4 จะแสดงเส้นขีดจำกัดของมาตรฐาน VDE, FCC และ EN ทั้ง Class A และ Class B รวมทั้งย่านความถี่ที่ใช้ในการทดสอบตั้งแต่ 10 kHz – 30 MHz

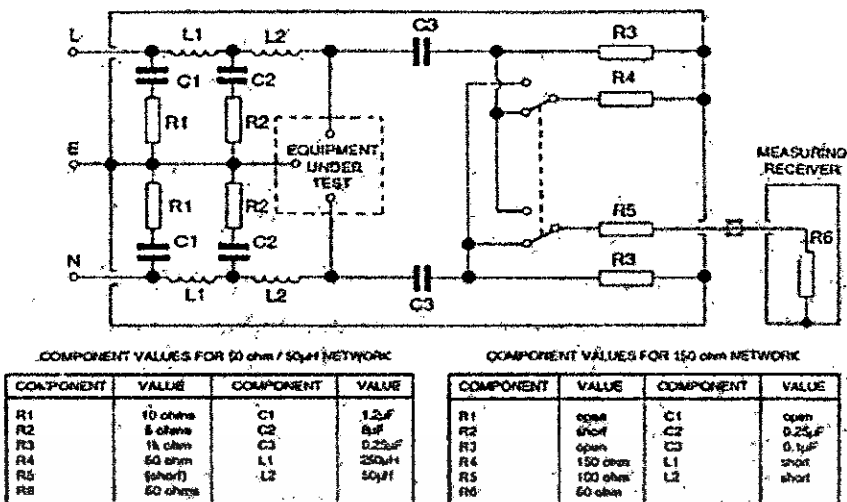
2.3.2 วิธีการวัดและทดสอบสัญญาณรบกวนทางแม่เหล็กไฟฟ้าทางสายตัวนำ

ในขั้นตอนนี้จะเป็นการนำเสนอวิธีการวัดและการทดสอบสัญญาณรบกวนแม่เหล็กไฟฟ้าทางสายตัวนำ พร้อมกับการใช้งานของโครงข่ายรักษาเสถียรภาพอิมพีแดนซ์ (Line Impedance Stabilization Network: LISN) ดังในรูปที่ 2.5 จะแสดงการวัดค่าสัญญาณรบกวนแม่เหล็กไฟฟ้าทางสายตัวนำโดยใช้ LISN พร้อมกับการใช้เครื่องวิเคราะห์สเปกตรัม (spectrum analyzer) และหน้าที่หลักของ LISN มีอยู่ 3 ด้าน คือ หนึ่ง กำหนดค่าอิมพีแดนซ์มาตรฐาน 50Ω ที่ความถี่สูงสำหรับผลิตภัณฑ์ที่ใช้ในการทดสอบ EUT (equipment under test) สอง ส่งผ่านสัญญาณรบกวนแม่เหล็กไฟฟ้าทางสายตัวนำไปยังผลิตภัณฑ์ที่ใช้ในการทดสอบ สาม กำจัดสัญญาณรบกวนแม่เหล็กไฟฟ้า อื่นๆ ที่ไม่ได้มาจากผลิตภัณฑ์ที่ใช้ในการทดสอบ ดังในรูปที่ 2.5 และจากรูปจะแสดงวิธีการวัดสัญญาณรบกวนแม่เหล็กไฟฟ้าโดยใช้ spectrum analyzer และแสดงการต่อตัวความต้านทาน 50Ω termination เพื่อที่จะรักษาอิมพีแดนซ์ระหว่างสายนิวตรอนกับกราวด์ให้คงที่ที่ 50Ω

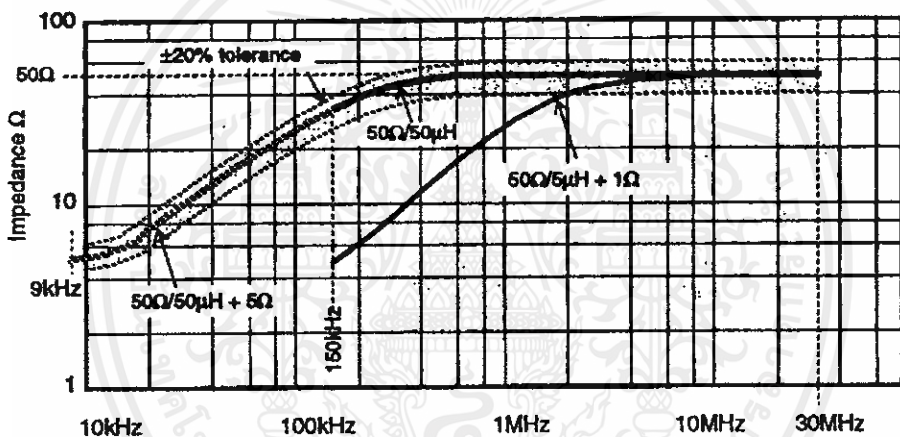
จากรูปที่ 2.6 จะแสดงวงจรของ LISN ตามมาตรฐาน CISPR [6] กำหนดและแสดงค่าส่วนประกอบต่างๆ ที่ใช้ในวงจรของ LISN โดยจะใช้งานในย่านความถี่ 9 kHz ถึง 30 MHz และจากรูปความต้านทาน R6 ที่ต่ออยู่จะเป็นของเครื่องวัดสเปกตรัม หรือ measuring receiver พร้อมกับแสดงจุดต่อไปยังผลิตภัณฑ์ที่ใช้ในการทดสอบ และจากรูปที่ 2.7 จะแสดงกราฟค่าอิมพีแดนซ์ต่อความถี่ของ LISN และในย่านความถี่ 9 kHz ถึง 30 MHz จะมีค่าอิมพีแดนซ์ เท่ากับ 50Ω และมีค่าผิดพลาด $\pm 20 \%$



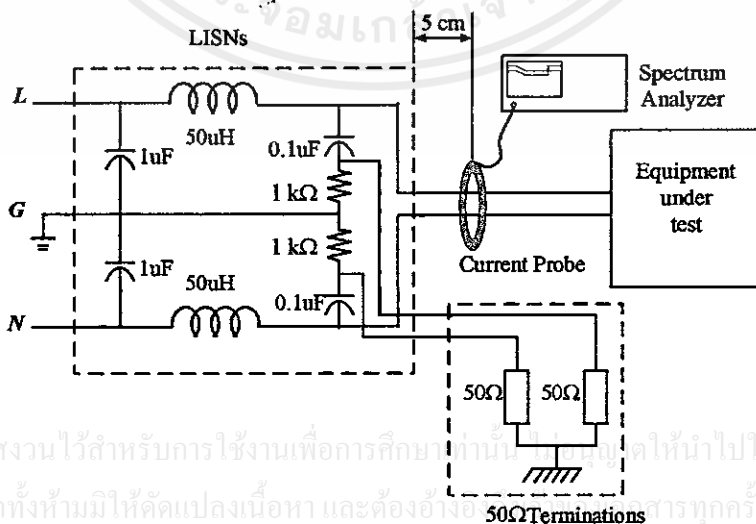
รูปที่ 2.5 การวัดค่าสัญญาณรบกวนแม่เหล็กไฟฟ้าทางสายตัวนำโดยใช้ LISN



รูปที่ 2.6 วงจรของ LISN ตามมาตรฐาน CISPR [6]

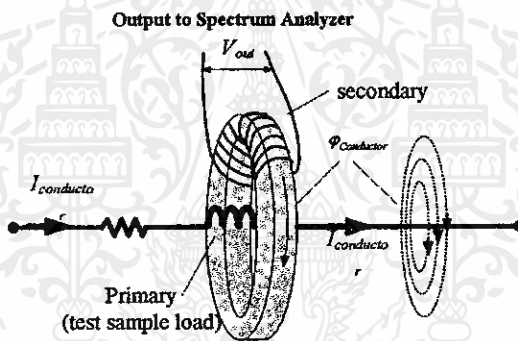


รูปที่ 2.7 อิมพีแดนซ์ต่อความถี่ของ LISN ตามมาตรฐาน CISPR [6]



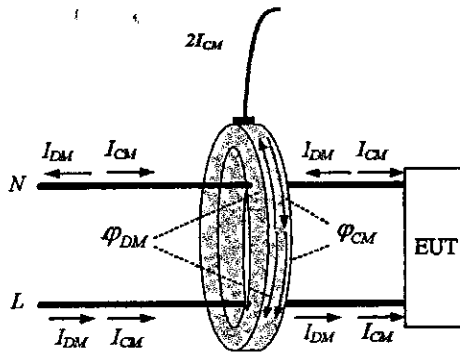
รูปที่ 2.8 การวัดค่าสัญญาณรบกวนแม่เหล็กไฟฟ้าทางสายตัวนำโดยใช้โพรบกระแส [7]

จากรูปที่ 2.8 จะแสดงการวัดค่าสัญญาณรบกวนแม่เหล็กไฟฟ้าทางสายตัวนำโดยใช้โพรบกระแส (Current Probe) [7] โดยโพรบกระแสที่ใช้วัดจะเป็นโพรบกระแสที่สามารถใช้งานในย่านความถี่สูง และสามารถรักษาค่าทรานส์เฟอร์อิมพีแดนซ์ ให้คงที่ในตลอดย่านความถี่ใช้งาน และการใช้โพรบกระแสสามารถวัดสัญญาณรบกวนโหมดผลรวม โหมดผลต่างและโหมดผลรวมได้ ซึ่งจะมีประโยชน์ในการวิเคราะห์การเกิดสัญญาณรบกวน และการออกแบบวงจรกรองสัญญาณรบกวนแม่เหล็กไฟฟ้า และตามมาตรฐาน MIL STD 462 ในการวัดสัญญาณรบกวนโดยใช้โพรบกระแสนั้น จะต้องวางโพรบกระแสให้ห่างจาก LISN ประมาณ 5 cm และที่ขั้วของการวัดจะทำการต่อตัวต้านทาน 50Ω termination 2 ตัว ที่ขั้วทั้งสองเพื่อให้รักษาค่าอิมพีแดนซ์ระหว่างสายตัวนำกับกราวด์ และสายนิวตรอนกับกราวด์เท่ากับ 50Ω ดังในรูปที่ 2.8 และที่สำคัญในการวัดสัญญาณรบกวนแม่เหล็กไฟฟ้าทางสายตัวนำโดยการใช้โพรบกระแสนั้น จะต้องทำการใส่ค่าชดเชยของโพรบกระแสที่ใช้ในนั้นๆ เข้าที่เครื่องมือวัด spectrum analyzer และในการวัดสัญญาณรบกวนโดยใช้โพรบกระแสสามารถอธิบายได้ ดังในรูปที่ 2.9

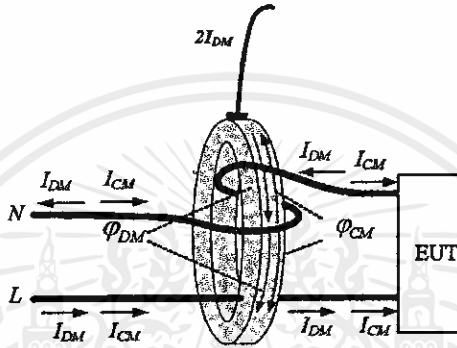


รูปที่ 2.9 การวัดโดยใช้โพรบกระแส

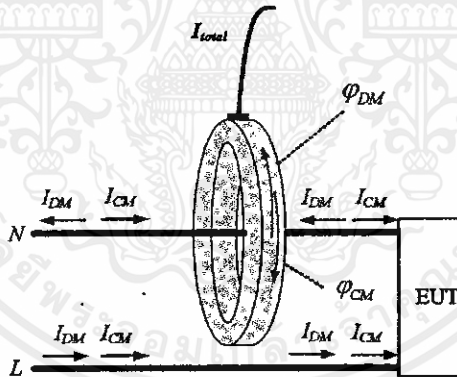
ในรูปที่ 2.9 จะแสดงโครงสร้างการทำงานและการวัดกระแสไฟฟ้าโดยใช้โพรบกระแส กล่าวคือ ขณะที่สายตัวนำมีกระแสไฟฟ้าไหล $I_{conductor}$ จะทำให้เกิดฟลักซ์แม่เหล็ก $\Phi_{conductor}$ ที่สายตัวนำที่มีทิศทางของฟลักซ์แม่เหล็ก ดังในรูปที่ 2.9 ตามกฎมือขวา (Right Hand's Rule) ที่เปรียบเสมือนขดลวดปฐมภูมิ (primary) และเมื่อนำโพรบกระแส ที่เปรียบเสมือนขดลวดทุติยภูมิ (secondary) ไปคล้องที่สายตัวนำ นั้นจะทำให้เกิดการเกี่ยวค้องของฟลักซ์แม่เหล็กระหว่างสายตัวนำกับโพรบกระแส ทำให้เกิดสัญญาณในรูปของแรงดันไฟฟ้า V_{out} ที่ขั้วด้านออกของขดลวดทุติยภูมิ แล้วส่งไปยังเครื่องมือวัด spectrum analyzer ซึ่งในวัดสัญญาณรบกวนแม่เหล็กไฟฟ้าทางสายตัวนำที่โหมด สัญญาณรบกวนโหมดผลรวม โหมดผลต่าง และโหมดผลรวม โดยใช้ โพรบกระแสจะอธิบายได้จากรูปที่ 2.10



(ก) วัตกระแสไฟฟ้าโหมดผลรวม



(ข) วัตกระแสไฟฟ้าโหมดผลต่าง



(ค) วัตกระแสไฟฟ้าโหมดผลรวม

รูปที่ 2.10 การวัดกระแสไฟฟ้าโหมดต่างๆ โดยใช้โพรบกระแส

2.3.2.1 การวัดค่ากระแสไฟฟ้าโหมดผลรวม

จากรูปที่ 2.10 (ก) จะแสดงการวัดกระแสไฟฟ้าโหมดผลรวมโดยใช้โพรบกระแส โดยที่โพรบกระแสจะคล้องทั้งสายตัวนำและสายนิวตรอนดั่งรูป และจากรูปจะแสดงทิศทางของกระแสโหมดผลรวม i_{CM} และโหมดผลต่าง i_{DM} ซึ่งการคล้องดั่งในรูปจะเห็นได้ว่าทิศทางของกระแสโหมดผลต่าง i_{DM} ที่ไหลในสายตัวนำและสายนิวตรอน จะทำให้เกิดฟลักซ์แม่เหล็ก ϕ_{DM} มีทิศทางหักล้างกันดั่งรูป และเมื่อพิจารณาทิศทางของกระแสโหมดผลรวม i_{CM} ที่ไหลในสาย

ตัวนำและสายนิวตรอน จะทำให้เกิด ฟลักซ์แม่เหล็ก φ_{CM} จากทิศทางกระแสไฟฟ้าทั้งสองจะเสริมกัน ทำให้ผลรวมของฟลักซ์แม่เหล็กที่ไปเหนี่ยวนำขดลวดทุติยภูมิมีค่าเป็น $2\varphi_{CM}$ ทำให้แรงดันไฟฟ้า V_{out} ที่วัดได้จะเป็นค่าที่เกิดจากกระแสไฟฟ้าที่ทำการวัด $I_{conductor} = 2i_{CM}$ ดังนั้นผลจากการวัดกระแสไฟฟ้าโหมคผลรวมโดยใช้โพรบกระแสที่ส่งไปยังเครื่อง spectrum analyzer คือ ผลรวมของกระแสไฟฟ้าโหมคผลรวมที่ไหลในสายตัวนำกับสายนิวตรอนเท่ากับ $2i_{CM}$ ที่อยู่ในรูปของแรงดันไฟฟ้า V_{out}

2.3.2.2 การวัดค่ากระแสไฟฟ้าโหมคผลต่าง

จากรูปที่ 2.10 (ข) จะแสดงการวัดกระแสไฟฟ้าโหมคผลต่างโดยใช้โพรบกระแส โดยที่โพรบกระแสจะคล้องทั้งสายตัวนำและสายนิวตรอนดังรูป และจากรูปทิศทางของกระแสโหมคผลต่าง i_{CM} ที่ไหลในสถานตัวนำและสายนิวตรอน จะทำให้เกิดฟลักซ์แม่เหล็ก φ_{CM} มีทิศทางหักล้างกันดังรูป และเมื่อพิจารณาทิศทางของกระแสโหมคผลต่าง i_{DM} ที่ไหลในสถานตัวนำและสายนิวตรอน จะทำให้เกิด ฟลักซ์แม่เหล็ก φ_{DM} จากทิศทางกระแสไฟฟ้าทั้งสองจะเสริมกัน ทำให้ผลรวมของฟลักซ์แม่เหล็กที่ไปเหนี่ยวนำขดลวดทุติยภูมิมีค่าเป็น $2\varphi_{DM}$ ทำให้แรงดันไฟฟ้า V_{out} ที่วัดได้จะเป็นค่าที่เกิดจากกระแสไฟฟ้าที่ทำการวัด $I_{conductor} = 2i_{DM}$ ดังนั้นผลจากการวัดกระแสไฟฟ้าโหมคผลต่างโดยใช้โพรบกระแสที่ส่งไปยังเครื่องวัด spectrum analyzer คือ ผลรวมของกระแสไฟฟ้าโหมคผลต่างที่ไหลในสายตัวนำกับสายนิวตรอนเท่ากับ $2i_{DM}$ ที่อยู่ในรูปของแรงดันไฟฟ้า V_{out}

2.3.2.3 การวัดค่ากระแสไฟฟ้าโหมคผลรวม

ในการวัดค่ากระแสไฟฟ้าโหมคผลรวม จะทำการวัดที่สายตัวนำหรือสายนิวตรอนก็ได้ และตามมาตรฐาน MIL STD 462 จะต้องทำการวัดค่ากระแสไฟฟ้าโหมคผลรวมทั้งสายตัวนำและสายนิวตรอน จากรูป เมื่อจะทำการวัดกระแสไฟฟ้าโหมคผลรวมที่ไหลในสายนิวตรอน ($i_{Total, N}$) ทำได้โดยนำโพรบกระแสไปคล้องสายนิวตรอนเพียงสายเดียวดังรูปที่ 2.10 (ค) จากการคล้องลักษณะดังกล่าวจะทำให้เกิดฟลักซ์แม่เหล็กที่หักล้างกัน ($-\varphi_{CM} + \varphi_{DM}$) โดยฟลักซ์แม่เหล็กที่เหลือ จะไปเหนี่ยวนำขดลวดทุติยภูมิ ดังนั้นผลการวัดกระแสไฟฟ้าโหมคผลรวมที่ไหลในสายนิวตรอน ที่ส่งไปยังเครื่อง spectrum analyzer คือ ผลรวมของกระแสไฟฟ้าโหมคผลรวมและโหมคผลต่างที่ไหลในสายนิวตรอน ($i_{Total, N} = -i_{CM} + i_{DM}$) หรือกระแสไฟฟ้าโหมคผลรวมที่ไหลในสายนิวตรอน ในรูปของแรงดันไฟฟ้า V_{out}

ในขณะที่การวัดกระแสไฟฟ้าโหมคผลรวมที่ไหลในสายตัวนำ สามารถทำได้เช่นเดียวกับกรวัดกระแสไฟฟ้าโหมคผลรวมในสายนิวตรอน ด้วยการคล้องโพรบวัดกระแสไฟฟ้าในสายตัวนำเพียงสายเดียว โดยผลการวัดกระแสไฟฟ้าโหมคผลรวมที่ไหลในสายตัวนำ ที่ส่งไปยังเครื่อง spectrum analyzer คือ ผลรวมของกระแสไฟฟ้าโหมคผลรวมและ โหมคผลต่างที่ไหลในสายตัวนำ

$(i_{Total,L} = -i_{CM} - i_{DM})$ หรือกระแสไฟฟ้าโหมคผลรวมที่ไหลในสายตัวนำ ในรูปของแรงดันไฟฟ้า V_{out}

2.3.3 การจัดวางอุปกรณ์ (ตามมาตรฐาน มอก. 1956-2542 ข้อ 8.4)

ในการจัดวางอุปกรณ์สำหรับการวัดสัญญาณรบกวนแม่เหล็กไฟฟ้าทางสายตัวนำนั้น จำเป็นต้องมีการจัดวางอุปกรณ์ให้เป็นไปตาม มาตรฐานการวัด ซึ่งในที่นี้จะอ้างอิงตาม มาตรฐาน มอก. 1956-2542 ข้อ 8.4 ที่ว่าด้วยเรื่องการจัดวางอุปกรณ์ ดังนี้

(ก) ระนาบพื้น

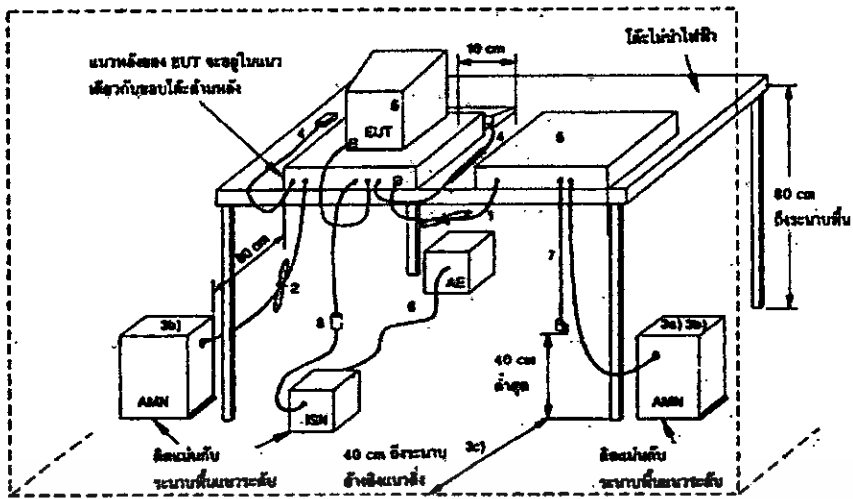
สำหรับระนาบพื้น (ground plane) สำหรับการวัดสัญญาณรบกวนนั้นตามมาตรฐาน มอก. 1956-2542 ได้กำหนดไว้ดังนี้คือ

การวางอุปกรณ์ที่ทำการทดสอบ (Equipment Under Test: EUT) ซึ่งประสงค์ให้ใช้งาน บนโต๊ะ 0.4 เมตร ห่างจากระนาบอ้างอิงโลหะในแนวตั้งที่มีขนาดอย่างน้อย 2 เมตร \times 2 เมตร และต้องรักษาระยะอย่างน้อย 0.8 เมตร จากพื้นผิวโลหะอื่นๆ หรือระนาบพื้นอื่นที่ไม่ได้เป็นส่วน ของ EUT

อุปกรณ์ทดสอบตั้งพื้นต้องวางบนระนาบพื้นโลหะในแนวระดับ จุดสัมผัสต้องสอดคล้องกับการใช้งานตามปกติ แต่ต้องไม่สัมผัสทางโลหะกับระนาบพื้น อาจแทนพื้นโลหะด้วยระนาบ พื้นอ้างอิง ระนาบพื้นอ้างอิงต้องยื่นพ้นเส้นขอบของ EUT อย่างน้อย 0.5 เมตร และต้องมีขนาด อย่างน้อย 2 เมตร \times 2 เมตร และจุดอ้างอิงของ LISN ต้องต่อเข้ากับระนาบพื้นอ้างอิงด้วยตัวนำที่ สั้นที่สุดเท่าที่จะทำได้

(ข) โครงแบบทดสอบ (ตามมาตรฐาน มอก. 1956-2542)

อุปกรณ์ที่ออกแบบสำหรับการทำงานทั้งที่วางบนโต๊ะหรือวางบนพื้น โดยถ้าอุปกรณ์ที่ ออกแบบสำหรับติดตั้งต้องทดสอบในลักษณะเหมือนแบบวางบนโต๊ะ และการหันเหทิศทาง ของอุปกรณ์ต้องสอดคล้องกับการใช้งานตามปกติ โดยการ จัดวางอุปกรณ์ในการทดสอบจะ เป็นไปตามขั้นตอนดังต่อไปนี้ ดังแสดงในรูปที่ 2.17



รูปที่ 2.11 โครงแบบทดสอบอุปกรณ์วางบนโต๊ะ (การวัดสัญญาณรบกวนทางสายตัวนำ)

เมื่อ AE คือ อุปกรณ์ที่เกี่ยวข้อง

EUT คือ อุปกรณ์ที่ทำการทดสอบ

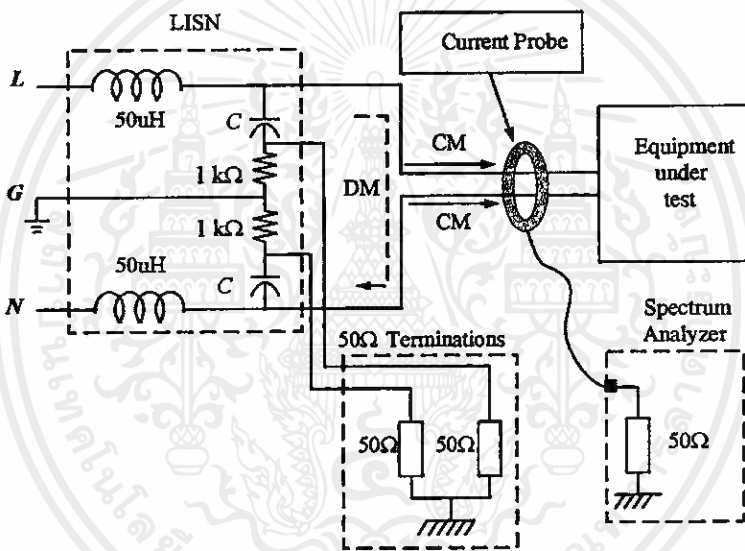
ISN (LISN) คือ โครงข่ายสร้างเสถียรภาพอิมพีแดนซ์

1. ถ้าสายเคเบิลที่ห้อยอยู่ใกล้ระนาบพื้นโลหะแนวระดับในระยะต่ำกว่า 40 เซนติเมตร และไม่สามารถทำให้สั้นลงมีความยาวที่เหมาะสมได้ ส่วนที่เกินต้องม้วนทาบให้เป็นมัดที่ยาว 30 ถึง 40 เซนติเมตร
2. สายอ่อนแหล่งจ่ายกำลังไฟฟ้าประธานที่ยาวเกินต้องม้วนทาบให้เป็นมัดที่กลางสาย หรือทำให้สั้นลงจนมีความยาวเหมาะสม
3. ให้ต่อ EUT เข้ากับ AMN เครื่องหนึ่ง AMN และ LISN ทุกเครื่องอาจเลือกติดตั้งกับระนาบอ้างอิงแนวตั้ง หรือผนังโลหะ
 - (ก) หน่วยอื่นทั้งหมดของระบบได้รับกำลังไฟฟ้าจาก AMN เครื่องที่ 2 อาจใช้ได้รับชุดสำหรับสายอ่อนแหล่งจ่ายกำลังไฟฟ้าประธานหลายเส้น
 - (ข) AMN และ LISN ห่างจาก EUT 80 เซนติเมตร และห่างจากหน่วยอื่นและระนาบโลหะอื่นอย่างน้อย 80 เมตร
 - (ค) ต้องจัดตำแหน่งสายอ่อนแหล่งจ่ายกำลังไฟฟ้าประธานและสายเคเบิลสัญญาณตลอดความยาวของสายเท่าที่จะทำได้ ที่ระยะ 40 เซนติเมตร ห่างจากระนาบอ้างอิงแนวตั้ง
4. สายเคเบิลของอุปกรณ์ที่ทำงานด้วยมือ เช่น แผงแป้นอักขระ เม้าท์ ฯลฯ ต้องวางในลักษณะใช้งานปกติ
5. อุปกรณ์รอบข้างต้องวางที่ระยะ 10 เซนติเมตรจากเครื่องอื่นๆ และจากตัวควบคุมยกเว้นจอภาพซึ่งถ้ายอมรับได้ในทางปฏิบัติเกี่ยวกับการติดตั้งก็ให้วางบนตัวควบคุมโดยตรง

6. สายเคเบิลสัญญาณเข้า/ออกซึ่งมีไว้สำหรับการต่อภายนอก
7. ปลายของสายเคเบิลสัญญาณเข้า/ออกซึ่งไม่ได้ต่อเข้ากับ AE อาจสิ้นสุดวงจรลงถ้าต้องการ โดยใช้อิมพีแดนซ์สิ้นสุดวงจรที่ถูกต้อง
8. ถ้าใช้โพรบกระแส ต้องวางอยู่ที่ระยะ 0.1 เมตรจาก LISN

2.4 การวัดและเครื่องมือวัดที่ใช้ในงานวิจัย

ในการต่อวงจรเพื่อทำการวัดสัญญาณรบกวนแม่เหล็กไฟฟ้าทางสายตัวนำ จำเป็นจะต้องมีอุปกรณ์หรือเครื่องมือต่างๆ โดยรูปที่ 2.12 แสดงการต่อวงจรและอุปกรณ์เครื่องมือวัดต่างๆ เพื่อวัดสัญญาณรบกวนแม่เหล็กไฟฟ้าทางสายตัวนำที่ใช้ในการวิจัยนี้



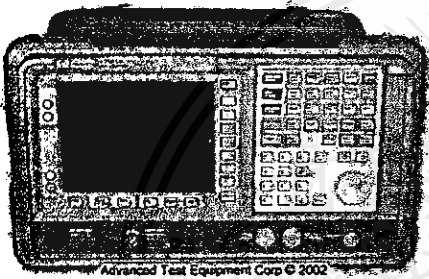
รูปที่ 2.12 การต่อวงจร เพื่อวัดสัญญาณรบกวนแม่เหล็กไฟฟ้าทางสายตัวนำ

โดยในงานวิจัยนี้จะทำการวัดสัญญาณรบกวนแม่เหล็กไฟฟ้าทางสายตัวนำ ที่โหมดการทำงานต่างๆ คือ สัญญาณรบกวนโหมดผลรวม โหมดผลต่าง และโหมดผลรวม โดยการใช้โพรบกระแส แล้วส่งสัญญาณไปยังเครื่องมือวัด Spectrum analyzer หรือ EMI receiver และทำการเปรียบเทียบค่าสัญญาณรบกวนในโหมดการทำงานต่างๆ ในย่านความถี่ที่พิจารณา คือ 150 kHz – 30 MHz และจะทำการทดสอบวงจรกรองสัญญาณรบกวนแม่เหล็กไฟฟ้าทั้ง 2 แบบ โดย EUT ที่ใช้เป็นแหล่งกำเนิดสัญญาณรบกวนจะเป็นวงจรซุกคอนเวอร์เตอร์

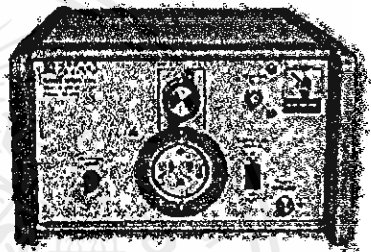
สำหรับเครื่องมือวัดและอุปกรณ์ที่ใช้จริงในการวิจัย จะมีดังต่อไปนี้

1. EMC analyzer รุ่น Agilent E7401A ดังในรูปที่ 2.19 (ก) ซึ่งทำหน้าที่เป็น spectrum analyzer โดยย่านความถี่ที่สามารถวัดได้คือ 9 kHz – 1.5 GHz

2. LISNs ของ EMCO รุ่น Model 3810/2 ย่านความถี่ 9 kHz – 30MHz มีตัวต้านทาน 50 Ω อยู่ใน 1 ตัว และมีช่องสำหรับต่อกับตัวต้านทาน 50 Ω จากเครื่องวัดในตำแหน่งที่ทำการวัดและมีสวิตซ์สำหรับเลือกว่า จะให้เครื่องวัดทำการวัดแรงดันไฟฟ้าที่ตำแหน่งสายตัวนำกับกราวด์หรือสายนิวตรอนกับกราวด์ ดังในรูปที่ 2.13 (ข)
3. วงจรชุดคอนเวอร์เตอร์ที่ใช้เป็นแหล่งกำเนิดสัญญาณรบกวน ใช้สำหรับวัดค่าสัญญาณรบกวนแม่เหล็กไฟฟ้าทางสายตัวนำ ดังในรูปที่ 2.13 (ค) ซึ่งจะใช้ในงานวิจัยนี้
4. โพรบกระแส (current probe) รุ่น 84310-80019 ของ Hewlett Packard ดัง ในรูปที่ 2.13 (ง) ย่านความถี่ใช้งาน 10 kHz – 250 MHz
5. วงจรกรองสัญญาณรบกวนแม่เหล็กไฟฟ้าของการพันทั้ง สาม แบบดังในรูปที่ 2.13 (จ)



(ก) EMC Analyzer



(ข) LISN



(ค) วงจรชุดคอนเวอร์เตอร์



(ง) โพรบกระแส

รูปที่ 2.13 เครื่องมือและอุปกรณ์ที่ใช้ในการวัดสัญญาณรบกวนแม่เหล็กไฟฟ้า

2.5 สรุปภาพรวมทฤษฎีพื้นฐานความเข้ากันได้ทางแม่เหล็กไฟฟ้า

ในบทนี้จะเป็นการกล่าวถึงทฤษฎีพื้นฐานความเข้ากันได้ทางแม่เหล็กไฟฟ้า และรูปแบบเกิดสัญญาณรบกวนแม่เหล็กไฟฟ้าทางสายตัวนำในโหมดผลรวมและ โหมดผลต่าง รวมทั้งจะกล่าวถึงมาตรฐานที่เกี่ยวข้องในการวัด และวิธีการวัดสัญญาณรบกวนแม่เหล็กไฟฟ้าทางสายตัวนำ ซึ่งในงานวิจัยนี้จะใช้โพรบกระแสในการวัดสัญญาณรบกวนแม่เหล็กไฟฟ้า พร้อมกับวิธีการใช้โพรบกระแสในการวัดสัญญาณรบกวนแม่เหล็กไฟฟ้าโหมดผลรวม โหมดผลต่าง และ โหมดผลรวม และในหัวข้อท้ายจะแสดงเครื่องมือวัดและอุปกรณ์ที่ใช้จริงในการวิจัย

บทที่ 3

อิมพีแดนซ์ภายในของแหล่งจ่ายไฟฟ้าแบบสวิตซ์ซิง

3.1 บทนำ

ในการออกแบบวงจรกรองสัญญาณรบกวนแม่เหล็กไฟฟ้าทางสายตัวนำนั้น สิ่งที่ต้องคำนึงถึงในการออกแบบคือค่าการลดทอนที่ต้องการ ณ ความถี่ที่มีค่าสัญญาณรบกวนเกินกว่าที่มาตรฐาน EN 55022 กำหนด และเพื่อให้วงจรกรองสัญญาณรบกวนแม่เหล็กไฟฟ้าเกิดการลดทอนสัญญาณรบกวนแม่เหล็กไฟฟ้าที่ดีที่สุด จะต้องพิจารณาถึงค่าอิมพีแดนซ์ภายในของแหล่งจ่ายไฟฟ้าแบบสวิตซ์ซิง นั้นมีความสำคัญต่อการออกแบบวงจรกรองสัญญาณรบกวนทางแม่เหล็กไฟฟ้า เพราะหากออกแบบวงจรกรองสัญญาณรบกวนทางแม่เหล็กไฟฟ้า โดยไม่คำนึงถึงอิมพีแดนซ์ภายในของแหล่งจ่ายไฟฟ้าแบบสวิตซ์ซิง อาจทำให้การลดทอนสัญญาณรบกวนทางแม่เหล็กไฟฟ้าทางสายตัวนำไม่เป็นไปตามที่ต้องการ และวิธีการหาค่าอิมพีแดนซ์ภายในของแหล่งจ่ายไฟฟ้าแบบสวิตซ์ซิง ได้มีการนำเสนอหลากหลายวิธี ซึ่งในแต่ละวิธีจะมีความแตกต่างกัน ทั้งในส่วนของวงจรที่ใช้ในการหา อุปกรณ์ที่ใช้หา และในการหาแต่ละวิธีจะได้นำเสนอต่อไป

3.2 ความสำคัญของอิมพีแดนซ์ภายในของแหล่งจ่ายไฟฟ้าแบบสวิตซ์ซิงต่อการออกแบบวงจรกรองสัญญาณรบกวนทางแม่เหล็กไฟฟ้า

วงจรกรองสัญญาณรบกวนทางแม่เหล็กไฟฟ้าจะสามารถลดทอนสัญญาณได้ โดยใช้หลักการของ Matching Impedance นั่นเองกล่าวคือ กล่าวคือถ้าเป็นวงจรไฟฟ้าจะเกิดการส่งถ่ายพลังงานไฟฟ้าสูงสุดได้ก็ต่อเมื่อ ความต้านทานของโหลดเท่ากับอิมพีแดนซ์ภายในของแหล่งจ่าย หรือหากมองในรูปอิมพีแดนซ์ก็คือต่างต้องเป็นคอนจูเกตกัน (Complex conjugates) ในทำนองกลับกัน ในกรณีของการกรองสัญญาณรบกวน ก็จะต้องทำให้เกิดการ Mismatch impedance ให้สูงที่สุดนั่นเอง ดังแสดงในรูปที่ 3.1 แสดงการต่อวงจรกรองสัญญาณโดยใช้ตัวเก็บประจุ จากนั้นจะทำการศึกษาคุณสมบัติภาพของการลดทอนสัญญาณ (Attenuation) ของการกรองสัญญาณรบกวนโดยใช้ตัวเก็บประจุด้วยการเปลี่ยนแปลงค่าอิมพีแดนซ์ของแหล่งจ่ายและโหลด [8]

ค่าอัตราการลดทอนสัญญาณรบกวนทางแม่เหล็กไฟฟ้า (Attenuation) ใช้ในการหาความสามารถของวงจรในการลดทอนสัญญาณรบกวนว่ามีประสิทธิภาพเพียงใด สามารถหาได้จากสูตรดังต่อไปนี้

$$A = 20 \log_{10} \left[\frac{V_1}{V_2} \right] \tag{3.1}$$

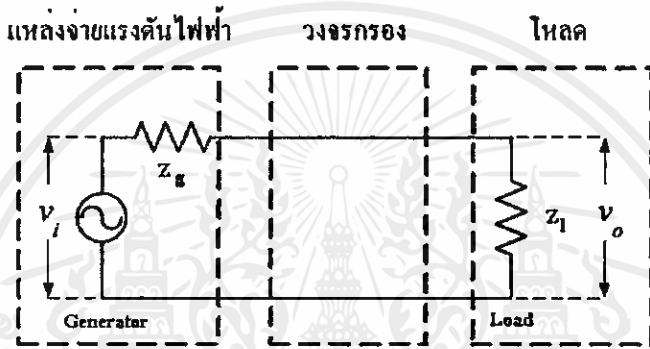
โดย

V_1 = แรงดันไฟฟ้าที่ด้านออกขณะไม่ได้ใส่วงจรกรองสัญญาณรบกวน

V_2 = แรงดันไฟฟ้าที่ด้านออกขณะใส่วงจรกรองสัญญาณรบกวน

ดังนั้นสำหรับในกรณีของการกรองสัญญาณรบกวนโดยตัวเก็บประจุจะหาค่า Attenuation ได้ดังนี้

หาแรงดันไฟฟ้าด้านโหลดในกรณียังไม่ใส่วงจรกรองสัญญาณรบกวนด้วยตัวเก็บประจุ



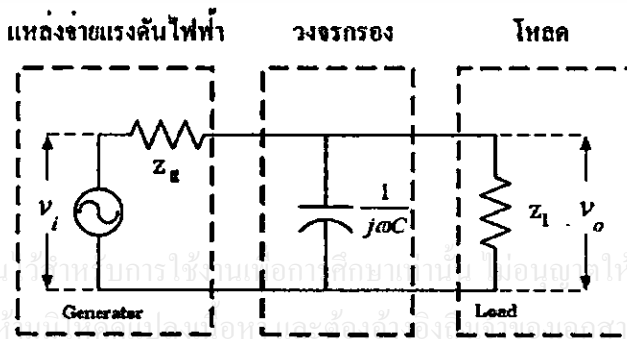
รูปที่ 3.1 วงจรขณะยังไม่ใส่วงจรกรองสัญญาณรบกวน

จากรูป 3.1 สามารถหาค่าแรงดันไฟฟ้าด้านโหลดต่อแรงดันไฟฟ้าด้านแหล่งจ่าย (Voltage transfer) ขณะที่ไม่ได้ใส่ตัวเก็บประจุกรองสัญญาณรบกวนได้เท่ากับ

$$\frac{V_1}{V_2} = \frac{Z_l}{Z_l + Z_g} \tag{3.2}$$

หาแรงดันไฟฟ้าด้านโหลดในกรณีใส่วงจรกรองสัญญาณรบกวนด้วยตัวเก็บประจุ

หาค่าแรงดันไฟฟ้าด้านโหลดต่อแรงดันไฟฟ้าด้านแหล่งจ่าย (Voltage transfer) ขณะที่ได้ใส่ตัวเก็บประจุกรองสัญญาณรบกวนดังแสดงในรูปที่ 3.2



รูปที่ 3.2 วงจรขณะใส่วงจรกรองสัญญาณรบกวน

จากรูปจะได้

$$\text{กำหนดให้ } Z_c = \frac{1}{j\omega C}$$

$$\begin{aligned} Z_c \cdot Z_1 &= \frac{Z_c Z_1}{Z_c + Z_1} \\ &= \frac{1}{1 + j\omega C \times Z_1} \end{aligned} \quad (3.3)$$

ในทำนองเดียวกับสมการที่ 3.2 จะได้

$$\begin{aligned} \frac{V_c}{V_i} &= \frac{Z_1}{(1 + j\omega C \times Z_1)} \times \frac{1}{Z_g + \frac{Z_1}{(1 + j\omega C \times Z_1)}} \\ \frac{V_c}{V_i} &= \frac{Z_1}{Z_1 + Z_1 + j\omega C \times Z_g \times Z_1} \end{aligned}$$

จากสมการที่ (3-1) สามารถหา Attenuation ได้ดังนี้

$$\begin{aligned} A_{dB} &= 20 \log_{10} \left[\frac{\frac{V_o}{V_i}}{\frac{V_c}{V_i}} \right] \\ A_{dB} &= 20 \log_{10} \left[\frac{Z_1}{Z_g + Z_1} \times \frac{Z_1 + Z_1 + j\omega C \times Z_g \times Z_1}{Z_1} \right] \\ A_{dB} &= 20 \log_{10} \left[1 + \frac{j\omega C \times Z_g \times Z_1}{Z_g + Z_1} \right] \end{aligned}$$

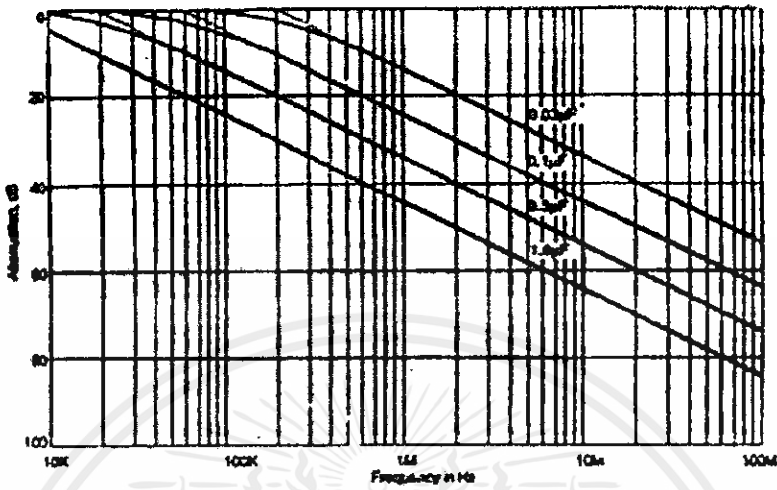
กำหนดให้ $Z_p = Z_1 \parallel Z_g = \frac{Z_1 \times Z_g}{Z_1 + Z_g}$ จะได้

$$A_{dB} = 20 \log_{10} \left[1 + \frac{Z_p}{Z_c} \right] \quad (3.4)$$

จากสมการที่ (3.4) จะเห็นได้ว่า ถ้าค่าคาปาซิทีฟรีแอกแตนซ์ (Capacitive reactance) มีค่าน้อยมาก เมื่อเทียบกับค่าอิมพีแดนซ์ของแหล่งจ่ายและโหลดที่นำมาขนานกัน ก็จะทำให้ตัวเก็บประจุมีประสิทธิภาพในการกรองสัญญาณรบกวนได้สูง

$$Z_c \ll Z_p$$

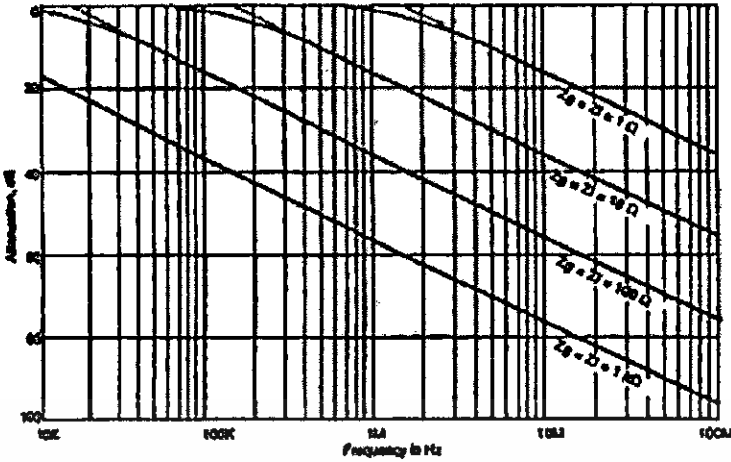
ประสิทธิภาพประสิทธิภาพของการลดทอนสัญญาณ (Attenuation) เมื่อนำตัวเก็บประจุขนาดต่างๆ มาทำหน้าที่กรองสัญญาณรบกวน ในขณะที่อิมพีแดนซ์ของแหล่งจ่ายและโหลดเท่ากับ 50Ω แสดงในรูปที่ 3.3



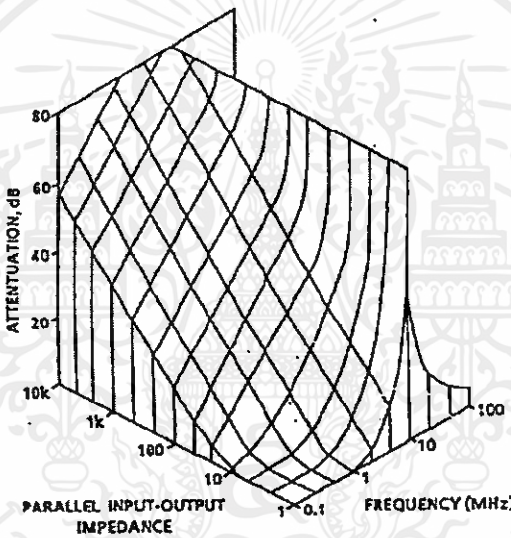
รูปที่ 3.3 ประสิทธิภาพของการลดทอนสัญญาณ (Attenuation) ของตัวเก็บประจุ [8]

ดังรูปที่ 3.3 แสดงประสิทธิภาพของการลดทอนสัญญาณ (Attenuation) เมื่อนำตัวเก็บประจุขนาดต่างๆ มาทำหน้าที่กรองสัญญาณรบกวน ในขณะที่อิมพีแดนซ์ของแหล่งจ่ายและโหลดเท่ากับ 50Ω จะเห็นได้ว่า เมื่อความถี่เพิ่มขึ้นจะทำให้ผลการลดทอนสัญญาณสูงขึ้น เนื่องจากอิมพีแดนซ์ของตัวเก็บประจุลดลง ในขณะที่อิมพีแดนซ์ของโหลดและแหล่งจ่ายคงที่นั่นเอง ซึ่งเมื่อนำมาพิจารณาจากสมการที่ (3-4) ก็จะได้เห็นว่าผลการลดทอนสัญญาณจะสูงขึ้น และในทำนองเดียวกันถ้าเพิ่มค่าความจุไฟฟ้าของตัวเก็บประจุก็จะมีผลทำให้การลดทอนสัญญาณสูงขึ้นเช่นกัน

รูปที่ 3.4 แสดงประสิทธิภาพของการลดทอนสัญญาณ (Attenuation) เมื่อนำตัวเก็บประจุขนาด $0.3 \mu\text{F}$ มาทำหน้าที่กรองสัญญาณรบกวน ในขณะที่อิมพีแดนซ์ที่นำมาขนานกันระหว่างแหล่งจ่ายและโหลดเปลี่ยนแปลงไป ก็จะได้เห็นว่าที่ความถี่เดียวกันค่าอิมพีแดนซ์ที่นำมาขนานกันระหว่างแหล่งจ่ายและโหลดค่าสูง จะให้ประสิทธิภาพในการลดทอนสัญญาณรบกวนสูงที่สุด แต่เมื่อคำนึงถึงผลของค่าพารามิเตอร์แฝง (Parasitic) ประสิทธิภาพของการลดทอนสัญญาณ จะแสดงได้ดังรูปที่ 3.5 โดยสมมติให้จุด Self Resonant Frequency หรือเรียกย่อๆว่า จุด SRF มีค่าเท่ากับ 10 MHz จะเห็นได้ว่าเมื่อเพิ่มความถี่มากกว่า ความถี่ SRF (10 MHz) จะทำให้การลดทอนสัญญาณรบกวนลดน้อยลง ที่เป็นดังนี้ก็เพราะค่าความเหนี่ยวนำแฝงในตัวเก็บประจุนั้นเอง ที่ความถี่มากกว่า SRF ผลของตัวเหนี่ยวนำแฝงจะมากกว่าผลของตัวเก็บประจุไฟฟ้า (Z_c มีค่าสูงขึ้น) ทำให้ประสิทธิภาพของการลดทอนสัญญาณรบกวนของตัวเก็บประจุลดลง



รูปที่ 3.4 ประสิทธิภาพของการลดทอนสัญญาณ (Attenuation) เมื่อนำตัวเก็บประจุขนาด 0.3 μF หน้าที่กรองสัญญาณรบกวน [8]



รูปที่ 3.5 การลดทอนสัญญาณรบกวนของวงจรกรองด้วยตัวเก็บประจุเทียบกับความถี่และ Z_p [8]

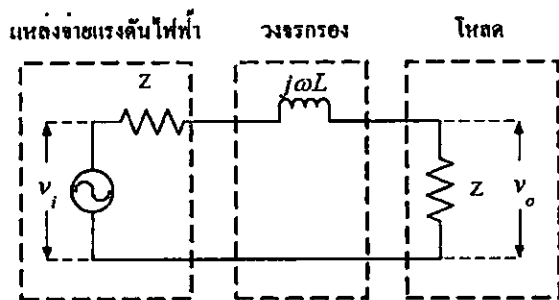
หาแรงดันไฟฟ้าด้านโหลดในกรณียังไม่ใส่วงจรกรองสัญญาณรบกวนด้วยตัวเหนี่ยวนำ
 เหมือนกับในกรณีใช้ตัวเก็บประจุ ดังนั้นจะได้

$$\frac{V_o}{V_i} = \frac{Z_l}{Z_l + Z_g} \tag{3.5}$$

หาแรงดันไฟฟ้าด้านโหลดในกรณีใส่วงจรกรองสัญญาณรบกวนด้วยตัวเหนี่ยวนำ

หาค่าแรงดันไฟฟ้าด้าน โหลดต่อแรงดันไฟฟ้าด้านแหล่งจ่าย (Voltage transfer) ขณะที่ใส่ตัวเหนี่ยวนำกรองสัญญาณรบกวนดังแสดงในรูปที่ 3.6

เอกสารนี้เป็นเอกสารที่สงวนไว้สำหรับการใช้งานเพื่อการศึกษาเท่านั้น ไม่อนุญาตให้นำไปใช้ประโยชน์ด้านการค้า
 ไม่ว่ากรณีใดๆทั้งสิ้น อีกทั้งห้ามมิให้คัดแปลงเนื้อหา และต้องอ้างอิงถึงเจ้าของเอกสารทุกครั้งที่มีการนำไปใช้



รูปที่ 3.6 วงจรขณะได้ทำการต่อวงจรกรองสัญญาณโดยใช้ตัวเหนี่ยวนำ

$$\frac{V_{ind}}{V_i} = \frac{Z_l}{Z_g + Z_l + j\omega L} \quad (3.6)$$

จากสมการที่ (3.1) สามารถหาค่า Attenuation ได้ดังนี้

$$A_{dB} = 20 \log_{10} \left[\frac{\frac{V_o}{V_i}}{\frac{V_{ind}}{V_i}} \right]$$

$$A_{dB} = 20 \log_{10} \left[\frac{Z_l}{Z_g + Z_l} \times \frac{Z_g + Z_l + j\omega L}{Z_l} \right]$$

$$A_{dB} = 20 \log_{10} \left[\frac{Z_g + Z_l + j\omega L}{Z_g + Z_l} \right]$$

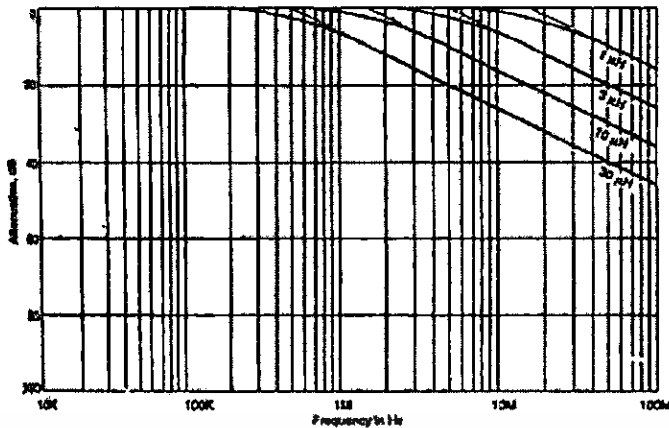
$$A_{dB} = 20 \log_{10} \left[1 + \frac{j\omega L}{Z_g + Z_l} \right]$$

กำหนดให้ $Z_{sum} = Z_g + Z_l$ และ $Z_{ind} = j\omega L$ จะได้

$$A_{dB} = 20 \log_{10} \left[1 + \frac{Z_{ind}}{Z_{sum}} \right] \quad (3.7)$$

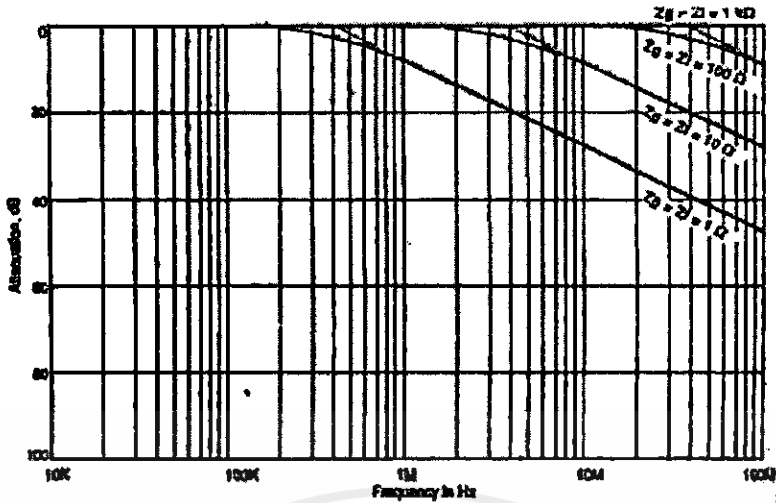
จากสมการที่ (3.7) จะเห็นได้ว่า ถ้าค่าอินดักทีฟรีแอกแตนซ์ (Inductive reactance) มีค่ามากกว่าค่าอิมพีแดนซ์ภายในของแหล่งจ่าย และโหลดที่นำมาต่ออนุกรมรวมกัน ก็จะทำให้ตัวเหนี่ยวนำมีประสิทธิภาพในการกรองสัญญาณรบกวนได้สูง

$$Z_{ind} \gg Z_{sum}$$

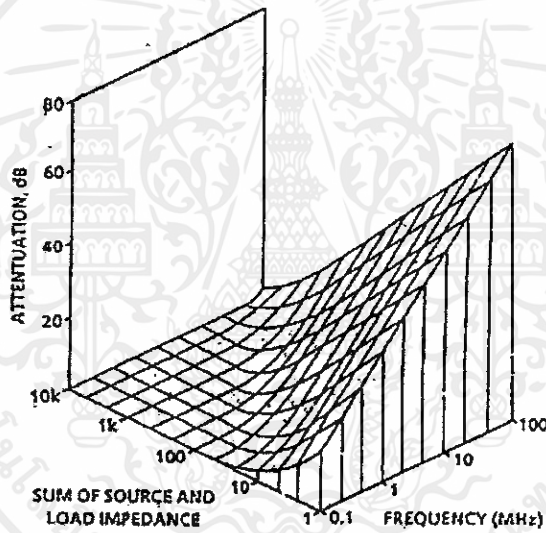


รูปที่ 3.7 ประสิทธิภาพของการลดทอนสัญญาณ (Attenuation) เมื่อนำตัวเหนี่ยวนำขนาดต่างๆ ทำหน้าที่กรองสัญญาณรบกวน [8]

รูปที่ 3.7 แสดงประสิทธิภาพของการลดทอนสัญญาณ (attenuation) เมื่อนำตัวเหนี่ยวนำขนาดต่างๆ มาทำหน้าที่กรองสัญญาณรบกวน ในขณะที่อิมพีแดนซ์ของแหล่งจ่ายและโหลดเท่ากันเท่ากับ 50Ω จะเห็นได้ว่า เมื่อความถี่เพิ่มขึ้นจะทำให้ผลการลดทอนสัญญาณสูงขึ้น เนื่องจากอิมพีแดนซ์ของตัวเหนี่ยวนำเพิ่มขึ้นตามความถี่ที่เพิ่มขึ้น ในขณะที่อิมพีแดนซ์ของโหลดและแหล่งจ่ายคงที่นั่นเอง ซึ่งเมื่อนำมาพิจารณาจากสมการที่ (3.7) ก็จะเห็นได้ว่าผลการลดทอนสัญญาณจะสูงขึ้น และในทำนองเดียวกันถ้าเพิ่มค่าตัวเหนี่ยวนำก็จะมีผลทำให้การลดทอนสัญญาณสูงขึ้นเช่นกันดังรูปที่ 3.8 แสดงประสิทธิภาพของการลดทอนสัญญาณ (attenuation) เมื่อนำตัวเหนี่ยวนำขนาด $1 \mu\text{H}$ มาทำหน้าที่กรองสัญญาณรบกวน ในขณะที่อิมพีแดนซ์ที่นำมาอนุกรมกันระหว่างแหล่งจ่ายและโหลดเปลี่ยนแปลงไป ก็จะเห็นว่าที่ความถี่เดียวกันค่าอิมพีแดนซ์ที่นำมาอนุกรมกันระหว่างแหล่งจ่ายและโหลดค่าต่างๆ จะให้ประสิทธิภาพในการลดทอนสัญญาณรบกวนสูงที่สุดแต่เมื่อคำนึงถึงผลของค่าพารามิเตอร์แฝง (Parasitic) ประสิทธิภาพของการลดทอนสัญญาณจะแสดงได้ดังรูปที่ 3.9 จะเห็นได้ว่าเมื่อเพิ่มความถี่มากกว่า ความถี่ SRF จะทำให้การลดทอนสัญญาณรบกวนลดน้อยลงที่เป็นดังนี้ก็เพราะค่าตัวเก็บประจุที่แฝงต่อขนานอยู่กับค่าความเหนี่ยวนำนั่นเอง ที่ความถี่มากกว่า SRF ผลของตัวเก็บประจุแฝงจะมากกว่าผลของตัวเหนี่ยวนำ (Z_{ind} ลดลง) ทำให้ประสิทธิภาพของการลดทอนสัญญาณรบกวนของตัวเหนี่ยวนำลดลง



รูปที่ 3.8 ประสิทธิภาพของการลดทอนสัญญาณ (Attenuation) เมื่อนำตัวเหนี่ยวนำขนาด $1 \mu\text{H}$ มาทำหน้าที่กรองสัญญาณรบกวน [8]



รูปที่ 3.9 ผลของการลดทอนสัญญาณของวงจรกรองโดยใช้ตัวเหนี่ยวนำเทียบกับความถี่และ Z_{sum} [8]

ประสิทธิภาพในการกรองสัญญาณรบกวนของวงจรกรอง โดยการใช้ตัวเก็บประจุหรือตัวเหนี่ยวนำจะขึ้นอยู่กับค่าอิมพีแดนซ์ภายในของแหล่งจ่ายและโหลดที่จะนำมาต่อ โดยประสิทธิภาพในการลดทอนสัญญาณรบกวน (Attenuation) สูงสุดจะเท่ากับ 20 dB/decade ซึ่งสามารถสรุปค่าอิมพีแดนซ์ที่เหมาะสมได้ดังรูปที่ 3.10 ซึ่งจะเห็นได้ว่า สำหรับวงจรกรองด้วยตัวเก็บประจุจะเหมาะสมสำหรับต่อร่วมกับวงจรที่มีอิมพีแดนซ์ภายในแหล่งจ่าย และโหลดที่สูงเมื่อเทียบกับค่าอิมพีแดนซ์ของตัวเอง และสำหรับวงจรกรองด้วยตัวเหนี่ยวนำจะเหมาะสมสำหรับต่อร่วมกับวงจรที่มีอิมพีแดนซ์ภายในแหล่งจ่าย และโหลดที่ต่ำเมื่อเทียบกับค่าอิมพีแดนซ์ของตัวเอง ในขณะที่วงจรกรองแบบ “LC” จะเหมาะกับวงจรที่ต้องการประสิทธิภาพในการลดทอน

สัญญาณรบกวนเท่ากับ 40 dB/decade โดยค่าอิมพีแดนซ์ของแหล่งจ่ายและโหลดที่เหมาะสมจะขึ้นอยู่กับรูปแบบของวงจรกรองแบบ “LC” ดังกล่าว โดยค่าอิมพีแดนซ์สูงจะต้องต่อกับด้านที่มีตัวเก็บประจุต่ออยู่ ในขณะที่อิมพีแดนซ์ต่ำควรจะต้องต่อกับด้านที่ต่ออยู่กับตัวเหนี่ยวนำนอกจากนั้นในกรณีที่ต้องการเพิ่มประสิทธิภาพในการกรอง ยังสามารถทำได้โดยการต่อวงจรกรองแบบต่างๆ อนุกรมกันได้ เป็นต้น อย่างไรก็ตาม ในกรณีที่ค่าอิมพีแดนซ์ที่ต่อกับวงจรกรองแบบต่างๆ มีค่าไม่เหมาะสม ก็จะมีผลทำให้ประสิทธิภาพของวงจรกรองมีค่าน้อยลง เช่น สำหรับวงจรกรองแบบ “LC” อาจจะมีค่าประสิทธิภาพในการลดทอนสัญญาณรบกวนเหลือเพียง 20 dB/decade เป็นต้น

		Z_L	
		High	Low
Z_g	High		
	Low		

รูปที่ 3.10 การต่ออิมพีแดนซ์ภายในของแหล่งจ่ายและ โหลดที่เหมาะสมสำหรับวงจรกรองสัญญาณรบกวน โดยใช้ตัวเก็บประจุและตัวเหนี่ยวนำ

3.3 วิธีการหาอิมพีแดนซ์ภายในของแหล่งจ่ายไฟฟ้าแบบสวิตซ์ซิง

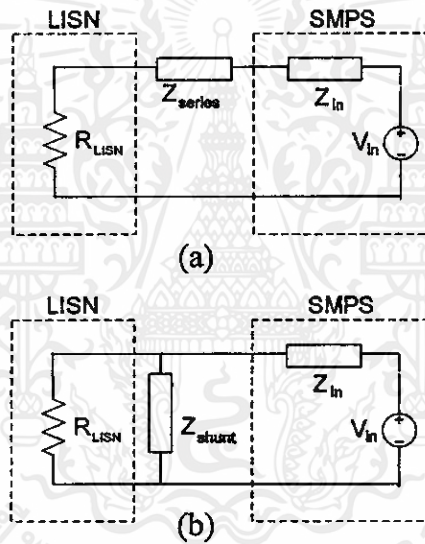
การวัดค่าอิมพีแดนซ์ภายในของแหล่งจ่ายไฟฟ้าแบบสวิตซ์ซิงนั้นสามารถหาได้ตามวิธีการทางด้านความเข้ากันได้ทางแม่เหล็กไฟฟ้าที่ได้มีการนำเสนอมาแล้วด้วยกัน 3 วิธี คือ

1. วิธีการลดทอนสัญญาณรบกวนทางแม่เหล็กไฟฟ้า (Insertion Loss Method) [9]
2. วิธีทดสอบรีโซแนนซ์ (Resonance Method) [10]
3. วิธีการใช้โพรบกระแส 2 ตัว (2 Current Probes Method) [11]

3.3.1 การหาค่าอิมพีแดนซ์ภายในของแหล่งจ่ายไฟแบบสวิตซ์ซิงโดยวิธีใช้การลดทอนสัญญาณรบกวน

การลดทอนสัญญาณรบกวนแม่เหล็กไฟฟ้า สำหรับวงจรกรองสัญญาณรบกวนแม่เหล็กไฟฟ้า จะหาได้จากสัญญาณของแรงดันและกระแสไฟฟ้าที่ลดลง ขณะเมื่อใส่วงจรกรองสัญญาณรบกวนเปรียบเทียบกับขณะที่ไม่ใส่วงจรกรองสัญญาณรบกวนแม่เหล็กไฟฟ้า และในการหาค่าอัตราการกรองสัญญาณรบกวนของวงจรกรองสัญญาณรบกวนแม่เหล็กไฟฟ้า (insertion loss: IL_{dB}) จะหาได้จากวงจรสมมูลย์ในรูปที่ 3.11

$$IL = 20 \log \left(\frac{V_{LISN} \text{ without filter}}{V_{LISN} \text{ with filter}} \right) \quad (3.8)$$



รูปที่ 3.11 แสดงการหาค่าอิมพีแดนซ์ภายในของแหล่งจ่ายไฟแบบสวิตซ์ซิงโดยวิธีใช้การลดทอนสัญญาณรบกวนแม่เหล็กไฟฟ้า

รูปที่ 3.11 (a) แสดงการหาค่าอิมพีแดนซ์ภายในของแหล่งจ่ายไฟแบบสวิตซ์ซิงโดยวิธีใช้การลดทอนสัญญาณรบกวนแม่เหล็กไฟฟ้าในโหมดผลรวม โดยมีเงื่อนไขตามสมการที่ 3.9 และ 3.10 คือ

$$|Z_{in}| \gg R_{LISN} \quad (3.9)$$

$$|Z_{series}| \gg |Z_{in}| \quad (3.10)$$

จากรูปที่ 3.11 (a) และสมการที่ 3.8 สามารถหาค่าอิมพีแดนซ์ภายในของแหล่งจ่ายไฟแบบสวิตซ์ซิงได้คือ

$$\begin{aligned}
 IL &= \frac{\frac{R_{LISN}}{R_{LISN} + Z_{in}} \times V_{in}}{\frac{R_{load}}{R_{LISN} + Z_{in} + Z_{series}} \times V_{in}} \\
 &= 1 + \frac{Z_{series}}{R_{LISN} + Z_{in}} \\
 &\approx 1 + \frac{Z_{series}}{Z_{in}}
 \end{aligned}$$

ปรกติแล้วการลดทอนสัญญาณรบกวนแม่เหล็กไฟฟ้าจะมากกว่า 1 ดังนั้นจะสามารถหาค่าของอิมพีแดนซ์ภายในของแหล่งจ่ายไฟแบบสวิตซ์ซิง

$$|Z_{in}| \approx \frac{|Z_{series}|}{|IL|} \quad (3.11)$$

ซึ่ง $|Z_{series}|$ ได้ถูกกำหนดไว้ และ $|IL|$ ได้จากการวัด

รูปที่ 3.11 (b) แสดงการหาค่าอิมพีแดนซ์ภายในของแหล่งจ่ายไฟแบบสวิตซ์ซิงโดยวิธีการลดทอนสัญญาณรบกวนแม่เหล็กไฟฟ้าในโหมดผลต่าง โดยมีเงื่อนไขตามสมการที่ 3.12 และ 3.13 คือ

$$|Z_{in}| \ll R_{LISN} \quad (3.12)$$

และ

$$|Z_{shunt}| \ll |Z_{in}| \quad (3.13)$$

จากรูปที่ 3.11 (b) และสมการที่ 3.8 สามารถหาค่าอิมพีแดนซ์ภายในของแหล่งจ่ายไฟแบบสวิตซ์ซิงได้คือ

$$\begin{aligned}
 IL &= \frac{\frac{R_{LISN}}{R_{LISN} + Z_{in}} \times V_{in}}{\frac{R_{LISN} // Z_{shunt}}{R_{LISN} // Z_{shunt} + Z_{in}} \times V_{in}} \\
 &= 1 + \frac{R_{LISN} // Z_{in}}{Z_{shunt}} \\
 &\approx 1 + \frac{Z_{in}}{Z_{shunt}}
 \end{aligned}$$

ในการทำงานเดียวกับโหมดผลร่วม

$$|Z_{in}| \approx |Z_{shunt}| \times |IL| \quad (3.14)$$

วิธีทดสอบรีโซแนนซ์ (Resonance Method)

ในการตรวจวัดค่าอิมพีแดนซ์ภายในของแหล่งจ่ายไฟแบบสวิตซ์ซิง โดยวิธีการทดสอบรีโซแนนซ์ (Resonance Method) นั้นค่าทฤษฎีที่เกี่ยวข้องกับการตรวจวัดคือ Quality Factor

Quality Factor

โดยปรกติแล้ว Quality Factor นั้นจะนิยามถึงสัดส่วนของพลังงานที่สะสมสูงสุดในวงจร คือ ในตัวของตัวเหนี่ยวนำ และตัวเก็บประจุ ต่อพลังงานที่สูญเสียไปในตัวของตัวต้านทาน [12]

$$Q = 2\pi \frac{\text{Maximum Energy Stored}}{\text{Energy Dissipated per Cycle}} \quad (3.15)$$

สามารถแสดงค่าของ Q จากวงจรอนุกรม RCL พลังงานที่สะสมในตัวเหนี่ยวนำ และตัวเก็บประจุนั้นจะเหมือนกัน โดยจากพลังงานสูงสุดที่สะสมในตัวเหนี่ยวนำ นั้นแสดงในสมการที่ 3.15

$$W_L = \int_0^T v(t)i(t)dt = \int_0^T i(t)L \frac{di(t)}{dt} dt = L \int_0^{I_p} idi = \frac{1}{2} LI_p^2 = LI_{rms}^2 \quad (3.16)$$

ซึ่ง $I_p = \sqrt{2}I_{rms}$ คือปริมาณกระแสสูงสุดที่ไหลผ่านตัวเหนี่ยวนำและพลังงานที่สูญเสียในตัวต้านทาน ต่อ 1 คาบเวลา $T_0 = 2\pi / \omega_0 = 1 / f_0$

$$W_R = P_R T_0 = I_{rms}^2 R T_0 \quad (3.17)$$

และ

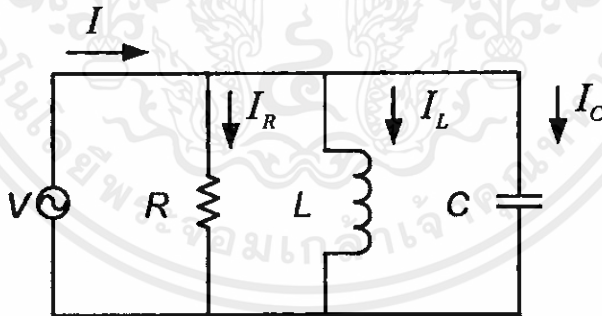
$$2\pi \frac{L I_{rms}^2}{I_{rms}^2 R T_0} = 2\pi f_0 \frac{L}{R} = \frac{\omega_0 L}{R} = Q \quad (3.18)$$

ในการทำงานเดียวกันกับตัวเก็บประจุ

$$W_C = \int_0^T v(t) i(t) dt = \int_0^T v(t) C \frac{dv(t)}{dt} dt = C \int_0^{V_p} v dv = \frac{1}{2} C V_p^2 = C V_{rms}^2 \quad (3.19)$$

ซึ่ง $V_p = \sqrt{2} V_{rms}$ คือ ความต่างศักย์สูงสุดที่ตกคร่อมตัวเก็บประจุ และ $V_{rms} = I_{rms} / \omega_0 C$ ดังนั้น

$$2\pi \frac{C V_{rms}^2}{I_{rms}^2 R T_0} = 2\pi f_0 \frac{C I_{rms}^2 / \omega_0^2 C}{I_{rms}^2 R} = \frac{1}{\omega_0 C R} = Q \quad (3.20)$$



รูปที่ 3.12 วงจรรีโซแนนซ์แบบขนาน

จากวงจรในรูปที่ 3.12 แสดงวงจรรีโซแนนซ์แบบขนาน และแรงดันในวงจรขนานดังกล่าวเท่ากับ $V = IR$ ดังนั้น

$$I_L = \frac{V}{\omega_0 L} = \frac{IR}{\omega_0 L} = IQ \quad (3.21)$$

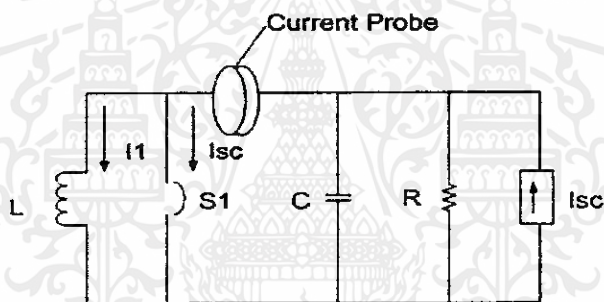
และในตัวเก็บประจุ

$$I_c = \frac{V}{\frac{1}{\omega_r C}} = IR\omega_c C = IQ_r \quad (3.22)$$

จากสมการที่ 3.21 และ 3.22 นั้นสามารถสรุปได้ว่า

$$Q_r = \frac{I_L}{I} = \frac{I_c}{I} \quad (3.23)$$

ค้ำยทฤษฎีของ Quality Factor นี้จะสามารถหาค่าอิมพีแดนซ์ภายในของแหล่งจ่ายไฟฟ้าแบบสวิดซ์ซิง โดยการใช้หลักการของรีโซแนนซ์ ของวงจร RC ต่อขนานกันกับแหล่งจ่ายกระแส (Current Source) แล้วปรับค่าตัวเหนี่ยวนำเข้าไปในวงจร เพื่อให้เกิดการรีโซแนนซ์ แล้วจึงหาค่าตัวเก็บประจุและตัวต้านทานภายในของแหล่งจ่ายไฟฟ้าแบบสวิดซ์ซิงได้ ซึ่งแสดงในรูปที่ 3.13



รูปที่ 3.13 การวัดค่าอิมพีแดนซ์ภายในของแหล่งจ่ายไฟฟ้าแบบสวิดซ์ซิงโดยวิธีทดสอบรีโซแนนซ์

ขั้นตอนในการหาค่าตัวเก็บประจุและตัวต้านทานภายในของแหล่งจ่ายไฟฟ้าแบบสวิดซ์ซิง (Source Capacitance และ Source Resistance)

1. วัดค่ากระแส I_{sc} ในแต่ละความถี่ที่สนใจ (150 kHz – 30 MHz)
2. ปรับค่าขดลวดเพื่อที่จะทำให้อิมพีแดนซ์ภายในของแหล่งจ่ายไฟฟ้าแบบสวิดซ์ซิงเกิดรีโซแนนซ์
3. วัดค่ากระแส I_1 ในแต่ละความถี่ที่สนใจ (150 kHz – 30 MHz)
4. ใช้ $Q = \frac{I_{sc}}{I_1}$ จากนั้นหาค่า Source Resistance จาก $R = Q\omega_r L$ และ Source Capacitance จาก $C = \frac{Q}{\omega_0 R}$

เอกสารนี้เป็นเอกสารที่สงวนไว้สำหรับการใช้งานเพื่อการศึกษาเท่านั้น ไม่อนุญาตให้นำไปใช้ประโยชน์ด้านการค้าไม่ว่ากรณีใดๆทั้งสิ้น อีกทั้งห้ามมิให้คัดลอกสิ่งนี้ไปเผยแพร่โดยไม่ได้รับอนุญาตจากเจ้าของลิขสิทธิ์

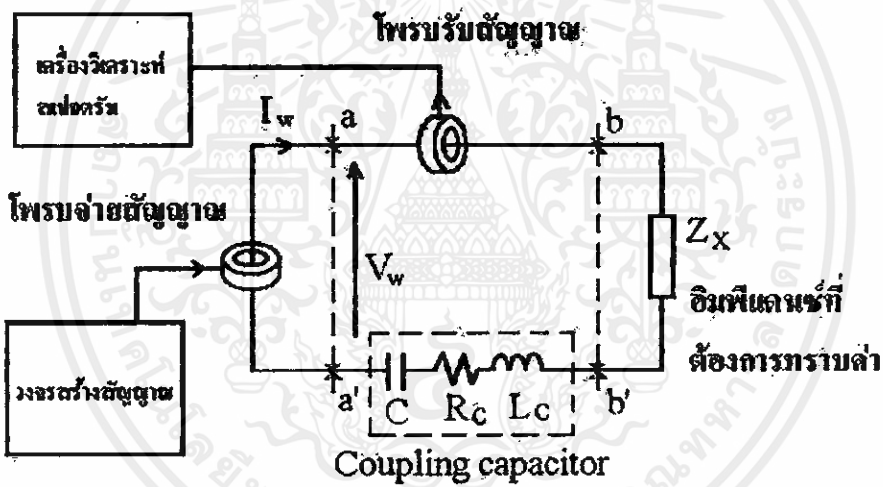
ดังนั้นค่าของ Source Resistance และ Source Capacitance แสดงในสมการที่ 3.24 และ 3.25

$$R = Q\omega_0 L \tag{3.24}$$

$$C = \frac{Q}{\omega_0 R} \tag{3.25}$$

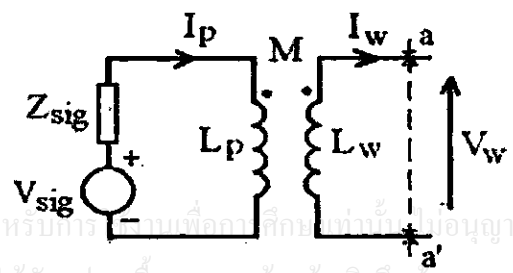
วิธีการใช้โพรบกระแส 2 ตัว (2 Current Probes Method)

วิธีนี้จะต้องมีโพรบวัดกระแส 2 ตัวคือ โพรบจ่ายสัญญาณ (Injecting Probe) และโพรบรับสัญญาณ (Receiving Probe) ทำหน้าที่ในการวัดระดับสัญญาณลูกคลื่นที่จ่ายให้ก่อนและหลังการใส่ค่าอิมพีแดนซ์ที่ต้องการทราบค่า (Z_x) ที่จุดต่อ b-b' วงจรที่ใช้ในการตรวจวัดแสดงในรูปที่ 3.14



รูปที่ 3.14 วงจรในการตรวจวัดค่าอิมพีแดนซ์โดยวิธีการใช้โพรบกระแส 2 ตัว

จะเริ่มต้นพิจารณาจากวงจรภายในของโพรบจ่ายสัญญาณก่อน โดยวงจรสมมูลย์ของโพรบจ่ายสัญญาณแสดงในรูปที่ 3.15



รูปที่ 3.15 วงจรสมมูลย์ของโพรบจ่ายสัญญาณ

จากวงจรสมมูลย์จากกระแส I_w ที่เกิดในวงจรสมมูลย์ในรูปที่ 3.14 จะสามารถพิจารณาได้ดังนี้

$$V_{sig} = (Z_{sig} + j\omega L_p)I_p - j\omega MI_w \quad (3.26)$$

$$V_w = (-j\omega MI_p + j\omega L_w I_w) \quad (3.27)$$

เมื่อ

V_{sig} คือแรงดันที่ออกจากเครื่องสร้างสัญญาณ

Z_{sig} คืออิมพีแดนซ์ด้านนอกของเครื่องสร้างสัญญาณ

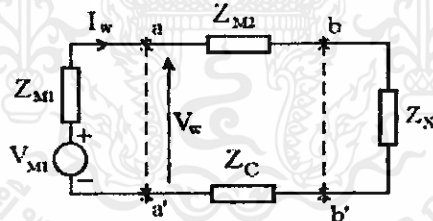
I_p คือ กระแสที่ไหลผ่าน โพรบจ่ายสัญญาณ

L_p คือ ตัวเหนี่ยวนำปริมณูมิของโพรบจ่ายกระแส

L_w คือ ตัวเหนี่ยวนำตัวเองของวงจรร่วมความถี่วิทยุ (RF coupling)

M คือ ค่าความเหนี่ยวนำร่วม

จากนั้นตามรูปที่ 3.16 พิจารณาวงจรสมมูลย์การตรวจวัดค่าอิมพีแดนซ์โดยวิธีการใช้โพรบกระแส 2 ตัว



รูปที่ 3.16 วงจรสมมูลย์การตรวจวัดค่าอิมพีแดนซ์โดยวิธีการใช้โพรบกระแส 2 ตัว

สามารถเขียนสมการได้จากวงจรสมมูลย์ในรูปที่ 3.16 ได้ดังนี้

$$V_{M1} = (Z_{M1} + Z_{M2} + Z_C + Z_X)I_w \quad (3.28)$$

$$Z_{in} = Z_{M1} + Z_{M2} + Z_C \quad (3.29)$$

$$V_{M1} = (Z_{in} + Z_X)I_w \quad (3.30)$$

จากสมการที่ 3.25 สามารถเขียนใหม่ได้ดังสมการที่ 3.31

$$Z_X = \frac{V_{M1}}{I_w} - Z_{in} \quad (3.31)$$

กระแส I_w จะวัดได้จากโพรบรับสัญญาณซึ่งแสดงในสมการที่ 3.32

$$I_w = \frac{V_{p2}}{Z_{T2}} \quad (3.32)$$

เมื่อ

V_{p2} คือ แรงดันที่วัดได้จากโพรบรับสัญญาณ

Z_{T2} คืออิมพีแดนซ์ของโพรบรับสัญญาณ

เมื่อหาค่า V_{M1} จากรูปที่ 3.15 ได้ดังสมการที่ 3.33

$$V_{M1} = \frac{-j\omega M V_{sig}}{(Z_{sig} + j\omega L_p)} \quad (3.33)$$

แทนสมการที่ 3.32 และ 3.33 ลงในสมการที่ 3.31

$$Z_x = \frac{-j\omega M V_{sig} Z_{T2}}{(Z_{sig} + j\omega L_p) V_{p2}} - Z_{in} \quad (3.34)$$

เมื่อกำหนดให้ $K = \frac{-j\omega M Z_{T2}}{(Z_{sig} + j\omega L_p)}$ เป็นค่าคงที่ที่สามารถเขียนสมการที่ 3.35

$$Z_x = \frac{K V_{sig}}{V_{p2}} - Z_{in} \quad (3.35)$$

เมื่อ V_{sig} มีค่าคงที่ ดังนั้น $K V_{sig}$ จึงเป็นค่าคงที่สำหรับในทุกความถี่ และเมื่อทราบค่าตัวต้านทานมาตรฐาน (standard resistor: R_{std}) และกำหนดค่าให้ $R_{std} \gg |Z_{in}|$ และแทนค่า Z_x จากนั้นจะสามารถหาค่า $K V_{sig}$ ได้จาก

$$K V_{sig} \approx R_{std} V_{p2} \Big|_{Z_x=R_{std}} \quad (3.36)$$

และเพื่อที่จะหา Z_{in} , Z_x จะถูกแทนด้วยการลัดวงจร ในสมการที่ 3.37

$$Z_{in} = \frac{K V_{sig}}{V_{p2} \Big|_{Z_x=0}} = \frac{R_{std} V_{p2} \Big|_{Z_x=R_{std}}}{V_{p2} \Big|_{Z_x=0}} \quad (3.37)$$

สุดท้ายจะสามารถหาค่าอิมพีแดนซ์ที่เราสนใจ Z_x จากสมการที่ 3.38

$$Z_x = \frac{K V_{sig}}{V_{p2} \Big|_{Z_x=unknown}} - Z_{in} = \frac{R_{std} V_{p2} \Big|_{Z_x=R_{std}}}{V_{p2} \Big|_{Z_x=unknown}} - Z_{in} \quad (3.38)$$

เอกสารนี้เป็นเอกสารที่สงวนไว้สำหรับการใช้เพื่อการศึกษาเท่านั้น ไม่อนุญาตให้นำไปใช้ประโยชน์ด้านการค้า
ไม่ว่ากรณีใดๆทั้งสิ้น อีกทั้งห้ามมิให้คัดแปลงเนื้อหา และต้องอ้างอิงถึงเจ้าของเอกสารทุกครั้งที่มีการนำไปใช้

3.4 บทสรุป

จากวิธีการหาอิมพีแดนซ์ภายในของแหล่งจ่ายไฟฟ้าแบบสวิตซ์ซิงทั้ง 3 วิธีที่อธิบายมาในขั้นตอนนี้ พบว่าด้วยการหาอิมพีแดนซ์ภายในของแหล่งจ่ายไฟฟ้าแบบสวิตซ์ซิงด้วยวิธีการอาศัยหลักการรีโซแนนซ์กลับนั้น การหาค่าของขดลวดที่จะต่อเข้ากับแหล่งจ่ายไฟฟ้าแบบสวิตซ์ซิงเพื่อให้เกิดรีโซแนนซ์นั้น ยากที่จะหาค่าของความเหนี่ยวนำค่านั้นในงานวิจัยนี้ จึงไม่นำวิธีนี้มาใช้ในการหาค่าอิมพีแดนซ์ภายในของแหล่งจ่ายไฟฟ้าแบบสวิตซ์ซิง และในวิธีการใช้โพรบกระแส 2 ตัวนั้น อุปกรณ์ที่ต้องใช้ในการทดสอบคือ โพรบตัวจ่ายสัญญาณนั้น เป็นอุปกรณ์ที่หาได้ยากในประเทศไทย และไม่เหมาะกับการนำมาใช้ในการหาค่าอิมพีแดนซ์ภายในของแหล่งจ่ายไฟฟ้าแบบสวิตซ์ซิง ดังนั้นจึงเลือกใช้วิธีการหาโดยวิธีใช้การลดทอนสัญญาณรบกวน เพราะเนื่องจากวงจรที่ใช้ในการหาเป็นวงจรที่ไม่ซับซ้อน และอุปกรณ์ที่ใช้เป็นอุปกรณ์พื้นฐานในการวัดค่าสัญญาณรบกวนแม่เหล็กไฟฟ้าทางสายตัวนำ



บทที่ 4

การออกแบบวงจรกรองสัญญาณรบกวนแม่เหล็กไฟฟ้า

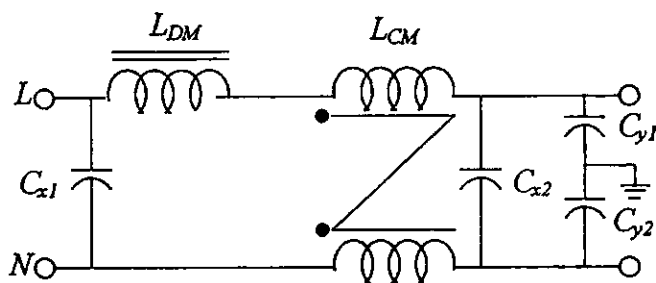
บทนี้จะเป็นการนำเสนอขั้นตอนการออกแบบ และคำนวณหาค่าส่วนประกอบของวงจรกรองสัญญาณรบกวนแม่เหล็กไฟฟ้า (EMI filter) โดยที่วงจรกรองสัญญาณรบกวนแม่เหล็กไฟฟ้านี้ จะมีหัวข้อที่สำคัญ 3 หัวข้อ คือ หัวข้อที่ 4.1 จะกล่าวถึงการวิเคราะห์การออกแบบวงจรกรองสัญญาณรบกวนแม่เหล็กไฟฟ้า และหัวข้อที่ 4.2 จะกล่าวถึงการคำนวณหาค่าการออกแบบและส่วนประกอบของวงจรกรองสัญญาณรบกวนแม่เหล็กไฟฟ้า และหัวข้อที่ 4.3 จะกล่าวถึงการลดทอนสัญญาณรบกวนแม่เหล็กไฟฟ้า ของรูปแบบการพันตัวเหนี่ยวนำโหมคผลร่วมและโหมคผลต่าง

4.1 การออกแบบวงจรกรองสัญญาณรบกวนแม่เหล็กไฟฟ้า

วงจรกรองสัญญาณรบกวนแม่เหล็กไฟฟ้าส่วนมากจะใช้สำหรับขจัดสิ่งที่ไม่พึงปรารถนา และสัญญาณรบกวนต่างๆ ที่ไม่ต้องการ และลดทอนสัญญาณรบกวนแม่เหล็กไฟฟ้าในทางสายตัวนำที่เกิดจากอุปกรณ์อิเล็กทรอนิกส์กำลังของแหล่งจ่ายกำลังไฟฟ้าแบบสวิตชิง โดยทั่วไปวงจรกรองสัญญาณรบกวนแม่เหล็กไฟฟ้าจะมีโครงสร้าง คือ วงจรกรองความถี่ต่ำผ่าน (low-pass filter) ซึ่งประกอบด้วยอุปกรณ์พาสซีฟ (passive components) ดังแสดงในรูปที่ 4.1 (ก) จะมีโครงสร้างของวงจรกรองสัญญาณรบกวนคือ ตัวเก็บประจุ C_{X1} ต่ออยู่ระหว่างตัวเหนี่ยวนำโหมคผลร่วม (common mode inductance: L_{CM}) กับตัวเหนี่ยวนำโหมคผลต่าง (differential mode inductance: L_{DM}) ซึ่งจะหมายความว่าตัวเหนี่ยวนำทั้ง 2 นั้นจะเป็นแบบแยกแกน ส่วนตัวเหนี่ยวนำโหมคผลต่าง L_{DM} จะต่ออยู่ที่สายตัวนำไฟฟ้าหรือสายนิวตรอนก็ได้ และ ตัวเก็บประจุ C_{X1} และ C_{X2} จะต่ออยู่ระหว่างสายตัวนำไฟฟ้ากับสายนิวตรอน ส่วนตัวเก็บประจุ C_{Y1} และ C_{Y2} จะต่ออนุกรมกันและอยู่ระหว่างสายตัวนำไฟฟ้ากับสายนิวตรอน โดยที่กราวด์ต่อกับตัวเก็บประจุ C_{Y1} และ C_{Y2} ดังในรูปที่ 4.1 (ก) และจากการออกแบบวงจรกรองสัญญาณรบกวนแม่เหล็กไฟฟ้าที่มีการพันแบบ CM จะมีตัวเหนี่ยวนำโหมคผลร่วม L_{CM} ตัวเหนี่ยวนำโหมคผลต่าง L_{DM} ตัวเก็บประจุ C_{X1} และ C_{X2} และตัวเก็บประจุ C_{Y1} และ C_{Y2} ในส่วนแหล่งกำเนิดสัญญาณรบกวน คือ วงจรซุกคอนเวอร์เตอร์ (Cuk converter) จะมีที่พิกัดกำลังไฟฟ้า 60 วัตต์ แรงดันด้านอินพุต 12.5 โวลต์ และแรงดันด้านออก 25 โวลต์ [12]

สารนี้เป็นเอกสารที่สงวนไว้สำหรับการใช้งานเพื่อการศึกษาเท่านั้น ไม่อนุญาตให้นำไปใช้ประโยชน์ด้าน

ว่ากรณีใดๆทั้งสิ้น อีกทั้งห้ามมิให้คัดแปลงเนื้อหา และต้องอ้างอิงถึงเจ้าของเอกสารทุกครั้งที่มีการนำไปใช้



รูปที่ 4.1 วงจรกรองสัญญาณรบกวนแม่เหล็กไฟฟ้า

4.1.1 สร้างแหล่งกำเนิดสัญญาณรบกวนแม่เหล็กไฟฟ้า

อาศัยหลักการออกแบบวงจรกรองสัญญาณรบกวนแม่เหล็กไฟฟ้า จากบทความ “A Procedure for Designing EMI Filters for AC Line Applications” [12] เป็นการสร้างแหล่งกำเนิดสัญญาณรบกวน ที่ใช้ในการทดสอบการออกแบบวงจรกรองสัญญาณรบกวนแม่เหล็กไฟฟ้า โดยแหล่งกำเนิดสัญญาณรบกวนแม่เหล็กไฟฟ้าที่ใช้ในการวิจัยนี้ จะใช้วงจรชุกคอนเวอร์เตอร์ ที่พิกัดกำลังไฟฟ้า 60 วัตต์ เนื่องจากวงจรชุกคอนเวอร์เตอร์เป็นวงจรที่สามารถจะอธิบายการเกิดสัญญาณรบกวนแม่เหล็กไฟฟ้าได้ชัดเจน และเงื่อนไขที่ใช้ในการออกแบบวงจรชุกคอนเวอร์เตอร์ จะอยู่ในตารางที่ 4.1

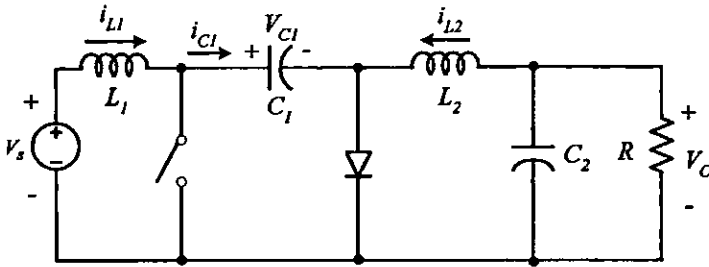
ตารางที่ 4.1 พิกัดของวงจรชุกคอนเวอร์เตอร์

ปริมาณทางไฟฟ้า	ขนาด/พิกัด	หน่วยวัด
แรงดันด้านเข้า (V_I)	12.5	โวลต์ (V)
แรงดันด้านออก (V_o)	-25	โวลต์ (V)
กระแสไฟฟ้าด้านออก (I_o)	2.08	แอมแปร์ (A)
กำลังไฟฟ้าด้านออก (P_o)	60	วัตต์ (W)
ความถี่สวิตซิ่ง (f)	50	กิโลเฮิรตซ์ (kHz)

เงื่อนไขที่ใช้ในการออกแบบ

ตารางที่ 4.1 จะเป็นพิกัดของวงจรชุกคอนเวอร์เตอร์ที่ใช้เป็นแหล่งกำเนิดสัญญาณรบกวน โดย วงจรชุกคอนเวอร์เตอร์มีหลักการทำงาน คือ เป็นวงจรที่เพิ่มหรือลดระดับแรงดันไฟฟ้าด้านออก โดยที่แรงดันไฟฟ้าด้านออกจะมีทิศทางตรงกันข้ามกับแรงดันไฟฟ้าด้านเข้า และวงจรชุกคอนเวอร์เตอร์ได้ถูกออกแบบ เพื่อแก้ปัญหาคะแสฮาร์โมนิกส์สูง โดยจะมีตัวเหนี่ยวนำ L , ทำหน้าที่กรองกระแสไฟฟ้าในด้านเข้า และมีวงจรกรองความถี่ต่ำผ่านชนิด LC ทางด้านออก ส่วนการเชื่อมต่อระหว่างด้านเข้ากับด้านด้านออกของวงจรชุกคอนเวอร์เตอร์จะใช้ตัวเก็บประจุ C , ดัง

วงจรในรูปที่ 4.2 [1] และในส่วนรายละเอียดการทำงานต่างๆ และการออกแบบวงจรชุดคอนเวอร์เตอร์จะอธิบายในผนวก ข



รูปที่ 4.2 วงจรชุดคอนเวอร์เตอร์

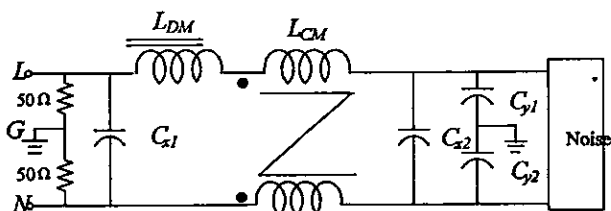
4.1.2 การพันตัวเหนี่ยวนำโหมคผลร่วมและโหมคผลต่าง

จะเป็นการออกแบบวงจรกรองสัญญาณรบกวนแม่เหล็กไฟฟ้า และการพันตัวเหนี่ยวนำโหมคผลร่วมและโหมคผลต่างที่ใช้อยู่ทั่วไป ดังในรูปที่ 4.3 และจากรูปที่ 4.3 ก) จะแสดงวงจรกรองสัญญาณรบกวนแม่เหล็กไฟฟ้าแบบทั่วไป และเพื่อให้เข้าใจการทำงานจะทำการแยกวิเคราะห์การเกิดสัญญาณรบกวนโหมคผลร่วม (CM noise) และวิเคราะห์การเกิดสัญญาณรบกวนโหมคผลต่าง (DM noise) ได้ดังนี้

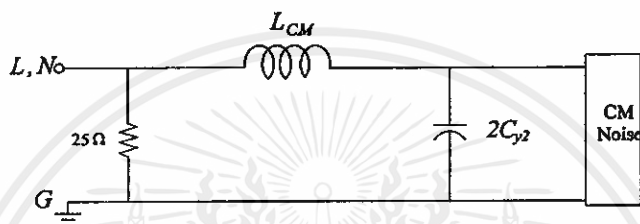
สัญญาณรบกวนโหมคผลร่วม เมื่อพิจารณาทิศทางของกระแสไฟฟ้าโหมคผลร่วม i_{CM} โดยที่กระแสไฟฟ้าโหมคผลร่วม i_{CM} จะไหลผ่านระหว่างสายตัวนำกับสายนิวตรอน ไปสู่ วงจรกรองสัญญาณรบกวน แล้วไหลครบวงจรลงสู่กราวด์ ดังนั้นจากการไหลของกระแสไฟฟ้าโหมคผลร่วม i_{CM} จะได้ว่าวงจรดังรูปที่ 4.3 (ข) โดยจากรูปจะแสดงวงจรสมมูลของสัญญาณรบกวนโหมคผลร่วม และจากรูปทำให้ทราบว่า อุปกรณ์ตัวใดมีผลช่วยลดทอนสัญญาณรบกวนโหมคผลร่วมได้ ซึ่งสามารถสรุปได้ดังนี้ ตัวเหนี่ยวนำ L_{CM} และ ตัวเก็บประจุ C_Y จะมีผลต่อการลดทอนสัญญาณรบกวนโหมคผลร่วมได้มาก และตัวเหนี่ยวนำ L_{DM} จะมีผลต่อการลดทอนสัญญาณรบกวนโหมคผลร่วม เนื่องจาก ตัวเหนี่ยวนำ L_{DM} จะไม่มีผลเมื่อพิจารณาสัญญาณรบกวนโหมคผลร่วม รวมทั้งค่าความต้านทานที่ต่ออยู่จะมีค่าลดลงเหลือ 25Ω เมื่อมองจากแหล่งกำเนิดสัญญาณรบกวนโหมคผลร่วม

สัญญาณรบกวนโหมคผลต่าง เมื่อพิจารณาทิศทางกระแสไฟฟ้าโหมคผลต่าง i_{DM} กล่าวคือ กระแส i_{DM} จะไหลผ่านสายตัวนำ ของแหล่งกำเนิดสัญญาณรบกวน ไปสู่สายนิวตรอน แล้วกลับมาครบวงจรที่แหล่งกำเนิดสัญญาณรบกวน จะได้ว่าวงจรดังรูปที่ 4.3 (ค) และจากรูปจะเห็นว่าตัวเหนี่ยวนำ L_{DM} และ ตัวเก็บประจุ C_X จะมีผลต่อการลดทอนสัญญาณรบกวนโหมคผลต่างได้มาก แต่ตัวเหนี่ยวนำ L_{CM} จะไม่มีผล ต่อการลดทอนเมื่อพิจารณาสัญญาณรบกวนโหมคผลต่าง แต่ยังมีผลของ $L_{leakage}$ ที่เกิดจากตัวเหนี่ยวนำ L_{CM} และ ตัวเก็บประจุ C_Y จะมีผล

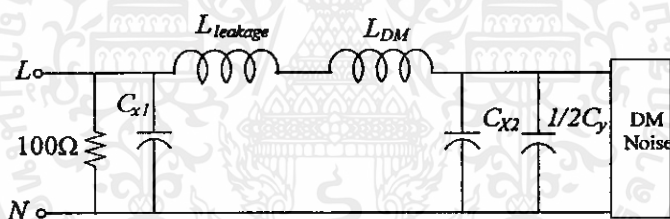
ต่อการลดทอนสัญญาณรบกวนโหมคผลต่างได้น้อยเนื่องจากจะมีค่าลดลง ส่วนตัวต้านทานที่ต่ออยู่จะมีค่าเพิ่มขึ้นเท่ากับ 100Ω เมื่อมองจากแหล่งกำเนิดสัญญาณรบกวนโหมคผลต่าง



(ก) วงจรกรองสัญญาณรบกวนแม่เหล็กไฟฟ้าแบบทั่วไป



(ข) วงจรสมมูลของวงจรกรองสัญญาณรบกวนโหมคผลร่วม



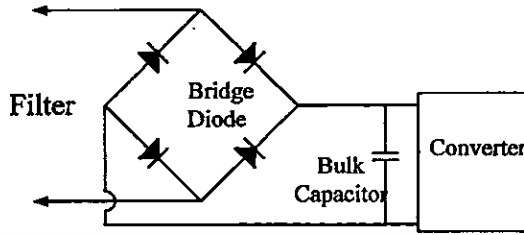
(ค) วงจรสมมูลของวงจรกรองสัญญาณรบกวนโหมคผลต่าง

รูปที่ 4.3 วงจรกรองสัญญาณรบกวนแม่เหล็กไฟฟ้าแบบทั่วไป

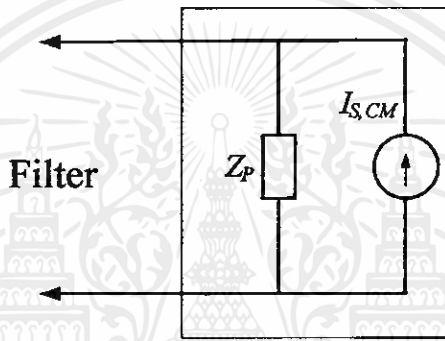
ในการหาค่าอุปกรณ์ของวงจรกรองสัญญาณรบกวนแม่เหล็กไฟฟ้าแบบทั่วไป

ก่อนที่จะทำการหาค่าส่วนประกอบของวงจรกรองสัญญาณรบกวนแม่เหล็กไฟฟ้าแบบทั่วไป นั้นจะต้องทำการพิจารณาหลักการทำงานของวงจรคอนเวอร์เตอร์ก่อน โดยเริ่มจากการวิเคราะห์ค่าอิมพีแดนซ์ของแหล่งจ่ายของวงจรคอนเวอร์เตอร์ และการทำงานในโหมคผลร่วมและในโหมคผลต่าง ซึ่งในรูปที่ 4.4 จะแสดงวงจรสมมูลของวงจรคอนเวอร์เตอร์ และในรูปที่ 4.4 (ข) จะแสดงวงจรสมมูลของแหล่งจ่ายสัญญาณรบกวนโหมคผลร่วม ซึ่งจะเห็นว่าวงจรคอนเวอร์เตอร์จะเหมือนกับแหล่งจ่ายกระแส $I_{S,CM}$ ที่ต่อขนานกับค่าอิมพีแดนซ์ Z_p และในรูปที่ 4.4 (ค) เป็นวงจรสมมูลของแหล่งจ่ายสัญญาณรบกวนโหมคผลต่าง จะมีการทำงานอยู่สองลักษณะคือ ลักษณะแรกขณะที่ไดโอดทำงาน จะทำให้สวิตช์ปิด และวงจรจะต่อกับค่าอิมพีแดนซ์ Z_s

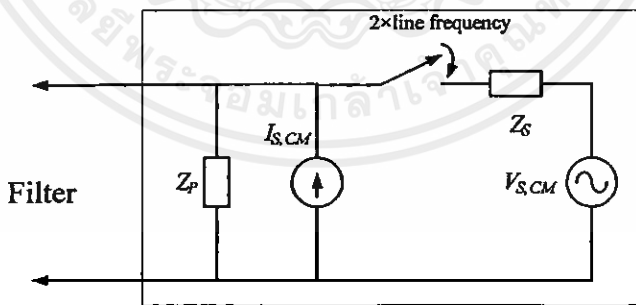
และอนุกรมกับแหล่งจ่าย $V_{S,CM}$ และลักษณะที่สองขณะที่ไดโอดไม่ทำงาน จะทำให้สวิตช์เปิด และจะเหมือนกับวงจรสมมูลย์ของแหล่งจ่ายสัญญาณรบกวน โหมดผลรวม [13]



(ก) วงจรคอนเวอร์เตอร์



(ข) วงจรสมมูลย์ของแหล่งจ่ายสัญญาณรบกวนโหมดผลรวม



(ค) วงจรสมมูลย์ของแหล่งจ่ายสัญญาณรบกวนโหมดผลต่าง

รูปที่ 4.4 วงจรสมมูลย์ของคอนเวอร์เตอร์ของแหล่งจ่ายสัญญาณรบกวนที่โหมดต่างๆ

การหาค่าอุปกรณ์ของวงจรกรองสัญญาณรบกวนแม่เหล็กไฟฟ้าแบบทั่วไป สามารถแบ่ง ออกเป็น 2 ส่วน คือ โหมดผลรวม และ โหมดผลต่าง ซึ่งสามารถที่จะอธิบายได้ดังนี้

1) โหมดผลร่วม

ในการวิเคราะห์การทำงานโหมดผลร่วม จะเริ่มจากการพิจารณาการทำงานของวงจรสมมูลย์ของสัญญาณรบกวนโหมดผลร่วมในรูปที่ 4.4 (ค) ซึ่งจะเริ่มจากการพิจารณาสัญญาณรบกวนโหมดผลร่วมที่ใช้แหล่งจ่ายกระแสไฟฟ้า $I_{S,CM}$ ขนานกับอิมพีแดนซ์ Z_p ดังในรูปที่ 4.5 (ก) จะแสดงวงจรการทำงานโหมดผลร่วม โดยจะเริ่มจากการพิจารณาอัตราลดทอนสัญญาณรบกวนแม่เหล็กไฟฟ้าในโหมดผลร่วม โดยจะหาได้จากการหาค่า transfer function ของแรงดันไฟฟ้าขณะใส่วงจรกรองสัญญาณรบกวนกับขณะที่ไม่ใส่วงจรกรองสัญญาณรบกวน ดังสมการที่ (4.1)

$$\text{CM Attenuation} = \frac{V_{LISN(\text{without filter})}}{V_{LISN(\text{with filter})}} \quad (4.1)$$

จากรูปที่ 4.5 (ก) เมื่อพิจารณาในส่วนของ EMI filter จะเห็นว่าตัวเก็บประจุ C_Y เท่ากับ $C_{CM} = 2C_Y$ และจากรูปที่ 4.5 (ก) จะเห็นว่าอิมพีแดนซ์ Z_p จะต่อขนานกับตัวเก็บประจุ C_Y ซึ่งค่าอิมพีแดนซ์ของตัวเก็บประจุ C_Y จะมีค่าน้อยมากเมื่อเปรียบเทียบกับค่าอิมพีแดนซ์ Z_p แต่จะที่ค่าอิมพีแดนซ์มากกว่า 25Ω ของ LISN ดังนั้นจะได้ ดังสมการที่ (4.2) และ (4.3)

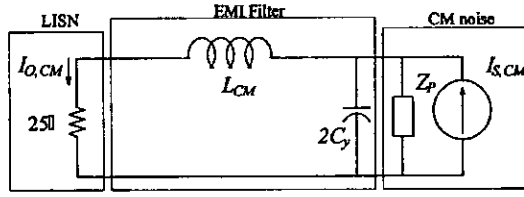
$$\frac{1}{\omega 2C_Y} \ll Z_p \quad (4.2)$$

และ

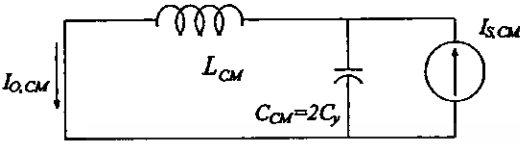
$$\omega L_C \gg 25\Omega \quad (4.3)$$

จากสมการที่ (4.2) และ (4.3) ทำให้สามารถสรุปได้ดังในรูปที่ 4.5 (ข) และจากนั้นเพื่อจะให้ง่ายต่อการพิจารณาจึงใช้ทฤษฎีบท reciprocity โดยจะย้ายข้างแหล่งจ่ายกระแส $I_{S,CM}$ เป็นแหล่งจ่ายแรงดัน $V_{S,CM}$ ดังในรูปที่ 4.5 (ค) และเมื่อพิจารณารูปที่ 4.5 (ค) จะเห็นว่าเป็นวงจรกรองความถี่ แบบ LC filter ดังนั้นค่าอัตราการลดทอนสัญญาณรบกวนโหมดผลร่วม เท่ากับ 40 dB/dec ซึ่งเป็นคุณลักษณะของวงจรแบบ LC filter ดังรูปที่ 4.5 (ง) และจะเห็นว่าจุดเปลี่ยนความถี่ $f_{R,CM}$ จะถูกกำหนดจากค่า L_C และ C_Y เพราะฉะนั้นค่าจุดเปลี่ยนความถี่ จะหาได้จากสมการที่ (4.4)

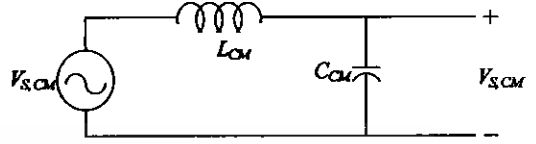
$$f_{R,CM} = \frac{1}{2\pi\sqrt{L_{CM}C_{CM}}} = \frac{1}{2\pi\sqrt{L_{CM} \cdot 2C_Y}} \quad (4.4)$$



(ก) วงจร โหมดผลร่วม

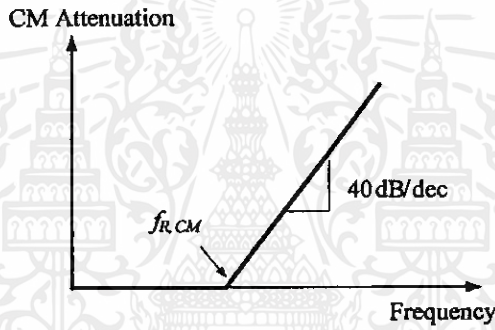


(ข) วงจรสมมูลย์โหมดผลร่วม



(ค) วงจรสมมูลย์โหมดผลร่วมโดยใช้ทฤษฎี

reciprocity



(ง) การลดทอนสัญญาณรบกวนของสัญญาณรบกวน โหมดผลร่วม

รูปที่ 4.5 การหาค่าการลดทอนสัญญาณรบกวนโหมดผลร่วม

2) โหมดผลต่าง

ในการพิจารณาสัญญาณรบกวนโหมดผลต่าง ในรูปที่ 4.6 นั้น จะเริ่มจากการพิจารณาการทำงานของไดโอด ขณะที่สวิตช์เปิด และสวิตช์ปิด ดังในรูปที่ 4.6 (ก) และในรูปที่ 4.6 (ข) ตามลำดับ โดยในรูปที่ 4.6 (ก) จะเป็นการทำงานขณะสวิตช์เปิด ซึ่งในการวิเคราะห์ห้วงจรจะเหมือนกับการทำงานในโหมดผลร่วม คือ จากวงจรค่าอิมพีแดนซ์ Z_p จะต่อขนานกับตัวเก็บประจุ C_{X2} ซึ่งค่าอิมพีแดนซ์ของตัวเก็บประจุ C_{X2} จะมีค่าน้อยมากเมื่อเปรียบเทียบกับค่าอิมพีแดนซ์ Z_p แต่จะห้ค่าอิมพีแดนซ์มากกว่า $\cdot 100 \Omega$ ของ LISN ดังนั้นจะได้ ดังสมการที่ (4.5) และ (4.6) และเมื่อพิจารณาที่ตัวเหนี่ยวนำ L_{DM} ค่าอิมพีแดนซ์ของตัวเหนี่ยวนำ L_{DM} จะมีค่าอิมพีแดนซ์มากกว่า 100Ω ของ LISN สามารถเขียนได้ดังสมการที่ (4.7) จะได้ดังในรูปที่ 4.6 (ค) และเพื่อจะให้ง่ายต่อการพิจารณาจึงใช้ทฤษฎี reciprocity โดยจะย้ายข้างแหล่งจ่ายกระแส $I_{S,DM}$ เป็นแหล่งจ่ายแรงดัน $V_{S,DM}$ ในรูปที่ 4.6 (จ)

$$\frac{1}{\omega C_{X2}} \ll Z_P \quad (4.5)$$

และ

$$\frac{1}{\omega C_{X1}} \gg 100 \quad (4.6)$$

และ

$$\omega L_{DM} \gg 100 \quad (4.7)$$

ขณะสวิตช์ปิด ดังในรูปที่ 4.6 (ข) จะมีการวิเคราะห์เหมือนกับขณะสวิตช์เปิด คือ จากรูปที่ 4.6 (ข) ตัวเก็บประจุ C_{X2} จะมีค่าอิมพีแดนซ์มากกว่าค่าอิมพีแดนซ์ของ Z_S ซึ่งสามารถเขียนได้ดังสมการที่ (4.8)

$$\frac{1}{\omega C_{X2}} \gg Z_S \quad (4.8)$$

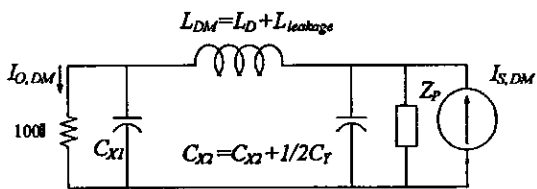
จากรูปที่ 4.6 (ง) จะเห็นว่าอิมพีแดนซ์ 100Ω ของ LISN ต่อขนานกับตัวเก็บประจุ C_{X1} เมื่อทำการพิจารณาจะเห็นว่าค่าอิมพีแดนซ์ตัวเก็บประจุ C_{X1} มีค่าน้อยกว่าค่าอิมพีแดนซ์ 100Ω ของ LISN จะสามารถเขียนได้ดังสมการที่ (4.9) และจากนั้นเพื่อจะให้ง่ายต่อการพิจารณาจึงใช้ทฤษฎีของ reciprocity โดยจะย้ายข้างแหล่งจ่ายกระแส $I_{S,DM}$ เป็นแหล่งจ่ายแรงดัน $V_{S,DM}$ ในรูปที่ 4.6 (ง) และจะได้ดังรูปที่ 4.6 (ฉ)

$$100 \gg \frac{1}{\omega C_{X1}} \quad (4.9)$$

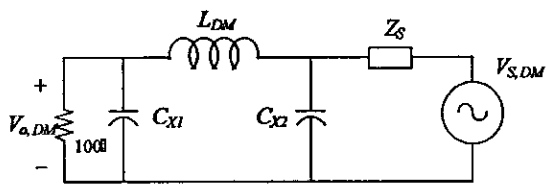
และเมื่อพิจารณารูปที่ 4.6 (จ) และรูปที่ 4.6 (ฉ) จะเห็นว่าจะเป็นการทำงานแบบวงจร LC filter นั้นเอง โดยรูปที่ 4.6 (ข) จะแสดงการลดทอนสัญญาณรบกวนของสัญญาณรบกวนโหมดผลต่าง ซึ่งจะมีค่าอัตราการลดทอนสัญญาณรบกวนโหมดผลรวม เท่ากับ 40 dB/dec ซึ่งเป็นคุณลักษณะของวงจรแบบ LC filter และจะเห็นว่าจุดเปลี่ยนความถี่ $f_{R,DM}$ จะถูกกำหนดจากค่า L_{DM} โดยที่ $L_{DM} = L_D + L_{leakage}$ และ $C_{X1} = C_{X2} = C_{DM}$ เพราะฉะนั้นค่าจุดเปลี่ยนความถี่จะหาได้จากสมการที่ (4.10)

$$f_{R,DM} = \frac{1}{2\pi\sqrt{L_{DM}C_{DM}}} = \frac{1}{2\pi\sqrt{(L_D + L_{leakage}) \cdot C_{DM}}} \quad (4.10)$$

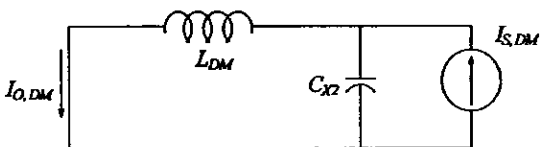
สารนี้เป็นเอกสารที่สงวนไว้สำหรับการใช้งานเพื่อการศึกษาเท่านั้น ไม่อนุญาตให้นำไปใช้ประโยชน์ด้านการค้า
ว่ากรณีใดๆทั้งสิ้น อีกทั้งห้ามมิให้คัดแปลงเนื้อหา และต้องอ้างอิงถึงเจ้าของเอกสารทุกครั้งที่มีการนำไปใช้



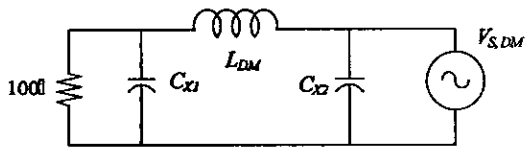
(ก) วงจรโหมคผลต่างขณะสวิตช์เปิด



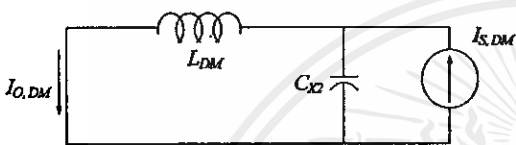
(ข) วงจรโหมคผลต่างขณะสวิตช์ปิด



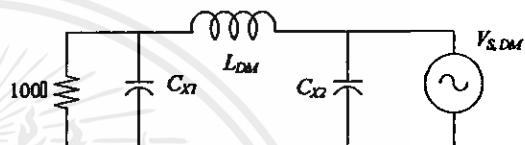
(ค) วงจรสมมูลโหมคผลต่างขณะสวิตช์เปิด



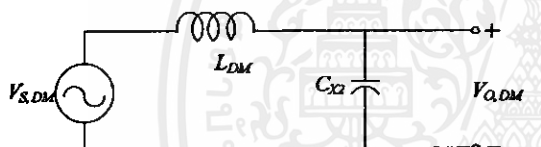
(ง) วงจรสมมูลโหมคผลต่างขณะสวิตช์ปิด



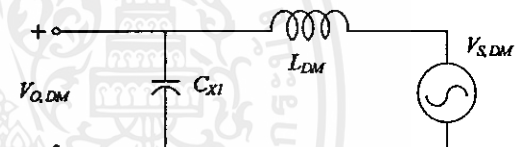
(ด) วงจรสมมูลโหมคผลต่างขณะสวิตช์เปิด



(ฉ) วงจรสมมูลโหมคผลต่างขณะสวิตช์ปิด



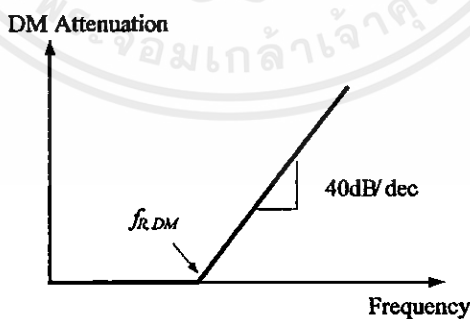
(จ) วงจรสมมูลโหมคผลต่างขณะสวิตช์เปิด



(ฉ) วงจรสมมูลโหมคผลต่างขณะสวิตช์ปิด

โดยใช้ทฤษฎี reciprocity

โดยใช้ทฤษฎี reciprocity



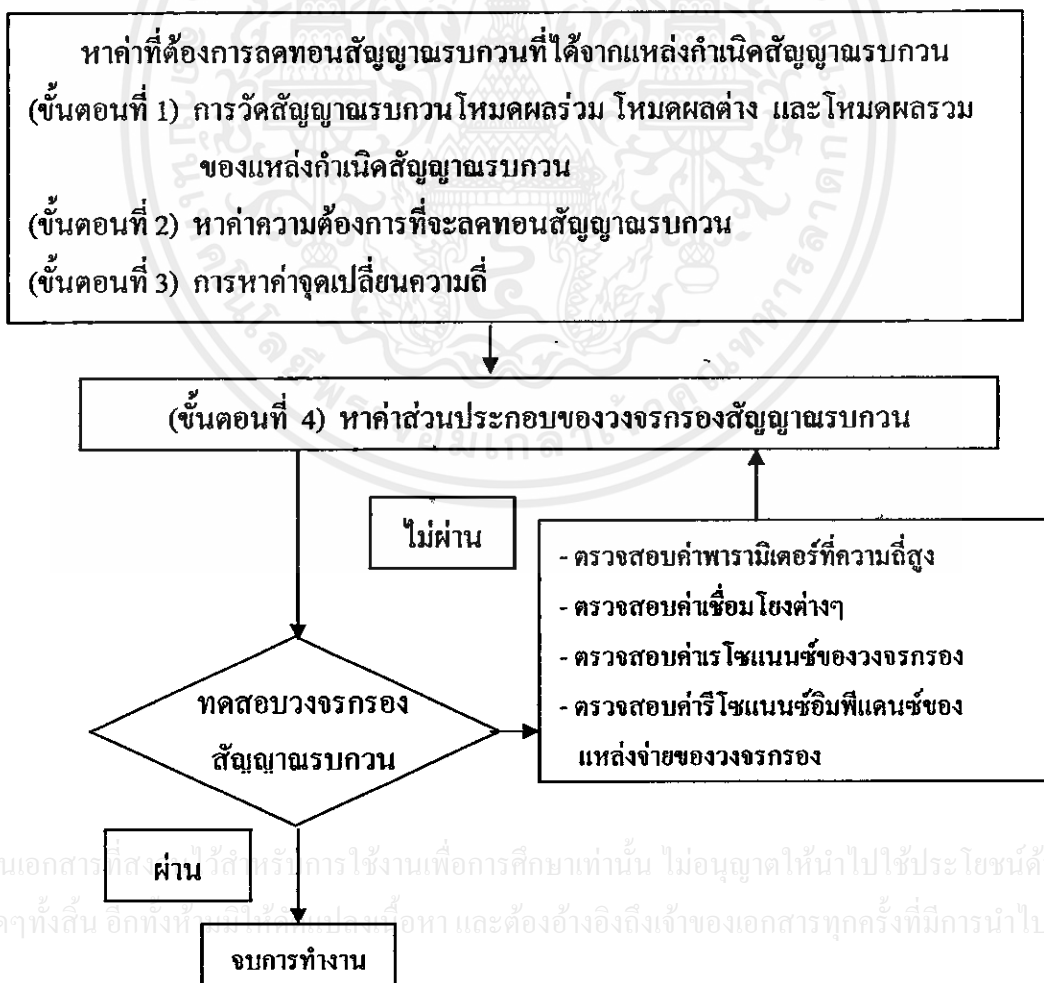
(ข) การลดทอนสัญญาณรบกวนของสัญญาณรบกวนโหมคผลต่าง

รูปที่ 4.6 การหาค่าการลดทอนสัญญาณรบกวนโหมคผลต่าง

สารนี้เป็นเอกสารที่สงวนไว้สำหรับการใช้งานเพื่อการศึกษาเท่านั้น ไม่อนุญาตให้นำไปใช้ประโยชน์ด้านการศึกษาอื่นใดทั้งสิ้น อีกทั้งห้ามมิให้คัดแปลงเนื้อหา และต้องอ้างอิงถึงเจ้าของเอกสารทุกครั้งที่มีการนำไปใช้

4.1.3 ขั้นตอนการออกแบบวงจรกรองสัญญาณรบกวนแม่เหล็กไฟฟ้า

ส่วนของขั้นตอนการออกแบบ โดยสามารถอธิบายได้จากรูปที่ 4.7 ซึ่งจะแสดงลำดับขั้นตอนการออกแบบ เริ่มจากการวัดสัญญาณรบกวนในโหมดต่างๆ ของแหล่งกำเนิดสัญญาณรบกวน ขณะที่ไม่มีวงจรกรองสัญญาณรบกวน จากนั้นทำการคำนวณหาค่าความต้องการที่จะลดทอนสัญญาณรบกวน โดยจะทำการเปรียบเทียบกับเส้นขีดจำกัดมาตรฐาน และขั้นตอนต่อมาทำการหาค่าจุดเปลี่ยนความถี่ของสัญญาณรบกวน โหมดผลรวมและโหมดผลต่าง เพื่อที่จะคำนวณค่าส่วนประกอบในวงจรกรองสัญญาณรบกวนแม่เหล็กไฟฟ้า เมื่อได้ค่าที่ต้องการแล้ว ทำการทดสอบวงจรกรองสัญญาณรบกวนแม่เหล็กไฟฟ้า ว่าสามารถที่จะลดทอนสัญญาณรบกวนแม่เหล็กไฟฟ้าได้ตามที่คำนวณได้หรือไม่ ถ้าได้ก็เป็นการสิ้นสุด ขั้นตอนการออกแบบ แต่ถ้าไม่ผ่านเส้นขีดจำกัดมาตรฐาน จะต้องทำการตรวจสอบค่าต่างๆ เช่น ค่า high frequency parasitic และค่า radiation coupling ดังในรูปที่ 4.7 รวมทั้งตรวจสอบเงื่อนไขการทำงานอีกครั้ง แล้วจึงทำการออกแบบวงจรกรองสัญญาณรบกวนแม่เหล็กไฟฟ้าใหม่อีกครั้งหนึ่ง ดังนั้นจึงสามารถสรุปขั้นตอนการออกแบบวงจรกรองสัญญาณรบกวนได้ 4 ขั้นตอน ดังนี้



รูปที่ 4.7 ขั้นตอนการออกแบบวงจรกรองสัญญาณรบกวนแม่เหล็กไฟฟ้า

ขั้นตอนที่ 1 เริ่มจากการวัดสัญญาณรบกวนโหมดผลรวม โหมดผลต่าง และโหมดผลรวมของแหล่งกำเนิดสัญญาณรบกวนขณะที่ไม่มีวงจรรองสัญญาณรบกวน โดยในวิทยานิพนธ์นี้จะใช้โพรบกระแส ในการวัดสัญญาณรบกวนที่เกิดขึ้น

ขั้นตอนที่ 2 เมื่อได้สัญญาณรบกวนโหมดผลรวม โหมดผลต่าง และโหมดผลรวมแล้วจากนั้นก็ทำการหาค่าความต้องการที่จะลดทอนสัญญาณรบกวน โดยจะทำการเปรียบเทียบกับเส้นขีดจำกัดมาตรฐาน คลอค่านความถี่ใช้งาน และจะรวมผลของการผิดพลาดจากการวัดประมาณ 3 dB ซึ่งจะหาการลดทอนสัญญาณรบกวนโหมดผลรวม $V_{reg,CM}$ ได้จากสมการที่ (4.27) และการลดทอนสัญญาณรบกวนโหมดผลต่าง $V_{reg,DM}$ ได้จากสมการที่ (4.28)

$$(V_{reg,CM})_{dB} = (V_{CM})_{dB} - (V_{limit})_{dB} + 3dB \quad (4.27)$$

$$(V_{reg,DM})_{dB} = (V_{DM})_{dB} - (V_{limit})_{dB} + 3dB \quad (4.28)$$

เมื่อ

$(V_{CM})_{dB}$ คือ ค่าสัญญาณรบกวนโหมดผลรวม ที่ได้จากขั้นตอนที่ 1

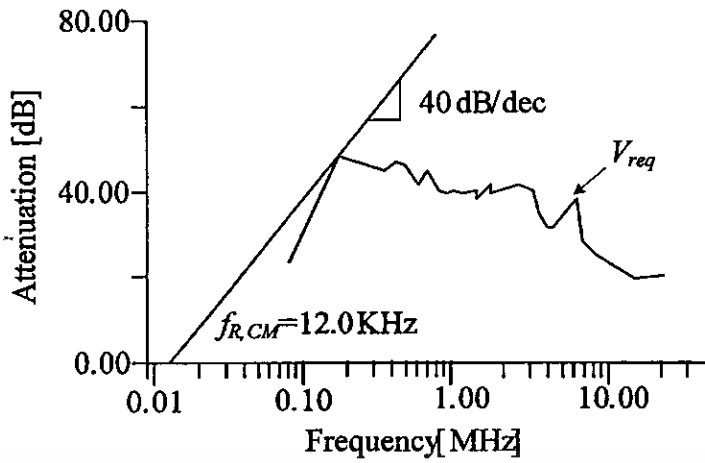
$(V_{DM})_{dB}$ คือ ค่าสัญญาณรบกวนโหมดผลต่าง ที่ได้จากขั้นตอนที่ 1

$(V_{limit})_{dB}$ คือ เส้นขีดจำกัดมาตรฐาน

3dB คือ ค่าผิดพลาดที่เกิดจากการวัด [12]

ขั้นตอนที่ 3 การหาค่าจุดเปลี่ยนความถี่

ในขั้นตอนนี้จะมีความสำคัญมากเพราะถ้าจุดเปลี่ยนความถี่ไม่ถูกต้องแล้ว จะทำให้วงจรรองสัญญาณรบกวนไม่สามารถลดทอนสัญญาณรบกวนตามที่ต้องการได้ เริ่มจากการนำค่าจากสมการที่ (4.27) คือ ค่าที่ต้องการที่จะลดทอนสัญญาณรบกวนในโหมดผลรวม $(V_{reg,CM})_{dB}$ และจากสมการที่ (4.28) คือ ค่าที่ต้องการที่จะลดทอนสัญญาณรบกวนในโหมดผลต่าง $(V_{reg,DM})_{dB}$ มาหาค่าจุดเปลี่ยนความถี่ โดยจะนำค่าที่ได้มาทำการพล็อต (plot) ลงในล็อกสเกล (log-log scale) ดังในรูปที่ 4.8 ซึ่งจะแสดงตัวอย่างการหาค่าจุดเปลี่ยนความถี่ แล้วจากนั้นก็นำสโลป ขนาด 40 dB/dec มาตีพัดเส้นที่ต้องการลดทอนสัญญาณรบกวน แล้วจึงได้จุดเปลี่ยนความถี่ ดังรูป



รูปที่ 4.8 ตัวอย่างการหาค่าจุดเปลี่ยนความถี่

ขั้นตอนที่ 4 การหาค่าส่วนประกอบต่างๆ ของวงจรกรองสัญญาณรบกวน จากขั้นตอนที่ 3 เราจะได้จุดเปลี่ยนความถี่ ของโหมคผลร่วมและโหมคผลต่าง จากนั้นนำค่าจุดเปลี่ยนความถี่ ไปหาค่าส่วนประกอบของวงจรกรองสัญญาณรบกวนแม่เหล็กไฟฟ้า ได้ดังนี้

ก) หาค่าส่วนประกอบของวงจรกรองสัญญาณรบกวนแม่เหล็กไฟฟ้า ในโหมคผลร่วมจะได้ L_C และ C_Y

จากการหาค่าจุดเปลี่ยนความถี่ $f_{R,CM}$ ดังสมการที่ (4.29)

$$f_{R,CM} = \frac{1}{2\pi\sqrt{L_{CM} \cdot 2C_Y}} \quad (4.29)$$

การหาค่าตัวเหนี่ยวนำ L_{CM} จะได้ดังสมการที่ (4.30)

$$L_{CM} = \left(\frac{1}{2\pi \cdot f_{R,CM}} \right)^2 \cdot \frac{1}{2 \cdot C_Y} \quad (4.30)$$

การหาค่าตัวเก็บประจุ C_Y จะได้ดังสมการที่ (4.31)

$$C_Y = \left(\frac{1}{2\pi \cdot f_{R,CM}} \right)^2 \cdot \frac{1}{L_{CM}} \quad (4.31)$$

ข) หาค่าส่วนประกอบของวงจรกรองสัญญาณรบกวนแม่เหล็กไฟฟ้า ในโหมคผลต่าง

L_{DM} , C_{X1} และ C_{X2}

และจากสมการที่ (4.29) จะได้ค่าตัวเหนี่ยวนำ L_{DM} ดังสมการที่ (4.32)

$$L_{DM} = \left(\frac{1}{2\pi \cdot f_{R,DM}} \right)^2 \cdot \frac{1}{C_{DM}} \quad (4.32)$$

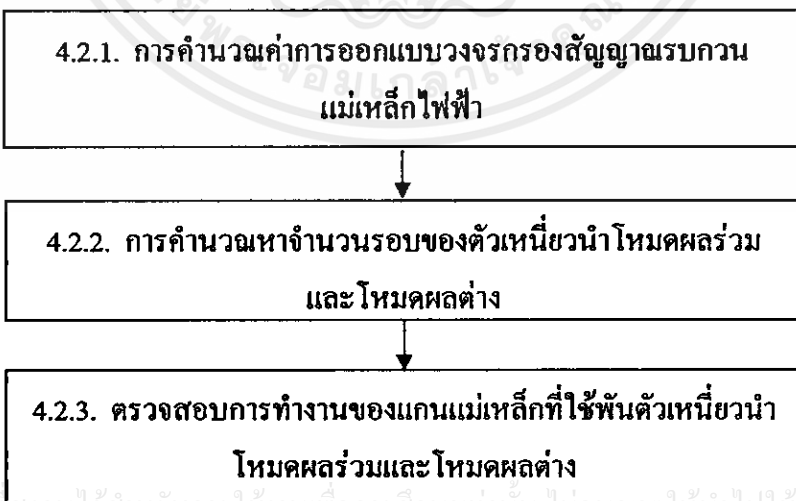
การหาค่าตัวเก็บประจุ $C_{DM} = C_{X1} = C_{X2}$ ได้ดังสมการที่ (4.33)

$$C_{DM} = C_{X1} = C_{X2} = \left(\frac{1}{2\pi \cdot f_{R,DM}} \right)^2 \cdot \frac{1}{L_{DM}} \quad (4.33)$$

เมื่อได้ค่าส่วนประกอบของวงจรกรองสัญญาณรบกวนแม่เหล็กไฟฟ้า แล้วก็สามารถประกอบเป็นวงจรกรองเพื่อนำไปทำการทดสอบว่าสามารถที่จะลดทอนสัญญาณรบกวน ความถี่ที่ต้องการจะลดทอนสัญญาณรบกวนได้ และในการออกแบบวงจรกรองสัญญาณรบกวนแม่เหล็กไฟฟ้าทางทฤษฎีแล้ว จะสามารถทำได้ง่าย แต่ในความเป็นจริงนั้น ในทางปฏิบัติจะเป็นไปได้ยากและมีความยากลำบาก เนื่องจากผลของตัวอุปกรณ์ เช่น การคำนวณค่าเหนี่ยวนำไฟฟ้า และค่าของตัวเก็บประจุที่จำกัด รวมทั้งคุณสมบัติของสารที่นำมาใช้ และอีกส่วนหนึ่งเป็นผลมาจากการวางตัวอุปกรณ์บนแผ่นวงจรไฟฟ้าไม่เหมาะสม ทำให้เกิดการรบกวนระหว่างตัวอุปกรณ์

4.2 การคำนวณหาค่าการออกแบบและส่วนประกอบของวงจรกรองสัญญาณรบกวนแม่เหล็กไฟฟ้า

ในส่วนนี้จะเป็นการคำนวณหาค่าการออกแบบและส่วนประกอบต่างๆ ของวงจรกรองสัญญาณรบกวนแม่เหล็กไฟฟ้า ที่ได้จากการขั้นตอนการออกแบบในหัวข้อที่ 4.1 และ ทำการตรวจสอบการทำงานของแกนเหล็กที่ใช้พันตัวเหนี่ยวนำโหมคผลร่วมและโหมคผลต่าง ดังในรูปที่ 4.9 สามารถแบ่งออกเป็น 3 ขั้นตอน ดังรูป

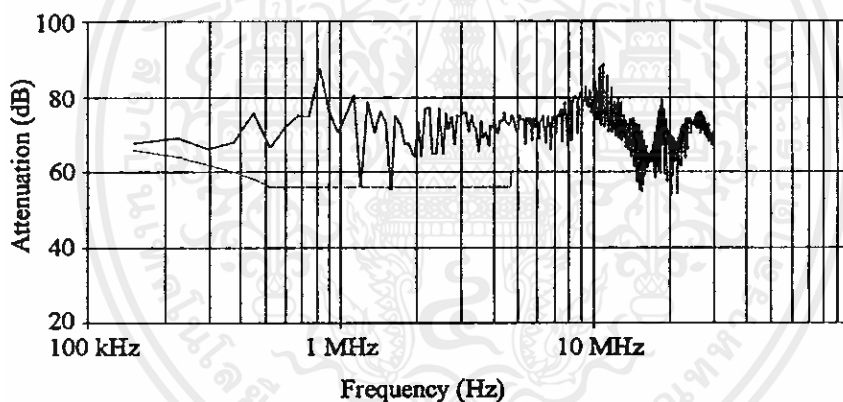


รูปที่ 4.9 การออกแบบของวงจรกรองสัญญาณรบกวนแม่เหล็กไฟฟ้า

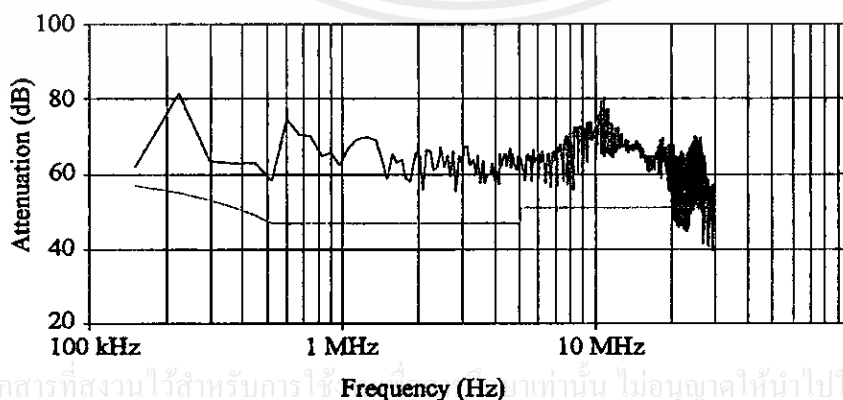
4.2.1. การคำนวณค่าการออกแบบวงจรกรองสัญญาณรบกวนแม่เหล็กไฟฟ้า

จากรูปที่ 4.8 ในหัวข้อที่ 4.1.3 จะแสดงขั้นตอนออกแบบวงจรกรองสัญญาณรบกวนแม่เหล็กไฟฟ้า ซึ่งในส่วนนี้จะเป็นการคำนวณค่าของวงจรกรองสัญญาณรบกวนแม่เหล็กไฟฟ้าที่ได้จากขั้นตอนการออกแบบ โดยการคำนวณจะสามารถแบ่งเป็นขั้นตอนได้ดังนี้

ขั้นตอนที่ 1 โดยจะเริ่มจากการวัดสัญญาณรบกวนโหมคผลร่วม และโหมคผลต่าง ของแหล่งกำเนิดสัญญาณรบกวน คือ วงจรซุกคอนเวอร์เตอร์ ขณะที่ไม่มีวงจรกรองสัญญาณรบกวน ซึ่งในการวัดสัญญาณรบกวนจะใช้โพรบกระแสวัดสัญญาณรบกวนในโหมคต่างๆ และจะเก็บผลของสัญญาณรบกวนที่ได้จากเครื่อง EMC analyzer ในรูปของ excel แล้วจึงทำการพล็อตผลที่ได้ดังในรูปที่ 4.10 และ 4.11 ซึ่งผลที่ได้จากการวัดสัญญาณรบกวนโหมคผลร่วมจะได้ดังในรูปที่ 4.10 และสัญญาณรบกวนโหมคผลต่างจะได้ดังในรูปที่ 4.11 และในรูปทั้งสองจะแสดงเส้นขีดจำกัดมาตรฐานตามมาตรฐาน EN 55022 Class B ด้วย



รูปที่ 4.10 สัญญาณรบกวนโหมคผลร่วมที่ได้จากการวัด



รูปที่ 4.11 สัญญาณรบกวนโหมคผลต่างที่ได้จากการวัด

ขั้นตอนที่ 2 ในขั้นตอนนี้จะนำผลของสัญญาณรบกวนโหมคผลร่วม และโหมคผลต่าง ที่ได้จากการวัดในขั้นตอนที่ 1 มาทำหาค่าความต้องการที่จะลดทอนสัญญาณรบกวนโหมคผลร่วม

และโหมคผลต่าง โดยจะทำการเปรียบเทียบกับเส้นขีดจำกัดมาตรฐาน และจะรวมผลของการผิดพลาดจากการวัดประมาณ 3 dB ซึ่งในการหาค่าความต้องการที่จะลดทอนสัญญาณรบกวนโหมคผลรวม $V_{reg,CM}$ จะหาได้จากสมการที่ (4.27) และผลของค่าความต้องการที่จะลดทอนสัญญาณรบกวนโหมคผลรวม จะแสดงดังในรูปที่ 4.12 ตัวอย่างการหาค่า $V_{reg,CM}$ ที่ความถี่ 450 kHz จะได้ ค่า $(V_{CM})_{dB}$ เท่ากับ 92 dB μ V และ $(V_{limit})_{dB}$ เท่ากับ 56 dB μ V และค่าผิดพลาดจากการวัดประมาณ 3 dB จะได้ค่าความต้องการที่จะลดทอนสัญญาณรบกวนโหมคผลรวม เท่ากับ

$$(V_{reg,CM})_{dB} = (V_{CM})_{dB} - (V_{limit})_{dB} + 3dB$$

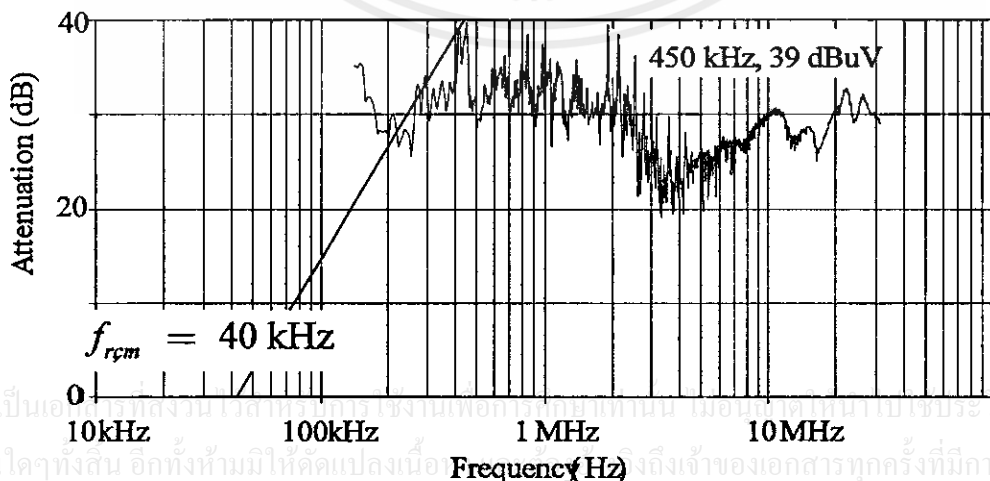
$$(V_{reg,CM})_{dB} = (92)_{dB} - (56)_{dB} + 3 dB = 39 dB$$

จะได้ $V_{reg,CM} = 39$ dB μ V ดังในรูปที่ 4.11 จากนั้นในการหาค่าความต้องการที่จะลดทอนสัญญาณรบกวนโหมคผลต่าง $V_{reg,DM}$ จะหาได้จากสมการที่ (4.28) และผลของค่าความต้องการที่จะลดทอนสัญญาณรบกวนโหมคผลต่าง จะแสดงดังในรูปที่ 4.13 ตัวอย่างการหาค่า $V_{reg,DM}$ ที่ความถี่ 224.6 kHz จะได้ ค่า $(V_{DM})_{dB}$ เท่ากับ 90.5 dB μ V และ $(V_{limit})_{dB}$ เท่ากับ 64 dB μ V และค่าผิดพลาดจากการวัดประมาณ 3 dB จะได้ค่าความต้องการที่จะลดทอนสัญญาณรบกวนโหมคผลรวม เท่ากับ

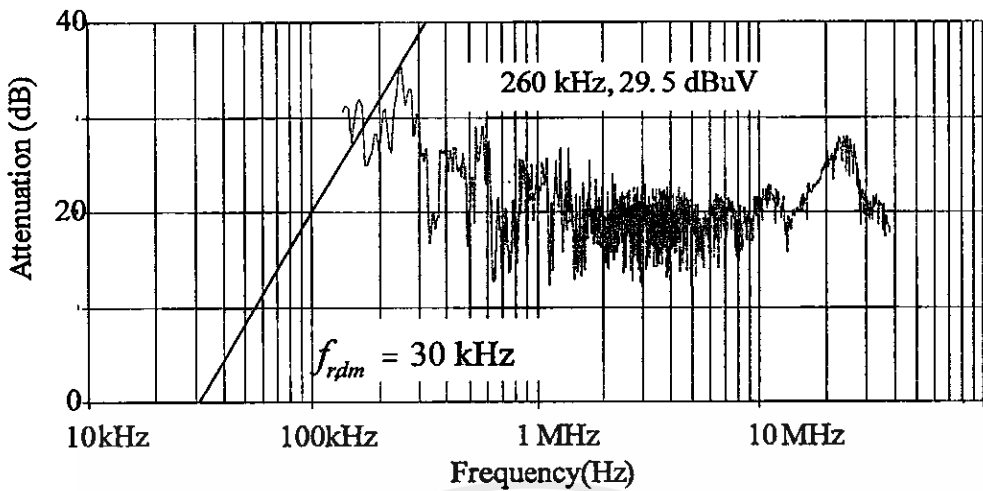
$$(V_{reg,DM})_{dB} = (V_{DM})_{dB} - (V_{limit})_{dB} + 3 dB$$

$$(V_{reg,DM})_{dB} = (95)_{dB} - (64)_{dB} + 3 dB = 34 dB$$

จะได้ $V_{reg,DM}$ เท่ากับ 34 dB μ V ดังในรูปที่ 4.24 ส่วนรายละเอียดต่างๆ และการคำนวณ จะแสดงในภาคผนวก ค



รูปที่ 4.12 การลดทอนสัญญาณรบกวน และค่าจุดเปลี่ยนความถี่โหมคผลรวม $f_{r,CM}$



รูปที่ 4.13 การลดทอนสัญญาณรบกวน และค่าจุดเปลี่ยนความถี่ใหม่ผลต่าง $f_{r,DM}$

ขั้นตอนที่ 3 จะเป็นการหาค่าจุดเปลี่ยนความถี่ (f_r)

ในขั้นตอนที่ 2 นั้นจะได้ค่าความต้องการที่จะลดทอนสัญญาณรบกวนใหม่ผลรวมและใหม่ผลต่าง แล้ว จากนั้นในรูปที่ 4.12 และ 4.13 ข้อมูลจากผนวก ค จะแสดงผลของการหาค่าจุดเปลี่ยนความถี่ (f_r) ด้วย ในขั้นตอนการหาค่าจุดเปลี่ยนความถี่นี้จะมีความสำคัญมากเพราะถ้าจุดเปลี่ยนความถี่ไม่ถูกต้องแล้ว จะทำให้วงจรกรองสัญญาณรบกวนไม่สามารถลดทอนสัญญาณรบกวนตามที่ต้องการได้ ในการหาค่าจุดเปลี่ยนความถี่ เริ่มจากการนำค่าที่ต้องการที่จะลดทอนสัญญาณรบกวนในใหม่ผลรวม ($V_{reg,CM}$)_{dB} และ ค่าที่ต้องการที่จะลดทอนสัญญาณรบกวนในใหม่ผลต่าง ($V_{reg,DM}$)_{dB} ในขั้นตอนที่ 2 จากนั้นนำความชัน ขนาด 40 dB/dec มาสัมผัสเส้นที่ต้องการลดทอนสัญญาณรบกวนใหม่ผลรวมและใหม่ผลต่าง ดังในรูปที่ 4.12 และ 4.13 ซึ่งจะได้จุดเปลี่ยนความถี่ใหม่ผลรวม $f_{r,CM}$ เท่ากับ 40 kHz และจุดเปลี่ยนความถี่ใหม่ผลต่าง $f_{r,DM}$ เท่ากับ 20 kHz ดังในรูปที่ 4.12 และ 4.13 ตามลำดับ

ในส่วนของความชัน ขนาด 40 dB/dec นั้นจะได้มาจากการวิเคราะห์การทำงานของวงจรกรองสัญญาณรบกวนแม่เหล็กไฟฟ้าในหัวข้อที่ 4.1

ขั้นตอนที่ 4 เป็นการหาค่าส่วนประกอบต่างๆ ของวงจรกรองสัญญาณรบกวน

จากขั้นตอนที่ 3 จะได้ค่าจุดเปลี่ยนความถี่ใหม่ผลรวมและใหม่ผลต่าง จากนั้นในขั้นตอนนี้ จะเป็นการนำค่าจุดเปลี่ยนความถี่ใหม่ผลรวมและใหม่ผลต่าง ไปหาค่าส่วนประกอบของวงจรกรองสัญญาณรบกวนแม่เหล็กไฟฟ้าทั้ง 3 แบบการพัน ดังนี้

การพันตัวเหนี่ยวนำโหมคผลร่วมและโหมคผลต่าง

หาค่าส่วนประกอบของวงจรกรองสัญญาณรบกวนแม่เหล็กไฟฟ้า ในโหมคผลร่วมจะได้ค่าตัวเหนี่ยวนำ L_C และตัวเก็บประจุ C_Y

ในการหาค่าส่วนประกอบของวงจรกรองสัญญาณรบกวนแม่เหล็กไฟฟ้า ในโหมคผลร่วมจะต้องหาค่ากระแสรั่วไหลลงดินก่อน ซึ่งดูจากวงจรกรองสัญญาณรบกวน ตัวเก็บประจุ C_Y จะต่ออยู่ระหว่างสายตัวนำกับกราวด์และสายนิวตรอนกับกราวด์ ดังนั้น กระแสรั่วไหลลงดิน I_{lkg} จะสามารถหาได้จาก $I_{lkg} = 2\pi f \cdot V \cdot (1.1) \cdot (1.2) \cdot C_{y,total}$ ซึ่งขีดจำกัดกระแสรั่วไหลลงดิน สำหรับมาตรฐานความปลอดภัย สำหรับเครื่องมือที่สามารถเคลื่อนย้ายได้ จะให้กระแสรั่วไหลลงดิน $I_{lkg} = 0.75 \text{ mA}$ ดังนั้นตัวเก็บประจุ $C_{y,total}$ จะมีค่าเท่ากับ

$$C_{y,total} = \frac{0.75 \times 10^{-3}}{2\pi f \cdot 240 \cdot 1.1 \cdot 1.2} = 7 \text{ nF}$$

จากการคำนวณจะได้ค่าเก็บประจุ $C_{y,total}$ จะมีค่าเท่ากับ 7 nF ดังนั้นตัวเก็บประจุ C_{Y1} และ C_{Y2} ที่ใช้จะมีค่าเท่ากับครึ่งหนึ่งของ $C_{y,total} = C_{Y1} + C_{Y2}$ ฉะนั้นจะได้ตัวเก็บประจุ C_{Y1} และ C_{Y2} มีค่าเท่ากับ $(7 \text{ nF})/2 = 3.5 \text{ nF}$

ดังนั้น ค่าตัวเก็บประจุ C_{Y1} และ C_{Y2} ที่คำนวณมีค่าเท่ากับ 3.5 nF จำนวน 2 ตัว แต่ค่าตัวเก็บประจุ C_{Y1} และ C_{Y2} ที่ใช้ในทางปฏิบัติจะมีค่าเท่ากับ 3.3 nF จำนวน 2 ตัว

การหาค่าตัวเหนี่ยวนำ L_{CM} จะหาได้จากสมการที่ (4.30) โดยตัวเก็บประจุ C_Y ที่ใช้จะมีค่าเท่ากับ $3.3 \times 10^{-9} \text{ F}$ และจุดเปลี่ยนความถี่ในโหมคผลร่วม $f_{r,CM}$ เท่ากับ 40 kHz ดังนั้นค่าความเหนี่ยวนำ L_{CM} จะมีค่าเท่ากับ

$$L_{CM} = \left(\frac{1}{2\pi \cdot f_{r,CM}} \right)^2 \cdot \frac{1}{2C_Y}$$

$$L_{CM} = \left(\frac{1}{2\pi \cdot 40 \times 10^3} \right)^2 \cdot \frac{1}{2 \cdot 3.3 \times 10^{-9}} = 2.4 \text{ mH}$$

ดังนั้น ค่าความเหนี่ยวนำ L_{CM} ที่ใช้จะมีค่าเท่ากับ 2.4 mH

ข) หาค่าส่วนประกอบของวงจรกรองสัญญาณรบกวนแม่เหล็กไฟฟ้า ในโหมคผลต่าง

L_{DM}, C_{X1} และ C_{X2} สำหรับการใช้งานเพื่อการศึกษาเท่านั้น ไม่อนุญาตให้นำไปใช้ประโยชน์ด้านการค้าหรือใดๆทั้ง จากสมการที่ (4.31) จะได้ค่าเหนี่ยวนำ L_{DM} ดังนั้นในการหาค่าเหนี่ยวนำ L_{DM} จึงทำการกำหนดค่า C_{X1} และ C_{X2} ก่อน เพราะฉะนั้นจึงกำหนดให้ C_{X1} และ C_{X2} เท่ากับ 0.68 μF

และค่าจุดเปลี่ยนความถี่ในโหมดผลรวม $f_{r,DM}$ เท่ากับ 40 kHz ดังนั้นค่าเหนี่ยวนำ L_{DM} จะมีค่าเท่ากับ

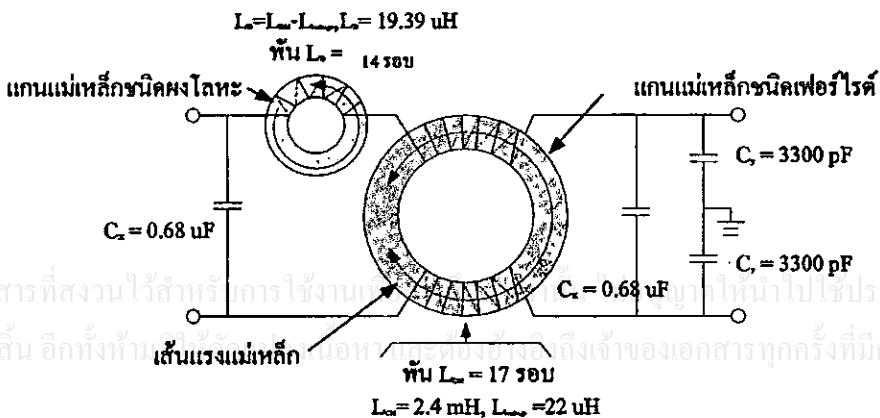
$$L_{DM} = \left(\frac{1}{2\pi \cdot f_{r,DM}} \right)^2 \cdot \frac{1}{C_{DM}}$$

$$L_{DM} = \left(\frac{1}{2\pi \cdot 30 \times 10^3} \right)^2 \cdot \frac{1}{0.68 \times 10^{-6}} = 41.39 \text{ uH}$$

ดังนั้นค่าความเหนี่ยวนำ L_{DM} ที่ใช้จะมีค่าเท่ากับ 41.39 uH แต่ในทางปฏิบัติค่าความเหนี่ยวนำ L_{DM} จะมีผลของ ค่าความเหนี่ยวนำ $L_{leakage}$ ของตัวเหนี่ยวนำ L_{DM} ที่ได้จากการวัดรวมอยู่ด้วย ดังนั้นค่าเหนี่ยวนำ L_{DM} ที่จะใช้พันเป็นตัวเหนี่ยวนำ L_{DM} จะมีค่าเท่ากับ $41.39 \text{ uH} - L_{leakage}$ และในการวัดค่าความเหนี่ยวนำ $L_{leakage}$ ของตัวเหนี่ยวนำ L_{CM} มีค่าเท่ากับ 22 uH ดังนั้นจะได้ค่าความเหนี่ยวนำ L_{DM} ที่ใช้พันในทางปฏิบัติมีค่าเท่ากับ $41.39 \times 10^{-6} - 22 \times 10^{-6} = 19.39 \text{ uH}$

4.2.2 รูปการหาค่าส่วนประกอบของวงจรกรองสัญญาณรบกวนแม่เหล็กไฟฟ้าที่มีรูปแบบการพันตัวเหนี่ยวนำโหมดผลรวมและโหมดผลต่าง

- ค่าตัวเก็บประจุ C_{Y1} และ C_{Y2} ที่ได้จากการคำนวณมีค่าเท่ากับ 3.5 nF แต่ในทางปฏิบัติจะเลือกใช้ค่า 3.3 nF
- ค่าตัวเหนี่ยวนำ L_{CM} ที่ได้จากการคำนวณมีค่าเท่ากับ 2.4 mH แต่ในทางปฏิบัติจะเลือกใช้ค่า 0.36 mH
- ค่าตัวเก็บประจุ C_{X1} และ C_{X2} ที่ใช้จะมีค่าเท่ากับ 0.68 μ F
- ค่าตัวเหนี่ยวนำ L_{DM} ที่ได้จากการคำนวณมีค่าเท่ากับ 41.39 uH ในทางปฏิบัติมีค่าเท่ากับ $L_D = L_{DM} - L_{leakage} = 41.39 \times 10^{-6} - 22 \times 10^{-6} = 19.39 \text{ uH}$



รูปที่ 4.14 ค่าส่วนประกอบของวงจรกรองสัญญาณรบกวนแม่เหล็กไฟฟ้าแบบทั่วไป

การคำนวณหาจำนวนรอบการพันของตัวเหนี่ยวนำโหมคผลรวม

จากการออกแบบแบบตัวเหนี่ยวนำโหมคผลรวม ค่าที่คำนวณได้มีค่าเท่ากับ 2.4 mH ดังนั้นจำนวนรอบที่ต้องการ เมื่อแทนค่าในสมการที่ 4.34 เมื่อ A_L (nH/N²) จะได้ข้อมูลจากผู้ผลิต (ผนวก ก) นั้นมีค่าเท่ากับ 8230 (nH/N²) จะมีค่าเท่ากับ

$$\text{Required turns} = \left[\frac{2.4 \times 10^6 \text{ (nH)}}{8230 \text{ (nH/N}^2\text{)}} \right]^{1/2} = 17 \text{ turns}$$

ดังนั้นจำนวนรอบของตัวเหนี่ยวนำโหมคผลรวมจะเท่ากับ 17 รอบ

การคำนวณหาจำนวนรอบของตัวเหนี่ยวนำโหมคผลต่าง

จากการออกแบบแบบตัวเหนี่ยวนำโหมคผลต่าง ค่าที่คำนวณได้มีค่าเท่ากับ 93.12 μ H ในทางปฏิบัติจะมีค่าเท่ากับ $L_D = L_{DM} - L_{leakage} = 41.39 \times 10^{-6} - 22 \times 10^{-6} = 19.39 \text{ uH}$ ดังนั้นจำนวนรอบที่ต้องการ เมื่อแทนค่าในสมการที่ 4.34 เมื่อ A_L (nH/N²) จะได้ข้อมูลจากผู้ผลิต (ผนวก ก) นั้นมีค่าเท่ากับ 100 (nH/N²) จะมีค่าเท่ากับ

$$\text{Required turns} = \left[\frac{19.39 \times 10^3 \text{ (nH)}}{100 \text{ (nH/N}^2\text{)}} \right]^{1/2} = 13.92 \text{ turns}$$

ดังนั้นจำนวนรอบของตัวเหนี่ยวนำโหมคผลต่างจะเท่ากับ 13.92 รอบ และในทางปฏิบัติแล้วจะพันเท่ากับ 14 รอบ

4.2.3 ตรวจสอบการทำงานของแกนเหล็กที่ใช้พันตัวเหนี่ยวนำโหมคผลรวมและโหมคผลต่าง

ในขั้นตอนนี้ จะเป็นการตรวจสอบการอิ่มตัวของแกนเหล็กที่ใช้ในงานวิจัย โดยแกนเหล็กที่ใช้จะมี 2 ชนิด คือแกนเหล็กชนิดเฟอร์ไรต์ และแกนเหล็กชนิดซิล โลหะ แต่วิธีในการหาค่าการอิ่มตัวของแกนเหล็กของทั้งสองแกนเหล็กจะมีวิธีเหมือนกัน

โดยเริ่มจากการตรวจสอบการอิ่มตัวของแกนเหล็กชนิดเฟอร์ไรต์ จะเป็น ferrite core ยี่ห้อ KAWATETSU FERRITE รุ่น R-63/44/13.5 เนื้อสารชนิด MA070 ที่ใช้ในงานวิจัยนี้ ค่าความหนาแน่นเส้นแรงแม่เหล็กสูงสุด B_{max} ในแกนเหล็กนั้น เกิดขึ้นจากผลรวมของค่าความหนาแน่นเส้นแรงแม่เหล็ก B_{DC} , B_{AC} และ B_r จะได้

$$B_{max} = B_{DC} + B_{AC} + B_r < B_{Sat}$$

โดยที่ค่า B_r คือ ความหนาแน่นเส้นแรงแม่เหล็กเมื่อค่าความเข้มสนามแม่เหล็ก H มีค่าเป็นศูนย์ หรือเมื่อกระแสไฟฟ้าไฟฟ้าเหนี่ยวนำทำแม่เหล็กมีค่าเป็นศูนย์ ซึ่งข้อมูลจากผู้ผลิตจะได้ B_r มีค่าประมาณ 100 mT และการหาค่าความหนาแน่นเส้นแรงแม่เหล็กที่เกิดจากไฟฟ้ากระแสสลับ จะหาได้จาก

$$B_{AC} = \frac{34 \times 10 \times 10^{-6}}{7 \times 159} = 0.3 \mu\text{T}$$

และในการหาค่าความหนาแน่นเส้นแรงแม่เหล็กที่เกิดจากไฟฟ้ากระแสตรง จะหาได้จาก

$$B_{DC} = \frac{4\pi \times 10^{-7} \times 7 \times 2}{0.170} = 0.1 \text{ mT}$$

และนำค่าทั้งหมดที่หาได้แทนลงในสมการที่ (3.21) เพื่อหาค่า B_{\max} จะได้

$$\begin{aligned} B_{\max} &= 0.1 \text{ mT} + 0.3 \mu\text{T} + 100 \text{ mT} \\ &= 99 \text{ mT} \end{aligned}$$

จากข้อมูลจากผู้ผลิตแกนเหล็กนั้น แกนเนื้อสาร MA070 นั้นมี B_{Sat} อยู่ที่ 440 mT โดยค่าที่คำนวณได้ B_{\max} นั้นมีค่าเพียง 99 mT เท่านั้น ดังนั้นจึงสรุปได้ว่าขณะวงจรทำงานแกนเหล็กจะไม่เกิดการอิ่มตัวขึ้น

การตรวจสอบการอิ่มตัวของแกนเหล็กชนิดผงโลหะจะเป็น toroidal core ยี่ห้อ MICROMETALS รุ่น T157-26 โดยที่ค่า B_r จากผู้ผลิตจะได้ B_r มีค่าประมาณ 175 mT (ผนวก) และการหาค่าความหนาแน่นเส้นแรงแม่เหล็กที่เกิดจากไฟฟ้ากระแสสลับ จะหาได้จาก

$$B_{AC} = \frac{34 \times 10 \times 10^{-6}}{10 \times 106} = 3 \mu\text{T}$$

และในการหาค่าความหนาแน่นเส้นแรงแม่เหล็กที่เกิดจากไฟฟ้ากระแสตรง จะหาได้จาก

$$B_{DC} = \frac{4\pi \times 10^{-7} \times 7 \times 2}{0.101} = 0.17 \text{ mT}$$

และนำค่าทั้งหมดที่หาได้แทนลงในสมการที่ (3.21) เพื่อหาค่า B_{\max} จะได้

$$\begin{aligned} B_{\max} &= 0.17 \text{ mT} + 3 \mu\text{T} + 175 \text{ mT} \\ &= 174.83 \text{ mT} \end{aligned}$$

จากข้อมูลจากผู้ผลิตแกนเหล็กนั้น แกนเนื้อสาร MA070 นั้นมี B_{Sat} อยู่ที่ 1380 mT โดยค่าที่คำนวณได้ B_{\max} นั้นมีค่าเพียง 174.83 mT เท่านั้น ดังนั้นจึงสรุปได้ว่าขณะวงจรทำงานแกนเหล็กจะไม่เกิดการอิ่มตัวขึ้น

4.3 การลดทอนสัญญาณรบกวนแม่เหล็กไฟฟ้าของรูปแบบการพันตัวเหนี่ยวนำโหมดผลร่วมและโหมดผลต่าง

ในหัวข้อนี้จะเป็นการหาค่าการลดทอนสัญญาณรบกวนแม่เหล็กไฟฟ้า ของตัวเหนี่ยวนำ ดังนี้

อัตราการลดทอนสัญญาณรบกวนของตัวเหนี่ยวนำโหมดผลร่วมและโหมดผลต่างที่มีการพันแบบ CM เมื่อพิจารณารูปแบบการพันตัวเหนี่ยวนำโหมดผลร่วมและโหมดผลต่างแบบ CM จะได้ว่าวงจรจรสมมูลของตัวเหนี่ยวนำโหมดผลร่วมและโหมดผลต่างที่มีการพันแบบ CM โดยตัวเหนี่ยวนำโหมดผลต่าง L_{DM} ได้จากการพันตัวเหนี่ยวนำโหมดผลต่าง L_{DM} อีกแกนหนึ่ง และตัวเหนี่ยวนำโหมดผลร่วม L_{CM} ได้จากรูปแบบการพันตัวเหนี่ยวนำโหมดผลร่วม

ในการหาค่าอัตราการลดทอนสัญญาณรบกวนของตัวเหนี่ยวนำโหมดผลร่วมและโหมดผลต่างที่มีการพันแบบ CM นั้นสามารถหาได้ โดยจะได้ transfer function ของแรงดันไฟฟ้าด้านออกต่อแรงดันไฟฟ้าด้านเข้า ดังสมการที่ (4.35) โดยที่ Z_S คือค่าอิมพีแดนซ์ของแหล่งจ่ายกำลังไฟฟ้าด้านเข้า และ Z_L คือค่าอิมพีแดนซ์ของโหลด

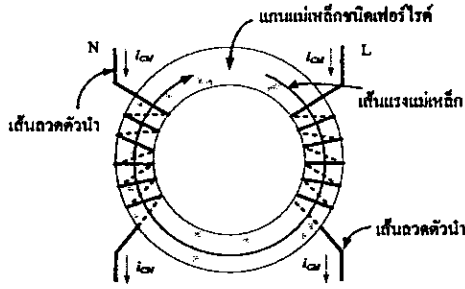
$$\frac{V_{out}}{V_S} = \frac{Z_L}{Z_S + Z_L + (j\omega L_{CM} + j\omega L_{DM})} \quad (4.35)$$

จากสมการที่ (4.35) แทนค่าในสมการที่ (3.1) จะได้ค่าอัตราการลดทอนสัญญาณรบกวนของตัวเหนี่ยวนำโหมดผลร่วมและโหมดผลต่างที่มีการพันแบบ CM ดังแสดงในสมการที่ (4.37) เมื่อค่า $Z_1 = j\omega L_{DM}, Z_2 = j\omega L_{CM}$

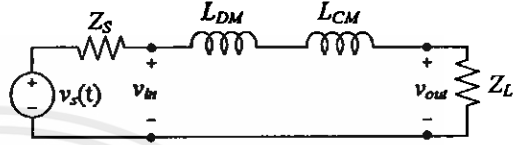
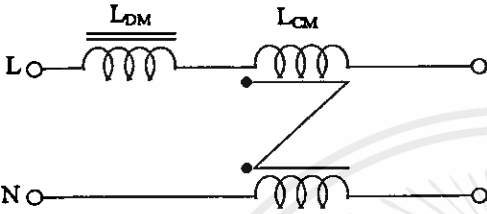
$$IL_{dB} = 20 \log_{10} \left| 1 + \frac{\frac{Z_L}{Z_S + Z_L}}{\frac{Z_L}{Z_S + Z_L + Z_1 + Z_2}} \right| \quad (4.36)$$

$$IL_{dB} = 20 \log_{10} \left| 1 + \frac{Z_1 + Z_2}{Z_S + Z_L} \right| \quad (4.37)$$

จากสมการที่ (4.37) จะเห็นว่าถ้าค่าอินดักทีฟรีแอกแตนซ์ (inductive reactance) ของตัวเหนี่ยวนำโหมดผลร่วม (Z_2) และโหมดผลต่าง (Z_1) มีค่ามากกว่าค่าอิมพีแดนซ์ของแหล่งจ่ายและโหลดที่นำมาต่อจะทำให้ตัวเหนี่ยวนำมีประสิทธิภาพในการกรองสัญญาณรบกวนได้สูง



(ก) รูปแบบการพันตัวเหนี่ยวนำโหมคผลร่วมแบบ CM



(ข) วงจรสมมูลย์ของตัวเหนี่ยวนำที่มีการพันแบบ CM

(ค) อัตรการลดทอนของตัวเหนี่ยวนำที่มีการพันแบบ CM

รูปที่ 4.28 อัตรการลดทอนสัญญาณรบกวนของตัวเหนี่ยวนำโหมคผลร่วมและโหมคผลต่างที่มีการพันแบบ CM

4.4 บทสรุปการออกแบบวงจรกรองสัญญาณรบกวนแม่เหล็กไฟฟ้าทางสายตัวนำ โดยวิธีการใช้จุดเปลี่ยนความถี่ในการออกแบบ

ในบทที่ 4 นี้เป็นการนำเสนอเกี่ยวกับการออกแบบวงจรกรองสัญญาณรบกวนแม่เหล็กไฟฟ้าทางสายตัวนำโดยวิธีการใช้จุดเปลี่ยนความถี่ในการออกแบบ โดยนำเสนอตั้งแต่แนวคิดเกี่ยวกับทฤษฎีที่ใช้เพื่อลดทอนสัญญาณรบกวน ณ จุดที่สัญญาณรบกวนเกินกว่ามาตรฐานและอธิบายถึงส่วนประกอบต่างๆ ที่ช่วยใช้ในการลดทอนสัญญาณรบกวนแม่เหล็กไฟฟ้า ทั้งตัวเก็บประจุ และตัวเหนี่ยวนำ ซึ่งในการออกแบบวงจรกรองสัญญาณรบกวนแม่เหล็กไฟฟ้านั้นต้องทำการคำนวณองค์ประกอบของสัญญาณรบกวนทั้ง 2 โหมค คือ โหมคผลร่วม และโหมคผลต่าง จึงจะได้วงจรกรองที่มีความสามารถในการลดทอนสัญญาณรบกวนสูงสุด

แต่ในการออกแบบโดยใช้วิธีการใช้จุดเปลี่ยนความถี่นั้น ไม่ได้คำนึงถึงค่าที่แท้จริงของอิมพีแดนซ์ภายในของแหล่งกำเนิดสัญญาณรบกวน จึงทำให้การลดทอนสัญญาณรบกวนในค่าที่นั้นอาจจะลดไม่ได้ตามที่ต้องการ ดังนั้นจึงได้มีการนำเสนอการออกแบบวงจรกรองสัญญาณรบกวนแม่เหล็กไฟฟ้า อีกแบบหนึ่งคือ การออกแบบโดยใช้อิมพีแดนซ์ภายในของแหล่งจ่ายไฟฟ้าแบบสวิทซ์ซิง ซึ่งจะกล่าวรายละเอียดต่อไปในบทที่ 5

บทที่ 5

การออกแบบวงจรกรองสัญญาณรบกวนแม่เหล็กไฟฟ้า โดยใช้อิมพีแดนซ์ภายในแหล่งจ่ายไฟฟ้าแบบสวิตซ์ซิง

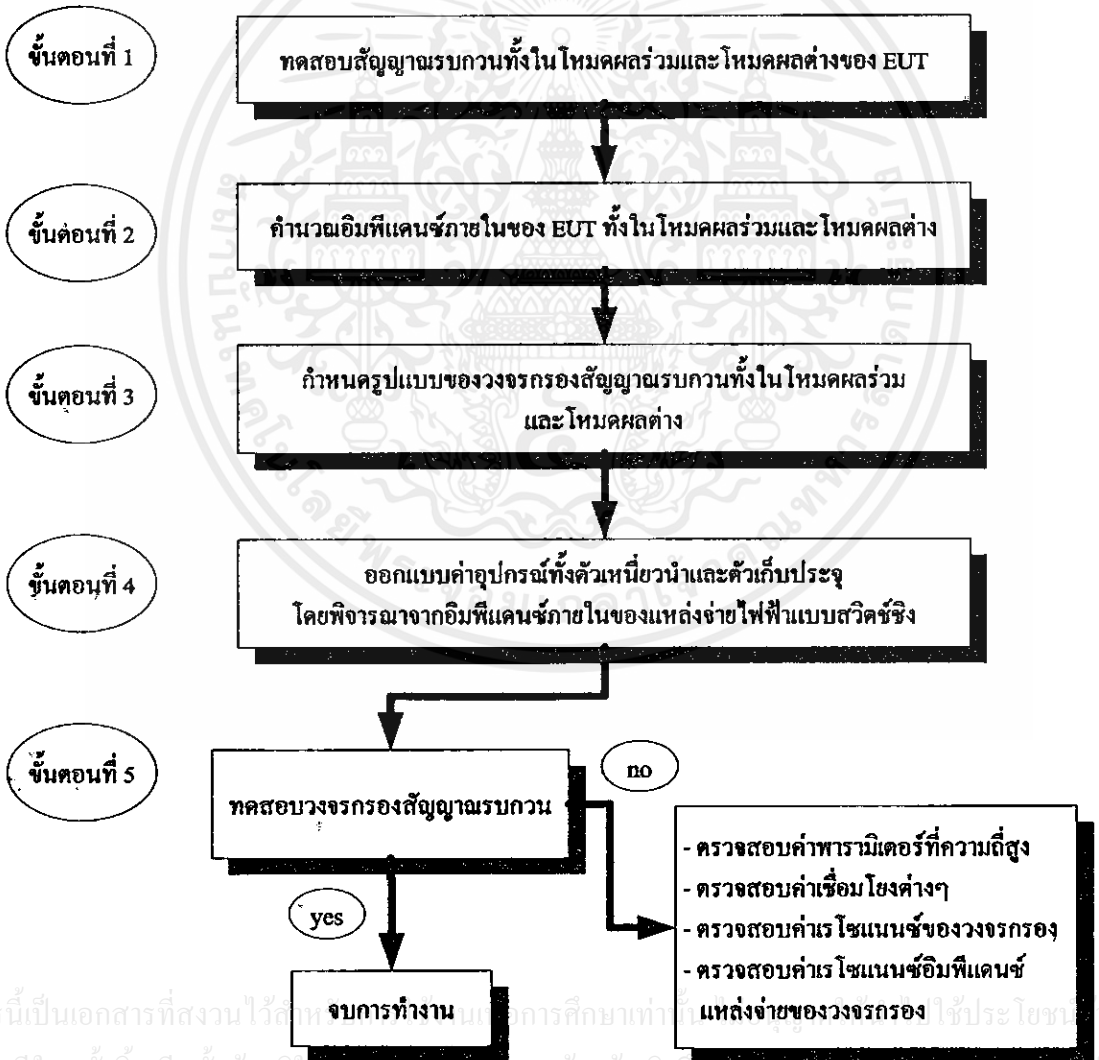
5.1 บทนำ

การออกแบบวงจรกรองสัญญาณแม่เหล็กไฟฟ้า โดยใช้อิมพีแดนซ์ภายในแหล่งจ่ายไฟฟ้าแบบสวิตซ์ซิง เป็นการออกแบบวงจรกรองสัญญาณแม่เหล็กไฟฟ้า นอกเหนือจากการออกแบบโดยใช้หลักการของความสัมพันธ์หักมุมในการหาค่าต่างๆ ของอุปกรณ์ในวงจรกรองสัญญาณแม่เหล็กไฟฟ้า โดยเริ่มจากการวิเคราะห์ค่าอิมพีแดนซ์ภายในของแหล่งจ่ายไฟฟ้าแบบสวิตซ์ซิง และการทำงานในโหมดผลรวม และในโหมดผลต่าง ซึ่งแหล่งจ่ายสัญญาณรบกวนโหมดผลรวม ซึ่งวงจรแหล่งจ่ายไฟฟ้าแบบสวิตซ์ซิงจะเหมือนกับแหล่งจ่ายกระแสที่ต่อขนานกับค่าอิมพีแดนซ์ที่มีค่าสูง และแหล่งจ่ายสัญญาณรบกวนโหมดผลต่าง จะมีการทำงานอยู่สองลักษณะคือ ลักษณะแรกขณะที่ไดโอดทำงาน จะทำให้สวิตซ์ปิด และวงจรจะต่อกับค่าอิมพีแดนซ์ที่มีค่าต่ำ และอนุกรมกับแหล่งจ่ายแรงดันและลักษณะที่สองขณะที่ไดโอดไม่ทำงาน จะทำให้สวิตซ์เปิด และจะเหมือนกับแหล่งจ่ายสัญญาณรบกวนโหมดผลรวม ซึ่งในการออกแบบในแบบนี้ ค่าอิมพีแดนซ์ภายในของแหล่งจ่ายไฟฟ้าแบบสวิตซ์ซิงจะเป็นการประมาณซึ่งไม่ได้ตรวจวัด แต่ในการออกแบบโดยใช้ค่าอิมพีแดนซ์ภายในแหล่งจ่ายไฟฟ้าแบบสวิตซ์ซิงในบทนี้ จำเป็นต้องทราบค่าของอิมพีแดนซ์ภายในแหล่งจ่ายไฟฟ้าแบบสวิตซ์ซิงโดยใช้วิธีการหาดังแสดงในบทที่ 3 และค่าอัตราการลดทอนสัญญาณรบกวนแม่เหล็กไฟฟ้าที่เราต้องการ ความถี่ที่มีค่าสัญญาณรบกวนทางแม่เหล็กไฟฟ้า เกินกว่าเส้นขีดจำกัดมาตรฐาน เพื่อหาค่าของตัวเหนี่ยวนำและตัวเก็บประจุที่ใช้ในวงจรกรองสัญญาณรบกวนแม่เหล็กไฟฟ้า

โดยในบทที่ 5 นี้จะเป็นการนำเสนอขั้นตอนในการออกแบบ ตั้งแต่การเริ่มหาค่าอิมพีแดนซ์ภายในแหล่งจ่ายไฟฟ้าแบบสวิตซ์ซิง ทั้งในโหมดผลรวมและโหมดผลต่าง, การวิเคราะห์รูปแบบของวงจรกรองความถี่ที่เหมาะสมกับค่าอิมพีแดนซ์ทั้งด้านของโหลด และด้านของแหล่งกำเนิดสัญญาณรบกวน และการคำนวณหาค่าของตัวเหนี่ยวนำและตัวเก็บประจุในวงจรกรองทั้งในโหมดผลรวมและโหมดผลต่าง และนำเสนอวงจรสมบูรณ์ที่รวมทั้งวงจรกรองในโหมดผลรวมและโหมดผลต่าง โดยใช้วิธีการออกแบบโดยการหาค่าอิมพีแดนซ์ภายในของแหล่งจ่ายไฟฟ้าแบบสวิตซ์ซิง

5.2 การออกแบบวงจรกรองสัญญาณรบกวนแม่เหล็กไฟฟ้า โดยใช้อิมพีแดนซ์ภายใน แหล่งจ่ายไฟแบบสวิตซ์ซิ่ง

ในส่วนนี้จะเป็นการเสนอการออกแบบวงจรกรองสัญญาณรบกวนแม่เหล็กไฟฟ้า โดยใช้ อิมพีแดนซ์ภายในแหล่งจ่ายไฟฟ้าแบบสวิตซ์ซิ่งทั้งในโหมดผลรวม และโหมดผลต่าง [14] โดย วัตถุประสงค์ในการออกแบบเพื่อให้ผ่านมาตรฐาน EN 55022 class B ซึ่งเป็นมาตรฐานสำหรับการ รบกวนแม่เหล็กไฟฟ้าทางสายตัวนำ (ความถี่ตั้งแต่ 150 kHz – 30 MHz) ซึ่งในการออกแบบวงจร กรองสัญญาณรบกวนแม่เหล็กไฟฟ้าที่สมบูรณ์แบบนั้น จะต้องทำการออกแบบวงจรทั้งใน โหมดผลรวมและโหมดผลต่างให้สมบูรณ์ก่อน จึงนำวงจรกรองทั้ง 2 โหมดนั้นมารวมกันเพื่อให้ เกิดการลดทอนสัญญาณรบกวนได้ทั้งในโหมดผลรวม และโหมดผลต่าง ซึ่งขั้นตอนการออกแบบจะ นำเสนอดังรูปที่ 5.1

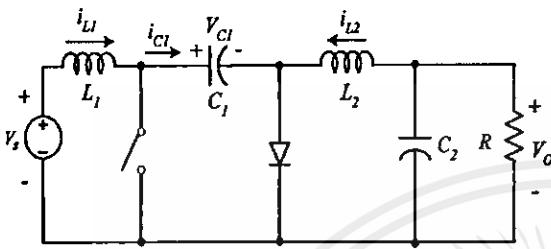


รูปที่ 5.1 แสดงขั้นตอนการออกแบบวงจรกรองสัญญาณรบกวนแม่เหล็กไฟฟ้า

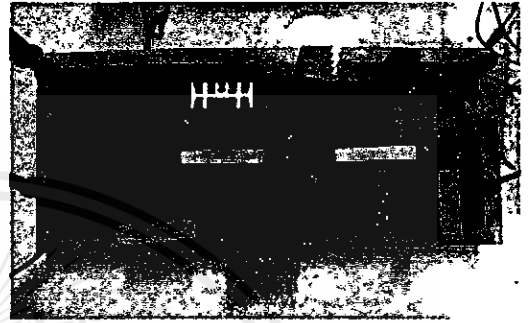
โดยการใช้อิมพีแดนซ์ภายในแหล่งจ่ายไฟฟ้าแบบสวิตซ์ซิ่ง

ขั้นตอนที่ 1

เป็นขั้นตอนในการทดสอบสัญญาณรบกวนแม่เหล็กไฟฟ้าทางสายตัวนำ ของวงจรชุกคอนเวอร์เตอร์ (Cúk converter) ที่มีพิกัดกำลังไฟฟ้า 60 วัตต์ แรงดันด้านอินพุต 12.5 โวลต์ และแรงดันด้านออก 25 โวลต์ ซึ่งแสดงในรูปที่ 5.2 โดยมีเงื่อนไขในการทดสอบเหมือนในบทที่ 4 ในการทดสอบจะทดสอบสัญญาณรบกวนที่เกิดขึ้นทั้งในโหมดผลรวมและโหมดผลต่าง



(ก)



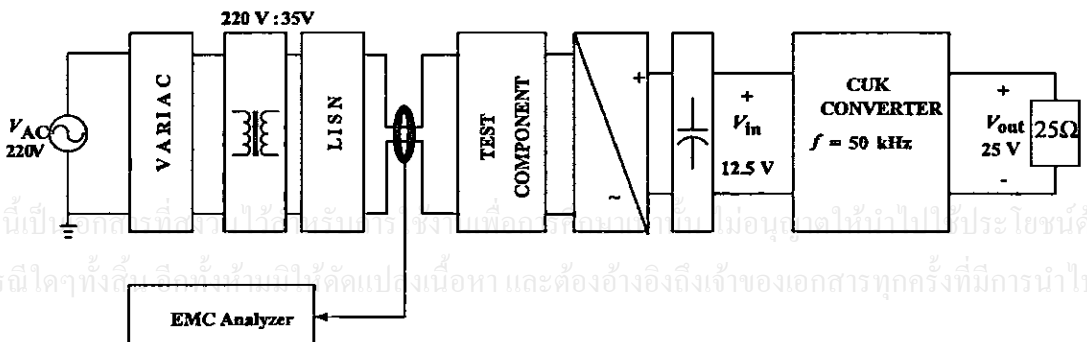
(ข)

รูปที่ 5.2 วงจรชุกคอนเวอร์เตอร์ที่ใช้ทดสอบ

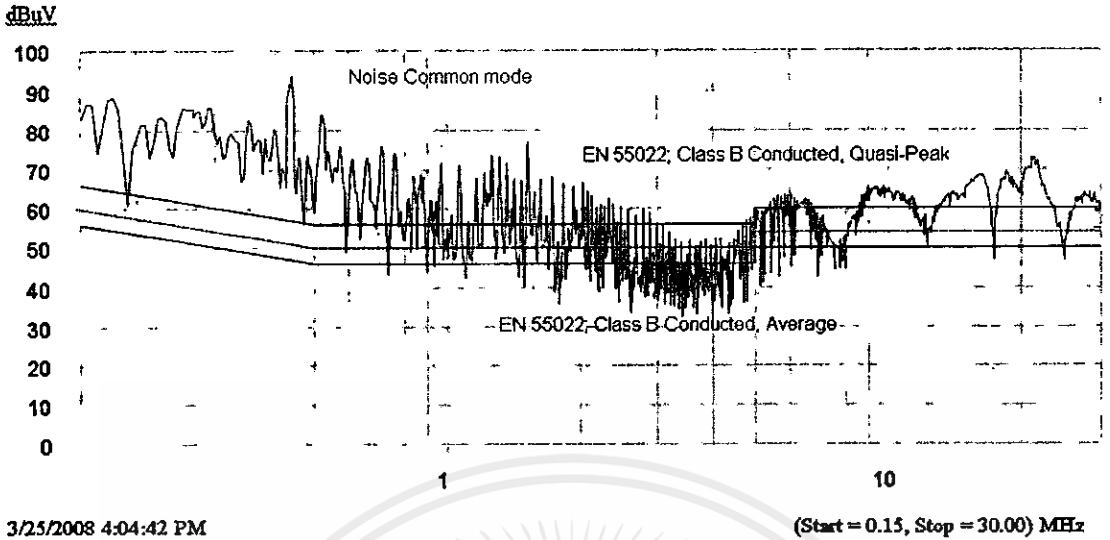
เมื่อกำหนดวงจรได้แล้ว จึงทำการทดสอบสัญญาณรบกวนทั้งในโหมดผลรวม และ โหมดผลต่าง ในการวัดสัญญาณรบกวนแม่เหล็กไฟฟ้าทางสายตัวนำ จะทำการทดสอบวงจรต้นแบบที่ได้ ออกแบบไว้แล้ว และจะทำการทดสอบตามมาตรฐาน CISPR 22 Class B ซึ่งได้กล่าวไว้ในบทที่ 2 โดยมีการติดตั้งเพื่อทดสอบการวัดดังในรูปที่ 5.3 ซึ่งเครื่องมือที่ใช้ในการทดสอบสำหรับการวัดสัญญาณรบกวนแม่เหล็กไฟฟ้าทางสายตัวนำจะประกอบด้วย

- EMI Receiver : Hewlett Packard / Model HP 85420E
- LISN:EMCO / Model EMCO 3825/2
- Current Probe : Hewlett Packard / 84310-80019

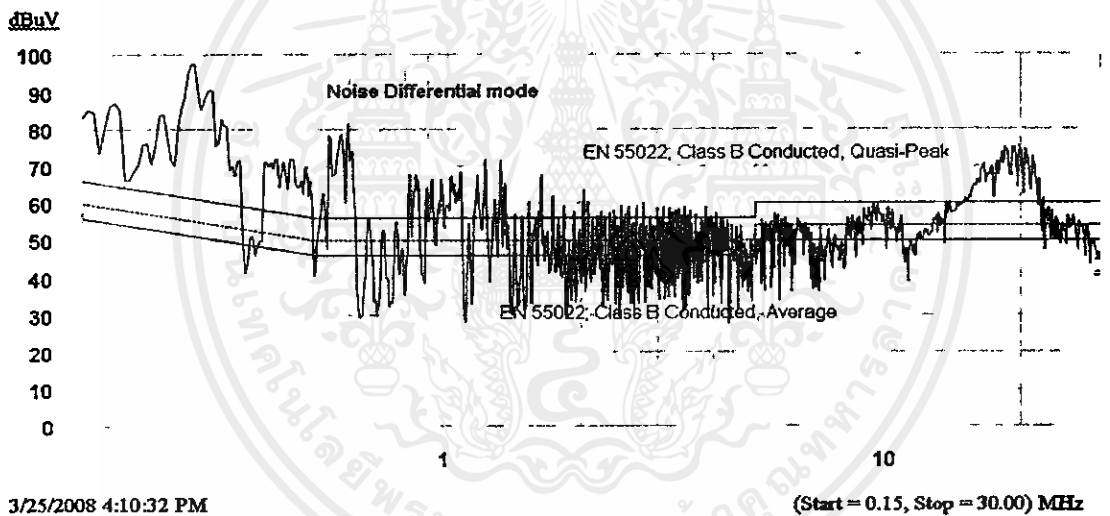
และผลการทดสอบสัญญาณรบกวนแม่เหล็กไฟฟ้าทั้งในโหมดผลรวมและโหมดผลต่าง ก่อนใส่อุปกรณ์ทดสอบหาค่าอิมพีแดนซ์ภายในของแหล่งจ่ายไฟฟ้าแบบสวิตซ์ซิง ได้แสดงในรูปที่ 5.4 และ รูปที่ 5.5



รูปที่ 5.3 การติดตั้งเพื่อทดสอบสัญญาณรบกวนแม่เหล็กไฟฟ้า



รูปที่ 5.4 สัญญาณรบกวน โหมดผลรวมของชุดคอนเวอร์เตอร์



รูปที่ 5.5 สัญญาณรบกวน โหมดผลต่างของชุดคอนเวอร์เตอร์

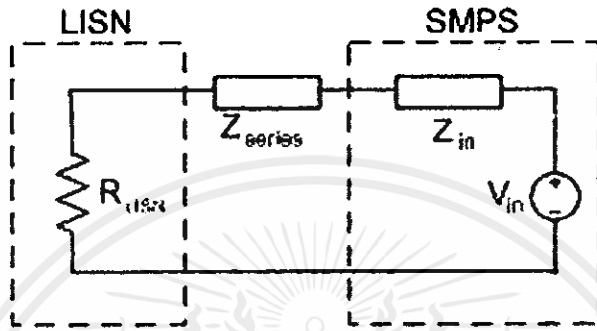
ขั้นตอนที่ 2

เพื่อการออกแบบวงจรกรองสัญญาณรบกวนแม่เหล็กไฟฟ้านั้น อิมพีแดนซ์ภายใน แหล่งจ่ายไฟฟ้าแบบสวิตซ์ซิ่ง โดยวิธีที่ใช้ในการหาค่านั้นจะเป็นตามในบทที่ 3 ซึ่งวิธีที่ใช้คือวิธีการทดสอบอัตราการลดทอน

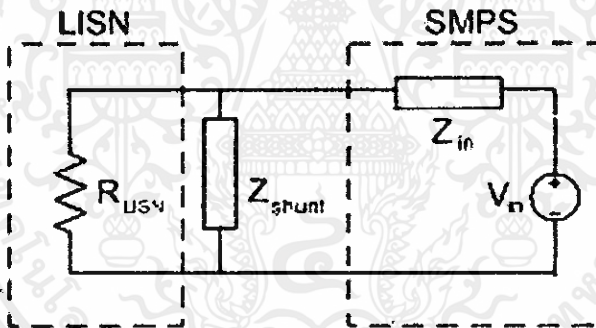
วิธีการหาจะแยกเป็น 2 โหมดในการหาคือ

- อิมพีแดนซ์ภายในแหล่งจ่ายไฟฟ้าแบบสวิตซ์ซิ่ง โหมดผลรวม
- อิมพีแดนซ์ภายในแหล่งจ่ายไฟฟ้าแบบสวิตซ์ซิ่ง โหมดผลต่าง

ซึ่งอุปกรณ์ที่ใช้ในการหาค่าดังกล่าวนี้จะไม่เหมือนกัน โดยในโหมดผลรวมจะใช้ขดลวดเหนี่ยวนำต่ออนุกรมระหว่าง LISN (Line Impedance Stabilization Network) และ EUT (Equipment Under Test) เพื่อหาอัตราการลดทอนในโหมดผลรวม และในโหมดผลต่างจะใช้ตัวเก็บประจุต่อขนานระหว่าง LISN และ EUT เพื่อหาอัตราการลดทอนในโหมดผลต่างดังรูปที่ 5.6 และ 5.7 ตามลำดับ



รูปที่ 5.6 วงจรทดสอบอิมพีแดนซ์ภายในของแหล่งจ่ายไฟฟ้าแบบสวิตซ์ซิงโหมดผลรวม



รูปที่ 5.7 วงจรทดสอบอิมพีแดนซ์ภายในของแหล่งจ่ายไฟฟ้าแบบสวิตซ์ซิงโหมดผลต่าง

สิ่งที่ต้องทราบในการหาอิมพีแดนซ์ภายในของแหล่งจ่ายไฟฟ้าแบบสวิตซ์ซิง ประกอบด้วย 2 ส่วนคือ ค่าอิมพีแดนซ์ของตัวเหนี่ยวนำ และตัวเก็บประจุ ในย่านความถี่ 150 kHz – 30 MHz และค่าอัตราการลดทอนสัญญาณรบกวนแม่เหล็กไฟฟ้าทั้งใน โหมดผลรวมและ โหมดผลต่าง

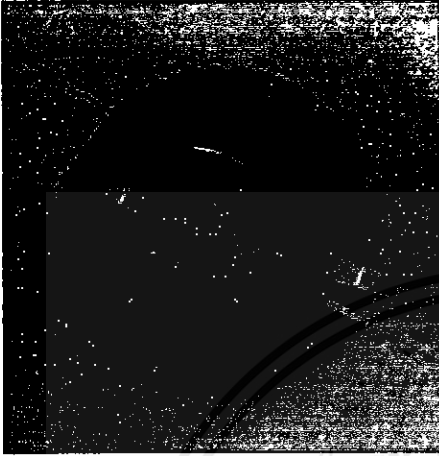
เมื่อทราบตัวแปรทั้งสองจึงใช้สมการ $|Z_{in}| \approx \frac{|Z_{series}|}{|IL|}$ เพื่อคำนวณหาอิมพีแดนซ์ภายใน

ของแหล่งจ่ายไฟฟ้าแบบสวิตซ์ซิงโหมดผลรวม และ $|Z_{in}| \approx |Z_{shunt}| \times |IL|$ เพื่อคำนวณหา

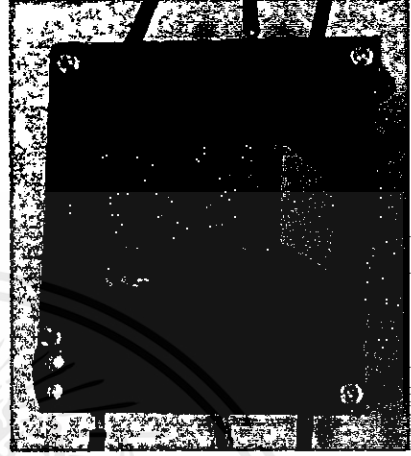
อิมพีแดนซ์ภายในของแหล่งจ่ายไฟฟ้าแบบสวิตซ์ซิงโหมดผลต่าง

ไม่ว่ากรณีใดๆทั้งสิ้น อีกทั้งห้ามมิให้คัดแปลงเนื้อหา และต้องอ้างอิงถึงเจ้าของเอกสารทุกครั้งที่มีการนำไปใช้

เริ่มต้นจากการหาอิมพีแดนซ์ของตัวเหนี่ยวนำ และตัวเก็บประจุที่จะนำไปลดทอนสัญญาณรบกวนแม่เหล็กไฟฟ้า จะสนใจเพียงขนาดของอิมพีแดนซ์เท่านั้น โดยจะนำตัวเหนี่ยวนำ และตัวเก็บประจุตามรูปที่ 5.8 ไปวัดค่าอิมพีแดนซ์จาก Impedance Analyzer



(ก)



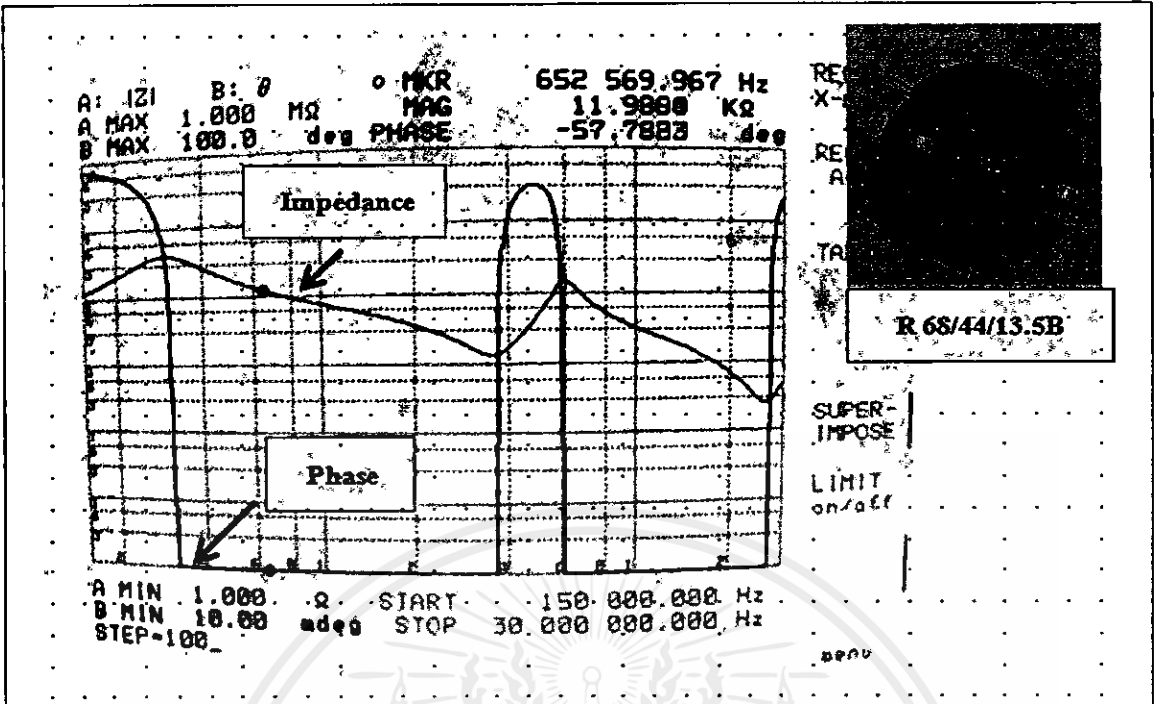
(ข)

ตัวเหนี่ยวนำที่ใช้ในการลดทอนสัญญาณรบกวนแม่เหล็กไฟฟ้าโหมคผลรวม

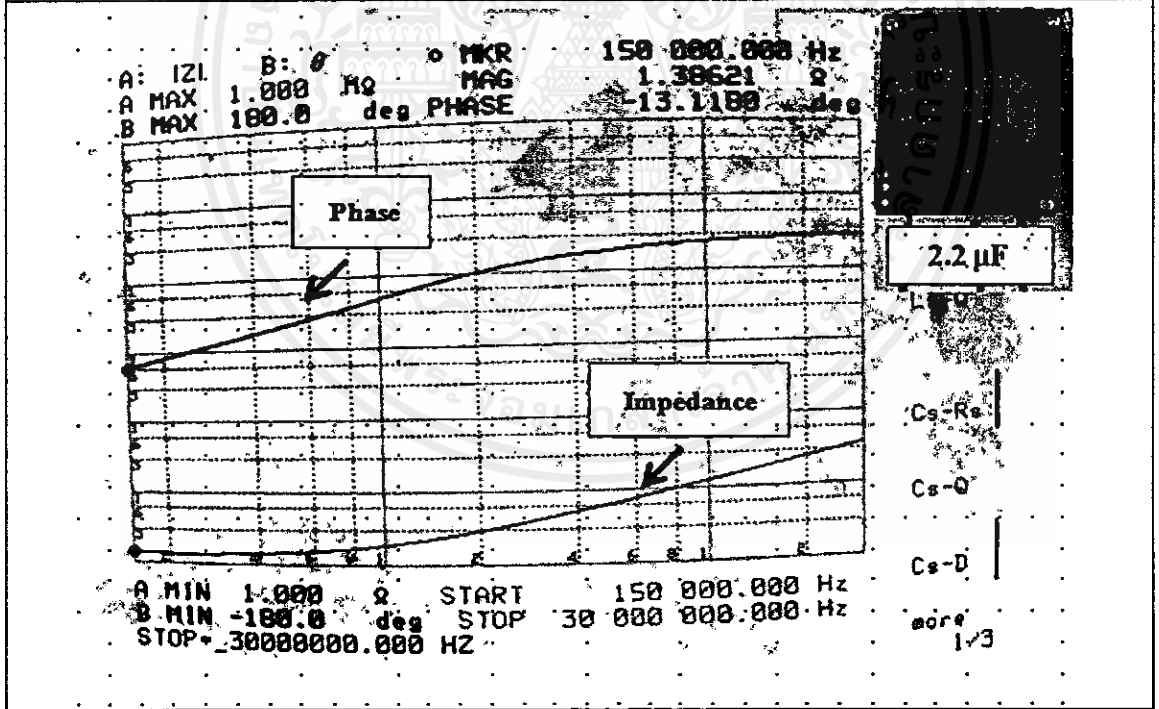
ตัวเก็บประจุที่ใช้ในการลดทอนสัญญาณรบกวนแม่เหล็กไฟฟ้าโหมคผลต่าง

รูปที่ 5.8 อุปกรณ์ที่ใช้การลดทอนสัญญาณรบกวนแม่เหล็กไฟฟ้า

ค่าอิมพีแดนซ์ที่วัดได้จากเครื่อง Impedance Analyzer แสดงในรูปที่ 5.9 และเมื่อนำตัวเหนี่ยวนำดังกล่าว ไปใส่ในวงจรตามรูปที่ 5.6 แล้ววัดสัญญาณรบกวนแม่เหล็กไฟฟ้าหลังใส่ตัวเหนี่ยวนำดังกล่าว เพื่อหาค่าการลดทอนสัญญาณรบกวนโหมคผลรวม หลังใส่ตัวเหนี่ยวนำดังกล่าว การทดสอบในโหมคผลต่างก็เช่นเดียวกับในโหมคผลรวม คือใส่ตัวเก็บประจุเข้าในวงจรตามรูปที่ 5.7 เพื่อหาค่าการลดทอนสัญญาณรบกวนในโหมคผลต่าง โดยอัตราการลดทอนสัญญาณรบกวนแสดงในตารางที่ 5.1 และเมื่อได้ค่าทั้งสองแล้วจะสามารถคำนวณหาค่าอิมพีแดนซ์ภายในของแหล่งจ่ายไฟฟ้าแบบสวิตซ์ซิงได้



(ก) ตัวเหนี่ยวนำโหมคผลรวม



(ข) ตัวเก็บประจุโหมคผลต่าง

รูปที่ 5.9 อิมพีแดนซ์อุปกรณ์ที่ใช้ทดสอบหาการลดทอนสัญญาณรบกวน

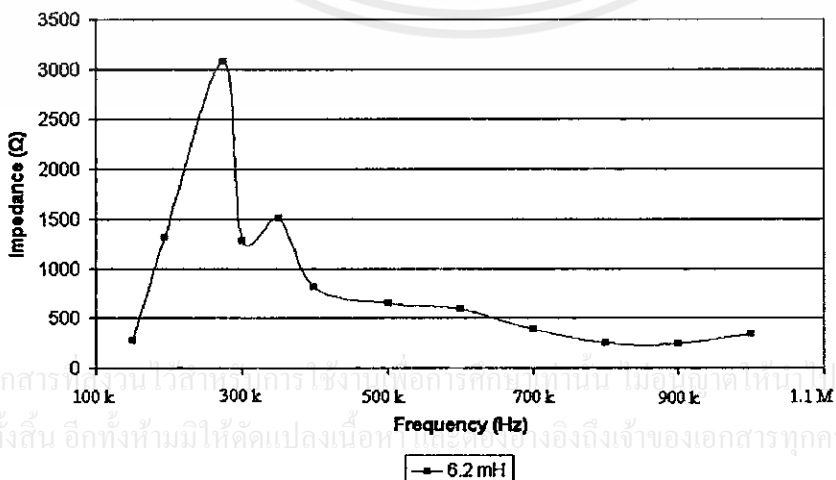
เอกสารนี้เป็นเอกสารที่สงวนไว้สำหรับการใช้งานเพื่อการศึกษาด้านนี้ ไม่อนุญาตให้เผยแพร่ไปใช้ประโยชน์ด้านการค้า
แม้ว่ากรณีใดๆ ทั้งสิ้น อีกทั้งห้ามมิให้คัดลอกเนื้อหา และต้องอ้างอิงถึงเจ้าของเอกสารทุกครั้งที่มีการนำไปใช้

ตารางที่ 5.1 อัตราการลดทอนสัญญาณรบกวนแม่เหล็กไฟฟ้า

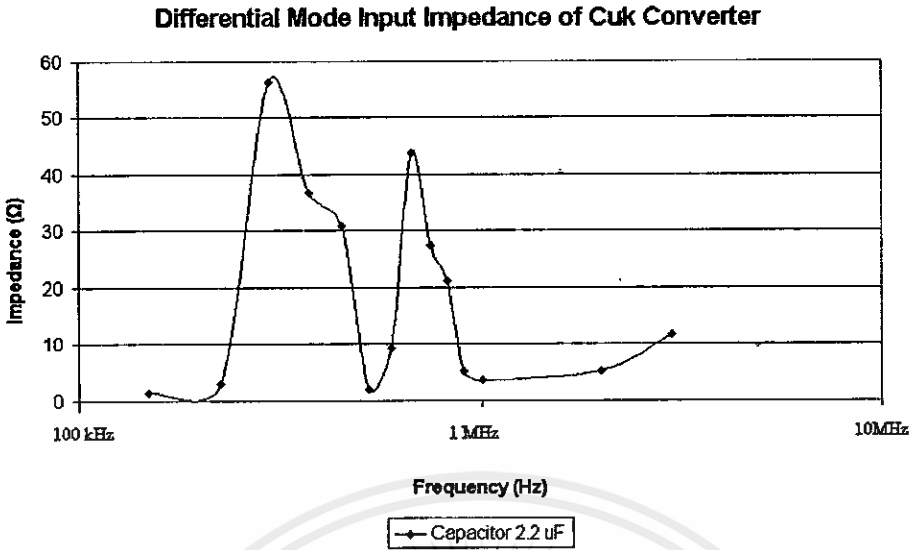
ตัวเหนี่ยวนำ (โหมคผลรวม)		ตัวเก็บประจุ (โหมคผลต่าง)	
ความถี่ (Hz)	อัตราการลดทอน(dB μ V)	ความถี่ (Hz)	อัตราการลดทอน(dB μ V)
150 k	30.53	150 k	1
195 k	11.93	225 k	2.18
275 k	12.13	300 k	40.6
300 k	25.15	375 k	25.8
350 k	24.07	450 k	21.12
400 k	28.85	525 k	1.32
500 k	30.97	600 k	5.95
600 k	27.12	675 k	27.43
700 k	31.3	750 k	16.47
800 k	32.76	825 k	12.42
900 k	28.57	900 k	2.84
1 M	20.71	1 M	1.8

เมื่อได้ค่าอิมพีแดนซ์ของทั้งตัวเหนี่ยวนำและตัวเก็บประจุ และอัตราการลดทอนสัญญาณรบกวนแม่เหล็กไฟฟ้าแล้ว จะสามารถหาค่าอิมพีแดนซ์ภายในของชุกคอนเวอร์เตอร์โหมคผลรวม และโหมคผลรวมและโหมคผลต่าง ได้ดังรูปที่ 5.10 และ 5.11 ตามลำดับ

Common Mode Input Impedance of Cuk converter



รูปที่ 5.10 อิมพีแดนซ์ภายในโหมคผลรวมของชุกคอนเวอร์เตอร์



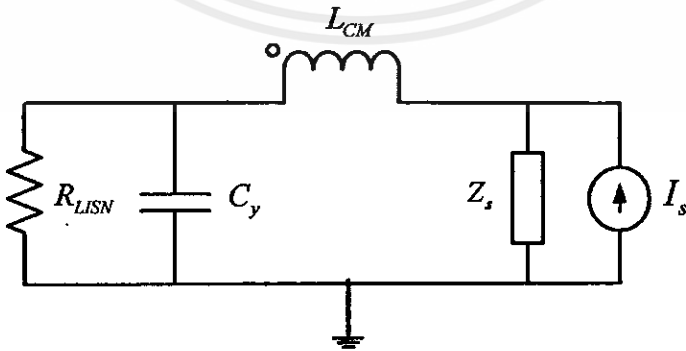
รูปที่ 5.11 อิมพีแดนซ์ภายใน โหมดผลต่างของซุกคอนเวอร์เตอร์

ขั้นตอนที่ 3

การกำหนดรูปแบบของวงจรกรองสัญญาณรบกวนทั้งใน โหมดผลร่วม และ โหมดผลต่าง นั้น จะพิจารณาจากอิมพีแดนซ์ภายในของแหล่งจ่ายไฟฟ้าแบบสวิตซ์ริง ซึ่งแสดงไว้ในบทที่ 3 และ ในส่วนของวงจรซุกคอนเวอร์เตอร์ที่ออกแบบนี้จะแบ่งการออกแบบออกเป็น 2 โหมด

- 1) วงจรกรองสัญญาณรบกวนแม่เหล็กไฟฟ้าโหมดผลร่วม (Common Mode EMI Filter)

ในการออกแบบวงจรกรองสัญญาณรบกวนแม่เหล็กไฟฟ้าโหมดผลร่วมนั้น จะเริ่มจากการพิจารณาอัตราการลดทอนที่ต้องการ ณ ความถี่ที่มีค่าสัญญาณรบกวนแม่เหล็กไฟฟ้าเกินกว่ามาตรฐาน EN 55022 Class B ในที่นี้ เลือกวงจรกรองสัญญาณรบกวนแบบ LC เพราะต้องการกรองความถี่สูงออกรูปวงจรที่พิจารณาแสดงในรูปที่ 5.12



รูปที่ 5.12 วงจรกรองสัญญาณรบกวนแม่เหล็กไฟฟ้าโหมดผลร่วม

จากภาพสามารถคำนวณหาค่า L_{CM} และ C_y ได้จากอัตราการลดทอนในสมการที่ 3.1 คือ

$$|A_{TCM}| = \left[\frac{V_1}{V_2} \right] \quad (5.1)$$

V_1 = แรงดันไฟฟ้าที่ LISN ขณะไม่ได้ใส่วงจรกรองสัญญาณรบกวนแม่เหล็กไฟฟ้า

V_2 = แรงดันไฟฟ้าที่ LISN ขณะใส่วงจรกรองสัญญาณรบกวนแม่เหล็กไฟฟ้า

$$V_1 = \frac{R_{LISN} Z_{sCM}}{R_{LISN} + Z_{sCM}} I_{sCM} \quad (5.2)$$

$$V_2 = \frac{Z_1 Z_2}{Z_1 + Z_{LCM}} I_{sCM} \quad (5.3)$$

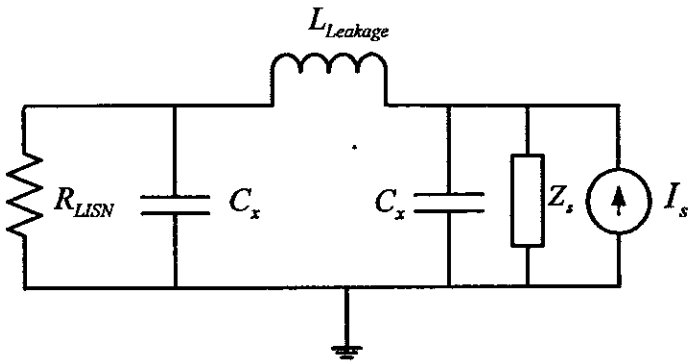
$$Z_1 = \frac{R_{LISN} Z_{Cy}}{R_{LISN} + Z_{Cy}} \quad (5.4)$$

$$Z_2 = (Z_{LCM} + Z_1) \left(\frac{Z_{sCM}}{Z_{sCM} + Z_1 + Z_{LCM}} \right) \quad (5.5)$$

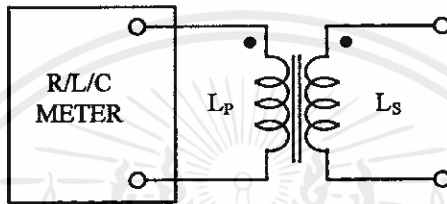
เมื่อพิจารณาตามสมการที่ 5.2 – 5.5 เราจะสามารถหาค่า L_{CM} และ C_y ได้ด้วยการกำหนดอัตราลดทอนที่ต้องการลดสัญญาณรบกวน ณ ความถี่ที่เกินมาตรฐานที่กำหนด EN 55022 Class B ซึ่งการคำนวณค่าอุปกรณ์ที่ใช้ในวงจรจะแสดงในขั้นตอนที่ 4 ต่อไป

2) วงจรกรองสัญญาณรบกวนแม่เหล็กไฟฟ้าโหมดผลต่าง (Differential Mode EMI Filter)

ในการออกแบบวงจรกรองสัญญาณรบกวนแม่เหล็กไฟฟ้าโหมดผลต่างนั้น จะเริ่มจากการพิจารณาอัตราลดทอนที่ต้องการ ณ ความถี่ที่มีค่าสัญญาณรบกวนแม่เหล็กไฟฟ้าเกินกว่ามาตรฐาน CISPR 22 Class B ในที่นี้ เลือกวงจรกรองสัญญาณรบกวนแม่เหล็กไฟฟ้าแบบ π ดังแสดงในรูปที่ 5.13 เพราะ จะมี Leakage current จาก common mode choke อยู่แล้ว และวิธีการวัดค่าเหนี่ยวนำโดยส่วนมากจะวัดค่าโดยใช้มิเตอร์ที่สามารถวัดค่าเหนี่ยวนำได้ ในการวัดค่าเหนี่ยวนำของตัวเหนี่ยวนำหรือค่าเหนี่ยวนำของหม้อแปลงไฟฟ้าจะมีลักษณะเหมือนกัน และจากรูปที่ 5.14 จะแสดงการวัดค่าเหนี่ยวนำที่ขดลวดปฐมภูมิ โดยที่ขั้วของขดลวดปฐมภูมิจะต่อกับขั้วของมิเตอร์ ในขณะที่ขดลวดทุติยภูมิจะมีลักษณะเปิดวงจร (open circuit) และในการวัดค่าเหนี่ยวนำที่ขดลวดทุติยภูมิจะทำเช่นเดียวกันในการวัดค่าเหนี่ยวนำที่ขดปฐมภูมิ สิ่งที่สำคัญในการวัดค่าเหนี่ยวนำ คือ มิเตอร์ที่ใช้ในการวัดจะต้องมีมาตรฐานรับรอง เพราะแรงดันที่ป้อนและความถี่ที่ใช้ในการทดสอบทำให้ค่าเหนี่ยวนำมีความแตกต่างกัน

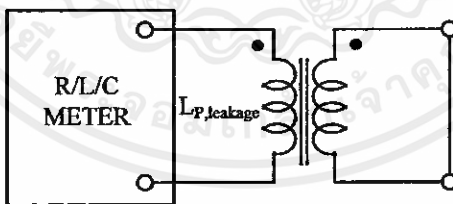


รูปที่ 5.13 วงจรกรองสัญญาณรบกวนแม่เหล็กไฟฟ้าโหมดผลต่าง



รูปที่ 5.14 การวัดค่าเหนี่ยวนำที่ขดลวดปฐมภูมิ [8]

สำหรับการวัดค่าเหนี่ยวนำรั่วไหลของขดลวดนั้นจะสามารถทำได้ดังในรูปที่ 5.15 จะแสดง การวัดค่าเหนี่ยวนำรั่วไหลที่ขดลวดปฐมภูมิ ($L_{P,leakage}$) โดยที่ขั้วของขดลวดปฐมภูมิจะต่อกับ มิเตอร์ ในขณะที่ขดลวดทุติยภูมิจะมีลักษณะปิดวงจร (short circuit) และเช่นเดียวกันการวัดค่า เหนี่ยวนำรั่วไหลที่ขดลวดทุติยภูมิ ($L_{S,leakage}$) โดยที่ขั้วของขดลวดทุติยภูมิจะต่อกับมิเตอร์ ในขณะที่ ขดลวดปฐมภูมิจะมีลักษณะปิดวงจร (short circuit)



รูปที่ 5.15 การวัดค่าเหนี่ยวนำรั่วไหลที่ขดลวดปฐมภูมิ

เมื่อพิจารณาถึงค่าการเหนี่ยวนำรั่วไหลแล้ว จึงสามารถนำมาออกแบบวงจรกรองสัญญาณ รบกวนแม่เหล็กไฟฟ้า โดยในการออกแบบจะคำนวณหาค่าอุปกรณ์ คือ ตัวเก็บประจุโหมดผลต่าง C_x และค่าเหนี่ยวนำรั่วไหลของขดลวดโหมดผลรวม ($L_{leakage}$) ซึ่งในการคำนวณจะคำนวณจาก สมการที่ 5.6 -5.10

เอกสารนี้เป็นเอกสารที่สงวนไว้สำหรับการใช้งานเพื่อการศึกษาเท่านั้น ไม่อนุญาตให้นำไปใช้ประโยชน์ด้านการค้า
แม้ว่ากรรมใดๆทั้งสิ้น อีกทั้งห้ามมิให้คัดแปลงเนื้อหา และต้องอ้างอิงถึงเจ้าของเอกสารทุกครั้งที่มีการนำไปใช้

$$V_1 = \frac{R_{LISN} Z_{sDM}}{R_{LISN} + Z_{sDM}} I_{sDM} \quad (5.6)$$

$$V_2 = \frac{Z_{Cs} Z_{C1}}{(Z_{C1} + Z_{LDM} + Z_{Cs})} I_{sDM} \quad (5.7)$$

$$|A| = \left| \frac{R_{LISN} Z_{sDM} (Z_{C1} + Z_{LDM} + Z_{Cs})}{(R_{LISN} + Z_{sDM}) Z_{Cs} Z_{C1}} \right| \quad (5.8)$$

$$Z_{C1} = \frac{R_{LISN} Z_{CX}}{R_{LISN} + Z_{CX}} \quad (5.9)$$

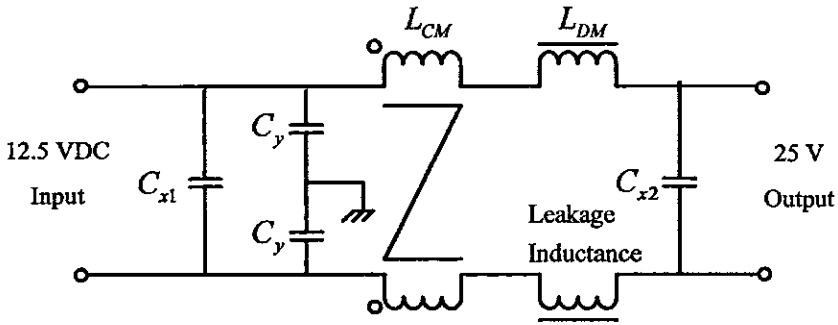
$$Z_{Cs} = \frac{Z_{CX} Z_{sDM}}{Z_{sDM} + Z_{CX}} \quad (5.10)$$

ขั้นตอนที่ 4

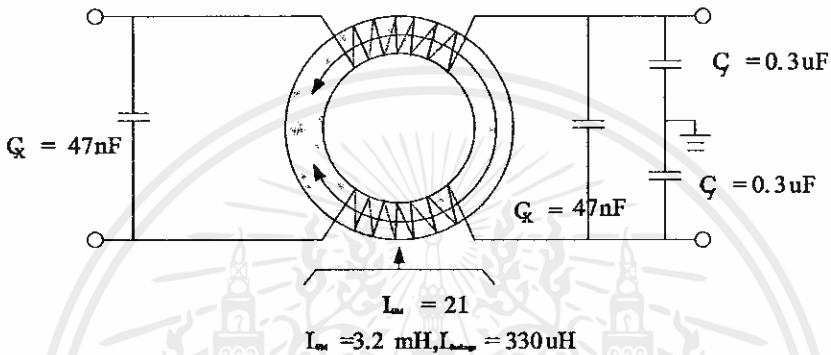
การคำนวณค่าอุปกรณ์ที่ใช้ในวงจรกรองสัญญาณรบกวนแม่เหล็กไฟฟ้า โหมดผลรวม สามารถคำนวณได้จากสมการที่ 5.2 -5.5 โดยในการออกแบบจะเริ่มต้นจากการคำนวณหาค่าของตัวเหนี่ยวนำโหมดผลรวมก่อน ซึ่งคำนวณจากค่าอิมพีแดนซ์ภายในของแหล่งจ่ายไฟฟ้าแบบสวิตซ์ซิงโหมดผลรวม โดยหากต้องการให้ตัวเหนี่ยวนำโหมดผลรวมมีประสิทธิภาพในการลดทอนสัญญาณรบกวนแม่เหล็กไฟฟ้านั้น ต้องกำหนดให้ตัวเหนี่ยวนำโหมดผลรวม (L_{CM}) ดังกล่าวมีค่าอิมพีแดนซ์มากกว่าค่าอิมพีแดนซ์ภายในของแหล่งจ่ายไฟฟ้าแบบสวิตซ์ซิงโหมดผลรวม ที่ความถี่ที่มีสัญญาณรบกวนแม่เหล็กไฟฟ้าเกินกว่ามาตรฐานที่กำหนด ในที่นี้กำหนดให้มีความสูงกว่าเป็น 2 เท่าคือ $2 \times 1 \text{ k}\Omega = 2 \text{ k}\Omega$ ในการออกแบบ ซึ่งเท่ากับ 3.4 mH ที่ความถี่ 450 kHz และเมื่อได้ค่าของตัวเหนี่ยวนำโหมดผลรวมแล้วจะได้ค่าของตัวเก็บประจุ (C_y) ที่คำนวณได้ตามสมการที่ 5.2 - 5.5 คือ 0.3 μF ซึ่งหากใช้ค่าตัวเหนี่ยวนำและตัวเก็บประจุ ตามค่าดังกล่าวจะได้การลดทอนสัญญาณรบกวนแม่เหล็กไฟฟ้า 40 dB μV ที่ 450 kHz

และการคำนวณค่าอุปกรณ์ที่ใช้ในวงจรกรองสัญญาณรบกวนแม่เหล็กไฟฟ้า โหมดผลต่าง สามารถคำนวณได้จากสมการที่ 5.6 -5.10 โดยก่อนอื่นต้องทำการวัดค่าเหนี่ยวนำรั่วไหล ($L_{leakage}$) เพื่อใช้ในการคำนวณหาค่าของตัวเก็บประจุ (C_x) คือค่าเหนี่ยวนำรั่วไหล ($L_{leakage}$) เท่ากับ 330 μH และจะสามารถคำนวณค่า C_x เท่ากับ 44 nF ซึ่งในทางปฏิบัติจะใช้ตัวเก็บประจุขนาด 47 nF ซึ่งวงจรแสดงตามรูปที่ 5.15

สำหรับการใช้งานเพื่อการศึกษาเท่านั้น ไม่อนุญาตให้นำไปใช้ประโยชน์ด้านการค้า
เมื่อนำวงจรกรองสัญญาณรบกวนแม่เหล็กไฟฟ้าทั้งโหมดผลรวม และโหมดผลต่างมา
รวมกัน จะได้เป็นวงจรกรองสัญญาณรบกวนแม่เหล็กไฟฟ้าตามรูปที่ 5.16 และ 5.17



รูปที่ 5.16 วงจรกรองสัญญาณรบกวนแม่เหล็กไฟฟ้าโหมคผลรวม



รูปที่ 5.17 ค่าของส่วนประกอบของวงจรกรองสัญญาณรบกวนแม่เหล็กไฟฟ้าโหมคผลรวม

การคำนวณหาจำนวนรอบของตัวเหนี่ยวนำโหมคผลรวม

การคำนวณหาจำนวนรอบของตัวเหนี่ยวนำโหมคผลรวมนั้น จะหาได้จากสมการที่ (4.34)

$$\text{Required turns} = \left[\frac{\text{desired } L \text{ (nH)}}{A_L \text{ (nH / N}^2\text{)}} \right]^{1/2} \tag{5.11}$$

เมื่อ $A_L \text{ (nH/N}^2\text{)}$ จะได้ข้อมูลจากผู้ผลิต (ภาคผนวก ข)

จากสมการที่ 5.11 จะเป็นการคำนวณหาจำนวนรอบในการพันของตัวเหนี่ยวนำ โดยจะต้องทราบค่าเหนี่ยวนำที่ต้องการ แล้วจากนั้นเลือกขนาดของแกนเหล็กชนิดเฟอร์ไรต์ที่ใช้ในการพันซึ่งแกนเหล็กจะบอกค่า $A_L \text{ (nH/N}^2\text{)}$ ที่ใช้ในการคำนวณ

การคำนวณหาจำนวนรอบการพันของตัวเหนี่ยวนำโหมคผลรวม

จากการออกแบบตัวเหนี่ยวนำโหมคผลรวม ค่าที่คำนวณได้มีค่าเท่ากับ 3.4 mH ดังนั้นจำนวนรอบที่ต้องการ เมื่อแทนค่าในสมการที่ 5.11 เมื่อ $A_L \text{ (nH/N}^2\text{)}$ จะได้ข้อมูลจากผู้ผลิต นั้นมีค่าเท่ากับ 8230 $\text{(nH/N}^2\text{)}$ จะมีค่าเท่ากับ

$$\text{Required turns} = \left[\frac{3.4 \times 10^6 \text{ (nH)}}{8230 \text{ (nH/N}^2\text{)}} \right]^{1/2} = 20.33 \text{ turns}$$

ดังนั้นจำนวนรอบของตัวเหนี่ยวนำโหมคผลรวมจะเท่ากับ 20.33 รอบ และในทางปฏิบัติแล้วจะพันเท่ากับ 21 รอบ และค่าเหนี่ยวนำของตัวเหนี่ยวนำโหมคผลรวมที่วัดได้จะมีค่าเท่ากับ 3.4 mH

ตรวจสอบการทำงานของแกนเหล็กที่ใช้พันตัวเหนี่ยวนำโหมคผลรวม

จะเป็นการตรวจสอบการอิ่มตัวของแกนเหล็กที่ใช้ในงานวิจัย โดยวิธีในการหาค่าการอิ่มตัวของแกนเหล็กของทั้งสองแกนเหล็กจะมีวิธีเหมือนกัน

โดยเริ่มจากการตรวจสอบการอิ่มตัวของแกนเหล็กชนิดเฟอร์ไรต์ จะเป็น ferrite core ยี่ห้อ KAWATETSU FERRITE รุ่น R-63/44/13.5 เนื้อสารชนิด MA070 ที่ใช้ในงานวิจัยนี้ ค่าความหนาแน่นเส้นแรงแม่เหล็กสูงสุด B_{\max} ในแกนเหล็กนั้น เกิดขึ้นจากผลรวมของค่าความหนาแน่นเส้นแรงแม่เหล็ก B_{DC} , B_{AC} และ B_r จะได้

$$B_{\max} = B_{DC} + B_{AC} + B_r < B_{\text{Sat}}$$

โดยที่ค่า B_r คือ ความหนาแน่นเส้นแรงแม่เหล็กเมื่อค่าความเข้มสนามแม่เหล็ก H มีค่าเป็นศูนย์ หรือเมื่อกระแสไฟฟ้าไฟฟ้าเหนี่ยวนำทำแม่เหล็กมีค่าเป็นศูนย์ ซึ่งข้อมูลจากผู้ผลิตจะได้ B_r มีค่าประมาณ 100 mT และการหาค่าความหนาแน่นเส้นแรงแม่เหล็กที่เกิดจากไฟฟ้ากระแสสลับ จะหาได้จาก

$$B_{AC} = \frac{34 \times 10 \times 10^{-6}}{7 \times 159} = 0.3 \mu\text{T}$$

และในการหาค่าความหนาแน่นเส้นแรงแม่เหล็กที่เกิดจากไฟฟ้ากระแสตรง จะหาได้จาก

$$B_{DC} = \frac{4\pi \times 10^{-7} \times 7 \times 2}{0.170} = 0.1 \text{ mT}$$

และนำค่าทั้งหมดที่หาได้แทนลงในสมการที่ (3.21) เพื่อหาค่า B_{\max} จะได้

$$\begin{aligned} B_{\max} &= 0.1 \text{ mT} + 0.3 \mu\text{T} + 100 \text{ mT} \\ &= 99 \text{ mT} \end{aligned}$$

จากข้อมูลจากผู้ผลิตแกนเหล็กนั้น แกนเนื้อสาร MA070 นั้นมี B_{Sat} อยู่ที่ 440 mT โดยค่าที่คำนวณได้ B_{\max} นั้นมีค่าเพียง 99 mT เท่านั้น ดังนั้นจึงสรุปได้ว่าขณะวงจรทำงานแกนเหล็กจะไม่เกิดการอิ่มตัวขึ้น

5.3 บทสรุปการออกแบบวงจรกรองสัญญาณรบกวนแม่เหล็กไฟฟ้าโดยวิธีการใช้อิมพีแดนซ์ภายในของแหล่งจ่ายไฟฟ้าแบบสวิตซ์ซิ่ง

ในบทที่ 5 นี้เป็นการเสนอการหาค่าอิมพีแดนซ์ภายในของแหล่งจ่ายไฟฟ้าแบบสวิตซ์ซิ่ง เพื่อที่จะนำไปใช้ในการออกแบบวงจรกรองสัญญาณแม่เหล็กไฟฟ้าทางสายตัวนำต่อไป ซึ่งในการหาอิมพีแดนซ์ภายในของแหล่งจ่ายไฟฟ้าแบบสวิตซ์ซิ่งนั้น อุปกรณ์ที่นำมาช่วยในการหาค่าอิมพีแดนซ์นั้นมีความสำคัญเป็นอย่างมาก เช่นในการหาค่าอิมพีแดนซ์ในโหมดผลรวม โดยการสุ่มขนาดของตัวเหนี่ยวนำที่มีค่ามากกว่าค่าอิมพีแดนซ์ภายในของแหล่งจ่ายไฟฟ้า แบบสวิตซ์ซิ่งในโหมดผลรวม เพื่อที่จะให้เกิดการลดทอนสัญญาณรบกวนอย่างชัดเจนเพื่อที่จะนำไปหาอิมพีแดนซ์ภายในของแหล่งจ่ายไฟฟ้าแบบสวิตซ์ซิ่งต่อไป

และในการออกแบบวงจรสัญญาณรบกวนแม่เหล็กไฟฟ้า โดยวิธีการใช้อิมพีแดนซ์ภายในของแหล่งจ่ายไฟฟ้าแบบสวิตซ์ซิ่งนั้น การเลือกรูปแบบวงจรกรองสัญญาณรบกวนแม่เหล็กไฟฟ้าให้เหมาะสมกับอิมพีแดนซ์ของแหล่งจ่ายไฟฟ้าแบบสวิตซ์ซิ่ง และอิมพีแดนซ์ของโครงข่ายรักษาเสถียรภาพอิมพีแดนซ์ (Line Impedance Stabilization Network: LISN) นั้น มีความสำคัญอย่างมาก เพราะหากเลือกรูปแบบวงจรที่ไม่เหมาะสมกับอิมพีแดนซ์ที่วงจรกรองค่ออยู่นั้น ก็จะทำให้การลดทอนสัญญาณรบกวนจะไม่ได้อย่างที่คำนวณไว้ ซึ่งเพื่อยืนยันผลการออกแบบวงจรกรองสัญญาณรบกวนแม่เหล็กไฟฟ้าทั้ง 2 แบบ คือการใช้อิมพีแดนซ์ภายในของแหล่งจ่ายไฟฟ้าแบบสวิตซ์ซิ่ง และการใช้จุดเปลี่ยนความถี่ นั้นจะแสดงต่อไปในบทที่ 6

บทที่ 6

ผลการทดลองและการวิเคราะห์

บทนี้จะกล่าวถึงผลการทดลองและการวิเคราะห์ผลการทดลอง โดยผลการทดลองจะเป็นไปตามรูปแบบการออกแบบในบทที่ 4 - 5 ในขณะที่การวิเคราะห์ในบทนี้จะเป็นการวิเคราะห์ผลการทดลอง ระหว่างวงจรกรองสัญญาณรบกวนที่ออกแบบโดยวิธีหาจุดเปลี่ยนความถี่ และการใช้อิมพีแดนซ์ภายในของแหล่งจ่ายไฟฟ้าแบบสวิทซ์ซิง โดยจะเป็นการเปรียบเทียบความสามารถในการลดทอนสัญญาณรบกวนแม่เหล็กไฟฟ้า ในโหมดต่างๆ ซึ่งในบทที่ 6 นี้จะประกอบด้วย 3 หัวข้อ คือหัวข้อที่ 6.1 จะกล่าวถึงการทดลองด้านความเข้ากันได้ทางแม่เหล็กไฟฟ้า และหัวข้อที่ 6.2 การเปรียบเทียบความสามารถในการลดทอนสัญญาณรบกวน ของวงจรกรองสัญญาณรบกวนด้วยการออกแบบทั้งสองวิธี และหัวข้อที่ 6.3 จะเป็นการสรุปผลการทดสอบวงจรกรองสัญญาณรบกวนแม่เหล็กไฟฟ้า

6.1 การทดลองด้านความเข้ากันได้ทางแม่เหล็กไฟฟ้า

ในหัวข้อนี้จะเป็นการทดสอบวงจรกรองสัญญาณรบกวนแม่เหล็กไฟฟ้า ที่มีรูปแบบการพันตัวเหนี่ยวนำโหมดผลร่วมและโหมดผลต่างแตกต่างกันของการพันทั้ง 3 แบบ โดยการทดสอบจะสอดคล้องกับรูปแบบการทดลองที่ได้กล่าวไว้ในบทที่ 5 จะสรุปเงื่อนไขต่างๆ ในการทดสอบการติดตั้งสำหรับวัดสัญญาณรบกวน ดังในรูปที่ 5.3 โดยการทดสอบจะเป็นการทดสอบสัญญาณรบกวนแม่เหล็กไฟฟ้าทางสายตัวนำเท่านั้น สำหรับรูปแบบและการวัดสัญญาณรบกวนแม่เหล็กไฟฟ้าทางสายตัวนำนั้นได้กล่าวไว้แล้วในบทที่ 2 ที่ว่าด้วยวิธีการวัดและทดสอบสัญญาณรบกวนทางแม่เหล็กไฟฟ้าทางสายตัวนำ และในรูปที่ 6.1 แสดงเส้นขีดจำกัดมาตรฐานของ CISPR 22 Class B ที่ใช้ในการทดสอบ โดยที่เส้นสีแดงบนจะเป็นเส้นขีดจำกัดการวัดแบบ quasi peak และเส้นสีน้ำเงินล่างจะเป็นเส้นขีดจำกัดการวัดแบบ average



รูปที่ 6.1 เส้นขีดจำกัดมาตรฐานของ CISPR 22 Class B

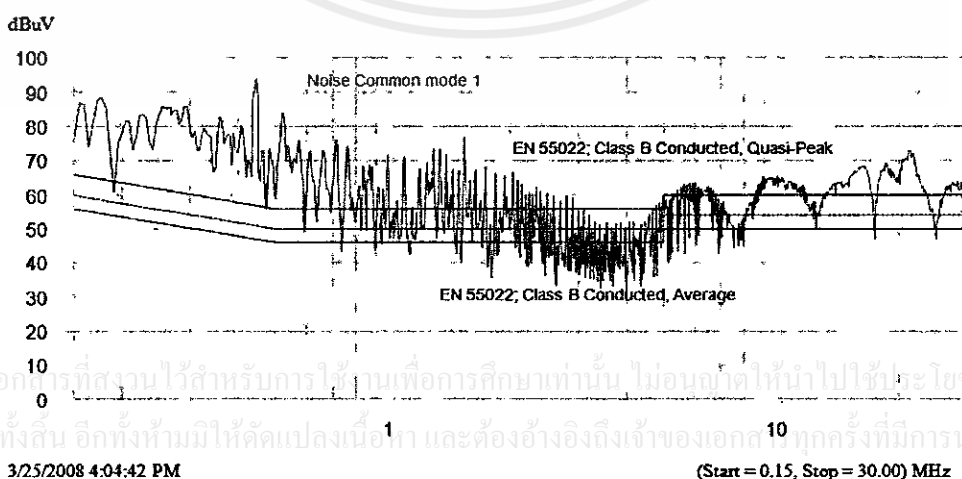
ส่วนขั้นตอนการทดสอบที่ใช้ในงานวิจัย จะแสดงดังในรูปที่ 1.1 ส่วนวงจรที่ใช้ในการทดสอบจะเป็นวงจรชุดคอนเวอร์เตอร์ จะกล่าวไว้ในบทที่ 4

6.1.1 ผลการทดสอบวัดสัญญาณแม่เหล็กไฟฟ้าทางสายตัวนำของวงจรชุดคอนเวอร์เตอร์

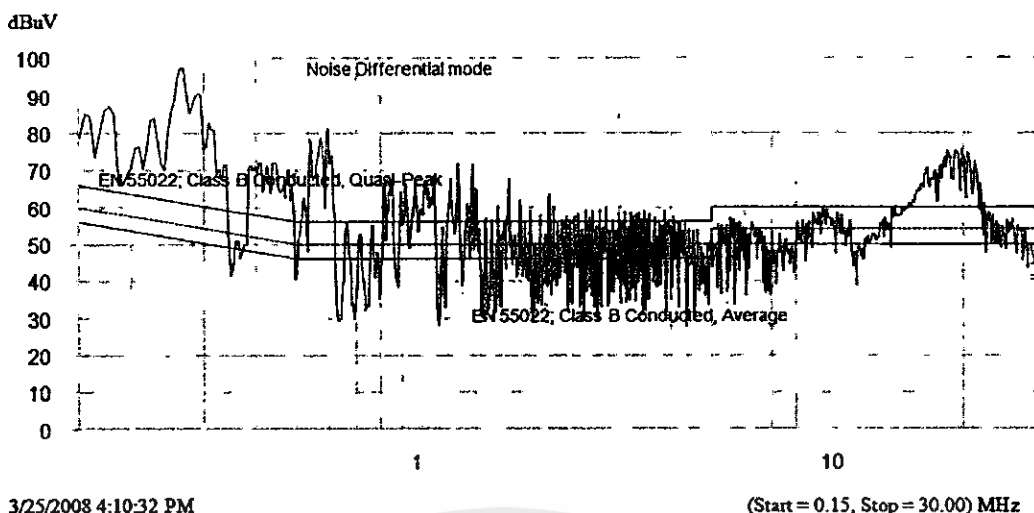
ในหัวข้อนี้ เป็นการแสดงผลการทดสอบวัดสัญญาณรบกวนแม่เหล็กไฟฟ้าทางสายตัวนำที่ได้จากวงจรชุดคอนเวอร์เตอร์ ขณะที่ไม่ใส่วงจรกรองสัญญาณรบกวน โดยจะแสดงผลการทดสอบดังแสดงในรูปที่ 6.2 ถึงรูปที่ 6.4

จากรูปที่ 6.2 จะแสดงสัญญาณรบกวนโหมคผลร่วมขณะที่ไม่ใส่วงจรกรองสัญญาณรบกวน ซึ่งในรูปที่ 6.2 จะมีความสำคัญต่อการออกแบบวงจรกรองสัญญาณรบกวนแม่เหล็กไฟฟ้าโหมคผลร่วม เพราะรูปที่ 6.2 จะนำไปสู่การออกแบบวงจรกรองสัญญาณรบกวนเพื่อหาค่าจุดเปลี่ยนความถี่โหมคผลร่วมในบทที่ 4 และจากการออกแบบในบทที่ 4 จะได้จุดเปลี่ยนความถี่โหมคผลร่วมที่ความถี่ 450 kHz และมีค่าสัญญาณรบกวนเท่ากับ 92 dB และในการออกแบบโดยใช้อิมพีแดนซ์ภายในของแหล่งจ่ายไฟฟ้าแบบสวิดซ์ซิงโหมคผลร่วมที่ความถี่เดียวกัน

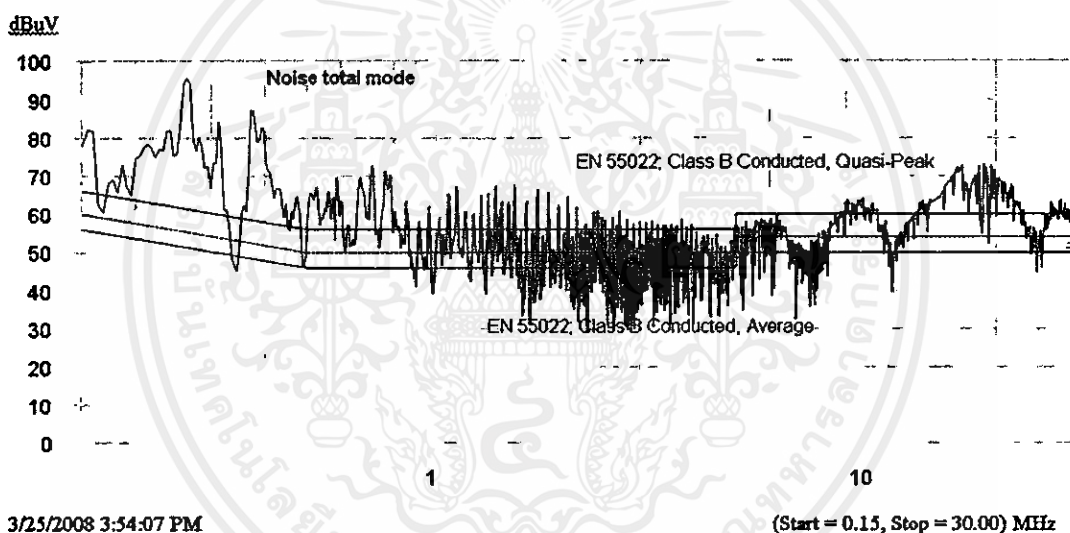
จากรูปที่ 6.3 จะแสดงสัญญาณรบกวนโหมคผลต่างขณะที่ไม่ใส่วงจรกรองสัญญาณรบกวน ซึ่งในรูปที่ 6.3 จะมีความสำคัญต่อการออกแบบวงจรกรองสัญญาณรบกวนแม่เหล็กไฟฟ้าโหมคผลต่าง เพราะรูปที่ 6.3 จะนำไปสู่การออกแบบการวางจรรยากรองเพื่อหาค่าจุดเปลี่ยนความถี่โหมคผลต่างในบทที่ 4 และจะได้จุดเปลี่ยนความถี่โหมคผลต่าง ที่ความถี่ 224 kHz และมีค่าสัญญาณรบกวนเท่ากับ 95 dB ส่วนรูปที่ 6.4 จะแสดงสัญญาณรบกวนโหมคผลรวม ขณะที่ไม่ใส่วงจรกรองสัญญาณรบกวน และในการออกแบบโดยใช้อิมพีแดนซ์ภายในของแหล่งจ่ายไฟฟ้าแบบสวิดซ์ซิงโหมคผลต่างที่ความถี่เดียวกัน



รูปที่ 6.2 สัญญาณรบกวนโหมคผลร่วมขณะที่ไม่ใส่วงจรกรอง



รูปที่ 6.3 สัญญาณรบกวนโหมดผลต่างขณะที่ไม่ใส่วงจรกรอง

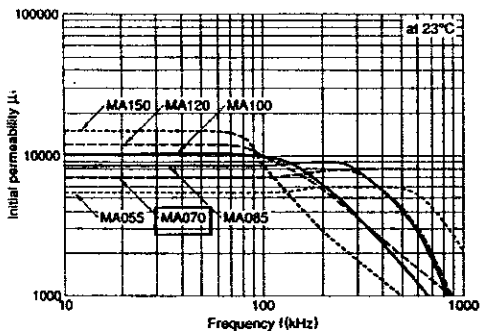


รูปที่ 6.4 สัญญาณรบกวนโหมดผลรวมขณะที่ไม่ใส่วงจรกรอง

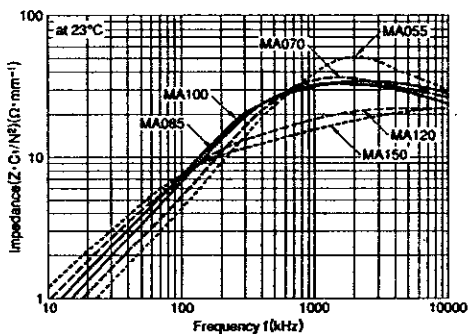
- ในการเลือกแกนเหล็กชนิดเฟอร์ไรต์สำหรับตัวเหนี่ยวนำโหมดผลรวม ควรจะเลือกแกนเหล็กที่มีค่าความซาบซึมต่อความถี่สูงๆ และหาได้จากข้อมูลของผู้ผลิตดังในรูปที่ 6.5 และในการเลือกแกนเหล็กชนิดผลโลหะสำหรับตัวเหนี่ยวนำโหมดผลต่าง ควรจะเลือกเนื้อสารแกนเหล็กให้เหมาะกับการใช้งาน และหาได้จากข้อมูลของผู้ผลิตดังในรูปที่ 6.6

- สัญญาณรบกวนโหมดผลรวมในย่านความถี่ต่ำ จะมีค่าสัญญาณรบกวนสูงกว่าเส้นขีดจำกัดมาตรฐานกำหนดอยู่มาก เป็นเพราะในการลดสัญญาณรบกวนโหมดผลรวมในย่านความถี่ต่ำจำเป็นต้องใช้ตัวเก็บประจุ C_X ช่วยในการลดทอนสัญญาณรบกวน

Permeability vs. Frequency(Typical)



Impedance(Z·Cr/N²) vs. Frequency(Typical)



(ก) ค่าความซาบซึมต่อความถี่ (ผนวก ข)

(ข) ค่าอิมพีแดนซ์ต่อความถี่ (ผนวก ข)

รูปที่ 6.5 คุณสมบัติของแกนเหล็กชนิดเฟอร์ไรต์

Typical Application	-2	-8	-14	-18	-26	-30	-34	-35	-38	-40	-45	-52
Light Dimmer Chokes					X				X	X	X	
60 Hz Differential mode EMI Line Chokes					X				X	X	X	X
DC Chokes: < 50 kHz or low Et/n					X	X	X	X	X	X	X	
DC Chokes: < 50 kHz or low Et/n		X	X	X		X	X	X				X
Power Factor Correction Chokes: <50 kHz					X	X	X	X		X		
Power Factor Correction Chokes: >50 kHz	X	X	X	X		X	X	X				
Resonant Inductor:>50 kHz		X	X									

รูปที่ 6.6 คุณสมบัติของแกนเหล็กชนิดผงโลหะ

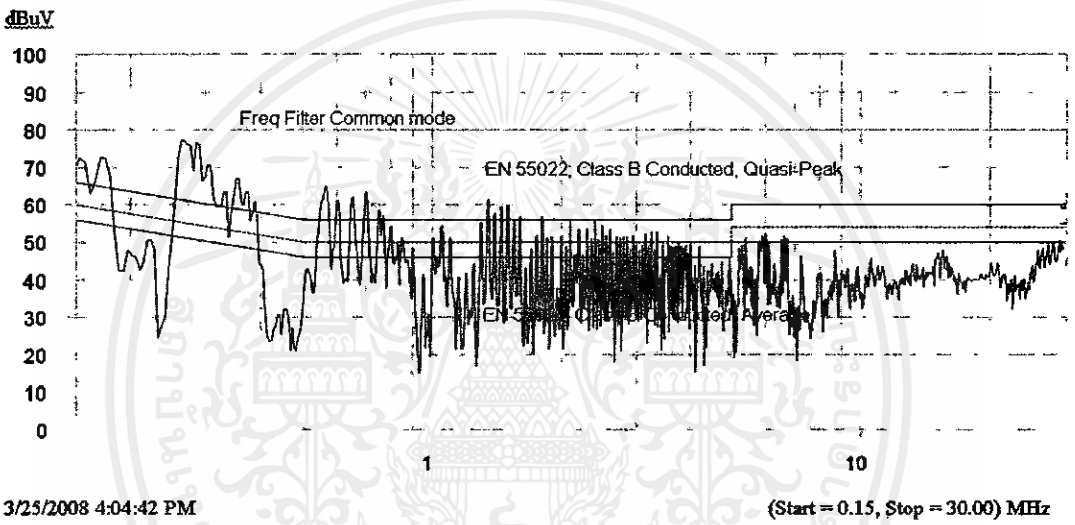
หมายเหตุ X หมายถึงการมีคุณสมบัติตามหัวข้อ

6.1.2 การทดสอบวงจรกรองสัญญาณรบกวนแม่เหล็กไฟฟ้า ณ จุดที่สัญญาณรบกวนแม่เหล็กไฟฟ้าทางสายตัวนำที่มีค่าเกินมาตรฐาน

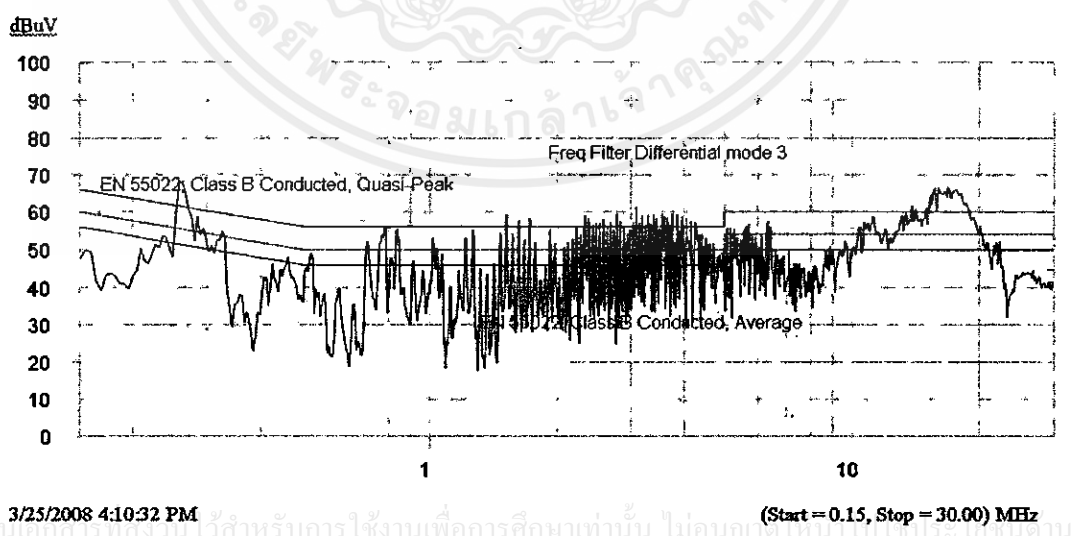
จากหัวข้อที่ 6.1.1 จะแสดงผลการทดสอบสัญญาณแม่เหล็กไฟฟ้าทางสายตัวนำของวงจรชุดคอนเวอร์เตอร์ขณะที่ไม่มีวงจรกรองสัญญาณรบกวน และในหัวข้อนี้จะแสดงผลการทดสอบวงจรกรองสัญญาณรบกวนขณะที่มีวงจรกรองสัญญาณรบกวน โดยมีเงื่อนไข คือ จะออกแบบที่จุดเปลี่ยนความถี่เดียวกันทั้งโหมดผลรวมและโหมดผลต่าง ดังแสดงวิธีการไว้แล้วในบทที่ 4 ที่ว่าด้วยขั้นตอนการออกแบบวงจรกรองสัญญาณรบกวนแม่เหล็กไฟฟ้า และวิธีการออกแบบวงจรกรองสัญญาณรบกวนแม่เหล็กไฟฟ้าด้วยอิมพีแดนซ์ภายในของแหล่งจ่ายไฟฟ้าแบบสวิทซ์ซิง โดยการออกแบบจะใช้อิมพีแดนซ์ภายในของแหล่งจ่ายไฟฟ้าแบบสวิทซ์ซิง ที่ความถี่เดียวกับวิธีการออกแบบโดยใช้จุดเปลี่ยนความถี่

1. ผลการทดสอบวงจรกรองสัญญาณรบกวนแม่เหล็กไฟฟ้าที่มีการออกแบบโดยวิธีใช้จุดเปลี่ยนความถี่

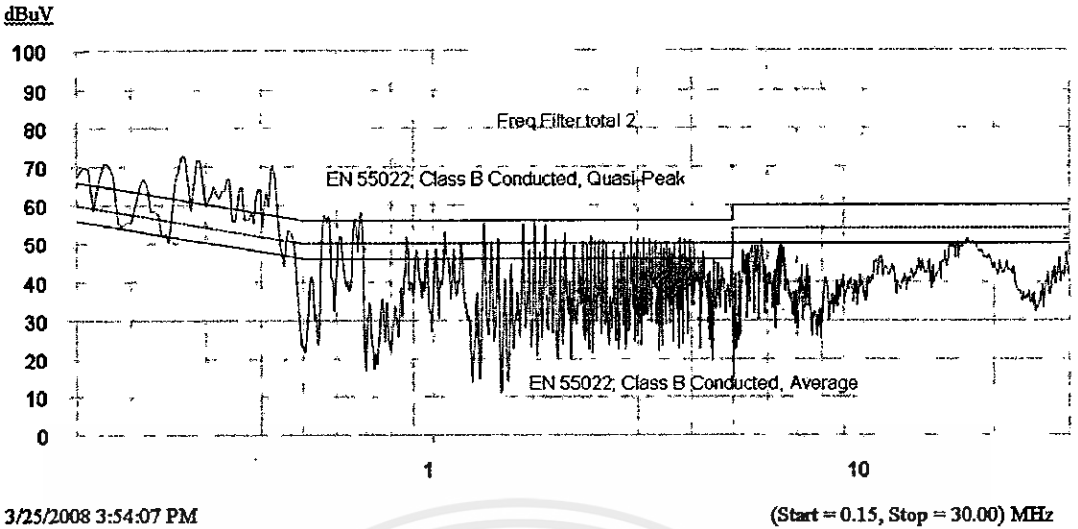
ในรูปที่ 6.7 จะแสดงผลการทดสอบวงจรชุดคอนเวอร์เตอร์ขณะที่มีกรองสัญญาณรบกวนที่มีการพันแบบ CM โดยรูปที่ 6.7 (ก) จะแสดงผลของสัญญาณรบกวนโหมดผลรวม และผลจากการทดสอบ ที่ย่านความถี่ 200 kHz – 700 kHz ยังมีผลของสัญญาณรบกวนโหมดผลรวมที่สูงกว่าเส้นจำกัดมาตรฐานเล็กน้อย รูปที่ 6.7 (ข) แสดงผลของสัญญาณรบกวนโหมดผลต่างที่ย่านความถี่ 200 kHz – 1 MHz ยังสูงกว่าเส้นจำกัดมาตรฐาน และในรูปที่ 6.12 (ค) จะแสดงผลของสัญญาณรบกวนโหมดผลรวม โดยที่ย่านความถี่ 200 kHz – 500 kHz ยังมีผลของสัญญาณรบกวนโหมดผลรวมสูงกว่าเส้นขีดจำกัดมาตรฐาน



(ก) สัญญาณรบกวน โหมดผลรวม



(ข) สัญญาณรบกวน โหมดผลต่าง

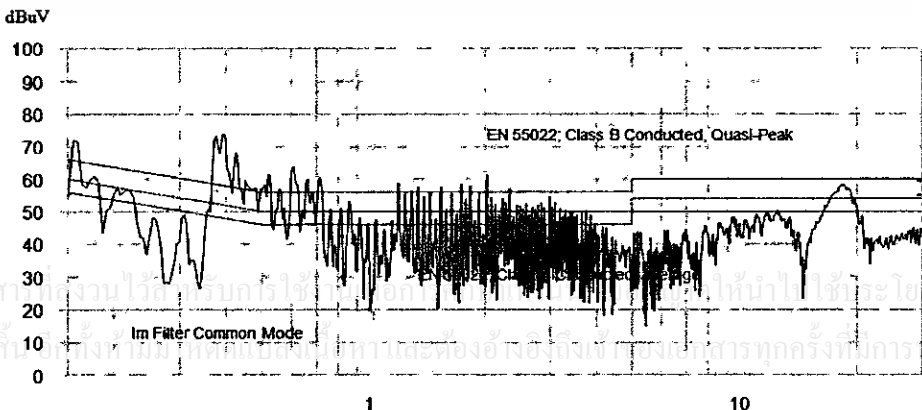


(ค) สัญญาณรบกวนโหมคผลรวม

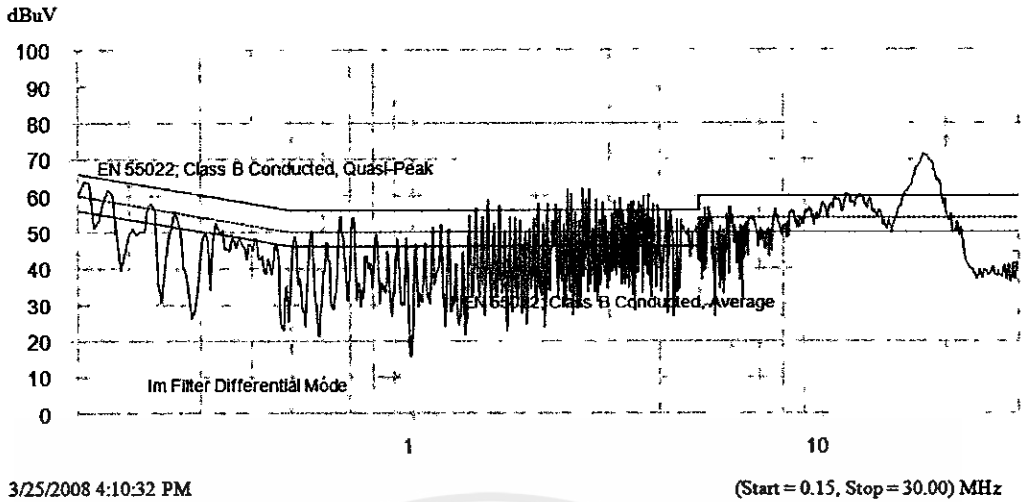
รูปที่ 6.7 ผลการทดสอบวงจรกรองสัญญาณรบกวนที่มีการออกแบบโดยใช้วิธีจุดเปลี่ยนความถี่

2. ผลการทดสอบวงจรกรองสัญญาณรบกวนแม่เหล็กไฟฟ้า ที่มีการออกแบบโดยวิธีใช้อิมพีแดนซ์ภายใน ของแหล่งจ่ายไฟฟ้าแบบสวิตซ์ซิ่ง

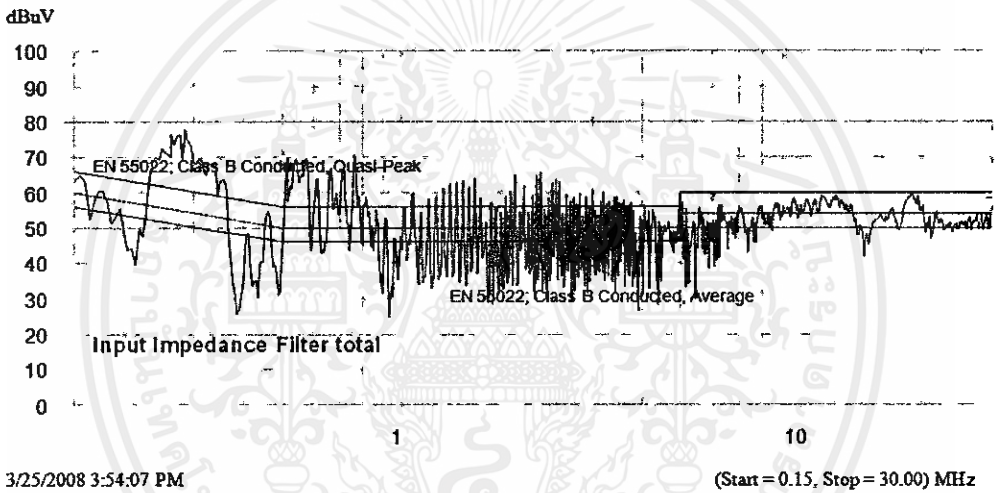
ในรูปที่ 6.8 จะแสดงผลการทดสอบวงจรชุดคอนเวอร์เตอร์ขณะที่มีกรองสัญญาณรบกวนที่มีการออกแบบโดยใช้อิมพีแดนซ์ภายในของแหล่งจ่ายไฟฟ้าแบบสวิตซ์ซิ่ง โดยรูปที่ 6.8 (ก) จะแสดงผลของสัญญาณรบกวนโหมคผลรวม และผลจากการทดสอบ ที่ย่านความถี่ 300 kHz – 700 kHz ยังมีผลของสัญญาณรบกวน โหมคผลรวมที่สูงกว่าเส้นจำกัดมาตรฐานเล็กน้อย รูปที่ 6.8 (ข) แสดงผลของสัญญาณรบกวนโหมคผลต่างที่ย่านความถี่สูงกว่า 10 MHz ผลของสัญญาณรบกวนโหมคผลต่างยังสูงกว่าเส้นจำกัดมาตรฐาน และในรูปที่ 6.8 (ค) จะแสดงผลของสัญญาณรบกวนโหมคผลรวม โดยที่ย่านความถี่ 300 kHz – 800 kHz ยังมีผลของสัญญาณรบกวนโหมคผลรวมสูงกว่าเส้นขีดจำกัดมาตรฐาน



(ค) สัญญาณรบกวนโหมคผลรวม



(ข) สัญญาณรบกวนโหมดผลต่าง



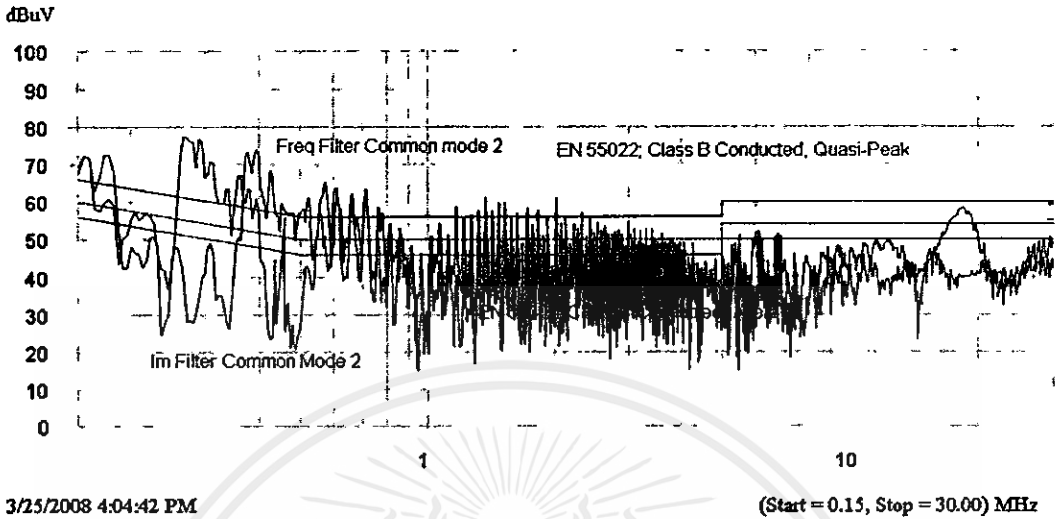
(ค) สัญญาณรบกวนโหมดผลรวม

รูปที่ 6.8 ผลการทดสอบวงจรกรองสัญญาณรบกวนที่มีการออกแบบ โดยใช้อิมพีแดนซ์ภายในของแหล่งจ่ายไฟฟ้าแบบสวิตซ์ซิ่ง

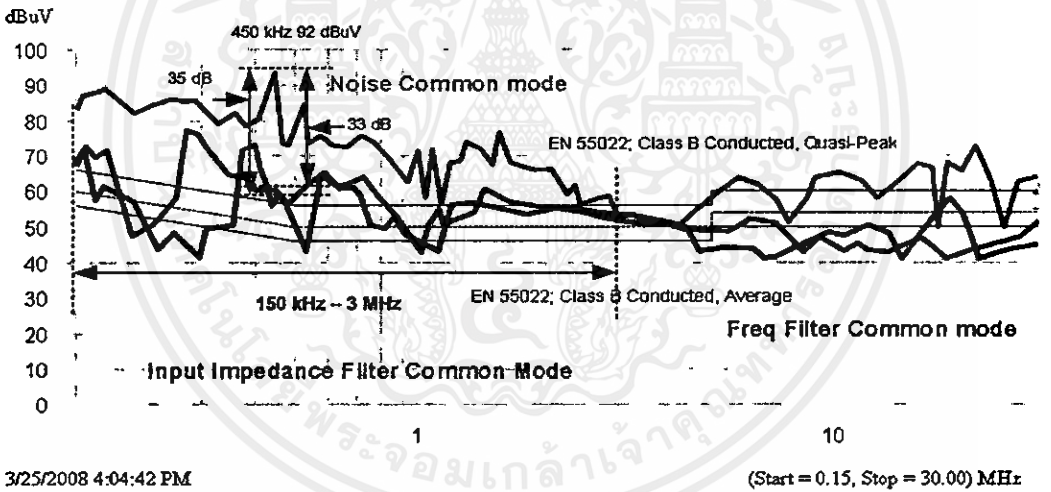
3. การเปรียบเทียบผลการทดสอบ

ในหัวข้อนี้จะเป็นการเปรียบเทียบผลการทดสอบ การทำงานของวงจรชดเชยคอนเวอร์เตอร์ ขณะที่มิ่วงจรกรองสัญญาณรบกวน และจากรูปที่ 6.9 จะแสดงสัญญาณรบกวนโหมดผลรวมของการออกแบบทั้ง 2 แบบ และจะทำการพล็อตค่าสูงสุดของสัญญาณรบกวนของการออกแบบทั้ง 2 แบบ ดังแสดงในรูปที่ 6.10 และจะทำการเปรียบเทียบสัญญาณรบกวนโหมดผลรวมของออกแบบทั้ง 2 แบบ กับสัญญาณรบกวน โหมดผลรวมขณะที่ไม่มีวงจรกรอง ซึ่งจะเห็นว่าสัญญาณรบกวนโหมดผลรวมขณะที่ไม่มีวงจรกรองสัญญาณรบกวนจะมีระดับสัญญาณรบกวน โหมดผลรวมที่สูงมาก และสูงกว่าเส้นขีดจำกัดมาตรฐานกำหนด และเมื่อใส่วงจรกรองสัญญาณรบกวน จะเห็นว่าระดับสัญญาณรบกวน โหมดผลรวมจะมีค่าลดลงตลอดทั้งย่านการทำงานและในย่านความถี่ 150

kHz- 20 MHz สามารถลดทอนสัญญาณรบกวนได้มาก และที่จุดเปลี่ยนความถี่โหมคผลร่วม ที่ความถี่ 821 kHz สามารถลดทอนสัญญาณรบกวนโหมคผลร่วมได้สูงสุด เท่ากับ 33 dB

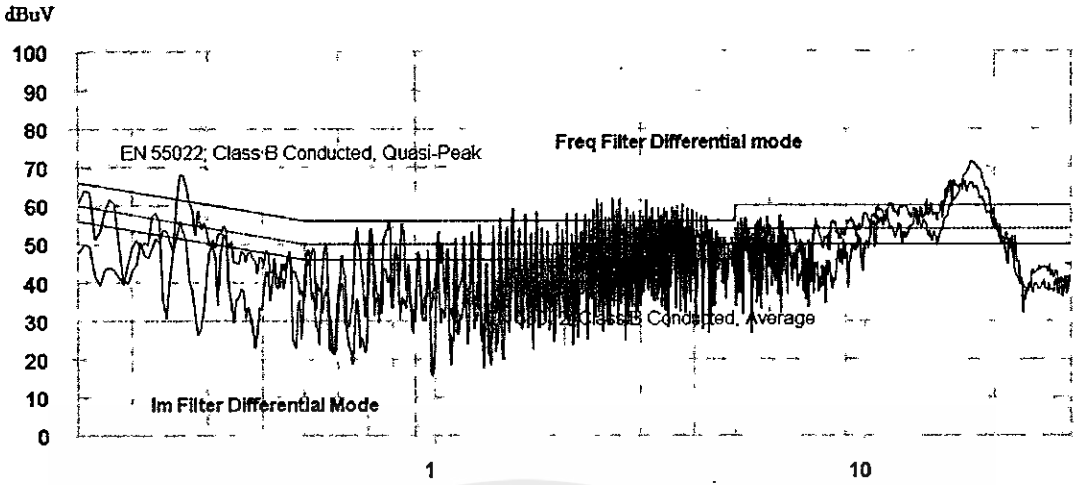


รูปที่ 6.9 สัญญาณรบกวนโหมคผลร่วมของการออกแบบทั้ง 2 แบบ



รูปที่ 6.10 เปรียบเทียบสัญญาณรบกวนโหมคผลร่วม

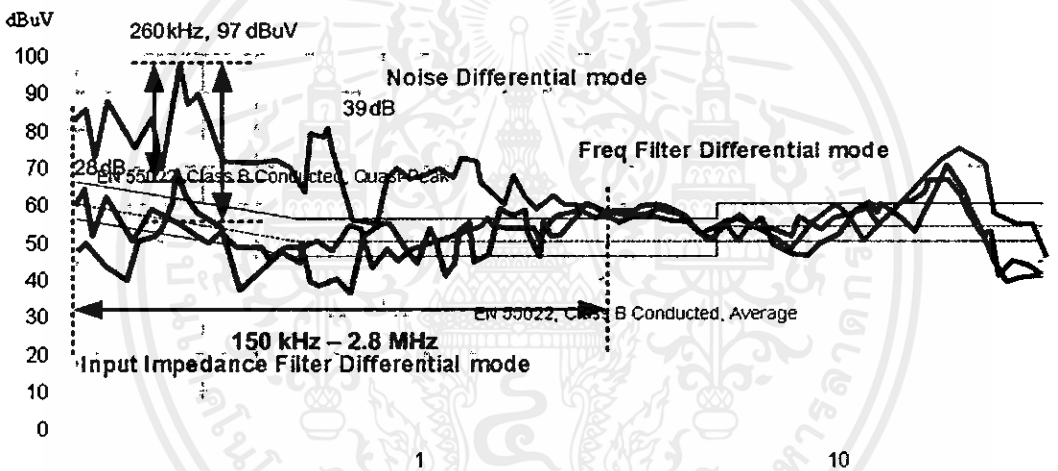
จากรูปที่ 6.11 จะแสดงสัญญาณรบกวนโหมคผลต่างของการออกแบบทั้ง 2 แบบ และจากรูปจะทำการพล็อตค่าสูงสุดของสัญญาณรบกวนโหมคผลต่างดังแสดงในรูปที่ 6.12 จะทำการเปรียบเทียบสัญญาณรบกวนโหมคผลต่างของการออกแบบทั้ง 2 แบบ กับสัญญาณรบกวนโหมคผลต่างขณะที่ไม่มีวงจรกรองสัญญาณรบกวน จะเห็นว่าสัญญาณรบกวนโหมคผลต่างขณะที่ไม่มีวงจรกรองสัญญาณรบกวนจะมีระดับสัญญาณรบกวนโหมคผลต่างที่สูงมาก และสูงกว่าเส้นขีดจำกัดมาตรฐานกำหนด และเมื่อใส่วงจรกรองสัญญาณรบกวนแล้ว ระดับสัญญาณรบกวนโหมคผลต่างจะมีค่าลดลงเกือบตลอดทั้งย่านการทำงาน และในย่านความถี่ 150 kHz-12 MHz สามารถลดทอนสัญญาณรบกวนได้มาก และที่จุดเปลี่ยนความถี่โหมคผลต่าง ที่ความถี่ 224 kHz สามารถลดทอนสัญญาณรบกวนโหมคผลต่างได้เท่ากับ 26.3 dB



3/25/2008 4:10:32 PM

(Start = 0.15, Stop = 30.00) MHz

รูปที่ 6.11 สัญญาณรบกวนโหมดผลต่างของการออกแบบทั้ง 2 แบบ



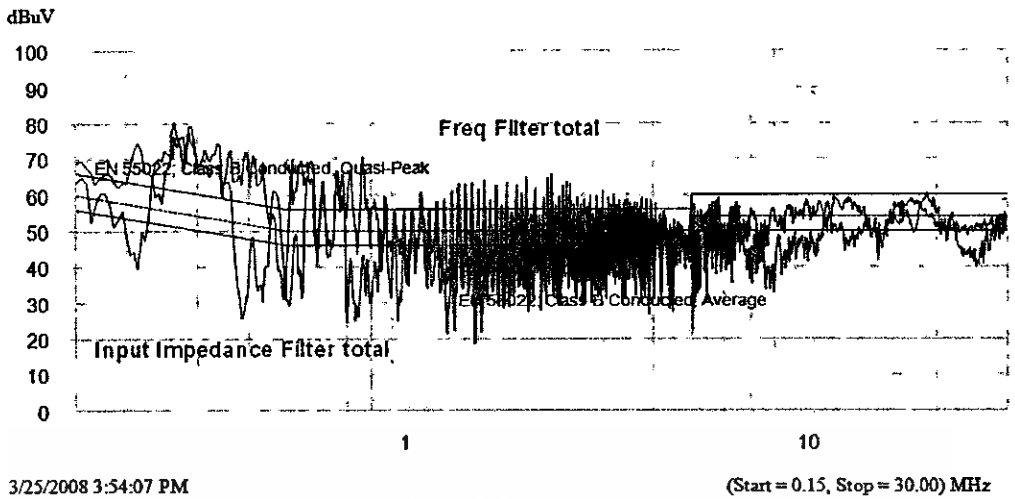
3/25/2008 4:10:32 PM

(Start = 0.15, Stop = 30.00) MHz

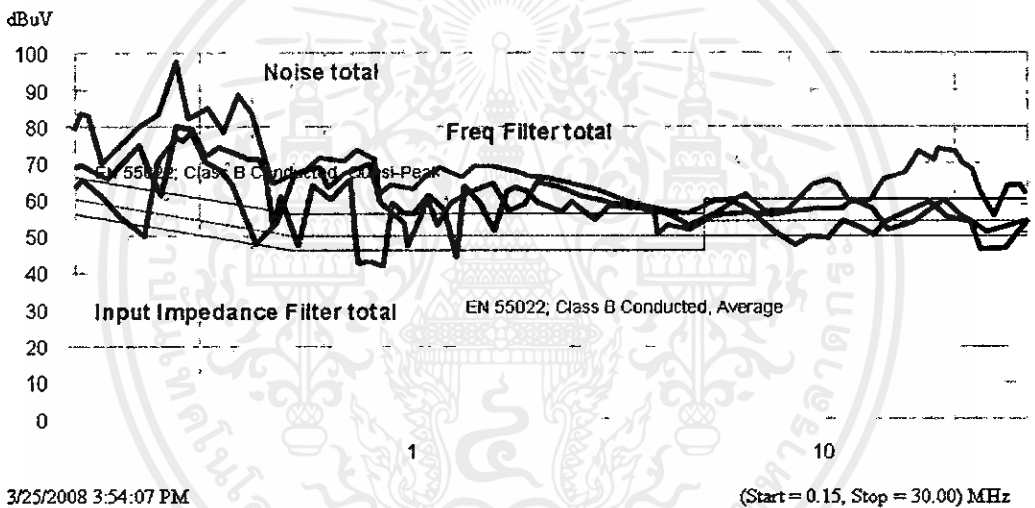
รูปที่ 6.12 เปรียบเทียบสัญญาณรบกวนโหมดผลต่าง

จากรูปที่ 6.13 จะแสดงสัญญาณรบกวนโหมดผลรวมของการออกแบบทั้ง 2 แบบ และจากรูปจะทำการพล็อตค่าสูงสุดของสัญญาณรบกวนโหมดผลรวมคั้งแสดงในรูปที่ 6.14 จะทำการเปรียบเทียบสัญญาณรบกวนโหมดผลรวมของการออกแบบทั้ง 2 แบบ กับสัญญาณรบกวนโหมดผลรวมขณะที่ไม่มีวงจรกรองสัญญาณรบกวน จะเห็นว่าสัญญาณรบกวนโหมดผลรวมขณะที่ไม่มีวงจรกรองสัญญาณรบกวนจะมีระดับสัญญาณรบกวนโหมดผลรวมที่สูงมาก และเมื่อใส่วงจรกรองสัญญาณรบกวนแล้ว ระดับสัญญาณรบกวนโหมดผลรวม นั้นมีค่าลดลงตลอดทั้งย่านความถี่ 150 kHz- 30 MHz

เอกสารนี้เป็นเอกสารลิขสิทธิ์ของมหาวิทยาลัยเทคโนโลยีพระจอมเกล้าธนบุรี ใช้งานเพื่อการศึกษาเท่านั้น ไม่อนุญาตให้นำไปใช้ประโยชน์ด้านการค้า
 ไม่ว่าการมีใดๆทั้งสิ้น อีกทั้งห้ามมิให้คัดแปลงเนื้อหา และต้องอ้างอิงถึงเจ้าของเอกสารทุกครั้งที่มีการนำไปใช้



รูปที่ 6.13 สัญญาณรบกวนโหมคผลรวมของการออกแบบทั้ง 2 แบบ



รูปที่ 6.14 เปรียบเทียบสัญญาณรบกวนโหมคผลรวม

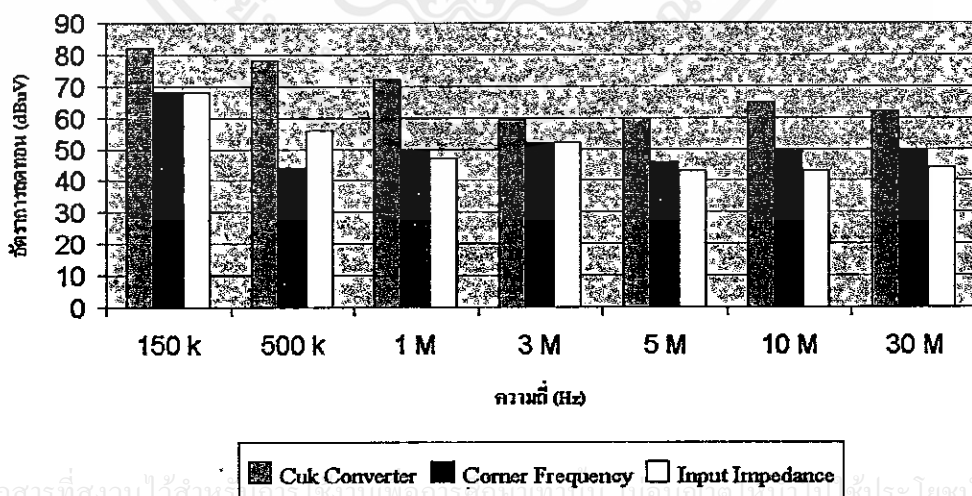
ตารางที่ 6.1 แสดงผลการทดสอบสัญญาณรบกวนแม่เหล็กไฟฟ้าในโหมดต่างๆ ของการออกแบบโดยใช้วิธีการจุดเปลี่ยนความถี่ และวิธีการใช้อิมพีแดนซ์ภายในของแหล่งจ่ายไฟฟ้าแบบ สวิตซ์ซิ่ง

ตารางที่ 6.1 ผลการทดสอบสัญญาณรบกวนแม่เหล็กไฟฟ้าในโหมดต่างๆ

รูปแบบการพัน	การวัดสัญญาณรบกวน (dB)	ความถี่ (MHz)						
		0.15	0.5	1	3	5	10	30
Cuk converter (without filter)	CM	78	59	55	59	59	61	60
	DM	79	60	57	60	59	58	46.5
	Total	79.5	65	62.5	60.5	60.5	62	61
การออกแบบโดยใช้ จุดเปลี่ยนความถี่	CM	68	44	50	52	46	49	50
	DM	45	47	52	61	52.5	58	40
	Total	72	48	54	54	52	43	50
การออกแบบโดยใช้ อิมพีแดนซ์ภายใน ของแหล่งจ่ายไฟฟ้า แบบสวิทช์จิง	CM	55	56	47	52	43	43	44
	DM	60	48	50	59	50	50	39
	Total	62	57	52	53	52	52	49

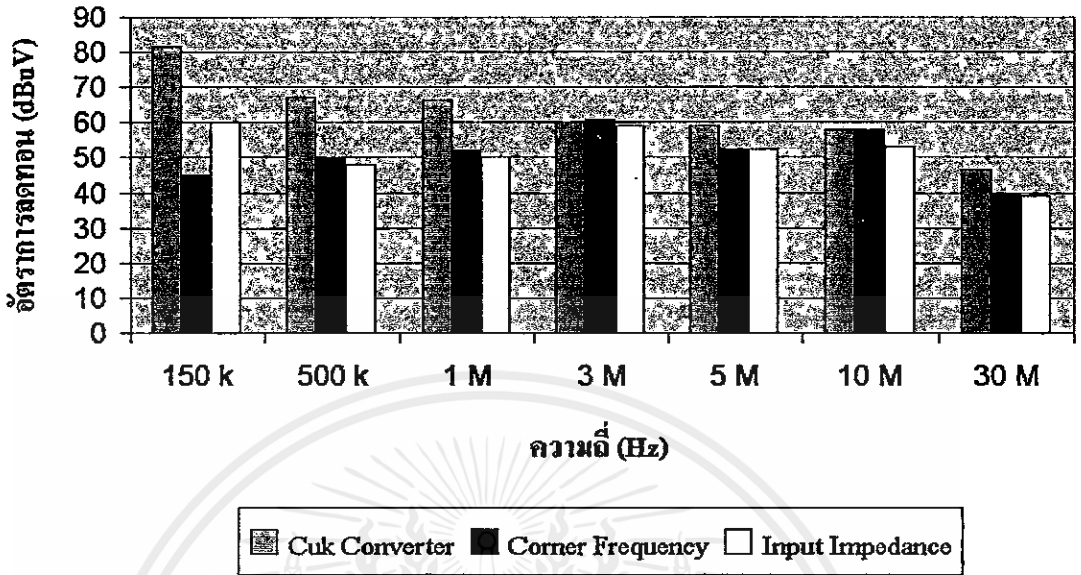
จากตารางที่ 6.1 จะแสดงผลการทดสอบวงจรชุดคอนเวอร์เตอร์ขณะที่มีวงจรรองกับไม่มีวงจรรองสัญญาณรบกวน ซึ่งจะแสดงผลของสัญญาณรบกวนทั้ง 3 โหมด คือ โหมดผลรวม โหมดผลต่าง และโหมดผลรวม และจากตารางจะแสดงค่าสัญญาณรบกวนที่ความถี่ต่างๆ และสามารถพล็อตกราฟได้ดังในรูปที่ 6.15 - 6.17 จะแสดงการเปรียบเทียบสัญญาณรบกวนโหมดการทำงานต่างๆ ขณะมีวงจรรองกับไม่มีวงจรรองสัญญาณรบกวน

สัญญาณรบกวนโหมดผลรวม



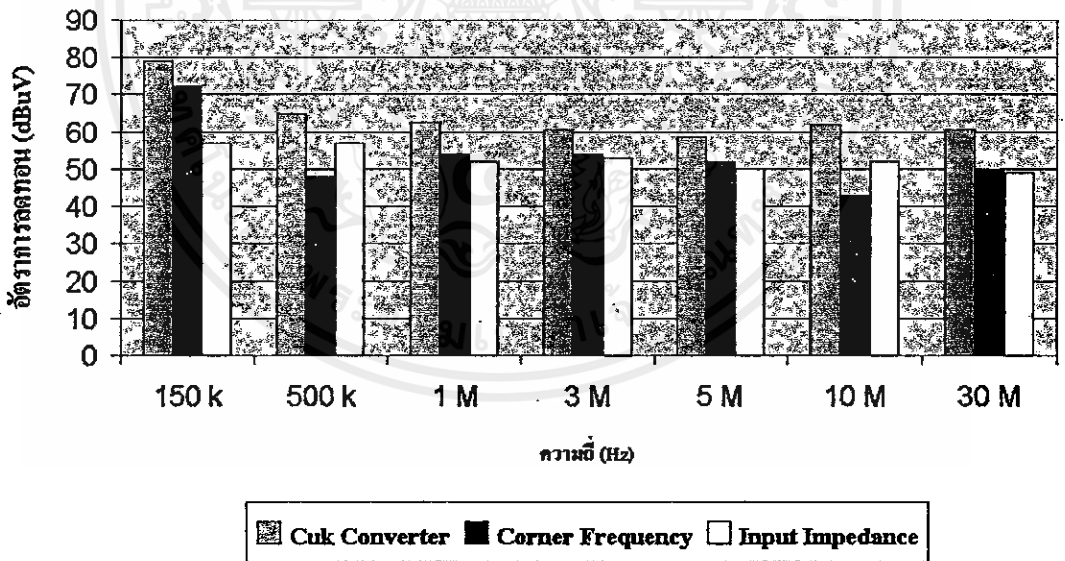
รูปที่ 6.15 เปรียบเทียบสัญญาณรบกวน โหมดผลรวมขณะมีวงจรรองกับไม่มีวงจรรอง

สัญญาณรบกวนโหมคผลต่าง



รูปที่ 6.16 เปรียบเทียบสัญญาณรบกวนโหมคผลต่างขณะมีวงจรรองกับไม่มีวงจรรอง

สัญญาณรบกวนโหมคผลรวม



รูปที่ 6.17 เปรียบเทียบสัญญาณรบกวนโหมคผลรวมขณะมีวงจรรองกับไม่มีวงจรรอง

จากรูปที่ 6.15 จะเป็นการเปรียบเทียบสัญญาณรบกวนโหมคผลรวมขณะมีวงจรรองสัญญาณรบกวนกับ ไม่มีวงจรรองสัญญาณรบกวน และจากการทดสอบพบว่าวงจรรองสัญญาณรบกวนทั้ง 2 แบบสามารถลดทอนสัญญาณรบกวนได้มากในย่านความถี่ 1 MHz – 10 MHz ประมาณ 20 dB และจากรูปที่ 6.16 จะเป็นการเปรียบเทียบสัญญาณรบกวนโหมคผลต่างขณะมีวงจรรองสัญญาณรบกวนกับ ไม่มีวงจรรองสัญญาณรบกวน และผลจากการทดสอบแล้วพบว่าที่

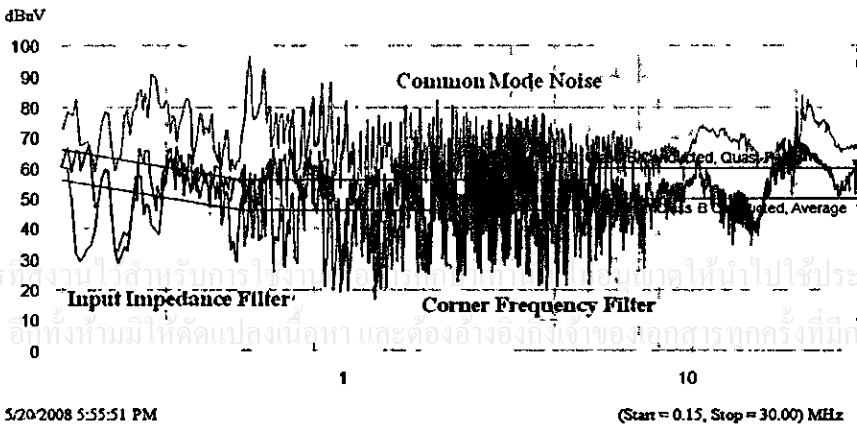
ความถี่ 150 kHz – 1 MHz จะสามารถลดทอนสัญญาณรบกวนและวงจรกรองสัญญาณรบกวนแม่เหล็กไฟฟ้าที่ออกแบบจากอิมพีแดนซ์ภายในของแหล่งจ่ายไฟฟ้าแบบสวิทซ์ซิ่ง นั้นจะสามารถลดทอนสัญญาณรบกวนได้มากกว่าการออกแบบโดยการใช้จุดเปลี่ยนความถี่ที่ความถี่ตั้งแต่ 500 kHz – 30 MHz จากรูปที่ 6.17 จะเป็นการเปรียบเทียบสัญญาณรบกวนโหมคผลรวมขณะมีวงจรกรองสัญญาณรบกวนกับไม่มีวงจรกรองสัญญาณรบกวน และผลจากการทดสอบพบว่าที่ความถี่ 150 kHz จะสามารถลดทอนสัญญาณรบกวนได้มากถึง 15 dB โดยวิธีการออกแบบโดยอิมพีแดนซ์ภายในของแหล่งจ่ายไฟฟ้าแบบสวิทซ์ซิ่ง

4 สรุปผลการทดสอบและการวิเคราะห์ผลการทดสอบ

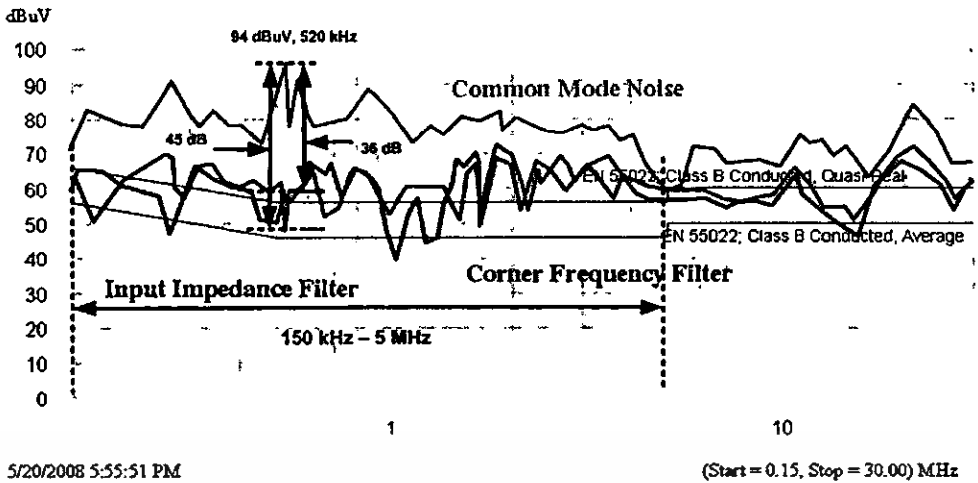
- ผลการทดสอบที่ว่ากรออกแบบวงจรกรองสัญญาณรบกวนแม่เหล็กไฟฟ้า สามารถสรุปได้ว่าเมื่อพิจารณาโหมคผลรวม ที่ความถี่ 450 kHz การออกแบบโดยวิธีจุดเปลี่ยนความถี่สามารถลดทอนสัญญาณรบกวนได้มากที่สุด คือ 34 dB และเมื่อพิจารณาโหมคผลต่าง ที่จุดเปลี่ยนความถี่ที่ความถี่ 224 kHz การออกแบบโดยใช้อิมพีแดนซ์ภายในของแหล่งจ่ายไฟฟ้าแบบสวิทซ์ซิ่งจะสามารถลดทอนสัญญาณรบกวนได้มากที่สุด ถึง 42 dB
- จากการทดสอบวงจรกรองสัญญาณรบกวนทั้ง 2 แบบ จะเห็นว่าที่ความถี่สูงตั้งแต่ 10 MHz - 30 MHz ยังมีผลของสัญญาณรบกวนที่สูงกว่าเส้นขีดจำกัดมาตรฐานกำหนด เป็นผลมาจากค่าพารามิเตอร์แฝงของวงจรหรือ เป็นผลมาจากการวางตัวอุปกรณ์

6.1.3 การทดสอบวงจรกรองสัญญาณรบกวนแม่เหล็กไฟฟ้าเมื่อกระแสไหลลดเท่ากับ 0.25 แอมแปร์

เป็นการทดสอบความเข้ากันได้ทางแม่เหล็กไฟฟ้าเมื่อเปลี่ยนโหลดเป็น 100 Ω เพื่อลดกระแสไหลลดเป็น 0.25 A และทำการออกแบบวงจรกรองสัญญาณรบกวนทางแม่เหล็กไฟฟ้าทั้ง 2 แบบ คือ วิธีใช้จุดเปลี่ยนความถี่ และวิธีการใช้อิมพีแดนซ์ภายในของแหล่งจ่ายไฟฟ้าแบบสวิทซ์ซิ่ง ซึ่งผลการทดลองในโหมคผลรวม แสดงในรูปที่ 6.18 – 6.19



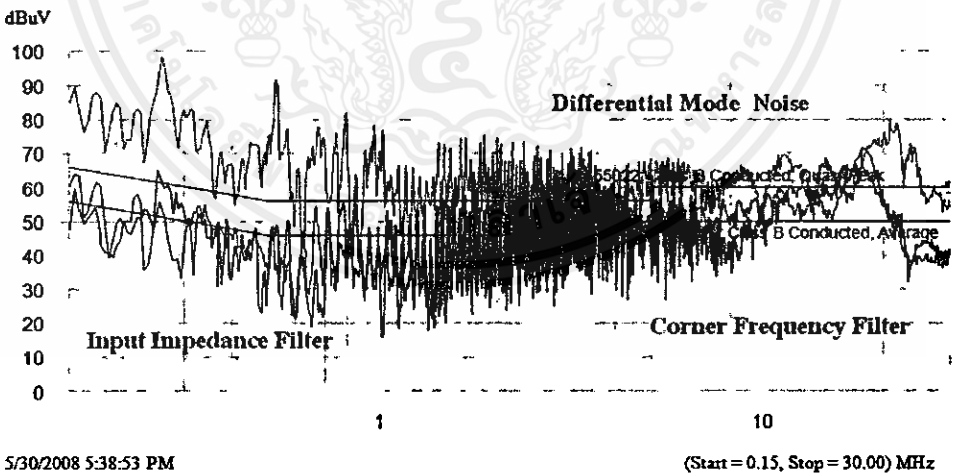
รูปที่ 6.18 สัญญาณรบกวนโหมคผลรวม



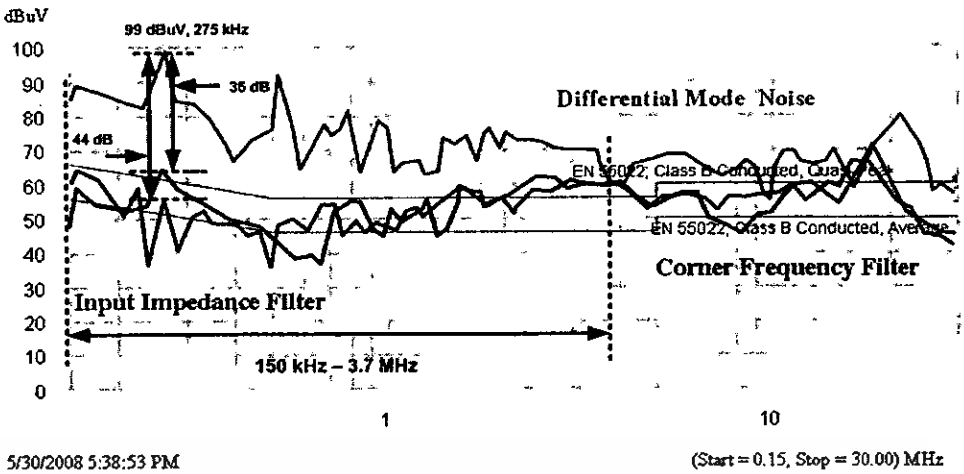
รูปที่ 6.19 เปรียบเทียบสัญญาณรบกวนโหมดผลรวม

จากรูปที่ 6.19 เมื่อเปรียบเทียบการลดทอนสัญญาณรบกวนโหมดผลรวม ณ จุดที่ทำการออกแบบคือ 520 kHz โดยการออกแบบด้วยวิธีการใช้จุดเปลี่ยนความถี่จะให้การลดทอนเท่ากับ 36 dB ซึ่งการออกแบบด้วยวิธีการใช้อิมพีแดนซ์ภายในของแปลงจ่ายไฟฟ้าแบบสวิตซ์ซิง จะให้การลดทอนเท่ากับ 45 dB และเมื่อเปรียบเทียบวิธีการออกแบบโดยใช้อิมพีแดนซ์ภายในของแหล่งจ่ายไฟฟ้าแบบสวิตซ์ซิงจะให้การลดทอนที่ดีกว่า 9 dB

ช่วงที่วงจรกรองสัญญาณรบกวนแม่เหล็กไฟฟ้าสามารถลดทอนสัญญาณรบกวนได้ตั้งแต่ 150 kHz – 5 MHz และการเปรียบเทียบการลดทอนสัญญาณรบกวนโหมดผลต่าง แสดงในรูปที่ 6.20 – 6.21



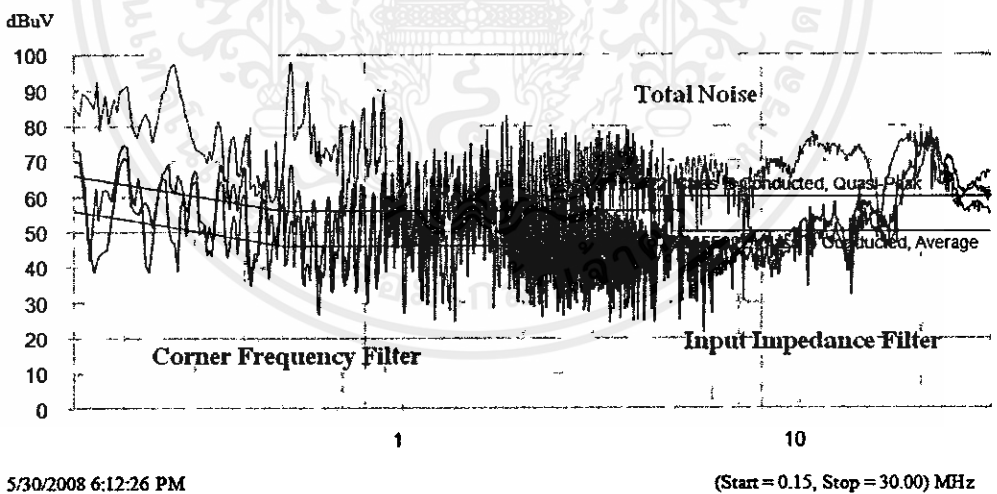
รูปที่ 6.20 สัญญาณรบกวนโหมดผลต่าง



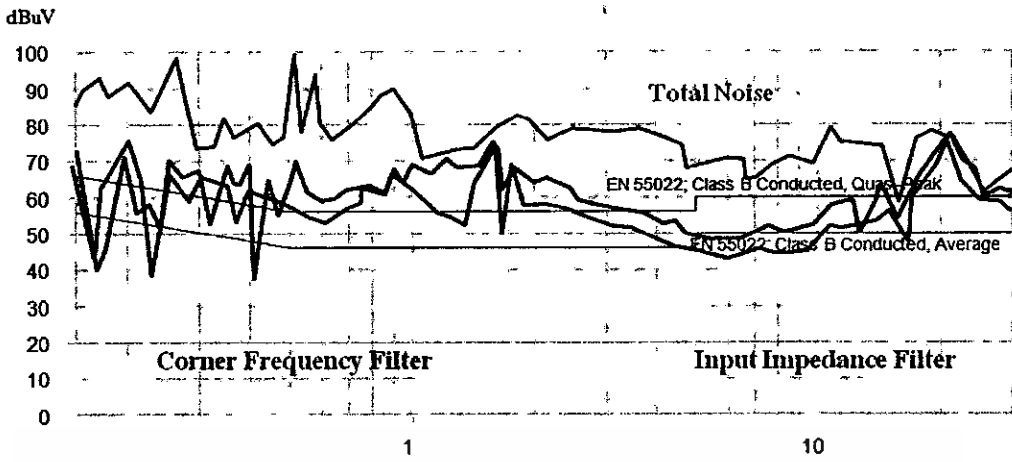
รูปที่ 6.21 เปรียบเทียบสัญญาณรบกวนโหมดผลต่าง

จากรูปที่ 6.21 เมื่อเปรียบเทียบการลดทอนสัญญาณรบกวนโหมดผลต่าง ณ จุดที่ทำการออกแบบคือ 275 kHz โดยการออกแบบด้วยวิธีการใช้จุดเปลี่ยนความถี่จะทำให้การลดทอนเท่ากับ 36 dB ซึ่งการออกแบบด้วยวิธีการใช้อิมพีแดนซ์ภายในของแหล่งจ่ายไฟฟ้าแบบสวิตซ์ซิ่ง จะให้การลดทอนเท่ากับ 44 dB และเมื่อเปรียบเทียบวิธีการออกแบบโดยใช้อิมพีแดนซ์ภายในของแหล่งจ่ายไฟฟ้าแบบสวิตซ์ซิ่งจะให้การลดทอนที่ต่ำกว่า 8 dB

ช่วงที่วงจรกรองสัญญาณรบกวนแม่เหล็กไฟฟ้าสามารถลดทอนสัญญาณรบกวนได้ตั้งแต่ 150 kHz – 3.7 MHz และการเปรียบเทียบสัญญาณรบกวนโหมดผลรวมแสดงในรูปที่ 6.22 – 6.23



รูปที่ 6.22 สัญญาณรบกวนโหมดผลรวม



5/30/2008 6:12:26 PM

(Start = 0.15, Stop = 30.00) MHz

รูปที่ 6.23 เปรียบเทียบสัญญาณรบกวน โหมดผลรวม

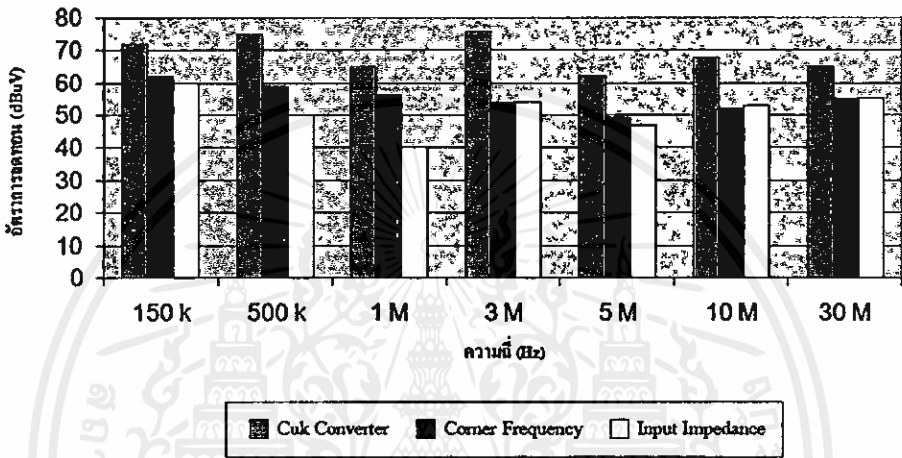
จากรูปที่ 6.22 จะแสดงสัญญาณรบกวน โหมดผลรวมของการออกแบบทั้ง 2 แบบ และจากรูปจะทำการพล็อตค่าสูงสุดของสัญญาณรบกวน โหมดผลรวมดังแสดงในรูปที่ 6.23 จะทำการเปรียบเทียบสัญญาณรบกวน โหมดผลรวมของการออกแบบทั้ง 2 แบบ กับสัญญาณรบกวน โหมดผลรวมขณะที่ไม่มีวงจรกรองสัญญาณรบกวน จะเห็นว่าสัญญาณรบกวน โหมดผลรวมขณะที่ไม่มีวงจรกรองสัญญาณรบกวนจะมีระดับสัญญาณรบกวน โหมดผลรวมที่สูงมาก และเมื่อใส่วงจรกรองสัญญาณรบกวนแล้ว ระดับสัญญาณรบกวน โหมดผลรวม นั้นมีค่าลดลงตลอดทั้งย่านความถี่ 150 kHz- 30 MHz

ตารางที่ 6.2 ผลการทดสอบสัญญาณรบกวนแม่เหล็กไฟฟ้าในโหมดต่างๆ

รูปแบบการพัน	การวัดสัญญาณรบกวน (dB)	ความถี่ (MHz)						
		0.15	0.5	1	3	5	10	30
Cuk converter (without filter)	CM	72	75	65	76	62	68	65
	DM	84	78	70	69	66	66	57
	Total	85	92	80	78	69	70	66
การออกแบบโดยใช้จุดเปลี่ยนความถี่	CM	62	59	56	54	49	52	55
	DM	61	48	47	53	45	48	43
	Total	69	67	61	55	47	53	57
การออกแบบโดยใช้อิมพีแดนซ์ภายในของแหล่งจ่ายไฟฟ้าแบบสวิตซ์จริง	CM	60	50	40	54	47	53	55
	DM	41	55	54	55	48	43	42
	Total	72	68	69	57	50	54	60

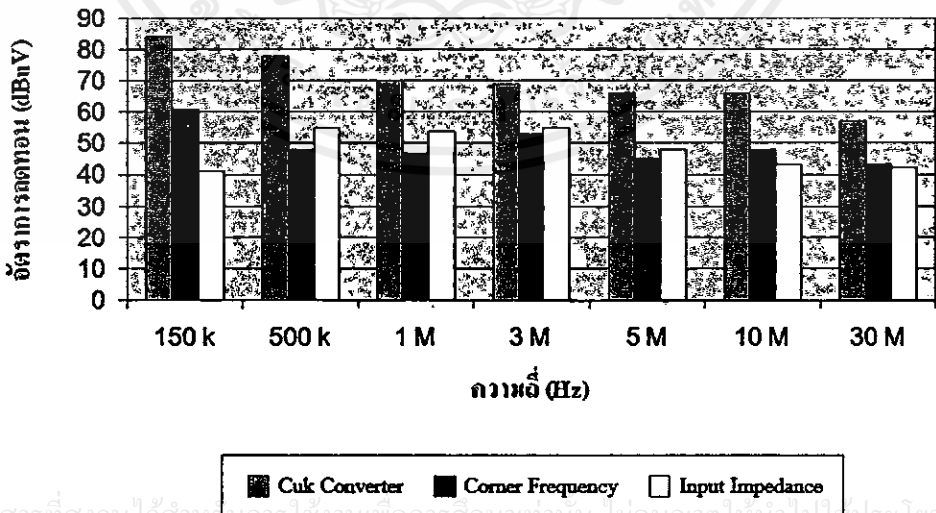
จากตารางที่ 6.2 จะแสดงผลการทดสอบวงจรชุดคอนเวอร์เตอร์ขณะที่มีวงจรรองกับไม่มีวงจรรองสัญญาณรบกวน ซึ่งจะแสดงผลของสัญญาณรบกวนทั้ง 3 โหมด คือ โหมดผลรวม โหมดผลต่าง และโหมดผลรวม และจากตารางจะแสดงค่าสัญญาณรบกวนที่ความถี่ต่างๆ และสามารถพล็อตกราฟได้ดังในรูปที่ 6.24 - 6.26 จะแสดงการเปรียบเทียบสัญญาณรบกวนโหมดการทำงานต่างๆ ขณะมีวงจรรองกับไม่มีวงจรรองสัญญาณรบกวน

สัญญาณรบกวนโหมดผลรวม



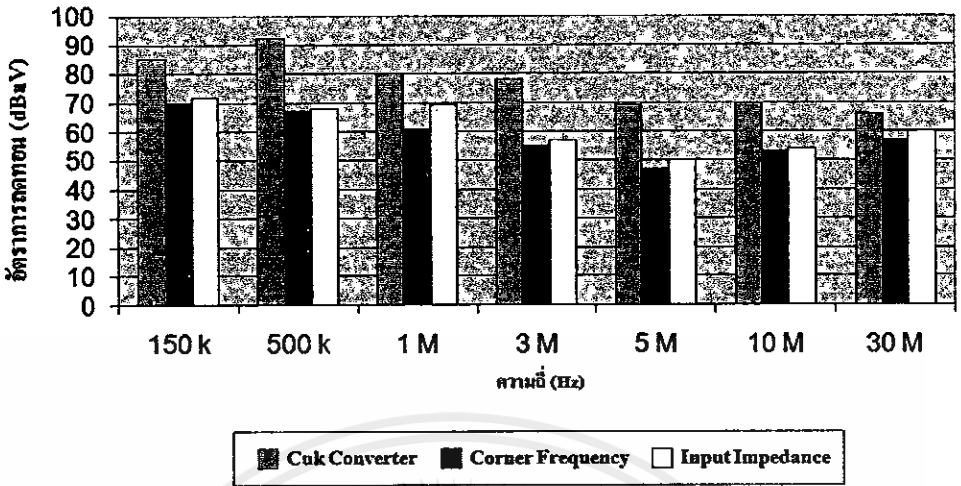
รูปที่ 6.24 เปรียบเทียบสัญญาณรบกวนโหมดผลรวมขณะมีวงจรรองกับไม่มีวงจรรอง

สัญญาณรบกวนโหมดผลต่าง



รูปที่ 6.25 เปรียบเทียบสัญญาณรบกวนโหมดผลต่างขณะมีวงจรรองกับไม่มีวงจรรอง

สัญญาณรบกวนโหมคผลรวม



รูปที่ 6.26 เปรียบเทียบสัญญาณรบกวนโหมคผลรวมขณะมีวงจรกรองกับไม่มีวงจรกรอง

จากรูปที่ 6.24 จะเป็นการเปรียบเทียบสัญญาณรบกวนโหมคผลรวมขณะมีวงจรกรองสัญญาณรบกวนกับไม่มีวงจรกรองสัญญาณรบกวน และจากการทดสอบพบว่าวงจรกรองสัญญาณรบกวนทั้ง 2 แบบสามารถลดทอนสัญญาณรบกวนได้มากในย่านความถี่ 1 MHz – 10 MHz ประมาณ 20 dB และจากรูปที่ 6.25 จะเป็นการเปรียบเทียบสัญญาณรบกวนโหมคผลต่างขณะมีวงจรกรองสัญญาณรบกวนกับไม่มีวงจรกรองสัญญาณรบกวน และผลจากการทดสอบแล้วพบว่าที่ความถี่ 150 kHz – 5 MHz วงจรกรองสัญญาณรบกวนแม่เหล็กไฟฟ้าที่ออกแบบจากจุดเปลี่ยนความถี่จะสามารถลดทอนสัญญาณรบกวนได้มากกว่า วิธีการใช้อิมพีแดนซ์ภายในของแหล่งจ่ายไฟฟ้าแบบสวิตซ์ซิง แต่ที่ความถี่สูงกว่า 5 MHz วงจรกรองสัญญาณรบกวนแม่เหล็กไฟฟ้าที่ออกแบบจากวิธีการใช้อิมพีแดนซ์ภายในของแหล่งจ่ายไฟฟ้าแบบสวิตซ์ซิง จะสามารถลดทอนสัญญาณรบกวนได้มากกว่าวิธีการใช้จุดเปลี่ยนความถี่ จากรูปที่ 6.26 จะเป็นการเปรียบเทียบสัญญาณรบกวนโหมคผลรวม ขณะมีวงจรกรองสัญญาณรบกวนกับไม่มีวงจรกรองสัญญาณรบกวน และผลจากการทดสอบพบว่าตลอดย่านความถี่ 150 kHz – 30 MHz การออกแบบทั้งสองวิธีจะสามารถลดทอนสัญญาณรบกวนได้ใกล้เคียงกัน และลดทอนได้มากถึง 10 - 20 dB

6.2 สรุปผลการทดสอบวงจรกรองสัญญาณรบกวนแม่เหล็กไฟฟ้า

ในบทนี้จะเป็นการทดสอบทางด้านความเข้ากันได้ทางแม่เหล็กไฟฟ้าทางสายตัวนำ โดยเริ่มจากการทดสอบการลดทอนสัญญาณรบกวนแม่เหล็กไฟฟ้าโหมคผลรวมและโหมคผลต่าง โดยวงจรกรองสัญญาณรบกวนแม่เหล็กไฟฟ้าที่นำเสนอทั้ง 2 แบบ สามารถลดทอนสัญญาณรบกวนที่เกิดจากอุปกรณ์อิเล็กทรอนิกส์หรือวงจรไฟฟ้าได้มากหรือน้อยและผลจากการทดสอบได้สรุปและวิเคราะห์ไว้แล้วในหัวข้อที่ 6.1.2 ข้อ 3 และ 6.1.3

บทที่ 7

สรุปผลการวิจัย และข้อเสนอแนะ

งานวิจัยนี้ได้ทำการศึกษาเกี่ยวกับ เทคนิคการหาอิมพีแดนซ์ภายในของแหล่งจ่ายไฟฟ้าแบบสวิตซ์ซิงแบบต่างๆ ความสำคัญของอิมพีแดนซ์ภายในของแหล่งจ่ายไฟฟ้าแบบสวิตซ์ซิงต่อการออกแบบวงจรกรองสัญญาณรบกวนแม่เหล็กไฟฟ้าทางสายตัวนำ และการออกแบบวงจรกรองสัญญาณรบกวนแม่เหล็กไฟฟ้าทางสายตัวนำ ทั้งแบบการหาจุดเปลี่ยนความถี่ และการใช้อิมพีแดนซ์ภายในของแหล่งจ่ายไฟฟ้าแบบสวิตซ์ซิง ซึ่งวิทยานิพนธ์นี้ ได้ทดสอบวงจรกรองสัญญาณรบกวนแม่เหล็กไฟฟ้าทั้ง 2 แบบ

7.1 สรุปผลการวิจัย

จะแบ่งการสรุปออกเป็น 3 ส่วนคือ ส่วนของการหาอิมพีแดนซ์ภายในของแหล่งจ่ายไฟฟ้าแบบสวิตซ์ซิง และการออกแบบวงจรกรองสัญญาณรบกวนแม่เหล็กไฟฟ้าทางสายตัวนำ และการสรุปงานวิจัยด้านอื่นๆ

7.1.1 สรุปการหาอิมพีแดนซ์ภายในของแหล่งจ่ายไฟฟ้าแบบสวิตซ์ซิง

จากการศึกษาเทคนิคการหา อิมพีแดนซ์ภายในของแหล่งจ่ายไฟฟ้าแบบสวิตซ์ซิง นั้นได้มีการนำเสนอทั้งหมด 3 วิธี โดยในวิธีของการทดสอบรีโซแนนซ์นั้น ในการทดลองต้องหาค่าตัวเหนี่ยวนำที่มีค่าพอดีที่จะทำให้เกิดรีโซแนนซ์กับวงจรที่ต้องการทดสอบ จึงเป็นการยากที่จะหาค่าที่พอดีนั้น และในส่วนของการทำงานโดยวิธีการใช้โพรบกระแส 2 ตัวนั้น ก็มีความยุ่งยากในการเตรียมอุปกรณ์ คือโพรบกระแสที่ใช้ในการจ่ายสัญญาณ ดังนั้นวิธีที่เหมาะสมกับการหาอิมพีแดนซ์ภายในของแหล่งจ่ายไฟฟ้าแบบสวิตซ์ซิงที่ใช้ในงานวิจัยนี้ คือการใช้อัตราการลดทอนสัญญาณรบกวนแม่เหล็กไฟฟ้าทางสายตัวนำในการช่วยหา เพราะอุปกรณ์ต่างๆ เป็นอุปกรณ์พื้นฐานในการวัดสัญญาณรบกวนแม่เหล็กไฟฟ้าทางสายตัวนำที่มีอยู่แล้ว และวิธีการหาไม่ซับซ้อน จึงเลือกใช้ในการหาอิมพีแดนซ์ภายในของแหล่งจ่ายไฟฟ้าแบบสวิตซ์ซิงในงานวิจัยนี้

7.1.2 สรุปการออกแบบวงจรกรองสัญญาณรบกวนแม่เหล็กไฟฟ้าทางสายตัวนำ

การใช้ตัวเหนี่ยวนำโหมคผลร่วมและโหมคผลต่าง จะไม่สามารถลดทอนสัญญาณรบกวนแม่เหล็กไฟฟ้าได้ตลอดย่านความถี่ แต่สามารถลดทอนได้ในระดับหนึ่ง และยังคงสูงกว่าเส้นขีดจำกัดมาตรฐานกำหนด

วงจรกรองสัญญาณรบกวนแม่เหล็กไฟฟ้าที่ออกแบบ โดยวิธีการใช้อิมพีแดนซ์ภายในของแหล่งจ่ายไฟฟ้าแบบสวิตซ์ซิง จะเหมาะสำหรับวงจรอิเล็กทรอนิกส์หรือผลิตภัณฑ์ที่มีสัญญาณรบกวนโหมคผลต่างสูง เนื่องจากการออกแบบด้วยวิธีนี้ จะมีค่าเหนี่ยวนำรั่วไหล $L_{CM,leakage}$ ที่เกิดจากรูปแบบการพันสูง ทำให้สามารถลดทอนสัญญาณรบกวนโหมคผลต่างได้

ในการเลือกแกนเหล็กชนิดเฟอร์ไรต์สำหรับตัวเหนี่ยวนำโหมคผลร่วม ควรจะเลือกแกนเหล็กที่มีค่าความซาบซึมต่อความถี่สูงๆ และ ในการเลือกแกนเหล็กชนิดผล โลหะสำหรับตัวเหนี่ยวนำโหมคผลต่าง ควรจะเลือกเนื้อสารแกนเหล็กให้เหมาะกับการใช้งาน

ผลการทดสอบที่ว่า การออกแบบวงจรกรองสัญญาณรบกวนแม่เหล็กไฟฟ้า สามารถสรุปได้ว่าเมื่อพิจารณาโหมคผลร่วม ที่ความถี่ 450 kHz การออกแบบโดยวิธีจุดเปลี่ยนความถี่ สามารถลดทอนสัญญาณรบกวนได้มากที่สุด คือ 34 dB และเมื่อพิจารณาโหมคผลต่าง ที่จุดเปลี่ยนความถี่ที่ความถี่ 224 kHz การออกแบบ โดยการใช้อิมพีแดนซ์ภายในของแหล่งจ่ายไฟฟ้าแบบสวิทซ์จึงจะสามารถลดทอนสัญญาณรบกวนได้มากที่สุด ถึง 42 dB

จากการทดสอบวงจรกรองสัญญาณรบกวนทั้ง 2 แบบ จะเห็นว่าที่ความถี่สูงตั้งแต่ 10 MHz - 30 MHz ยังมีผลของสัญญาณรบกวนที่สูงกว่าเส้นขีดจำกัดมาตรฐานกำหนด เป็นผลมาจากค่าพารามิเตอร์แฝงของวงจรหรือ เป็นผลมาจากการวางตัวอุปกรณ์

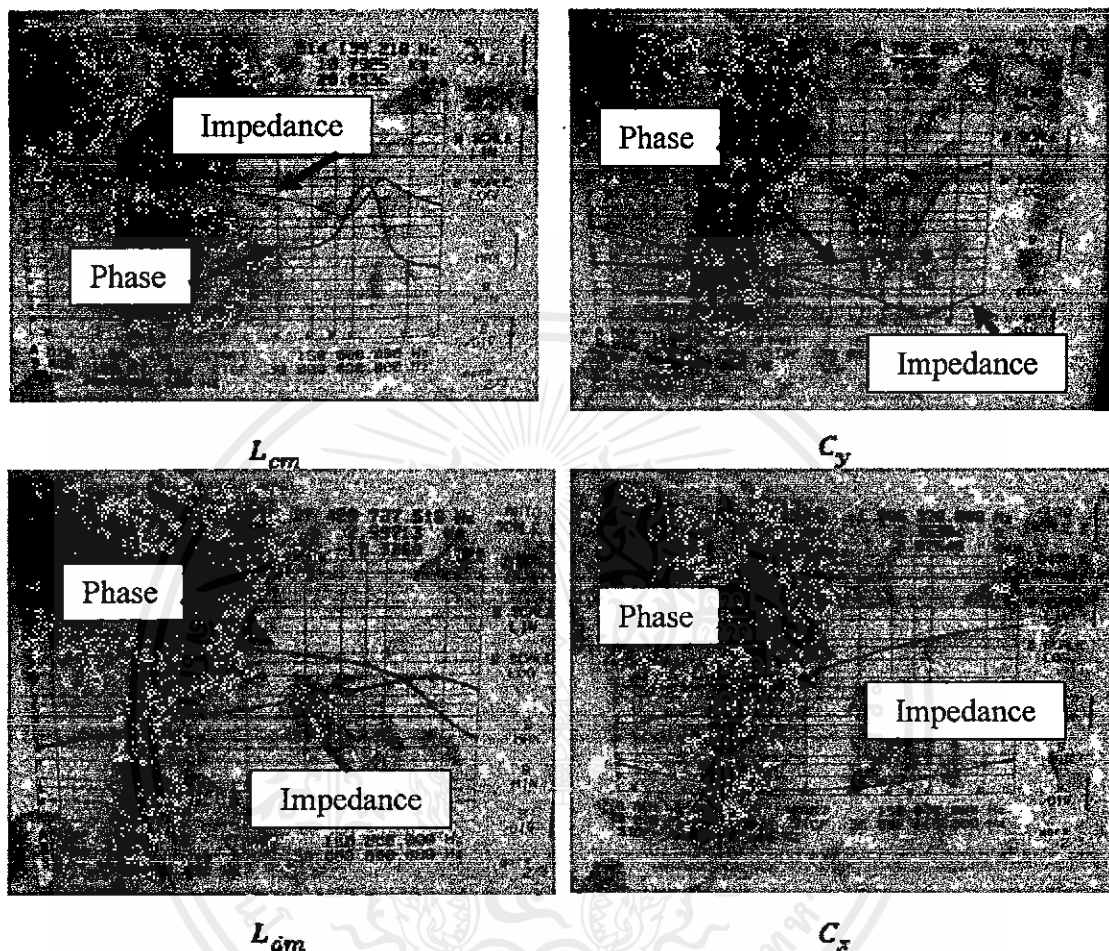
เนื่องจากผลของการลดทอนของวงจรกรองสัญญาณรบกวนแม่เหล็กไฟฟ้า ของการออกแบบในโหมคผลร่วมนั้น ให้การลดทอนที่ความถี่ตั้งแต่ 150 kHz - 2.7 MHz นั้นสาเหตุอาจเกิดจากค่าการรีโซแนนซ์ในอุปกรณ์แต่ละตัวของวงจรกรอง จึงได้ทำการวัดค่าอิมพีแดนซ์ต่อความถี่ของอุปกรณ์ที่ใช้แต่ละตัวในวงจรกรองสัญญาณรบกวนแม่เหล็กไฟฟ้าในย่านความถี่ตั้งแต่ 150 kHz - 30 MHz ทั้งที่ออกแบบโดยการใช้ความจุดเปลี่ยนความถี่ และการใช้อิมพีแดนซ์ภายในของแหล่งจ่ายไฟฟ้าแบบสวิทซ์จึง รูปที่ 7.1 แสดงอุปกรณ์ในวงจรกรองสัญญาณรบกวนแม่เหล็กไฟฟ้า ที่ออกแบบโดยการใช้จุดเปลี่ยนความถี่



รูปที่ 7.1 อุปกรณ์ในวงจรกรองสัญญาณรบกวนแม่เหล็กไฟฟ้า ที่ออกแบบโดยการใช้จุดเปลี่ยนความถี่

เมื่อวิเคราะห์การตอบสนองความถี่ ของอุปกรณ์ในวงจรกรองสัญญาณรบกวนทางสายตัวนำของอุปกรณ์โหมคผลร่วม ซึ่งจากรูปจะเห็นได้ว่าจุดรีโซแนนซ์ของ L_{cm} นั้นจะอยู่ที่ 514 kHz และค่ารีโซแนนซ์ของ C_v นั้นอยู่ที่ 14 MHz ซึ่งจากผลการทดลองเกี่ยวกับความสามารถในการลดทอนสัญญาณรบกวนของวงจรกรองสัญญาณรบกวนแม่เหล็กไฟฟ้า นั้นจะลดทอนสัญญาณได้ตั้งแต่ความถี่ 150 kHz - 3 MHz จะทำให้ผลการลดทอนสัญญาณรบกวนแม่เหล็กไฟฟ้าที่ความถี่สูงกว่าความถี่นี้ ไม่สามารถลดทอนสัญญาณรบกวนแม่เหล็กไฟฟ้าทางสายตัวนำ ได้ตามที่คำนวณไว้

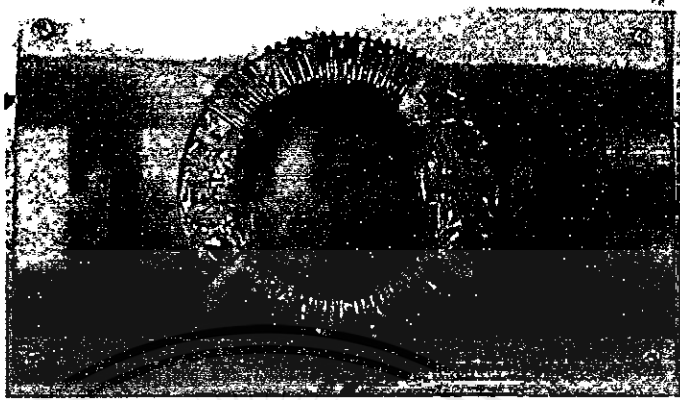
เนื่องจากอิมพีแดนซ์ที่คำนวณนั้นเป็นอุดมคติไม่มีผลของรีโซแนนซ์ ผลการตอบสนองความถี่ของอุปกรณ์ที่ใช้ในการออกแบบวงจรกรองสัญญาณรบกวน ด้วยวิธีการใช้จุดเปลี่ยนความถี่แสดงในรูปที่ 7.2



รูปที่ 7.2 ผลการตอบสนองความถี่ของอุปกรณ์ที่ใช้ในการออกแบบวงจรกรองด้วยวิธีการใช้จุดเปลี่ยนความถี่

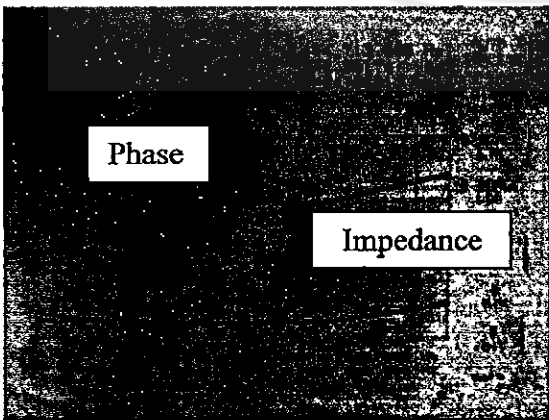
และในส่วนของวงจรกรองสัญญาณรบกวน ที่ออกแบบโดยการใช้วิธีจุดเปลี่ยนความถี่ในโหมดผลต่าง จะมีอุปกรณ์ที่เกี่ยวข้อง 3 ส่วนคือ L_{dm} , C_y และ C_x ซึ่ง L_{dm} จากรูปมีจุดรีโซแนนซ์อยู่ที่ความถี่ 17 MHz C_y มีจุดรีโซแนนซ์ที่ความถี่ 14 MHz และ C_x มีจุดรีโซแนนซ์ที่ความถี่ 2 MHz ซึ่งจากผลการทดลองเกี่ยวกับความสามารถในการลดทอนสัญญาณรบกวน ของวงจรกรองสัญญาณรบกวนแม่เหล็กไฟฟ้านั้นจะลดทอนสัญญาณได้ตั้งแต่ความถี่ 150 kHz – 2.7 MHz จะทำให้ผลการลดทอนสัญญาณรบกวนแม่เหล็กไฟฟ้าที่ความถี่สูงกว่าความถี่นี้ ไม่สามารถลดทอนสัญญาณรบกวนแม่เหล็กไฟฟ้าทางสายตัวนำ ได้ตามที่คำนวณไว้เนื่องจากอิมพีแดนซ์ที่คำนวณนั้นเป็นอุดมคติไม่มีผลของรีโซแนนซ์

อุปกรณ์ในวงจรกรองสัญญาณรบกวนแม่เหล็กไฟฟ้า ที่ออกแบบโดยการใช้อิมพีแดนซ์ ภายในของแหล่งจ่ายไฟฟ้าแบบสวิตซ์ซิ่ง แสดงในรูปที่ 7.3

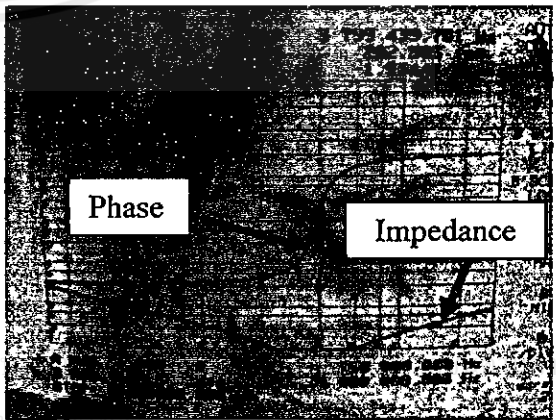


รูปที่ 7.3 อุปกรณ์ในวงจรกรองสัญญาณรบกวนแม่เหล็กไฟฟ้า ที่ออกแบบโดยการใช้อิมพีแดนซ์ ภายในของแหล่งจ่ายไฟฟ้าแบบสวิตซ์ซิ่ง

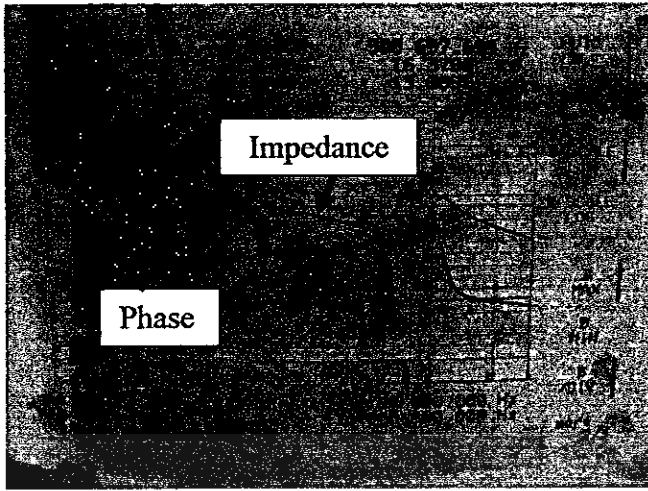
เมื่อวิเคราะห์การตอบสนองความถี่ ของอุปกรณ์ในวงจรกรองสัญญาณรบกวนทางสาย ตัวนำของอุปกรณ์โหมคผลรวม ซึ่งจากรูปจะเห็นได้ว่าจอร์โซแนนท์ของ L_{cm} นั้นจะอยู่ที่ 514 kHz และค่ารีโซแนนท์ของ C_y นั้นอยู่ที่ 14 MHz ซึ่งจากผลการทดลองเกี่ยวกับความสามารถในการลดทอนสัญญาณรบกวนของวงจรกรองสัญญาณรบกวนแม่เหล็กไฟฟ้านั้นจะลดทอนสัญญาณ ได้ตั้งแต่ความถี่ 150 kHz - 3 MHz จะทำให้ผลการลดทอนสัญญาณรบกวนแม่เหล็กไฟฟ้าที่ ความถี่สูงกว่าความถี่นี้ ไม่สามารถลดทอนสัญญาณรบกวนแม่เหล็กไฟฟ้าทางสายตัวนำ ได้ตามที่ คำนวณไว้เนื่องจากอิมพีแดนซ์ที่คำนวณนั้นเป็นอุดมคติไม่มีผลของรีโซแนนท์ ผลการตอบสนอง ความถี่ของอุปกรณ์ที่ใช้ในการออกแบบวงจรกรองสัญญาณรบกวน ด้วยวิธีการใช้จุดเปลี่ยน ความถี่แสดงในรูปที่ 7.4



C_x



C_y



รูปที่ 7.4 ผลการตอบสนองความถี่ของอุปกรณ์ที่ใช้ในการออกแบบวงจรกรอง
ด้วยวิธีการใช้อิมพีแดนซ์ภายในของแหล่งจ่ายไฟฟ้าแบบสวิทช์ซิง

และในส่วนของวงจรกรองสัญญาณรบกวน ที่ออกแบบโดยการใช้วิธีการใช้อิมพีแดนซ์ภายในของแหล่งจ่ายไฟฟ้าแบบสวิทช์ซิงในโหมดผลต่าง จะมีอุปกรณ์ที่เกี่ยวข้อง 3 ส่วนคือ L_{dm} , C_y และ C_x ซึ่ง L_{dm} จากรูปมีจุกรีโซแนนซ์อยู่ที่ความถี่ 500 kHz C_y มีจุกรีโซแนนซ์ที่ความถี่ 3.7 MHz และ C_x มีจุกรีโซแนนซ์ที่ความถี่ 1.4 MHz ซึ่งจากการทดลองเกี่ยวกับความสามารถในการลดทอนสัญญาณรบกวน ของวงจรกรองสัญญาณรบกวนแม่เหล็กไฟฟ้านั้นจะลดทอนสัญญาณได้ตั้งแต่ความถี่ 150 kHz – 2.7 MHz จะทำให้ผลการลดทอนสัญญาณรบกวนแม่เหล็กไฟฟ้าที่ความถี่สูงกว่าความถี่นี้ ไม่สามารถลดทอนสัญญาณรบกวนแม่เหล็กไฟฟ้าทางสายตัวนำ ได้ตามที่คำนวณไว้เนื่องจากอิมพีแดนซ์ที่คำนวณนั้นเป็นอุดมคติไม่มีผลของรีโซแนนซ์

7.1.3 การสรุปงานวิจัยในด้านอื่นๆ

อุณหภูมิที่เกิดขึ้นจากการทดสอบวงจรกรองสัญญาณรบกวนแม่เหล็กไฟฟ้าทั้ง สามแบบ จะมีอุณหภูมิที่ต่ำประมาณ 24.5 °C เนื่องจากแกนเหล็กที่ใช้ในวงจรกรองสัญญาณรบกวนแม่เหล็กไฟฟ้าทั้ง 2 แบบ มีพิภคการใช้งานที่สูง และวงจรชุกคองเวอร์เตอร์ ที่ใช้เป็นแหล่งกำเนิดสัญญาณรบกวนมีพิภคกำลังไฟฟ้าต่ำ

7.2 ข้อเสนอแนะ

จากการศึกษาของวงจรกรองสัญญาณรบกวนแม่เหล็กไฟฟ้า พบว่าการออกแบบวงจรกรองสัญญาณรบกวนแม่เหล็กไฟฟ้ายังมีความยุ่งยาก และมีเงื่อนไขการทำงานมาก และในวิทยานิพนธ์นี้ ได้นำเสนอวิธีการออกแบบวงจรกรองสัญญาณรบกวนแม่เหล็กไฟฟ้าวิธีหนึ่ง ที่สามารถลดทอนสัญญาณรบกวนแม่เหล็กไฟฟ้าได้ และผลจากการทดสอบจะพบปัญหาว่า ที่ย่านความถี่สูง ยังมีผลของสัญญาณรบกวนที่เกินกว่าเส้นขีดจำกัดมาตรฐานกำหนด และจากการศึกษาพบว่า

สัญญาณรบกวนที่เกิดขึ้นในย่านความถี่สูงนั้น เกิดจากค่าพารามิเตอร์แฝงของวงจรหรือ เป็นผลมาจากการวางตัวอุปกรณ์ จึงทำให้มีงานวิจัยมากมายที่ให้ความสำคัญกับเรื่องนี้ สำหรับงานวิจัยที่น่าจะทำต่อในอนาคตก็คือ การศึกษาค่าพารามิเตอร์แฝง และการเชื่อมโยงต่างๆ ที่เกิดขึ้นในของวงจรของสัญญาณรบกวนในย่านความถี่สูง เพื่อที่จะสามารถครอบคลุมการลดทอนสัญญาณรบกวนแม่เหล็กไฟฟ้าทางสายตัวนำในย่านความถี่สูง



เอกสารนี้เป็นเอกสารที่สงวนไว้สำหรับการใช้งานเพื่อการศึกษาเท่านั้น ไม่อนุญาตให้นำไปใช้ประโยชน์ด้านการค้า
ไม่ว่ากรณีใดๆทั้งสิ้น อีกทั้งห้ามมิให้คัดแปลงเนื้อหา และต้องอ้างอิงถึงเจ้าของเอกสารทุกครั้งที่มีการนำไปใช้

บรรณานุกรม

- [1] วีระเชษฐ์ ชันเงิน, วุฒิพล ธาราธิรเศรษฐ์, อิเล็กทรอนิกส์กำลัง, พิมพ์ครั้งที่ 1. กรุงเทพมหานคร: โรงพิมพ์ ห้างหุ้นส่วนจำกัด วิ.เจ.พรีนติ้ง. 2547
- [2] Tihanyi, László., “Electromagnetic Compatibility in Power Electronics”, IEEE Press, 1995.
- [3] Kodali, V.Prasad., “Engineering Electromagnetic Compatibility: Principles, Measurements, and Technologies”, IEEE Press, 1996.
- [4] Dongbin Zhang and Dan Y. Chen, “Non-intrinsic differential mode noise in switching power supplies” *IEEE Power Electronics Specialists Conf.*, 1998, pp. 1131-1133.
- [5] J. C. Fluke, Sr. Controlling Conducted Emissions by Design. New York: Van Nostrand Teinhold, 1991.
- [6] H.Y. Lu, J.G. Zhu, S.Y.R. Hui, V.S. Ramsden, “Comparison of Experimental Techniques for Determination of Stray Capacitances in High Frequency Transformers”, IEEE, 2000, pp.1645-1650.
- [7] D. Morgan, A handbook for EMC testing and measurement, Peter Peregrinus Ltd. on behalf of the Institution of Electrical Engineers, 1994
- [8] Mark J. Nave, “Power Line Filter Design for Switched-Mode Power Supplies”, VNR, 1991.
- [9] Dan Y. Chen, “Measurement of Noise Source Impedance of Off-Line Converters,” *IEEE Trans.Power Electron.*,vol. 15, Sep 2000, pp 820 - 825
- [10] L.M. Schneider, “Noise source equivalent circuit model for off-line converters and its use in input filter design,” in Proc.IEEE EMC’83 Symposium, 1983, pp. 167-175
- [11] K.Y. See, J Deng, “Measurement of noise source impedance of SMPS using a two probes approach,” *IEEE Trans.Power Electron.*,vol. 19, Issue 3, May 2004, pp 862-868.
- [12] Fu-Yuan shih, Dan Y. chan, Yan-pei wu and Yie -tone Chen, “A Procedure for Designing EMI Filter for AC Line Applications”, *IEEE Trans. Power Electron.*, vol. 11, No.1, January 1996.
- [13] Richard Lee Ozenbaugh, “EMI Filter Design”, Marcel Dekker, 1996.
- [14] S. Ye, W. Eberle and Y. F. Liu, “A Novel EMI Filter Design Method for Switching Power Supplies,” *IEEE Transactions on Power Electronics*, Vol. 19, No. 6, pp. 1668-1678, November 2004.



ภาคผนวก ก
การวัดสัญญาณรบกวนทางแม่เหล็กไฟฟ้าในตัวนำตามมาตรฐาน
CISPR 11 และ CISPR 22

เอกสารนี้เป็นเอกสารที่สงวนไว้สำหรับการใช้งานเพื่อการศึกษาเท่านั้น ไม่อนุญาตให้นำไปใช้ประโยชน์ด้านการค้า
ไม่ว่ากรณีใดๆทั้งสิ้น อีกทั้งห้ามมิให้ดัดแปลงเนื้อหา และต้องอ้างอิงถึงเจ้าของเอกสารทุกครั้งที่มีการนำไปใช้

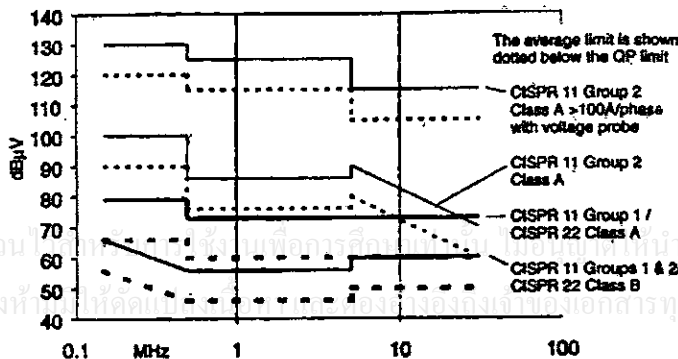
การวัดสัญญาณรบกวนทางแม่เหล็กไฟฟ้าในตัวนำตามมาตรฐาน CISPR

การวัดสัญญาณรบกวนทางแม่เหล็กไฟฟ้าที่ถูกต้องนั้น จะต้องมีอุปกรณ์ที่จำเป็นต้องใช้หลายอย่าง และเพื่อให้เป็นไปตามมาตรฐานนานาชาติ ในหัวข้อนี้จะนำเสนอลักษณะการติดตั้งอุปกรณ์ที่ใช้ในการวัดสัญญาณรบกวนทางแม่เหล็กไฟฟ้าทางตัวนำในโหมดร่วม ซึ่งได้แปลและเรียบเรียงมาจากมาตรฐาน CISPR 11 และ CISPR 22 โดยมีเงื่อนไขของอุปกรณ์ดังนี้

1 AMN/LISN

เครื่องมือที่ใช้ในการวัดการรบกวนทางแม่เหล็กไฟฟ้าสามารถติดตั้งได้ง่าย โดยการต่อไว้ที่ทางด้านเข้าของแหล่งจ่ายไฟของอุปกรณ์ที่ต้องการจะวัด (Equipment Under Test: EUT) ซึ่งสาเหตุที่ต้องต่อเครื่องวัดไว้ที่ด้านเข้าของแหล่งจ่ายไฟเพราะที่ด้านออกของแหล่งจ่ายไฟเป็นเส้นทางหลักของสัญญาณรบกวนจากอุปกรณ์จะไปรบกวนวงจรอื่นทางตัวนำ และเพราะว่าสายที่ต่อจากแหล่งจ่ายจะทำตัวคล้ายกับเป็นสายอากาศแผ่สัญญาณรบกวนออกไปด้วยความถี่ที่ทำการทดสอบจาก EN 55022 (CISPR 22) ฉบับพิมพ์ครั้งที่ 3 เมื่อปี 1997 ได้นำเสนอการทดสอบการรบกวนทางตัวนำที่พอร์ตโทรคมนาคม (Telecommunication ports) แต่ที่กล่าวไว้ก็ยังสามารถนำมาประยุกต์ใช้ได้อีกมาก ในรูปที่ 1 คือ ระดับเส้นเปรียบเทียบหรือกลุ่มเส้นจำกัด (Limit) ที่ความถี่ต่าง ๆ ของ CISPR เกือบทุกมาตรฐาน โดยที่ Class A (เส้นทึบ) ใช้กับอุปกรณ์ที่ใช้ในเชิงการค้า และอุตสาหกรรม และ Class B (เส้นประ) ใช้สำหรับอุปกรณ์สำนักงาน ที่พักอาศัย ซึ่งไม่เกี่ยวข้องกับการค้า และอุตสาหกรรม

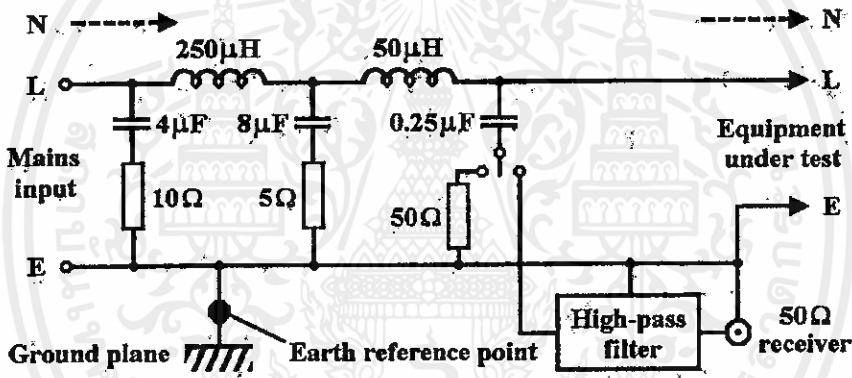
เส้นจำกัดเหล่านี้ได้สมมุติความต้านทานที่ความถี่วิทยุเพื่อเตรียมสำหรับการทดสอบ ซึ่งโดยทั่วไปความต้านทานหลักสามารถปรับค่าได้กว้างแคไหนขึ้นอยู่กับสิ่งที่แควดล้อมที่จะทำการวัด เมื่อทำการวัดแรงดันที่ตกคร่อมความต้านทานและถ้าอุปกรณ์ที่จะทำการทดสอบมีความต้านทานต่ออยู่กับแหล่งจ่าย โดยไม่สามารถทราบได้ว่ามีค่าเท่าไรแต่อาจจะมีค่าค่อนข้างสูง ในการทดสอบให้ทำการวัดค่าหลายๆ ครั้ง จากหลายๆ ห้องทดลองที่มีค่าเท่ากันความต้านทานหลักที่ต่อเข้าไปจะต้องมีความเสถียรภาพ นั่นเป็นที่มาของ Artificial Main Network หรือ AMN ตามมาตรฐาน CISPR หรือ Line Impedance Stabilization Network: LISN ตามมาตรฐานของสหรัฐอเมริกา และรวมไปถึงโครงข่ายชนิดอื่นๆ ด้วย



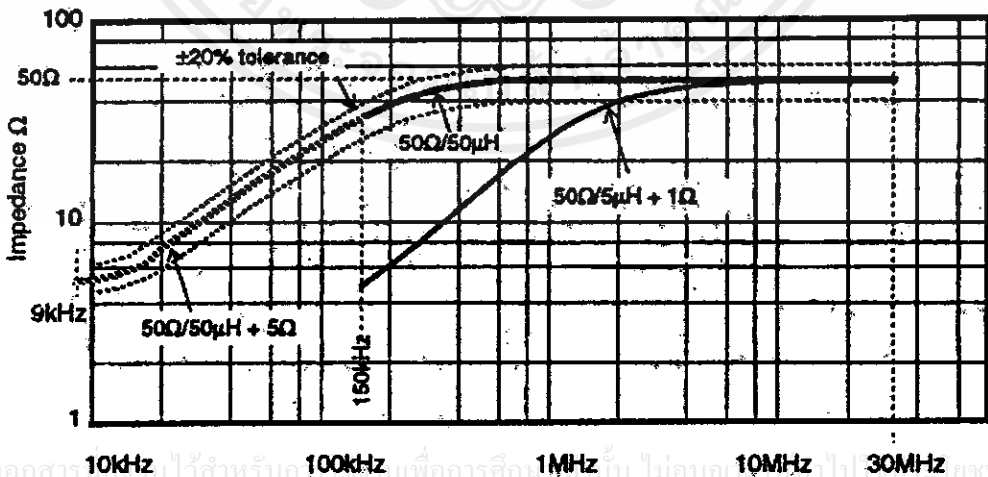
รูปที่ 1 เส้นจำกัดของการรบกวนทางตัวนำตามมาตรฐาน CISPR

ข้อบังคับเกี่ยวกับ AMN/LISN จะอยู่ใน CISPR 16 – 1 ซึ่งจะมีค่าที่แตกต่างกันออกไป แต่ที่นิยมใช้เป็นมาตรฐานในการทดสอบคือ $50\Omega / 50\ \mu\text{H} \pm 5\Omega$ AMN/LISN จากข้อบังคับต้องการหมายถึง ความต้านทานระหว่างสายแต่ละเส้นกับจุดดิน (Earth) จะมีค่าเป็น 50Ω ขนานกับ $50\ \mu\text{H}$ ที่ความถี่ 150 kHz ถึง 30 MHz แต่ถ้าต้องการทดสอบที่ความถี่ต่ำกว่า 150 kHz จะใช้ตัวต้านทาน 5Ω ต่ออนุกรมกับ $50\ \mu\text{H}$ แทน รูปที่ 2 เป็นวงจรพื้นฐานของโครงข่ายดังกล่าว และรูปที่ 3 เป็นการตอบสนองต่อความถี่ตามมาตรฐาน CISPR 16 – 1 โครงข่ายที่ใช้ในแต่ละสายจะต้องมีค่าที่เท่ากันทั้ง 2 สาย ในกรณี 1 เฟส และ 3 หรือ 4 สายในกรณี 3 เฟส วงจรแบบความถี่สูงผ่านอาจจะไม่ต้องมีก็ได้ แต่ในเชิงพาณิชย์จะต่อไว้กับ AMN/LISN เพื่อช่วยลดความถี่ต่ำ (50 Hz และฮาร์โมนิกส์) ที่ไหลผ่านเครื่องมือวัด และป้องกันผลที่เกิดจากกระแสเกิน

AMN/LISN จะต้องนำสัญญาณที่จะวัดทั้งสองสายมาต่อเข้ากับอุปกรณ์รับสัญญาณที่มีความสูญเสียเนื่องจากการใส่แทรก (Insertion loss) ต่ำ และสามารถปรับระดับของสัญญาณที่จะวัดได้เพื่อขยายระดับให้แยกออกจากแหล่งจ่ายไฟ วิธีการเหล่านี้สามารถทำได้โดยใช้ส่วนต่างๆ ในโครงข่าย



รูปที่ 2 วงจร AMN/LISN ตามมาตรฐาน CISPR



รูปที่ 3 การตอบสนองของความต้านทานต่อความถี่ของ AMN/LISN

CISPR 16 – 1 ได้กำหนดโครงข่าย $50\Omega / 50\ \mu\text{H} \pm 5\Omega$ ซึ่งมีค่าความต้านทานต่อความถี่ดังรูปที่ 2.20 สามารถใช้ได้กับกระแสสูงสุด 500 A อย่างไรก็ตามจะไม่สามารถใช้เป็นวงจรอ้างอิงให้กับทุก

มาตรฐานของ CISPR ได้ เพราะค่อนข้างจะเป็นเชิงพาณิชย์จึงใช้ได้ในช่วงที่ไม่กว้างมาก ถึงสำคัญในการใช้ AMN/LISN ก็คือต้องต่อจุดเปรียบเทียบกับแผ่นกราวด์ (Ground plane) ซึ่งพบได้ตามมาตรฐานในการวัดทั่วไปจะเสมือนมีค่าความจุไฟฟ้าประมาณ 12 nF ต่ออยู่ระหว่างแต่ละสายกับกราวด์ ถ้าเป็นเหตุการณ์จริงที่แรงดันไฟฟ้ากระแสสลับ 230 V ความถี่ 50 Hz และมีค่าความจุไฟฟ้านี้ต่ออยู่ด้วย ซึ่งค่าดังกล่าวนี้จะทำให้เกิดกระแสประมาณ 0.9 A ไหลผ่านตัวเก็บประจุลงดิน กระแสนี้จะเป็นอันตรายอย่างมาก หากไม่มีการป้องกันโดยการต่อสายลงดิน ดังนั้นจะต้องมีแหล่งจ่ายและระบบสายดินที่เชื่อถือได้เมื่อต้องการใช้ AMN/LISN การทดลองโดยทั่วไปจึงต้องมีข้อบังคับในเรื่องนี้เพื่อความปลอดภัยแก่ผู้ใช้ อุปกรณ์ที่ใช้จึงต้องมีฉลากเกี่ยวกับวิธีใช้อย่างปลอดภัยจากผู้ประกอบการเพื่อป้องกันกระแสรั่วที่มีค่าสูง และต้องต่อสายดินทุกครั้ง ถ้าไม่ได้ทำการแยกระบบ (Isolate) ของ AMN/LISN ออกจากแหล่งจ่ายไฟและจุดเปรียบเทียบหลัก

ผลกระทบที่สองของกระแสรั่วจากแหล่งจ่ายไฟของ AMN/LISN ไม่สามารถจะป้องกันโดยใช้ Earth leakage หรือ RCB ได้ ดังนั้นถ้าต้องการความปลอดภัยที่แน่นอน ควรใช้หม้อแปลงแยกระบบที่จะวัดออกจากแหล่งจ่ายไฟและวิธีนี้จะไม่มีผลต่อความถี่วิทยุที่ต้องการจะวัดด้วย ถึงแม้ว่าจะถูกจำกัดกระแสโดยแหล่งจ่ายซึ่งอาจเป็นปัญหาในของวงจรแปลงระดับแรงดันไฟฟ้า เช่น แหล่งจ่ายไฟตรงแบบใหม่ซึ่งเป็นที่นิยม อาจทำให้หม้อแปลงอิ่มตัวด้วยกระแสที่สูงมากในทุกครั้งคาบ วิธีนี้จะทำให้รูปคลื่นผิดเพี้ยนไป และทำให้การวัดคลื่นแม่เหล็กไฟฟ้ารบกวนผิดจากความเป็นจริง ทำให้ต้องใช้พิกัด โวลต์แอมแปร์ที่สูงในการทดลอง

2 แผ่นกราวด์

เมื่อต้องการวัดสัญญาณรบกวนทางแม่เหล็กไฟฟ้าทางตัวนำ โดยให้อุปกรณ์ที่ต้องการจะวัด หรือ Equipment Under Test: EUT ตั้งอยู่บนโต๊ะทดลอง จะต้องตั้งให้สูงกว่าแผ่นโลหะที่ใช้ทำเป็นกราวด์อ้างอิง 0.4 เมตร โดยที่แผ่นโลหะจะต้องมีขนาดกว้างและยาวอย่างน้อยด้านละ 2 เมตร และจะต้องตั้งให้ห่างจากแผ่นโลหะอื่นที่ไม่เกี่ยวข้องกับการทดลองอย่างน้อย 0.8 เมตร ถ้าอุปกรณ์ที่ต้องการวัดบรรจุอยู่ในกล่องปิดให้ถือว่าระยะห่างจากแผ่นกราวด์อ้างอิง 0.4 เมตรนี้ วัดถึงวัสดุที่ใช้ทำกล่อง ถ้าอุปกรณ์ที่ต้องการวัดไม่ได้บรรจุอยู่ในกล่องปิดให้ถือว่าระยะห่างจากแผ่นกราวด์อ้างอิง 0.4 เมตรนี้ วัดถึงแนวระดับของแผ่นกราวด์ภายในวงจร

แผ่นกราวด์จะต้องวางอยู่ที่พื้นระดับแนวราบได้โต๊ะที่จะใช้ในการทดลอง และต้องทำการยึดแผ่นกราวด์ให้มั่นคงด้วยวัสดุที่ไม่ได้ทำมาจากโลหะหรืออาจใช้พื้นที่ทำด้วยโลหะแทนแผ่นกราวด์ก็ได้ และแผ่นกราวด์ที่ใช้จะต้องมีขอบที่อยู่เลยจากขอบของอุปกรณ์ที่ต้องการจะวัดไม่น้อยกว่า 0.5 เมตร มีขนาดไม่ต่ำกว่า 2 เมตรคูณ 2 เมตร จุดกราวด์อ้างอิงของ AMN/LISN และ Impedance Stabilization Network (ISN) จะต้องต่อกับแผ่นกราวด์ด้วยตัวนำ โดยให้สายที่ใช้ต่อสั้นที่สุดเท่าที่ทำได้

เอกสารนี้เป็นเอกสารที่สงวนลิขสิทธิ์ไว้เพื่อใช้ประโยชน์ในวงจำกัด ไม่อนุญาตให้นำไปใช้ประโยชน์ด้านการค้า
ไม่ว่ากรณีใดๆทั้งสิ้น อีกทั้งห้ามมิให้คัดแปลงเนื้อหา และต้องอ้างอิงถึงเจ้าของเอกสารทุกครั้งที่มีการนำไปใช้

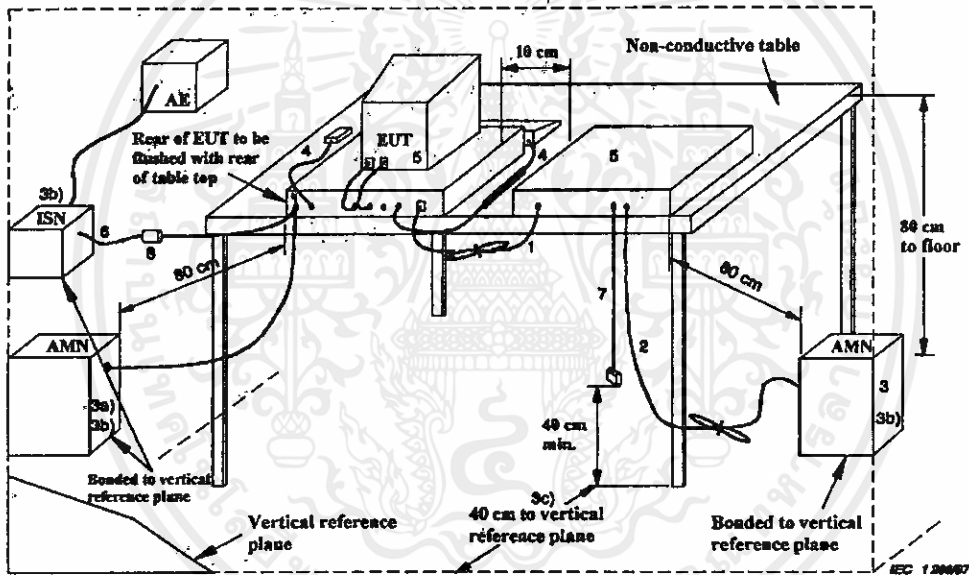
3 เครื่องรับสัญญาณที่ได้จากการวัด

เครื่องรับสัญญาณที่ได้จากการวัดปกติมักจะใช้ Spectrum analyzer เป็นเครื่องรับสัญญาณ ซึ่งเครื่องรับสัญญาณที่ใช้ในการวัดแบบ Quasi - peak จะต้องเป็นไปตามมาตรฐานข้อ 2 ของ CISPR 16-1 เครื่องรับสัญญาณแบบ Average จะต้องเป็นไปตามมาตรฐานข้อ 2 ของ CISPR 16-1 และจะต้องมี Bandwidth 6 dB ตามมาตรฐานข้อ 2 ของ CISPR 16-1 ส่วนเครื่องรับสัญญาณแบบ Peak จะต้องเป็นไปตามมาตรฐานข้อ 3 ของ CISPR 16-1 และจะต้องมี Bandwidth 6 dB ตามมาตรฐานข้อ 2 ของ CISPR 16-1

1

4 การติดตั้งเครื่องมือวัดการรบกวนทางแม่เหล็กไฟฟ้าทางตัวนำแบบวางอุปกรณ์บนโต๊ะ

จากรูปที่ 4 จะเป็นตำแหน่งการติดตั้งอุปกรณ์ที่ใช้ในการวัดการรบกวนทางแม่เหล็กไฟฟ้าทางตัวนำแบบวางอุปกรณ์บนโต๊ะซึ่งมีเงื่อนไขการติดตั้งดังนี้



- AMN: Artificial mains network
- AE: Associated equipment
- EUT: Equipment under test
- ISN: Impedance stabilization network

รูปที่ 4 การติดตั้งอุปกรณ์ที่ใช้ในการวัดการรบกวนทางแม่เหล็กไฟฟ้าทางตัวนำแบบวางอุปกรณ์บนโต๊ะ

1. ถ้าสายตัวนำซึ่งห้อยอยู่ต่ำกว่า 40 เซนติเมตร เหนือแนวระดับของแผ่นกราวด์และไม่สามารถทำให้สั้นได้ จะต้องมัดทาบปลายสายให้มีความยาวระหว่าง 30 ถึง 40 เซนติเมตร
2. สายไฟจากแหล่งจ่ายจะต้องมัดทาบกัน ให้สายสั้นที่สุด

3. อุปกรณ์ที่ต้องการจะวัดต้องต่ออยู่กับ AMN/LISN 1 ตัว โดยที่ AMN/LISN และ ISN ทุกตัวจะต้องต่อเข้ากับแผ่นกราวด์ที่อยู่ในแนวระดับ

- แหล่งจ่ายไฟทุกส่วนของระบบจะต้องต่อมาจาก AMN/LISN ตัวที่ 2 โดยสามารถติดตั้งให้มีหลายแบบใช้ได้หลายอุปกรณ์
- AMN/LISN และ ISN ที่ใช้เป็นที่ใช้เป็นตัวอ้างอิงจะต้องวางห่างจากอุปกรณ์ที่ทำการวัด 80 เซนติเมตร และอย่างน้อย 80 เซนติเมตร จากอุปกรณ์อื่นๆ และแผ่นโลหะอื่นๆ
- สายไฟหลักและสายสัญญาณควรวางให้อยู่ห่างกันมากที่สุดเท่าที่ทำได้และจะต้องอยู่สูงจากแผ่นกราวด์อ้างอิง 40 เซนติเมตร

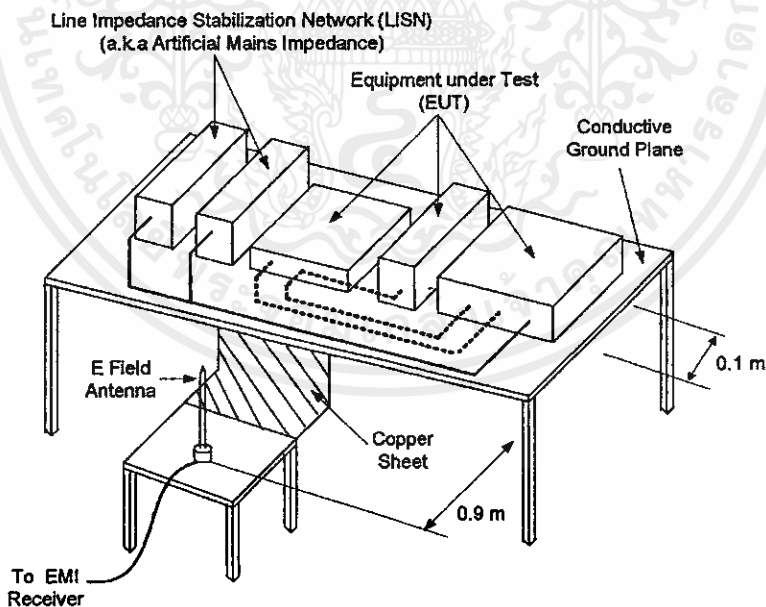
4. สายของเครื่องมือที่ใช้ร่วมในการวัด เช่น สายเคเบิล สายเมาส์ และอื่นๆ ให้วางในเหมือนการใช้งานทั่วไป

5. สิ่งที่อยู่รอบๆ ภายนอกจะต้องอยู่ห่างอย่างน้อย 10 เซนติเมตร จากอุปกรณ์อื่นข้างเคียงและจากตัวควบคุม ยกเว้นจอภาพซึ่งต้องใช้ในการทดสอบ สามารถวางอยู่บนตัวควบคุมได้

6. มีสายสัญญาณเข้าออก สำหรับต่อกับอุปกรณ์ภายนอก

7. ที่ปลายสายสัญญาณเข้าออกที่ไม่ได้ต่อกับอุปกรณ์ช่วยสามารถปล่อยลอยเอาไว้ หรืออาจต่อกับอิมพีแดนซ์ก็ได้ ถ้าจำเป็นต้องใช้ Current probe ควรวางห่างจาก LISN ไม่น้อยกว่า 0.1 เมตร

5 การวัดสัญญาณรบกวนทางแม่เหล็ก ไฟฟ้าที่แพร่กระจายทางอากาศตามมาตรฐาน CISPR



รูปที่ 5 การติดตั้งอุปกรณ์ที่ใช้ในการวัดการรบกวนทางแม่เหล็กไฟฟ้าแพร่กระจายทางอากาศแบบวางอุปกรณ์บนโต๊ะ

จากรูปที่ 5 จะเป็นตำแหน่งการติดตั้งอุปกรณ์ที่ใช้ในการวัดการรบกวนทางแม่เหล็กไฟฟ้าแพร่กระจายทางอากาศ แบบวางอุปกรณ์บนโต๊ะ ซึ่งมีเงื่อนไขการติดตั้งดังนี้

1. ต้องมีระยะห่างในการวัด 10 เมตร (หรือ 3 เมตร หรือ 30 เมตร ในบางกรณี แต่ต้องแก้ไขแฟคเตอร์ $\frac{1}{D}$)
2. สถานที่ทดสอบต้องเป็นที่โล่งและจัดห้องให้ไม่มีการสะท้อนของสัญญาณ
3. จัดวางสายเคเบิล อินพุท เอาท์พุท ควรจัดวางให้เหมาะสมกับชนิด
4. สำหรับกรณีหาสนามแม่เหล็กสูงสุด
 - ให้สายอากาศหันไปทางแม่เหล็กทั้งแนวตั้งและแนวนอน
 - ปรับความสูงของสายอากาศจาก 1 ถึง 4 เมตร เพื่อหาจุดสูงสุดของผลการสะท้อนกลับของกราวนด์ (Ground)
 - หมุน EUT 360° เพื่อหาจุดที่มีการแผ่รังสีที่แย่มากที่สุดของแบบอุปกรณ์ (หรือทำให้สายอากาศเคลื่อนที่รอบๆ EUT)
5. ตัวรับสัญญาณต้องให้สอดคล้องกับข้อประกาศข้อ 16 ของ CISPR มี Band width (6 dB) ที่ 9 kHz สำหรับใช้งานที่ความถี่ $0.15 < f < 30$ MHz หรือ 120 kHz ที่ความถี่ $30 < f < 1,000$ MHz
6. ใช้ตัวตรวจจับสัญญาณแบบควอซี-พีค (Quasi-peak detector) ตัวตรวจจับสัญญาณแบบควอซี-พีค ควรกำหนดค่า Band width ไว้ต้องมีความสามารถในการแยกแยะสัญญาณระหว่างสัญญาณ Broadband (BB) และสัญญาณ Narrowband (NB) ข้อบังคับในการออกแบบการป้องกันสัญญาณรบกวนทั้ง 2 ชนิด กรณีใช้เกี่ยวกับบ้านพักอาศัย เกี่ยวกับโรงงานและเกี่ยวกับการค้า ควรใช้มาตรฐานพลเรือนของ CISPR

เอกสารนี้เป็นเอกสารที่สงวนไว้สำหรับการใช้งานเพื่อการศึกษาเท่านั้น "ไม่อนุญาตให้นำไปใช้ประโยชน์ด้านการค้า ไม่ว่ากรณีใดๆทั้งสิ้น" อีกทั้งห้ามมิให้คัดแปลงเนื้อหา และต้องอ้างอิงถึงเจ้าของเอกสารทุกครั้งที่มีการนำไปใช้



ภาคผนวก ข

วงจรถูกคณเวรเตอร์

(ข้อมูลการออกแบบและการทำงานของวงจรถูกคณเวรเตอร์ในบทที่ 4 เท่านั้น)

เอกสารนี้เป็นเอกสารที่สงวนไว้สำหรับการใช้งานเพื่อการศึกษาเท่านั้น "ไม่อนุญาตให้นำไปใช้ประโยชน์ด้านการค้า
ไม่ว่ากรณีใดๆทั้งสิ้น อีกทั้งห้ามมิให้คัดแปลงเนื้อหา และต้องอ้างอิงถึงเจ้าของเอกสารทุกครั้งที่มีการนำไปใช้"

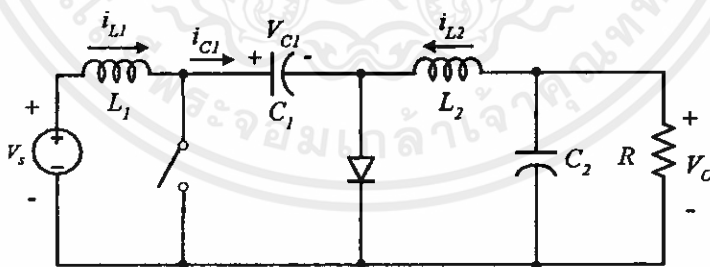
เงื่อนไขที่ใช้ในการออกแบบวงจรชุกคอนเวอร์เตอร์

ตารางที่ 1 พิกัดของวงจรชุกคอนเวอร์เตอร์ (Cúk converter)

ปริมาณทางไฟฟ้า	ขนาด/พิกัด	หน่วยวัด
แรงดันด้านเข้า (V_I)	12.5	โวลต์ (V)
แรงดันด้านออก (V_O)	-25	โวลต์ (V)
กระแสไฟฟ้าด้านออก (I_O)	0.5	แอมแปร์ (A)
กำลังไฟฟ้าด้านออก (P_O)	100	วัตต์ (W)
ความถี่สวิตชิง (f)	50	กิโลเฮิร์ตซ์ (kHz)

เงื่อนไขที่ใช้ในการออกแบบ

ตารางที่ 1 จะเป็นพิกัดของวงจรชุกคอนเวอร์เตอร์ที่ใช้เป็นแหล่งกำเนิดสัญญาณรบกวน โดย วงจรชุกคอนเวอร์เตอร์มีหลักการทำงาน คือ เป็นวงจรที่เพิ่มหรือลดระดับแรงดันไฟฟ้าด้านออก โดยที่แรงดันไฟฟ้าด้านออกจะมีทิศทางตรงกันข้ามกับแรงดันไฟฟ้าด้านเข้า และวงจรชุกคอนเวอร์เตอร์ได้ถูกออกแบบ เพื่อแก้ปัญหากระแสรบกวนอนิกส์สูง โดยจะมีตัวเหนี่ยวนำ L_1 ทำหน้าที่กรองกระแสไฟฟ้าในด้านเข้า และมีวงจรกรองความถี่ต่ำผ่านชนิด LC ทางด้านออก ส่วนการเชื่อมต่อระหว่างด้านเข้ากับด้านด้านออกของวงจรชุกคอนเวอร์เตอร์จะใช้ตัวเก็บประจุ C_1 ดังวงจรในรูปที่ 1



รูปที่ 1 วงจรชุกคอนเวอร์เตอร์

เงื่อนไขการทำงานของวงจรชุกคอนเวอร์เตอร์

ในการวิเคราะห์การทำงานของวงจรชุกคอนเวอร์เตอร์ จะกำหนดให้วงจรทำงานในสถานะอยู่ตัว และกำหนดเงื่อนไขการทำงานของวงจรชุกคอนเวอร์เตอร์ ดังนี้

1. ตัวเหนี่ยวนำมีขนาดใหญ่เป็นผลทำให้ กระแสไฟฟ้าที่ไหลผ่านตัวเหนี่ยวนำมีค่าคงที่

2. ตัวเก็บประจุมีขนาดใหญ่เป็นผลทำให้ แรงดัน ไฟฟ้าที่ตกคร่อมตัวเก็บประจุมีค่าคงที่
3. กระแสและแรงดัน ไฟฟ้า ณ เวลาซ้ำกันในแต่ละคาบเวลาจะมีค่าเท่ากัน
4. กำลังไฟฟ้าด้านเข้าจะเท่ากับกำลังไฟฟ้าด้านออก กรณีนี้จะ ไม่คำนึงถึงการสูญเสียที่เกิดจากการทำงานของวงจร เนื่องจากอุปกรณ์ทุกตัวเป็นอุดมคติทำให้ประสิทธิภาพรวมของวงจร เป็นหนึ่งร้อยเปอร์เซ็นต์
5. ช่วงเวลานำกระแสคือ DT และช่วงเวลาหยุดนำกระแสคือ $(1-D)T$

หลักการการทำงานของวงจรชุกคอนเวอร์เตอร์

หลักการการทำงานของวงจรชุกคอนเวอร์เตอร์ ขึ้นตอนที่หนึ่งก็คือ การหาค่าแรงดันไฟฟ้าเฉลี่ยตกคร่อมตัวเก็บประจุ C_1 โดยเริ่มพิจารณาจากสมการแรงดันวงนอกสุดในรูปที่ 1 โดยแรงดันไฟฟ้าเฉลี่ยตกคร่อมตัวเหนี่ยวนำในแต่ละคาบจะเท่ากับศูนย์ และแรงดันไฟฟ้าเฉลี่ยตกคร่อมตัวเก็บประจุ C_1 สามารถคำนวณได้จากสมการที่ (1) ซึ่งได้ผลลัพธ์ดังสมการที่ (2)

$$-V_s + V_{L1} + V_{C1} + V_{L2} + V_o = 0 \quad (1)$$

$$-V_s + V_{C1} + V_o = 0$$

$$V_{C1} = V_s - V_o \quad (2)$$

หลักการการทำงานของวงจรชุกคอนเวอร์เตอร์ขึ้นตอนที่สอง เริ่มเมื่อสวิตช์นำกระแส ใด โอดจะไม่นำกระแส ซึ่งสามารถหาสมการของกระแสไฟฟ้าที่ไหลผ่านตัวเก็บประจุ C_1 ได้ดังสมการที่ (3)

$$i_{C1, on} = -I_{L2} \quad (3)$$

หลักการการทำงานของวงจรชุกคอนเวอร์เตอร์ขึ้นตอนที่สาม เริ่มพิจารณาเมื่อสวิตช์ไม่นำกระแส กระแสที่ไหลผ่านตัวเหนี่ยวนำทั้งสองตัวจะไหลในทิศทางที่ทำให้ไดโอดนำกระแส ดังนั้นกระแสไฟฟ้าในตัวเก็บประจุ C_1 จะเป็น

$$i_{C1, off} = I_{L1} \quad (4)$$

หลักการการทำงานของวงจรชุกคอนเวอร์เตอร์ขึ้นตอนที่สี่ คิดเงื่อนไขการทำงานข้อที่ 4 คือ กำลังไฟฟ้าด้านเข้าเท่ากับกำลังไฟฟ้าด้านออก กรณีนี้จะ ไม่คำนึงถึงการสูญเสียจากการทำงานของวงจร เนื่องจากอุปกรณ์ทุกตัวเป็นอุดมคติ ทำให้สมมติได้ว่าประสิทธิภาพของวงจรเป็นร้อยเปอร์เซ็นต์

$$V_s I_{L1} = V_o (-I_{L2}) \quad (5)$$

หลักการการทำงานของวงจรชุกคอนเวอร์เตอร์ขั้นตอนที่ห้า มาจากเงื่อนไขการทำงานข้อที่ 3 คือ กระแสและแรงดันไฟฟ้าหากเทียบที่จุดใดๆ ในแต่ละคาบจะมีค่าเท่ากัน เพราะเป็นสภาวะอยู่ตัว กระแสเฉลี่ยในตัวเก็บประจุจะมีค่าเท่ากับศูนย์ โดยได้มาจากสมการที่ (3) ซึ่งคิดขณะที่สวิตช์ นำกระแส และสมการที่ (4) คิดขณะที่สวิตช์ไม่นำกระแส

$$i_{C1,on}(DT) + i_{C1,off}(1-D)T = 0 \quad (6)$$

$$(-I_{L2})(DT) + (I_{L1})(1-D)T = 0 \quad (7)$$

$$\frac{I_{L1}}{I_{L2}} = \frac{D}{1-D} \quad (8)$$

หลักการการทำงานของวงจรชุกคอนเวอร์เตอร์ขั้นตอนที่หก มาจากเงื่อนไขการทำงานในข้อที่ 4 คือ กำลังไฟฟ้าด้านเข้าเท่ากับกำลังไฟฟ้าด้านออก

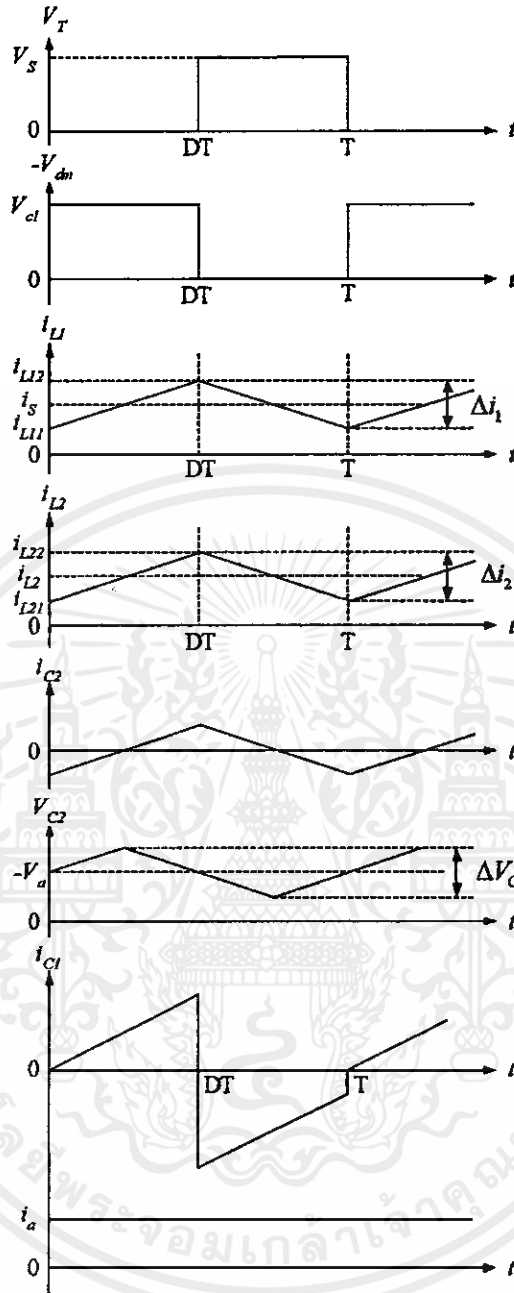
$$P_s = P_o \quad (9)$$

$$V_s I_{L1} = V_o (-I_{L2}) \quad (10)$$

$$\frac{I_{L1}}{I_{L2}} = -\frac{V_o}{V_s} \quad (11)$$

จากความสัมพันธ์ในสมการที่ (8) และ (9) จะได้อัตราการขยายแรงดันในสมการที่ (12)

$$\frac{V_o}{V_s} = -\frac{D}{1-D} \quad (12)$$



รูปที่ 2 รูปคลื่นแรงดันและกระแสไฟฟ้าของวงจรชุกคอนเวอร์เตอร์ที่จุดต่างๆ

ค่าระลอกคลื่นแรงดันไฟฟ้าด้านออก

เนื่องจากในส่วนของวงจรด้านออกของวงจรชุกคอนเวอร์เตอร์ จะมีวงจรกรองความถี่ต่ำผ่านแบบ LC และมีกระแสไฟฟ้าที่ไหลผ่านตัวเหนี่ยวนำ ดังนั้นการคำนวณหาค่าอัตราระลอกคลื่นของแรงดันไฟฟ้าด้านออก คือ

เอกสาร
ไม่ว่ากรณีใดๆทั้งสิ้น อีกทั้งห้ามมิให้คัดลอก
การใช้งานเพื่อการศึกษาเท่านั้น ไม่อนุญาตให้นำไปใช้ประโยชน์ด้านการค้า

$$\frac{\Delta V_o}{V_o} = \frac{1-D}{8L_2C_2f^2} \quad (13)$$

เมื่อคำนวณแรงดันระลอกคลื่นใน C_1 เมื่อสวิทช์ไม่นำกระแส กระแสไฟฟ้าที่ไหลผ่านตัวเหนี่ยวนำ L_1 กับกระแสไฟฟ้าที่ไหลผ่านตัวเก็บประจุ C_1 จะเท่ากัน และจากเงื่อนไขการทำงานในข้อที่สองคือตัวเหนี่ยวนำมีขนาดใหญ่ กระแสไฟฟ้าที่ไหลผ่านตัวเหนี่ยวนำจะมีค่าคงที่ ดังนั้นสมการที่ (14) จึงสามารถเขียนใหม่ได้ดังสมการที่ (4.15)

$$\Delta v_{C1} = \frac{1}{C_1} \int_{DT}^T I_{L1} dt \quad (14)$$

$$\Delta v_{C1} = \frac{1}{C_1} i_{L1} (1-D)T \quad (15)$$

จากสมการที่ (13) และ (16)

$$\frac{I_{L1}}{I_{L2}} = \frac{-V_o}{V_s} = \frac{D}{1-D} \quad (16)$$

จัดรูปใหม่เพื่อหา I_{L1} และ V_o ได้เป็น

$$I_{L1} = \frac{-V_o I_{L2}}{V_s}$$

$$V_o = -V_s \left(\frac{D}{1-D} \right)$$

จะได้สมการที่ (16) เป็น

$$\Delta v_{C1} = -\frac{1}{C_1} \left(\frac{V_o I_{L2}}{V_s} \right) \frac{(1-D)}{f} \quad (17)$$

และเมื่อกระแสไหลมีขนาดเท่ากับกระแส I_{L2} แต่มีทิศทางตรงข้ามกัน

$$I_{L2} = -\frac{V_o}{R}$$

$$\Delta v_{C1} = \frac{1}{C_1} \left(\frac{1}{V_s} \right) \left(-\frac{V_o}{R} \right) (V_s) \left(-\frac{D}{1-D} \right) \frac{(1-D)}{f} \quad (18)$$

$$\Delta v_{C1} = \frac{1}{C_1 R} \left(\frac{1}{V_s} \right) (V_s) \left(\frac{D}{1-D} \right) (V_s) \left(\frac{D}{1-D} \right) \frac{(1-D)}{f}$$

สรุปคือ

$$\text{เอกสารนี้เป็นเอกสารที่สงวนไว้สำหรับ} \Delta v_{C1} \approx \frac{V_s}{RC_1 f} \left(\frac{D^2}{1-D} \right) \text{เท่านั้น ไม่อนุญาตให้นำไปใช้ประโยชน์ (19) การค้า}$$

ไม่ว่ากรณีใดๆทั้งสิ้น อีกทั้งห้ามมิให้คัดแปลงเนื้อหา และต้องอ้างอิงถึงเจ้าของเอกสารทุกครั้งที่มีการนำไปใช้ หรือกล่าวได้ว่าแรงดันระลอกคลื่นใน C_1 คือ

$$\Delta v_{C1} \approx \frac{V_o D}{RC_1 f} \quad (20)$$

ทำนองเดียวกันเมื่อทำการคำนวณกระแสระลอกคลื่นใน L , เมื่อสวิตช์นำกระแส จะหาได้จากสมการแรงดันไฟฟ้าที่ตกคร่อมตัวเหนี่ยวนำ L_1 ซึ่งสามารถเขียนได้ดังสมการที่ (21) และ (22)

$$v_{L1} = V_s = L_1 \frac{di_{L1}}{dt} \quad (21)$$

$$\frac{\Delta i_{L1}}{DT} = \frac{V_s}{L_1}$$

$$\Delta i_{L1} = \frac{V_s}{L_1} DT = \frac{V_s D}{L_1 f} \quad (22)$$

ทำนองเดียวกันเมื่อทำการคำนวณกระแสระลอกคลื่นใน L_1 เมื่อสวิตช์นำกระแส จะหาได้จากสมการแรงดันไฟฟ้าที่ตกคร่อมตัวเหนี่ยวนำ L_2 สามารถเขียนสมการได้ดังสมการที่ (23) และ (24)

$$v_{L2} = V_o + (V_s - V_o) = L_2 \frac{di_{L2}}{dt} \quad (25)$$

$$\Delta i_{L2} = \frac{V_s}{L_2} DT = \frac{V_s D}{L_2 f} \quad (26)$$

การทำงานในโหมดกระแสไฟฟ้าที่ไหลผ่านตัวเหนี่ยวนำแบบต่อเนื่อง เงื่อนไขที่ทำให้ตัวเหนี่ยวนำที่ออกแบบได้เล็กที่สุดและทำงานโหมดกระแสต่อเนื่องได้ จะทำให้ได้ตัวเหนี่ยวนำ L_1 และ L_2 ที่เล็กที่สุดดังนี้

$$L_{1, \min} = \frac{(1-D)^2 R}{2Df} \quad (27)$$

$$L_{2, \min} = \frac{(1-D)R}{2f} \quad (28)$$

จากเงื่อนไขการออกแบบวงจรซุกคอนเวอร์เตอร์ ในวิทยานิพนธ์นี้ได้เลือกให้วงจรซุกคอนเวอร์เตอร์ มีทำงานในโหมดกระแสไฟฟ้าที่ไหลผ่านตัวเหนี่ยวนำแบบต่อเนื่อง และมีค่าแรงดันระลอกคลื่น ไม่เกิน 5 % ของพิกัดแรงดันไฟฟ้าด้านออก

เอกสารนี้เป็นเอกสารที่สงวนไว้สำหรับการใช้งานเพื่อการศึกษาเท่านั้น ไม่อนุญาตให้นำไปใช้ประโยชน์ด้านการค้า ไม่ว่ากรณีใดๆทั้งสิ้น อีกทั้งห้ามมิให้คัดแปลงเนื้อหา และต้องอ้างอิงถึงเจ้าของเอกสารทุกครั้งที่มีการนำไปใช้



เอกสารนี้เป็นเอกสารที่สงวนไว้สำหรับการใช้งานเพื่อการศึกษาเท่านั้น ไม่อนุญาตให้นำไปใช้ประโยชน์ด้านการค้า
ไม่ว่ากรณีใดๆทั้งสิ้น อีกทั้งห้ามมิให้คัดแปลงเนื้อหา และต้องอ้างอิงถึงเจ้าของเอกสารทุกครั้งที่มีการนำไปใช้

ข้อมูลแกนเหล็กรูปวงรี

ข้อมูลจาก Ferrite Cores For Power Supply EMI prevention /EMC & Pulse Transformer, KAWATETSU FERRITE (THAILAND) CO.,LTD

FERRITE MATERIALS FOR EMI PREVENTION/EMC and PULSE TRANSFORMER

高透磁率材標準材質特性
High μ Material Characteristics



標準材質特性

Material Characteristics

材質名 Material		MA055	MA070	MA085	MA100	MAT10	MA120	MA150
初透磁率 Initial permeability	μ_i	5500 \pm 20%	7000 \pm 25%	8500 \pm 25%	10000 \pm 25%	10000min. (-20~90°C)	12000 \pm 30%	15000 \pm 30%
実効飽和磁束密度 (1200A/m) Saturation flux density at 1200A/m	Bms (mT)	434	440	422	415	400	410	400
実効飽和残留磁束密度 Remanence	Brms (mT)	67	93	66	76	100	80	85
実効飽和保磁力 Coercivity	Hcms (A/m)	5.2	3.4	3.3	3.0	1.2	3.0	2.0
損失係数の相対温度係数 (10kHz) Relative loss factor at 10kHz	$\tan\delta\mu \times 10^{-6}$	0.75	1.4	1.3	1.9	8.0	6.4	8.8
初透磁率の相対温度係数 Relative temperature factor	$\alpha\mu_r \times 10^{-6}$	-0.5~2.0	-0.5~2.0	-0.5~2.0	-0.5~2.0	-1.0~1.0	-0.5~2.0	-0.5~2.0
キュリー温度 Curie temperature	Tc (°C)	140min.	130min.	130min.	115min.	100min.	115min.	115min.
抵抗率 Resistivity	ρ (Ω -m)	0.8min.	0.3min.	0.2min.	0.1min.	0.01min.	0.02min.	0.02min.
密度 Density	d (kg/m ³)	4.9 \times 10 ³	4.95 \times 10 ³	4.95 \times 10 ³	5.0 \times 10 ³	5.0 \times 10 ³	5.0 \times 10 ³	5.0 \times 10 ³

1A/m=4 \times 10⁻³De, 1mT=10Gauss

MA055~MA100は材質評価用標準コア (R31/19.8Aリングコア)、MAT10~MA150は材質評価用標準コア (R20/10.5Aリングコア)における特性を示しています。

คุณสมบัติของเนื้อสาร

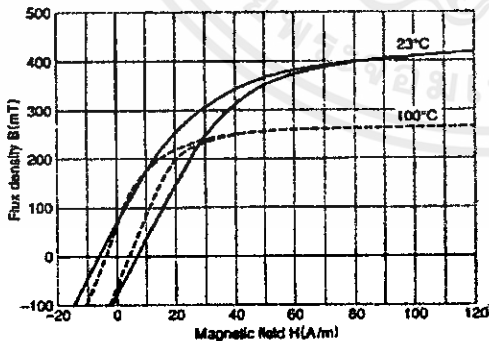
FERRITE MATERIALS FOR EMI PREVENTION/EMC and PULSE TRANSFORMER

高透磁率材標準材質特性
High μ Material Characteristics



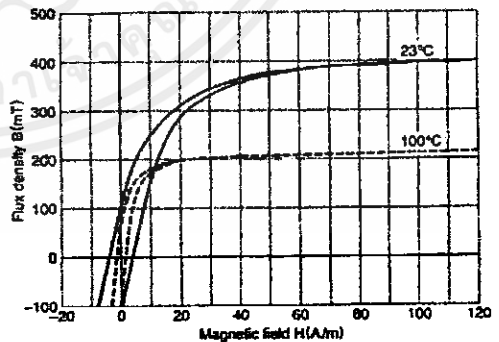
MA055 直線ヒステリシス特性

MA055 Static magnetization curves (Typical)



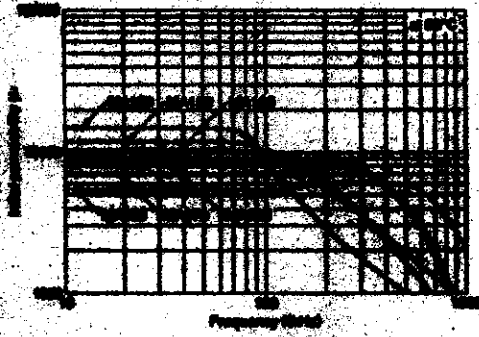
MA100 直線ヒステリシス特性

MA100 Static magnetization curves (Typical)

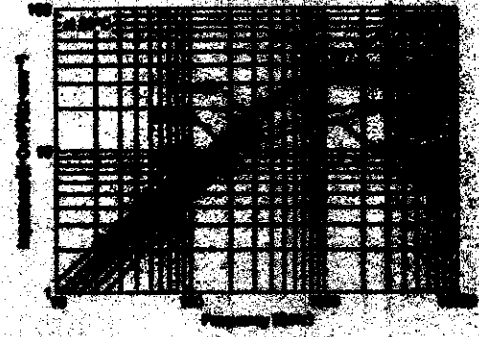


เอกสารนี้เป็นเอกสารที่สงวนไว้สำหรับการใช้งานเพื่อการศึกษาเท่านั้น ไม่อนุญาตให้นำไปใช้ประโยชน์ด้านการค้า ไม่ว่ากรณีใดๆทั้งสิ้น อีกทั้งห้ามมิให้คัดแปลงเนื้อหา และต้องอ้างอิงถึงเจ้าของเอกสารทุกครั้งที่มีการนำไปใช้

インピーダンス特性
Impedance vs. Frequency (Typical)



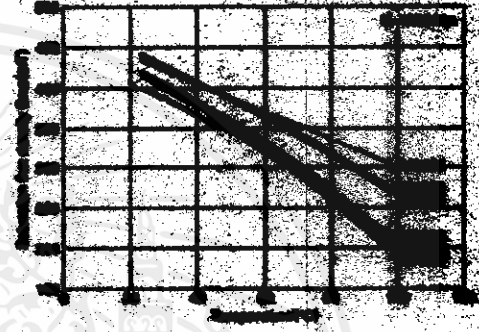
インピーダンス特性
Impedance vs. Frequency (Typical)



インピーダンス特性
Impedance vs. Temperature (Typical)



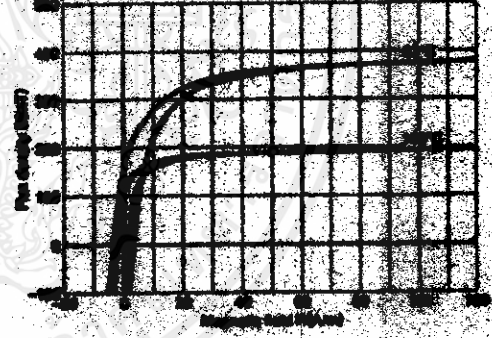
インピーダンス特性
Impedance vs. Temperature (Typical)



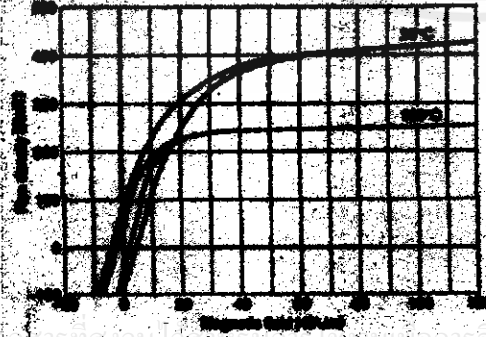
飽和特性とステリクス特性
Saturation and Steric Curves (Typical)



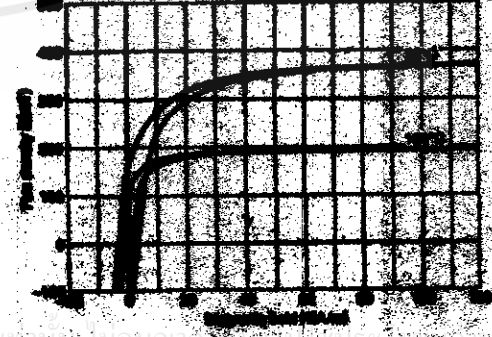
飽和特性とステリクス特性
Saturation and Steric Curves (Typical)



飽和特性とステリクス特性
Saturation and Steric Curves (Typical)



飽和特性とステリクス特性
Saturation and Steric Curves (Typical)



ตารางแกนเหล็กชนิดเฟอร์ไรต์

FERRITE CORES FOR EMI PREVENTION/EMC and PULSE TRANSFORMER



R (リング) コア
R (Toroidal) Cores

品名 Type	AL value (mH/turn) @ 20%						Core parameters				Weight (g)
	MA055	MA070	MA085	MA100	MA120	MA150	CN(mm ²)	Leg(mm)	Across(mm)	Volume(μl)	
R-2515/12H	8430	10700	13000	13300			0.62	61.7	73.4	4420	23.1
R-2818/1410C	4210	5260	6500	7250			1.64	72.2	44.0	3170	16.1
R-2818/1410D	4630	5890	7150	8420			1.49	72.2	48.4	3490	17.7
R-2818/1412A	5060	6430	7800	9180			1.37	72.2	62.8	3810	19.4
R-30.518/13A	6720	8550	10400				1.03	74.9	72.8	5480	28.3
R-31/145K	4370	5580	6780	7800			1.58	63.8	40.3	2970	14.7
R-31/19.5J	2820	3430	4190	4900			2.57	75.5	23.4	2220	11.5
R-31/19.9L	3330	4110	4900	5870			2.14	75.5	35.5	2880	13.9
R-31/19.7H	3770	4800	5830	6900			1.83	75.5	41.2	3110	16.2
R-31/19.9A	4310	5480	6680	7800			1.60	75.5	47.1	3650	18.6
R-31/19/13C	7000	8910	10800				0.987	73.5	76.5	5770	30.0
R-31/19/15D	8080	10300	12500				0.866	73.5	86.2	6260	34.6
R-31/20/10H	4820	6140	7400				1.43	77.6	54.1	4200	21.6
R-31/20/15E	7200	9200	11200				0.955	77.6	81.2	6300	32.4
R-38/23.7B	3450	4380	5330				2.03	88.6	44.7	4010	20.7
R-38/28/15A	7390	9410	11400				0.925	89.6	89.9	8000	44.3
R-37/28/6C	3430	4370	5300				2.01	88.6	44.6	3900	20.4
H-37/28/13D	7430	9480	11500				0.930	88.6	93.3	8450	44.3
R-37/22/15A	8580	10900	13300				0.808	88.6	110	8780	51.1
R-38/19/13A	8810	10900	13000				0.897	82.7	113	8820	54.2
R-38.1/18/12.7A	9750	12430	15000				0.711	82.8	117	9650	63.5
R-39/20/6A	4410	5810	6810				1.57	88.1	54.9	4730	25.9
H-38/20/7B	6140	8540	7950				1.34	88.1	64.1	5570	30.2
H-44.5/30/13A	5840	7180	8710				1.23	114	93.0	10900	54.0
H-47/22/15A	9150	11400	14100				0.736	112	146	16710	85.4
H-48/30/15A	7760	9870					0.897	118	133	15700	81.0
R-50/25/13A	7820	9700					0.906	109	120	13130	72.2
R-50/25/15B	11400	14800					0.864	109	180	19220	108
R-50/25/19D	14800	19400					0.477	109	228	24830	137
R-51/31/15A	7120	9080					0.971	124	127	13700	82.0
R-50/30/20A	9720	12400					0.711	140	187	27500	142
R-60/30/20C	11200	14300					0.615	144	235	33800	177
R-60/40/16A	8030	10200					0.651	153	176	22100	139
R-60/40/25B	11200	14200					0.620	153	247	37700	192
R-63/30/25A	13900	17700					0.497	152	306	40000	243
R-69/44/15.5H	5460	6930					1.07	170	150	27200	140
R-69/44/15A	7180	9140					0.962	170	177	30200	155
R-70/51/16A	7200						0.802	196	217	42400	218
R-70/51/22B	9090						0.697	196	298	53300	283
R-70/51/25C	11200						0.578	196	338	66200	346
R-80/75/20A	7870						0.787	210	268	55800	285
R-80/75/24A	6130						1.05	206	251	46700	232
R-88.5/63/20A	8800						0.702	245	349	66700	441
R-102/61/21A	8720						0.582	245	421	100000	540
R-102/61/23B	11700						0.531	245	461	110000	592
R-117/80/23A	6720						0.718	302	420	127000	648
H-128/100/30C	6780						0.925	365	362	142000	704

เอกสารนี้เป็นเอกสารที่สงวนไว้สำหรับการใช้งานเพื่อการศึกษาเท่านั้น ไม่อนุญาตให้拿去ไปใช้ประโยชน์ด้านการค้า
 ไม่ว่ากรณีใดๆทั้งสิ้น อีกทั้งห้ามมิให้คัดลอกเนื้อหา และต้องอ้างอิงถึงเจ้าของเอกสารทุกครั้งที่มีการนำไปใช้

ข้อมูลแกนเหล็กชนิดผงโลหะ

จาก MICROMETALS, iron powder cores

คุณสมบัติของเนื้อสาร

GENERAL MATERIAL PROPERTIES

INTRODUCTION

Material Mix No.	Reference Permeability (μ)	Material Density (g/cm ³)	Relative Cost	Color Code
-2	10	5.0	2.7	Red/Clear
-8	35	6.5	5.0	Yellow/Red
-14	14	5.2	3.6	Black/Red
-18	55	6.6	3.4	Green/Red
-26	75	7.0	1.0	Yellow/White
-30*	22	6.0	1.4	Green/Gray
-34*	33	6.2	1.5	Gray/Blue
-35*	33	6.3	1.4	Yellow/Gray
-38	85	7.1	1.1	Gray/Black
-40	60	6.9	1.0	Green/Yellow
-45	100	7.2	2.6	Black/Black
-52	75	7.0	1.2	Green/Blue

* The -30 Material was developed as a lower cost, lower loss alternate to the -26 Material. Similarly, the -34 & -35 Materials were developed to replace the -33 Material. The -28 & -33 Materials are not listed in this catalog but are still available.

CORE LOSS COMPARISON (mW/cm³)

PERMEABILITY WITH DC BIAS

Material Mix No.	Core Loss Comparison (mW/cm ³)						Permeability with DC Bias	
	60 Hz @5000G	1kHz @1500G	10kHz @500G	50kHz @225G	100kHz @140G	500kHz @50G	HDC = 50 Oersted's % μ	% μ effective
-2	19**	32**	32**	28	19	12	100	10.0
-8	45	64	59	50	35	28	91	31.9
-14	19**	32**	32**	29	21	17	100	14.0
-18	48	72	70	63	46	37	74	40.7
-26	32	60	75	89	83	139	51	38.3
-30	37	80	120	149	129	129	91	20.0
-34	29	61	87	100	82	78	84	27.7
-35	33	73	109	137	119	123	84	27.7
-38	31	57	72	99	103	217	51	43.4
-40	29	62	93	130	127	223	62	37.2
-45	26	49	60	69	61	92	46	46.0
-52	30	56	68	72	58	63	59	44.3

** Low frequency core loss is extrapolated from data measured at high frequency

คุณสมบัติของแกนแม่เหล็กในงานใช้งานต่างๆ

MATERIAL APPLICATIONS.

Typical Application	-2	-8	-14	-18	-26	-30	-34	-35	-38	-40	-45	-52
Light Dimmer Chokes					X				X	X	X	
60 Hz Differential-mode EMI Line Chokes					X				X	X	X	X
DC Chokes: <50kHz or low E _t /N (Buck/Boost)					X	X	X	X	X	X	X	
DC Chokes: ≥50kHz or higher E _t /N (Buck/Boost)		X	X	X		X	X	X				X
Power Factor Correction Chokes: <50kHz					X	X	X	X			X	
Power Factor Correction Chokes: ≥50kHz		X	X	X	X		X	X	X			
Resonant Inductors: ≥50kHz		X		X								

MATERIAL DESCRIPTION

-2/-14 Materials The low permeability of these materials will result in lower operating AC flux density than with other materials with no additional gap-loss. The -14 Material is similar to -2 Material with slightly higher permeability.

-8 Material This material has low core loss and good linearity under high bias conditions. A good high frequency material. The highest cost material.

-18 Material This material has low core loss similar to the -8 Material with higher permeability and a lower cost. Good DC saturation characteristics.

-26 Material The most popular material. It is a cost-effective general purpose material that is useful in a wide variety of power conversion and line filter applications.

-30 Material The good linearity, low cost, and relatively low permeability of this material make it popular in large-sizes for high power UPS chokes.

-34/-35 Materials An inexpensive alternate to the -8 material for applications where high frequency core loss is not critical. Good linearity with high bias.

-38 Material A higher permeability alternate to -26 Material. A low cost material best used at line frequency.

-40 Material The least expensive material. It has characteristics quite similar to the very popular -26 Material. Popular in large sizes.

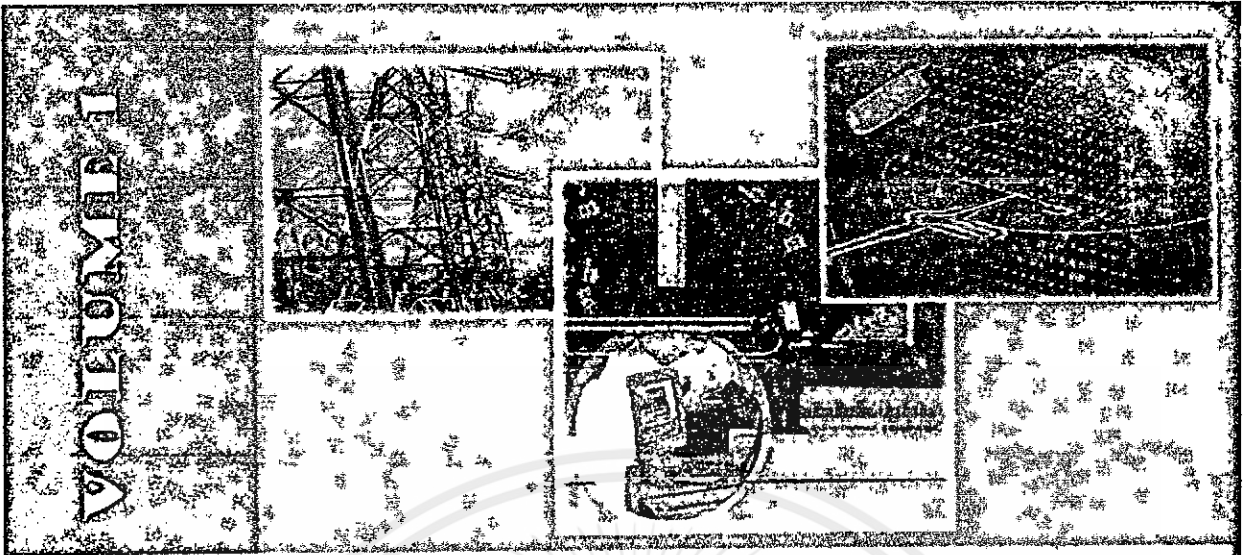
-45 Material The highest permeability material. A high permeability alternate to -52 Material with slightly higher core losses.

-52 Material This material has lower core loss at high frequency and the same permeability as the -26 Material. It is very popular for high frequency choke designs.

ภาคผนวก ง

ผลงานวิจัยที่ได้รับการตีพิมพ์เผยแพร่

- 1 K. Kiatgamjorn, V. Tarateeraseth and W. Khan-ngern, " The Comparison of the Input Impedance Measurement of SMPS between the Resonance Method and the Insertion Loss Method", Electrical Engineering/ Electronics, computer, Telecommunications and Information Technology (ECTI) International Conference, May 9-12, 2007.
- 2 คทาวิช เกียรติกำจร, ปฎิวัติ บุญมา, และ วีระเชษฐ์ ชันเงิน , "การวิเคราะห์เทคนิคการออกแบบสำหรับวงจรกรองความถี่ในโหมดผลร่วมและโหมดผลต่าง", การประชุมวิชาการทางวิศวกรรมไฟฟ้า (EECON 30), 25-26 ตุลาคม 2550
- 3 K. Kiatgamjorn, P. Boonma and W. Khan-ngern, "The Study of Input Impedance of Switched Mode Power Supply", Electrical Engineering/ Electronics, computer, Telecommunications and Information Technology (ECTI) International Conference, May 14-17, 2008.



VOLUME 1

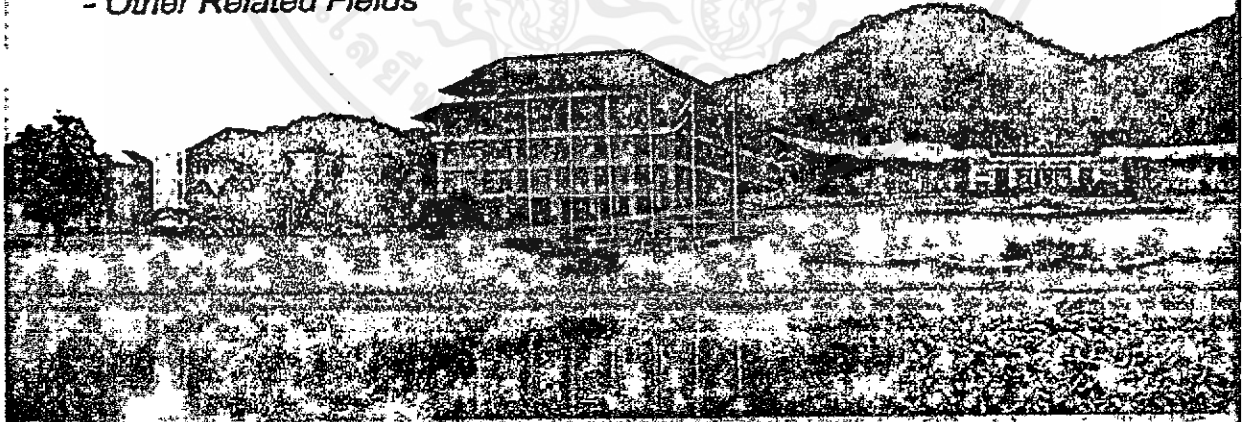
ECTI-CON 2007

คุณวิวัฒน์
คุณกัญจเรศ

Mae Fah Luang University, Chiang Rai, Thailand
May 9-12, 2007

VOLUME 1

- Circuits and Systems
- Control Engineering
- Electrical Power Engineering
- Other Related Fields



The Comparison of the Input Impedance Measurement of SMPS between the Resonance Method and the Insertion Loss Method

K. Kiatgamjorn¹, V. Tarateeraseth², W. Khan-ngern¹

¹King Mongkut's Institute of Technology Ladkrabang (KMUTL),
Research Center for Communications and Information Technology (ReCCIT),
Faculty of Engineering, Bangkok, Thailand, E-mail: kkveerac@kmitl.ac.th

²Srinakharinwirot University, Faculty of Engineering, Ongkharak, Thailand, E-mail: vuttipon@swu.ac.th

Abstract- This paper addresses the comparison of the input impedance measurement between the resonance method and the insertion loss method. The result of the input impedance from the measurement can be used to effectively design the EMI filter or to analyze the stability problem of the system when EMI filter is connected.

I. INTRODUCTION

The input impedance of the switched mode power supplies (SMPS) is essential in its power line electromagnetic interference (EMI) filter design, and when ignored, the system may not meet EMI regulation. To meet EMI regulation, the EMI filters are one of the most popular applied by industries to suppress EMI problems. According to, the EMI filter performance depends not only on itself. But the selections of the appropriate EMI filter components are also importance to designs EMI filter. The input impedance characteristic (Z_{in}) of the SMPS is a key parameter to design the EMI filter effectively. However, it should be noted that the transfer function of the system is effected when the EMI filter is inserted into the system. Therefore, the stability issue may be occurred.

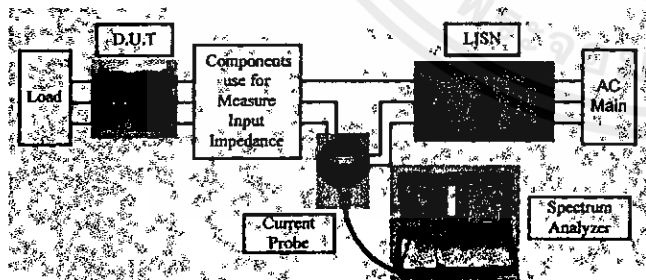


Figure 1. The input impedance measurement setup of SMPS.

There are many paper is presented the method to measure the input impedance of SMPS [1], [2] and [3]. This paper is focused on the measurement of the input impedance of the SMPS and comparison between the resonance method and the

insertion loss (IL) method. Two methods to measure the input impedance use the same equipments: the spectrum analyzer and the current probe. The input impedance of SMPS measurement setup is shown in Fig. 1.

Schneider [1] proposed the resonance method to measure the input impedance. This method assumes the SMPS is a Norton circuit with reactive source impedance and employs the quality factor (Q) to solve the input impedance.

Shih [2] proposed the insertion loss method to address the input impedance of SMPS and verified the experimental results by mathematical expression.

II. THE INPUT IMPEDANCE OF SMPS

The three wires system (line, neutral and ground) can be separated as common mode and differential mode. The impedance between the shorted line-neutral terminals and the ground terminal, is defined as a common mode input impedance. While the differential mode input impedance is the impedance between line terminal and neutral terminal. The common mode input impedance and the differential mode input impedance diagrams of SMPS are showed in Fig. 2 (a) and (b), respectively.

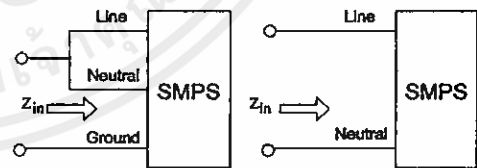


Figure 2. Definition of input impedance
(a) common mode (b) differential mode.

A. The Input Impedance Measurement Using the Insertion Loss Method

The input impedance characteristic (Z_{in}) of SMPS can be fined out by insertion loss method. The insertion loss is defined as a ratio of voltages across R_{LJSN} before and after the filter element is inserted. The definition of insertion loss is expressed in equation (1).

$$IL = 20 \log \left(\frac{V_{LISN} \text{ without filter}}{V_{LISN} \text{ with filter}} \right) \quad (1)$$

Figs. 3 - 4 show the conducted emission model and deriving $|Z_{in}|$ by the insertion loss method, respectively.

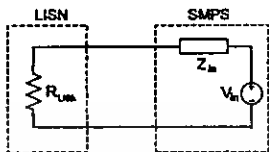


Figure 3. The conducted emission model.

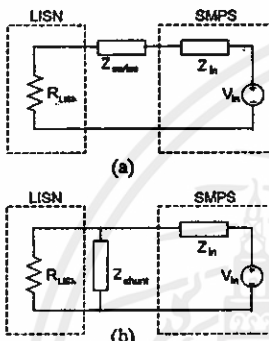


Figure 4. $|Z_{in}|$ by the insertion loss method.

(a) Z_{series} is inserted for common mode input impedance measurement.

(b) Z_{shunt} is inserted for differential mode input impedance measurement.

By the insertion loss method can be separated for two cases. In the first case, the Z_{series} is added with the condition that $|Z_{in}| \gg R_{LISN}$ and $|Z_{series}| \gg |Z_{in}|$. This assumption only uses for measuring common mode input impedance.

$$IL = \frac{\frac{R_{LISN}}{R_{LISN} + Z_{in}} \times V_{in}}{\frac{R_{load}}{R_{LISN} + Z_{in} + Z_{series}} \times V_{in}}$$

$$= 1 + \frac{Z_{series}}{R_{LISN} + Z_{in}}$$

$$\approx 1 + \frac{Z_{series}}{Z_{in}}$$

Since $|IL|$ is normally much greater than 1, then

$$|Z_{in}| \approx \frac{|Z_{series}|}{|IL|} \quad (2)$$

In the case 2, $|Z_{in}| \ll R_{LISN}$ assuming by added a shunt component with $|Z_{shunt}| \ll |Z_{in}|$, the insertion loss can be simplified as follows:

$$IL = \frac{\frac{R_{LISN}}{R_{LISN} + Z_{in}} \times V_{in}}{\frac{R_{LISN} // Z_{shunt}}{R_{LISN} // Z_{shunt} + Z_{in}} \times V_{in}}$$

$$= 1 + \frac{R_{LISN} // Z_{in}}{Z_{shunt}}$$

$$\approx 1 + \frac{Z_{in}}{Z_{shunt}}$$

Similar to the first case $|Z_{in}|$ can be approximated by

$$|Z_{in}| \approx |Z_{shunt}| \times |IL| \quad (3)$$

B. The Input Impedance Measurement Using the Resonance Method

Common mode emission is caused by parasitic capacitance to chassis. The charging and discharging of insulator capacitance are the culprit for common mode electromagnetic interference (EMI). Differential mode emission is generated by diode reverse-recovery phenomena. The resonance of conducted EMI can be determined the input impedance of SMPS by assuming that the SMPS is a Norton circuit with reactive impedance as shown in Fig. 5. First, the Norton current source can be obtained by shorts circuit at the load side. Second, the resistive and capacitive impedance of SMPS can be achieved by resonating the load side with added inductor, and the Q of source may be found at the single frequency. The Q of the circuit is defined as

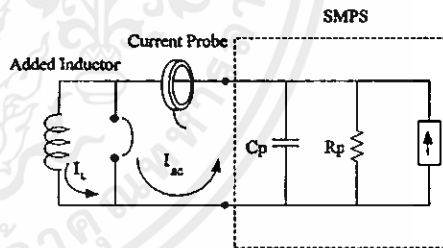


Figure 5. The schematic of resonance method.

$$Q = \frac{I_1}{I_{sc}} \quad (4)$$

Where I_1 is the current when adding the inductor at the load side.

I_{sc} is the short circuit current.

The input resistance of SMPS as shown in equation (5)

$$R = Q\omega L \quad (5)$$

Then, the input capacitance as shown in equation (6)

$$C = \frac{Q}{\omega R} \tag{6}$$

III. TEST SETUP AND EXPERIMENTAL RESULTS

The device under test (DUT) 250 W power supply, input: 200–240 VAC, 3.5 A, output 15 VDC, 3.4 A.

Fig. 6 (a) shows the test setup for common mode input impedance measurement of SMPS by the insertion loss method while Fig. 6 (b) shows the test setup for differential mode input impedance of SMPS by the insertion loss method, respectively [1].

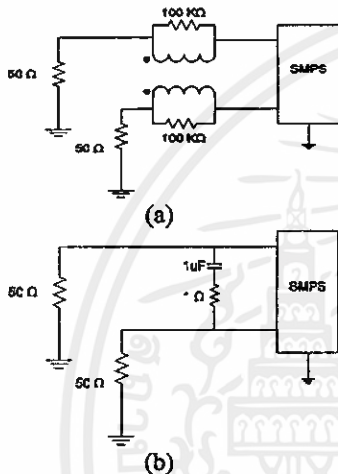


Figure 6. The test setup of the insertion loss method. (a) The common mode input impedance measurement. (b) The differential mode input impedance measurement.

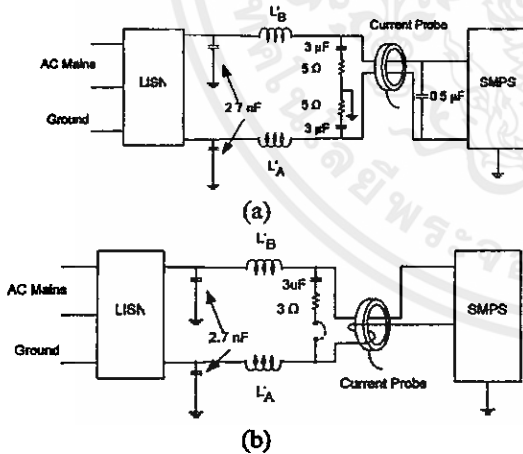


Figure 7. The setup of the resonance method. (a) Common mode input impedance measurement. (b) Differential mode input impedance measurement.

To measure the common mode input impedance of SMPS by the insertion loss method two the common mode choke “Z_{series}” is added two 50 Ω resistors are shown as a equivalent

resistor (R_{LISN}) of Line Impedance Stabilization Network (LISN) are paralleled (25 Ω). The common mode input impedance of SMPS are derived by equation (2).

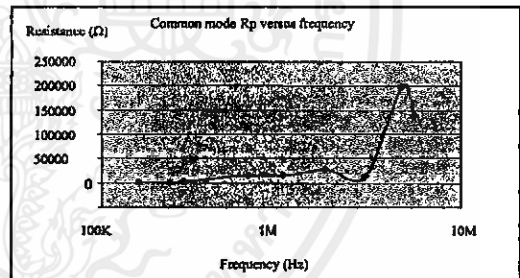
Similarly, the case of the differential mode input impedance of SMPS adds the parallel “Z_{shunt}” to SMPS. The Z_{shunt} is the series combination of a 1 Ω resistor and 1 μF capacitor.

Fig. 7. shows the setup of the resonance method. Fig. 7 (a) shows the common mode setup and Fig. 7 (b) shows the differential mode setup.

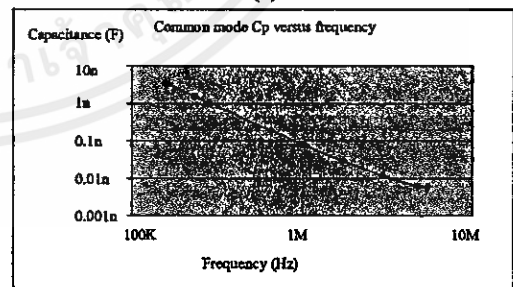
The experimental results of C_p and R_p for common mode and differential mode are shown in Figs. 8-9. In Fig. 8 is the derivation of resonance method for common mode input impedance of SMPS (C_p and R_p), by equations (4)-(6). The average of R_{pCM} is 46 kΩ, C_{pCM} is 0.71 nF.

Fig 9 is the derivation of resonance method for differential mode input impedance of SMPS (diode “on”) and the average of R_{pDM} and C_{pDM} are 320 kΩ and 0.1 nF, respectively.

The R_p and C_p of the differential mode input impedance is the high source impedance, that is the characteristics of diode reverse-recovery-generated EMI and the low source impedance component is more correctly modeled as a series RL circuit. Its values ranged from 0.5 to 1 μH and 0.5 Ω [4]. Fig. 11 shows the correct differential mode input impedance model.

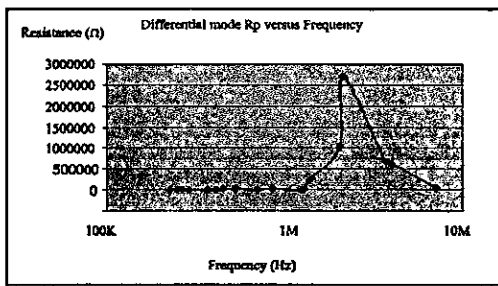


(a)

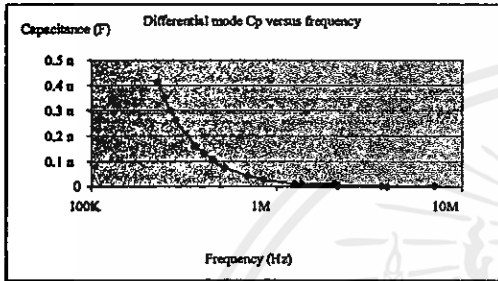


(b)

Figure 8. Common mode input impedance of SMPS by resonance method. (a) The common mode parallel resistor (R_{pCM}) of SMPS. (b) The common mode parallel capacitor (C_{pCM}) of SMPS.



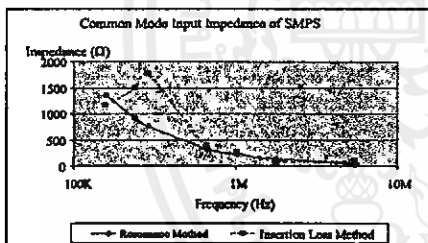
(a)



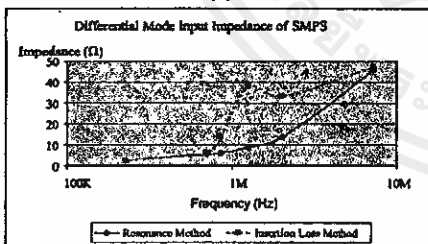
(b)

Figure 9. Differential mode input impedance of SMPS by resonance method.

- (a) The differential mode parallel resistor (R_{pDM}) of SMPS
- (b) The differential mode parallel capacitor (C_{pDM}) of SMPS.



(a)



(b)

Figure 10. The comparison of the input impedance of SMPS.

- (a) The common mode comparison.
- (b) The differential mode comparison.

The input-impedance using the resonance method (R_{pCM} , C_{pCM} , R_{pDM} and C_{pDM}) is plotted as a bold line shown in Fig. 10. For the insertion loss method, the attenuation for each frequency (150 kHz-30 MHz) is measured, then calculating the Z_{in} of the SMPS as a dash line shown in Fig. 10 (a). The

differential mode input impedance comparison between the resonance method and the insertion loss method is shown in Fig. 10 (b). The differential mode input impedance of SMPS has the low value both the resonance method and the insertion loss method. The input impedance values are in the same results about 300 kHz-900 kHz and different after 1 MHz. The common mode input impedance of SMPS has the low value both the resonance method and the insertion loss method. The input impedance values are different before 900 kHz and in the same results about 900 kHz-10 MHz.

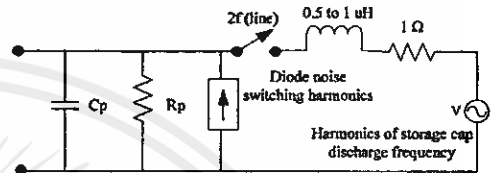


Figure 8. The correct differential mode input impedance model

IV. CONCLUSION

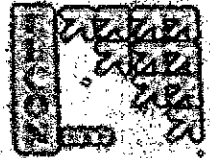
The insertion loss method and the resonance method are verified to be the simple and effective choice to measure the characteristic of the input impedance of SMPS. The phase of the input impedance can be found by Hilbert transform [5]. For the insertion loss method may be found the input impedance as the voltage source series with input impedance while the resonance method may be found the input impedance as the current source paralleled with the input impedance.

The experimental results are in the same trend in some frequency range of input impedance values, both common mode and differential mode. The insertion loss method, the input impedance values are calculated by attenuation of the EMI of SMPS, which can use these data to calculate the input impedance of SMPS at all frequency range (150 kHz – 30 MHz).

In the other hand, for the resonance method, the input impedance (R_p and C_p) is calculated and averaged the values from 150 kHz-30 MHz. The high source impedance (diode “off”) can calculate by equations (4) - (6) However, the low source impedance (diode “on”) as the series RL circuit must be selected from 0.5 to 1 μ H and roughly 0.5 Ω that makes the error of the differential mode input impedance of SMPS.

REFERENCES

- [1] Dan Y. Chen, “Measurement of Noise Source Impedance of Off-Line Converters,” *IEEE Trans. Power Electron.*, vol. 15, Sep 2000, pp 820-825.
- [2] L.M. Schneider, “Noise source equivalent circuit model for off-line converters and its use in input filter design,” in *Proc. IEEE EMC’83 Symposium*, 1983, pp. 167-175.
- [3] K.Y. See, J Deng, “Measurement of noise source impedance of SMPS using a two probes approach,” *IEEE Trans. Power Electron.*, vol. 19, Issue 3, May 2004, pp 862-868.
- [4] M. Nave, *Power Line Filter Design for Switched Mode Power Supplies*. New York: Van Nostrand, 1991, pp. 102-110.
- [5] F.M. Tesche, “On the use of the Hilbert transform for processing measure CW data,” *IEEE Trans. Electromag. Compat.*, vol. 34, Aug 1992, pp 259-266.



The EECON-30 Conference Series of Electrical Engineering Lectures

Continuation of The Ministry of Energy Education Activities

30th Electrical Engineering Conference

การประชุมวิชาการทางวิศวกรรมไฟฟ้า ครั้งที่ 30

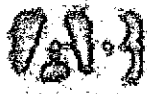
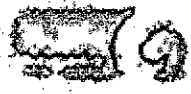
งานวิชาการทางวิศวกรรมไฟฟ้าภาคเหนือตอนบน

- เชียงใหม่ 1998
- เชียงใหม่ 1999
- เชียงใหม่ 2000
- เชียงใหม่ 2001
- เชียงใหม่ 2002
- เชียงใหม่ 2003
- เชียงใหม่ 2004
- เชียงใหม่ 2005
- เชียงใหม่ 2006
- เชียงใหม่ 2007
- เชียงใหม่ 2008
- เชียงใหม่ 2009
- เชียงใหม่ 2010
- เชียงใหม่ 2011
- เชียงใหม่ 2012
- เชียงใหม่ 2013
- เชียงใหม่ 2014
- เชียงใหม่ 2015
- เชียงใหม่ 2016
- เชียงใหม่ 2017
- เชียงใหม่ 2018
- เชียงใหม่ 2019
- เชียงใหม่ 2020
- เชียงใหม่ 2021
- เชียงใหม่ 2022
- เชียงใหม่ 2023
- เชียงใหม่ 2024
- เชียงใหม่ 2025
- เชียงใหม่ 2026
- เชียงใหม่ 2027
- เชียงใหม่ 2028
- เชียงใหม่ 2029
- เชียงใหม่ 2030

โดย

ภาควิชาวิศวกรรมไฟฟ้า ภาควิชาวิศวกรรมเครื่องกล ภาควิชาวิศวกรรมโยธา
 ภาควิชาวิศวกรรมอุตสาหการ ภาควิชาวิศวกรรมคอมพิวเตอร์ ภาควิชาวิศวกรรมพลังงาน
 ภาควิชาวิศวกรรมเครื่องกล ภาควิชาวิศวกรรมโยธา ภาควิชาวิศวกรรมเครื่องกล ภาควิชาวิศวกรรมโยธา

ณ โรงแรมเชียงใหม่ รามคำแหง เชียงใหม่, เชียงใหม่
 15 - 30 ตุลาคม 2550



ภาควิชาวิศวกรรมเครื่องกล
KMUTT
EECON - 30



การวิเคราะห์เทคนิคการออกแบบสำหรับวงจรกรองความถี่ในโหมดผลร่วมและโหมดผลต่าง

The Analysis of Integrated Inductor Technique for Common Mode and Differential Mode of EMI Filter Design

ศหาวุธ เกียรติกำจร, ปฏิวัติ บุญมา, และ วีระเชษฐ์ จันทร์เงิน

ภาควิชาวิศวกรรมไฟฟ้า คณะวิศวกรรมศาสตร์ สถาบันเทคโนโลยีพระเจ้าอยู่หัวฯ ภูเก็ตวิทยาเขตภูเก็ต

3 หมู่ 2 ถนนฉลองกรุง เขตสาคกรระบั้ง กรุงเทพมหานคร 10520

โทร 02-7373000 ต่อ 3322 E-mail: s8060209@kmitl.ac.th

บทคัดย่อ

บทความนี้เสนอเกี่ยวกับ การวิเคราะห์เทคนิคการรวมตัวเหนี่ยวนำไฟฟ้าโหมดผลร่วมและโหมดผลต่างเข้าด้วยกัน เพื่อใช้ในการออกแบบวงจรกรองสัญญาณรบกวนแม่เหล็กไฟฟ้า โดยใช้ปริมาตรเท่ากับขนาดของตัวเหนี่ยวนำโหมดผลร่วมเพียงตัวเดียวนั้น สำหรับวงจรกรองสัญญาณรบกวนแม่เหล็กไฟฟ้าจะมีรูปแบบการพันตัวเหนี่ยวนำไฟฟ้าโหมดผลร่วม และโหมดผลต่างมี 3 รูปแบบ ได้แก่ การพันตัวเหนี่ยวนำไฟฟ้าโหมดผลร่วมและโหมดผลต่างแบบทั่วไป ในที่นี้เรียกว่าการพันแบบ CM แบบที่สอง คือ การพันตัวเหนี่ยวนำไฟฟ้าโหมดผลร่วมและโหมดผลต่างแบบ integrated common mode choke: ICM ในที่นี้เรียกว่าการพันแบบ ICM และแบบที่สาม คือ การพันตัวเหนี่ยวนำไฟฟ้าโหมดผลร่วมและโหมดผลต่างแบบ proposed integrated common mode choke: PICM ในที่นี้เรียกว่าการพันแบบ PICM โดยจะทำการวิเคราะห์ตัวเหนี่ยวนำไฟฟ้าโหมดผลร่วมและโหมดผลต่าง และนำมาประยุกต์ใช้กับวงจรสัญญาณรบกวนแม่เหล็กไฟฟ้า รวมทั้งอธิบายการเกิดและวิเคราะห์สัญญาณรบกวนแม่เหล็กไฟฟ้าทางสายตัวนำ โดยแยกเป็นโหมดผลร่วมและโหมดผลต่าง และตัวเหนี่ยวนำแบบใหม่ที่เสนอสามารถนำไปใช้ในระบบกรองสัญญาณรบกวนแม่เหล็กไฟฟ้า โดยมีผลการจำลองและผลการทดลองยืนยันความสอดคล้องกัน

คำสำคัญ: วงจรกรองสัญญาณรบกวนแม่เหล็กไฟฟ้า

Abstract

This paper presents the analysis technique to integrate the common-mode inductor with the differential-mode inductor. The volume of proposed integrated inductor is designed to achieve the equaled volume of that common mode inductor. There are three types of EMI filter based on winding patterns. Winding technique are the conventional common-mode choke (CM), integrated common-mode choke (ICM) and proposed integrated common-mode choke (PICM).

The electromagnetic interference of those differential-mode inductor and common-mode inductor are analyzed. The proposed integrated inductor can be applied to the new EMI filter. The result can be proved by simulation and experiment.

Keywords: EMI filter, CM, ICM, PICM

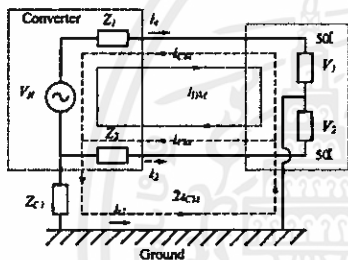
1. บทนำ

ในปัจจุบัน ภาระหน้าที่ในการลดทอนสัญญาณรบกวนหรือสิ่งที่ไม่พึงประสงค์ต่างๆจะเป็นหน้าที่ของวงจรกรองสัญญาณรบกวนแม่เหล็กไฟฟ้า (electromagnetic interference filter) ดังนั้นในการออกแบบวงจรกรองสัญญาณรบกวนแม่เหล็กไฟฟ้าจึงมีความสำคัญมาก เพราะในการออกแบบวงจรกรองสัญญาณรบกวนแม่เหล็กไฟฟ้า ให้มีสามารถในการลดทอนสัญญาณรบกวนได้จริงนั้น จะมีความความยุ่งยากในขั้นตอนการออกแบบ เพราะสัญญาณรบกวนแม่เหล็กไฟฟ้าทางสายตัวนำที่เกิดขึ้นจากแหล่งจ่ายไฟสวิตซ์ (switching mode power supply) หรืออุปกรณ์อิเล็กทรอนิกส์ต่างๆ นั้นจะมีรูปแบบสัญญาณรบกวนที่แตกต่างกัน ซึ่งโดยทั่วไปแล้ววงจรกรองสัญญาณรบกวนแม่เหล็กไฟฟ้าจะประกอบด้วยอุปกรณ์แบบพาสซีฟ คือ ตัวเก็บประจุ C_x และ C_y ตัวเหนี่ยวนำโหมดผลร่วม (common mode choke: L_{CM}) และตัวเหนี่ยวนำโหมดผลต่าง (differential mode choke: L_{DM}) [1] และโครงสร้างของตัวเหนี่ยวนำโหมดผลร่วม L_{CM} และตัวเหนี่ยวนำโหมดผลต่าง L_{DM} ที่ใช้จะเป็นแบบแกนเหล็ก โดยที่ตัวเหนี่ยวนำโหมดผลร่วมเป็นแกนเหล็กชนิดเฟอร์ไรต์ (ferrite core) และตัวเหนี่ยวนำโหมดผลต่างจะเป็นแกนเหล็กชนิดผงโลหะ (powder core) จึงเป็นผลทำให้ขนาดของวงจรกรองสัญญาณรบกวนแม่เหล็กไฟฟ้ามีขนาดใหญ่ และจากปัญหาของพื้นที่ที่มีจำกัดของผลิตภัณฑ์ ที่ต้องทำให้วงจรกรองสัญญาณรบกวนแม่เหล็กไฟฟ้ามีขนาดเล็ก จึงมีความคิดที่ใช้พื้นที่

ของวงจรกรองสัญญาณรบกวนให้มีพื้นที่น้อยที่สุด และไม่มีผลต่อการทำงานของระบบอื่น และที่สำคัญสามารถลดทอนสัญญาณรบกวนได้ แต่ตัววงจรกรองสัญญาณรบกวนแม่เหล็กไฟฟ้ามีขนาดใหญ่อาจทำให้ต้นทุนในการผลิตสูงขึ้น

1.1 รูปแบบการรบกวนแม่เหล็กไฟฟ้าทางสายตัวนำ

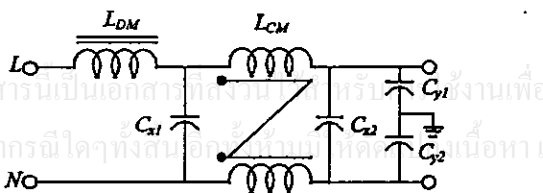
การเกิดสัญญาณรบกวนแม่เหล็กไฟฟ้าในสายตัวนำ ที่เกิดจากการทำงานของวงจรอิเล็กทรอนิกส์กำลังหรือแหล่งจ่ายกำลังไฟฟ้าแบบสวิทชิง ของอุปกรณ์สารกึ่งตัวนำที่มีการสวิทชิงที่ความถี่สูง ทำให้มีการเปลี่ยนแปลงแรงดันต่อเวลา (dv/dt) ซึ่งเกิดในช่วงเริ่มหยุดนำกระแส และผลของการเปลี่ยนแปลงกระแสต่อเวลา (di/dt) ซึ่งเกิดในช่วงเริ่มนำกระแส จะส่งผลให้เกิดสัญญาณรบกวนแม่เหล็กไฟฟ้าในสายตัวนำ โดยการเกิดสัญญาณรบกวนทางแม่เหล็กไฟฟ้าทางตัวนำนั้น สามารถแบ่งออกเป็น 2 ชนิดด้วยกันคือ การเกิดสัญญาณรบกวนแม่เหล็กไฟฟ้าโหมดผลรวม (common mode: CM) และการเกิดสัญญาณรบกวนแม่เหล็กไฟฟ้าโหมดผลต่าง (differential mode: DM) [2-3]



รูปที่ 1 เส้นทางของสัญญาณรบกวนแม่เหล็กไฟฟ้าทางสายตัวนำ

2. วงจรกรองสัญญาณรบกวนแม่เหล็กไฟฟ้า

วงจรกรองสัญญาณรบกวนแม่เหล็กไฟฟ้า (EMI filter) คือ วงจรกรองที่ใช้สำหรับลดทอนสัญญาณรบกวนแม่เหล็กไฟฟ้าทางสายตัวนำ ที่เกิดจากการทำงานของวงจรอิเล็กทรอนิกส์กำลังหรืออุปกรณ์กำลังไฟฟ้า ในย่านความถี่ตั้งแต่ 150 kHz ถึง 30 MHz และวงจรกรองสัญญาณรบกวนแม่เหล็กไฟฟ้าจะมีลักษณะการทำงานดังในรูปที่ 2 สำหรับโครงสร้างของวงจรกรองสัญญาณรบกวนแม่เหล็กไฟฟ้า โดยทั่วไปจะมีโครงสร้าง คือวงจรกรองความถี่ต่ำผ่าน (low-pass filter) ซึ่งประกอบด้วยอุปกรณ์แบบพาสซีฟ (passive components) ดังแสดงในรูปที่ 2 ซึ่งเห็นได้ว่า วงจรสมมูลของวงจรกรองสัญญาณรบกวนแม่เหล็กไฟฟ้าสำหรับโหมดผลรวมและโหมดผลต่างจะไม่เหมือนกัน ที่เป็นเช่นนี้ก็เพราะทิศทางกระแสของกระแสสัญญาณรบกวนของทั้งสองโหมดไม่เหมือนกัน [4-5]



รูปที่ 2 วงจรสมมูลของวงจรกรองสัญญาณรบกวนแม่เหล็กไฟฟ้า

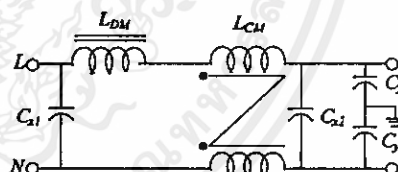
2.1 การลดทอนสัญญาณรบกวน

การลดทอนสัญญาณรบกวนแม่เหล็กไฟฟ้า สำหรับวงจรกรองสัญญาณรบกวนแม่เหล็กไฟฟ้า จะหาได้จากสัญญาณของแรงดันและกระแสไฟฟ้าที่ลดลง ขณะเมื่อใส่วงจรกรองสัญญาณรบกวนเปรียบเทียบกับขณะที่ไม่ใส่วงจรกรองสัญญาณรบกวนแม่เหล็กไฟฟ้า และในการหาค่าอัตราการกรองสัญญาณรบกวนของวงจรกรองสัญญาณรบกวนแม่เหล็กไฟฟ้า (insertion loss: IL_{dB}) [6]

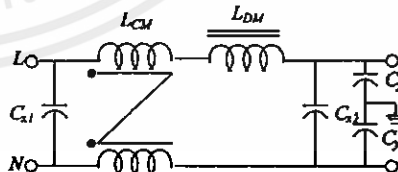
$$IL_{(dB)} = 20 \log \left(\frac{V_{LDM} \text{ without filter}}{V_{LDM} \text{ with filter}} \right) \quad (1)$$

2.2 การออกแบบวงจรกรองสัญญาณรบกวนแม่เหล็กไฟฟ้า

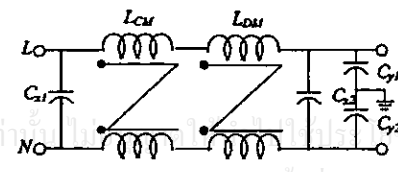
วงจรกรองสัญญาณรบกวนแม่เหล็กไฟฟ้าส่วนมากใช้สำหรับขจัดสิ่งที่ไม่พึงปรารถนา และสัญญาณรบกวนต่างๆ ที่ไม่ต้องการ และลดทอนสัญญาณรบกวนแม่เหล็กไฟฟ้าในทางสายตัวนำที่เกิดจากอุปกรณ์อิเล็กทรอนิกส์กำลังของแหล่งจ่ายกำลังไฟฟ้าแบบสวิทชิง โดยทั่วไปวงจรกรองสัญญาณรบกวนแม่เหล็กไฟฟ้ามีโครงสร้าง คือ วงจรกรองความถี่ต่ำผ่าน (low-pass filter) ซึ่งประกอบด้วยอุปกรณ์พาสซีฟ (passive components) บทความฉบับนี้จะเป็นการนำเสนอรูปแบบการพันตัวเหนี่ยวนำโหมดผลรวมและโหมดผลต่างทั้งหมด 3 แบบการพัน ของวงจรกรองสัญญาณรบกวนแม่เหล็กไฟฟ้า ในรูปที่ 3 แสดงการพันแบบ CM และการพันแบบ ICM ดังในรูปที่ 4 และในรูปที่ 5 แสดงการพันแบบ PICM ในส่วนแหล่งกำเนิดสัญญาณรบกวน คือ วงจรซุกคอนเวอร์เตอร์ (Cuk converter) ที่มีพิกัดกำลังไฟฟ้า 100 วัตต์ แรงดันด้านอินพุต 24 โวลต์ ความถี่สวิทชิง 50 กิโลเฮิร์ตซ์ และแรงดันด้านออก 48 โวลต์



รูปที่ 3 การพันตัวเหนี่ยวนำโหมดผลรวมและโหมดผลต่างแบบทั่วไป



รูปที่ 4 การพันตัวเหนี่ยวนำโหมดผลรวมและโหมดผลต่างแบบ ICM

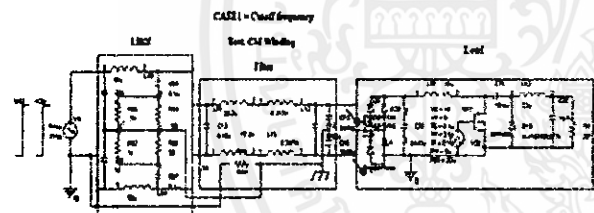


รูปที่ 5 การพันตัวเหนี่ยวนำโหมดผลรวมและโหมดผลต่างแบบ PICM

3. ผลการจำลองและทดสอบวงจรกรองสัญญาณรบกวนแม่เหล็กไฟฟ้า

ในการทดสอบวงจรกรองสัญญาณรบกวนแม่เหล็กไฟฟ้าที่มีรูปแบบการพันตัวเหนี่ยวนำโหมคผลร่วมและโหมคผลต่างที่แตกต่างกัน ซึ่งในงานวิจัยนี้ได้นำเสนอรูปแบบการพันทั้ง 3 แบบ และในการทดสอบ จะทำการวัดสัญญาณรบกวนที่เกิดจากวงจรชุดคอนเวอร์เตอร์ โดยวัดผลสัญญาณรบกวนโหมคผลร่วม โหมคผลต่าง และโหมคผลรวม ในรูปแบบของสัญญาณรบกวนเพื่อนำไปหาค่าอัตราการลดทอนสัญญาณรบกวน และในการจำลองวงจรกรองสัญญาณรบกวนจะเป็นการจำลองการทำงานวงจรกรองเพื่อหาอัตราการลดทอนสัญญาณรบกวน แล้วนำมาเปรียบเทียบกับผลที่ได้จากการทดลองจริง โดยทดสอบเงื่อนไขว่าการออกแบบวงจรกรองสัญญาณรบกวนที่จุดเปลี่ยนความถี่เดียวกัน จะแสดงผลการทดสอบสัญญาณแม่เหล็กไฟฟ้าทางสายตัวนำของวงจรชุดคอนเวอร์เตอร์ขณะที่ไม่มีวงจรกรองสัญญาณรบกวน และในหัวข้อนี้แสดงผลการจำลองและทดสอบวงจรกรองสัญญาณรบกวนขณะที่มีวงจรกรองสัญญาณรบกวน โดยมีเงื่อนไข คือ วงจรกรองสัญญาณรบกวนของการพันทั้ง 3 แบบจะออกแบบที่จุดเปลี่ยนความถี่เดียวกันทั้งโหมคผลร่วมและโหมคผลต่าง

รูปที่ 6 แสดงวิธีการจำลองการทำงานของวงจรกรองสัญญาณรบกวนที่มีการพันขดลวดทั้ง 3 แบบ โดยการจำลองนั้นประกอบด้วย วงจรรีกมาเสียดรภาพอิมพีแดนซ์ (LISN) และวงจรกรองสัญญาณรบกวนที่มีการพันขดลวดทั้ง 3 แบบ



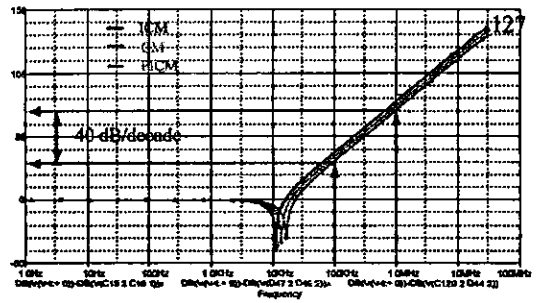
รูปที่ 6 จำลองการทำงานของวงจรกรองสัญญาณรบกวน โหมคผลทั้ง 3 โหมค

วงจรกรองสัญญาณรบกวนทางแม่เหล็กไฟฟ้าที่ใช้ทดลองจริง ประกอบด้วยวงจรกรองแม่เหล็กไฟฟ้าแบบ CM, ICM และ PICM แสดงในรูปที่ 7 เรียงลำดับจากซ้ายไปขวา

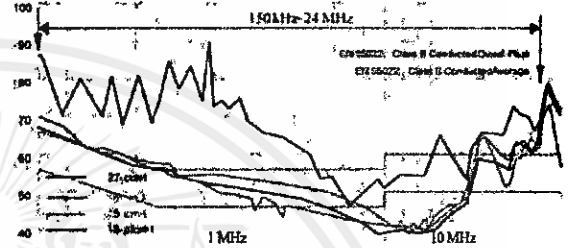


รูปที่ 7 วงจรกรองสัญญาณรบกวนแม่เหล็กไฟฟ้าของการพันทั้ง สาม แบบ

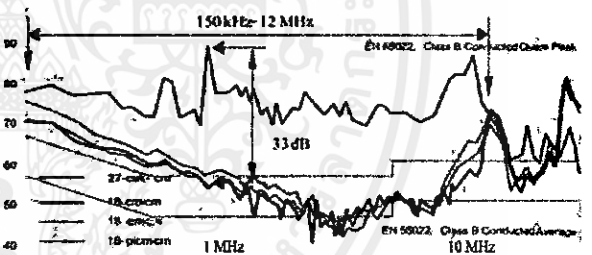
รูปที่ 8 แสดงการเปรียบเทียบอัตราการลดทอนสัญญาณรบกวนทั้ง 3 แบบการจำลอง และจากรูปมีค่าความชื้นเท่ากับ ทั้ง 3 แบบ การจำลองที่มีการพันแบบ CM, ICM และ PICM



รูปที่ 8 อัตราการลดทอนสัญญาณรบกวนทั้ง 3 แบบการจำลอง และในรูปที่ 9 แสดงเปรียบเทียบสัญญาณรบกวนโหมคผลรวม โดยเปรียบเทียบระหว่างก่อนใส่และหลังใส่ตัวกรองสัญญาณรบกวนทางแม่เหล็กไฟฟ้า

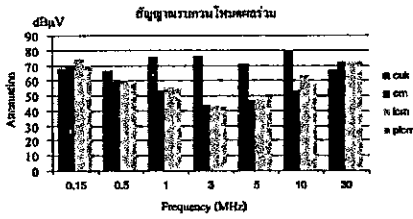


รูปที่ 9 เปรียบเทียบสัญญาณรบกวนโหมคผลรวม (Total) และในรูปที่ 10 - 11 แสดงเปรียบเทียบสัญญาณรบกวนโหมคผลร่วม (CM) และโหมคผลต่าง (DM) โดยเปรียบเทียบระหว่างก่อนใส่และหลังใส่ตัวกรองสัญญาณรบกวนทางแม่เหล็กไฟฟ้า

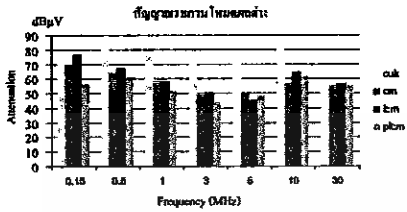


รูปที่ 10 เปรียบเทียบสัญญาณรบกวนโหมคผลร่วม (CM) และในรูปที่ 11 เปรียบเทียบสัญญาณรบกวนโหมคผลต่าง (DM) ผลการทดสอบวงจรชุดคอนเวอร์เตอร์ขณะที่มีวงจรกรองกับไม่มีวงจรกรองสัญญาณรบกวน แสดงผลของสัญญาณรบกวนทั้ง 3 โหมค คือ โหมคผลร่วม โหมคผลต่าง และโหมคผลรวม และจากตารางจะแสดงค่าสัญญาณรบกวนที่ความถี่ต่างๆ และสามารถพล็อตกราฟได้ดังในรูปที่ 12 - 14 แสดงการเปรียบเทียบสัญญาณรบกวนโหมคการทำงานต่างๆ ขณะที่มีการกรองกับไม่มีวงจรกรองสัญญาณรบกวน

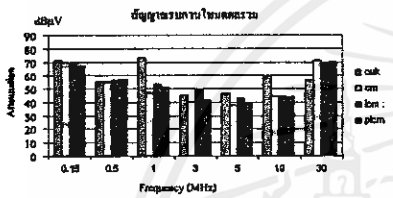
ผลการทดสอบวงจรชุดคอนเวอร์เตอร์ขณะที่มีวงจรกรองกับไม่มีวงจรกรองสัญญาณรบกวน แสดงผลของสัญญาณรบกวนทั้ง 3 โหมค คือ โหมคผลร่วม โหมคผลต่าง และโหมคผลรวม และจากตารางจะแสดงค่าสัญญาณรบกวนที่ความถี่ต่างๆ และสามารถพล็อตกราฟได้ดังในรูปที่ 12 - 14 แสดงการเปรียบเทียบสัญญาณรบกวนโหมคการทำงานต่างๆ ขณะที่มีการกรองกับไม่มีวงจรกรองสัญญาณรบกวน



รูปที่ 12 เปรียบเทียบสัญญาณรบกวนโหมดคลื่นร่วม (CM) ขณะมี วงจรกรองกับไม่มีวงจรกรอง



รูปที่ 13 เปรียบเทียบสัญญาณรบกวนโหมดผลต่าง (DM) ขณะมี วงจรกรองกับไม่มีวงจรกรอง



รูปที่ 14 เปรียบเทียบสัญญาณรบกวนโหมดผลรวม (Total) ขณะมี วงจรกรองกับไม่มีวงจรกรอง

จากรูปที่ 11 เป็นการเปรียบเทียบสัญญาณรบกวนโหมดคลื่นร่วมขณะมีวงจรกรองสัญญาณรบกวนกับไม่มีวงจรกรองสัญญาณรบกวน และจากการทดสอบพบว่าวงจรกรองสัญญาณรบกวนทั้ง 3 แบบสามารถลดทอนสัญญาณรบกวนได้มากในย่านความถี่ 1 MHz – 10 MHz ประมาณ 20 dB และจากรูปที่ 13 จะเป็นการเปรียบเทียบสัญญาณรบกวนโหมดผลต่างขณะมีวงจรกรองสัญญาณรบกวนกับไม่มีวงจรกรองสัญญาณรบกวน และผลจากการทดสอบแล้วพบว่าที่ความถี่ 500 kHz – 10 MHz สามารถลดทอนสัญญาณรบกวนได้มากถึง 31.7 dB สำหรับการพันแบบ PICM

จากรูปที่ 14 จะเป็นการเปรียบเทียบสัญญาณรบกวนโหมดผลรวมขณะมีวงจรกรองสัญญาณรบกวนกับไม่มีวงจรกรองสัญญาณรบกวน และผลจากการทดสอบพบว่าที่ความถี่ 1 MHz จะสามารถลดทอนสัญญาณรบกวนได้มากถึง 26 dB สำหรับการพันแบบ CM และน้อยที่สุด 19.6 dB สำหรับการพันแบบ ICM

4. สรุปผลการทดสอบและการวิเคราะห์ผลการทดสอบ

ผลการทดสอบเบื้องต้นชี้ว่าการออกแบบวงจรกรองสัญญาณรบกวนที่จุดเปลี่ยนความถี่เดียวกัน สามารถสรุปได้ว่าเมื่อพิจารณาโหมดคลื่นร่วม ที่จุดเปลี่ยนความถี่ที่ความถี่ 821 kHz การพันแบบ PICM สามารถลดทอนสัญญาณรบกวนได้มากที่สุด ถึง 33 dB และเมื่อพิจารณาโหมดผลต่าง ที่จุดเปลี่ยนความถี่ที่ความถี่ 224 kHz การพันแบบ CM สามารถลดทอนสัญญาณรบกวนได้มากที่สุด ถึง 32.7 dB

จากการทดสอบวงจรกรองสัญญาณรบกวนที่มีรูปแบบการพันตัวเหนี่ยวนำโหมดคลื่นร่วมและโหมดผลต่างที่แตกต่างกัน มีความสามารถในการลดทอนสัญญาณรบกวนในโหมดคลื่นร่วม โหมดผลต่าง และโหมด

ผลรวม ได้ใกล้เคียงกัน เนื่องจากการออกแบบวงจรกรองสัญญาณรบกวนออกแบบที่จุดเปลี่ยนความถี่เดียวกัน

จากการทดสอบวงจรกรองสัญญาณรบกวนทั้ง 3 แบบ เห็นว่าที่ความถี่สูงตั้งแต่ 10 MHz - 30 MHz ยังมีผลของสัญญาณรบกวนที่สูงกว่าเส้นขีดจำกัดมาตรฐานกำหนด เป็นผลมาจากค่าพารามิเตอร์แฝงของวงจรหรือ เป็นผลมาจากการวางตัวอุปกรณ์

จากการจำลองการทำงานของวงจรกรองสัญญาณรบกวนทั้ง 3 แบบ จะเห็นว่าค่าความชันและอัตราการลดทอนสัญญาณรบกวนโหมดผลรวมจะมีค่าเท่ากัน และเมื่อทำการเปรียบเทียบกับผลที่ได้จากการทดลองยังมีความแตกต่างกันมาก เนื่องจากจำลองการทำงานยังไม่ได้รวมผลของค่าพารามิเตอร์แฝงของวงจรกรองสัญญาณรบกวน และวงจรชุกคอนเวอร์เตอร์ที่นำมาทำการทดสอบ

เอกสารอ้างอิง

- [1] Fu-Yuan shih, Dan Y. chan, Yan-pei wu and Yie -tone Chen, "A Procedure for Designing EMI Filter for AC Line Applications", *IEEE Trans. Power Electron.*, vol. 11, No.1, January 1996.
- [2] Dongbin Zhang and Dan Y. Chen, "Non-intrinsic differential mode noise in switching power supplies" *IEEE Power Electronics Specialists Conf.*, 1998, pp. 1131-1133.
- [3] J. C. Fluke, Sr. Controlling Conducted Emissions by Design. New York : Van Nostrand Reinhold, c1991.
- [4] Ott, H.W., "Noise Reduction Techniques in Electronic Systems", John Wiley & Sons, 2nd edition, 1988.
- [5] S. Ye, W. Eberle and Y. F. Liu, "A Novel EMI Filter Design Method for Switching Power Supplies," *IEEE Transactions on Power Electronics*, Vol. 19, No. 6, pp. 1668-1678, November 2004.
- [6] Clayton R. Paul " Introduction to Electromagnetic Compatibility". John Wiley & Sons, Inc 1992



ศ.ดร. กียรติกาญจน์ สำเร็จการศึกษา ว.ศ.ม จาก มหาวิทยาลัยขอนแก่น (ไฟฟ้า) ปัจจุบันกำลังศึกษาต่อที่สถาบันเทคโนโลยีพระจอมเกล้าเจ้า



คุณทหารลาดกระบัง ปฏิวัติ บุญมา สำเร็จการศึกษา ว.ศ.ม จาก มหาวิทยาลัยเทคโนโลยีมหานคร (ไฟฟ้า) และ ว.ศ.ม จากสถาบันเทคโนโลยีพระจอมเกล้าเจ้าคุณทหารลาดกระบัง (ไฟฟ้า)



วีระชญ์ ชันเงิน สำเร็จการศึกษา ว.ศ.บ. และ ว.ศ.ม. (ไฟฟ้า) จาก สจล., Ph. D. (Electrical Engineering) จาก Imperial College, University of London, UK ปัจจุบันดำรงตำแหน่งรองศาสตราจารย์ ประจำภาควิชาวิศวกรรมไฟฟ้า สจล.



ECTI-CON 2008
THE 2008 ECTI INTERNATIONAL CONFERENCE

- | Conference at a Glance |
- | Message from General Chair |
- | ECTI-CON 2008 Committee |
- | Keynote Speaker |
- | Paper List |
- | Paper Search |
- | Viewer Download |
- | Sponsor |
- | Venue & Hotel Accommodation |
- | Khab & Tour |

IEEE Catalog Number: CFP0806E
ISBN 978-1-4244-2101-5
Library of Congress: 2008900560

Copyright © 2008 IEEE. Personal use of this noncommercial manuscript is permitted. All rights reserved. This manuscript is intended for personal use, not for redistribution. For more information on IEEE Press, please visit our website at www.ieee.org. All rights reserved. No part of this publication may be reproduced, stored in a retrieval system, or transmitted, in any form or by any means, without the prior written permission of IEEE.

พระจอมเกล้าเจ้าคุณ

เอกสารนี้เป็นเอกสารที่สงวนไว้สำหรับการใช้งานเพื่อการศึกษาเท่านั้น ไม่อนุญาตให้นำไปใช้ประโยชน์ด้านการค้า
ไม่ว่ากรณีใดๆทั้งสิ้น อีกทั้งห้ามมิให้คัดแปลงเนื้อหา และต้องอ้างอิงถึงเจ้าของเอกสารทุกครั้งที่มีการนำไปใช้

The Study of Input Impedance of Switched Mode Power Supply

K. Kiatgamjorn¹, P. Boonma², W. Khan-ngern¹

¹King Mongkut's Institute of Technology Ladkrabang (KMUTL),
Research Center for Communications and Information Technology (ReCCIT),
Faculty of Engineering, Bangkok, Thailand, E-mail: kkveerac@kmitl.ac.th

²Rajamangala University of Technology Suvarnabhumi, Faculty of Engineering,
Supanburi, Thailand, E-mail: patiwat_arse@hotmail.com

Abstract- This paper proposes the input impedance measurement technique of a switching mode power supply (SMPS) by the insertion loss approach. The insertion loss approach with the assumption condition is described. The common mode and the differential mode impedance are the key parameters which can be used to design the EMI filter effectively.

I. INTRODUCTION

The input impedance of the SMPS is essential in its power line electromagnetic interference (EMI) filter design, and when ignored, the system may not meet EMI regulation. To meet EMI regulation, the EMI filter is one of the most popular applied by industries to suppress EMI problems. According to, the EMI filter performance depends not only on itself, but the selection of the appropriate EMI filter components is also importance to designs EMI filter. The input impedance characteristic (Z_{in}) of the SMPS is a key parameter to design the EMI filter effectively [1]-[4]. However, it should be noted that the transfer function of the system is affected when the EMI filter is inserted into the system. Therefore, the stability issue may be occurred.

The next section describes the input impedance of the SMPS. The optimized operating condition is described. The test setup with SMPS as the equipment under test is presented. The common mode (CM) and differential mode (DM) impedance are focused and analyzed. The EMI measuring experiment shows the effectiveness of the EMI filter design to confirm the benefit of the predicted input impedance.

II. THE INPUT IMPEDANCE OF SMPS

The three wires system (line, neutral and ground) can be separated as common mode and differential mode operating shown in Figure 1. The impedance between the path of line-neutral terminals and the ground terminal is defined as a common mode input impedance. While the differential mode input

impedance is the impedance between line terminal and neutral terminal. The common mode input impedance and the differential mode input impedance diagrams of SMPS are shown in Fig. 2 (a) and (b), respectively.

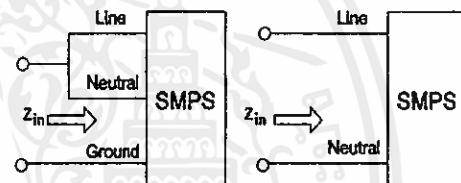


Figure 1. Definition of input impedance (a) common mode (b) differential mode.

The input impedance characteristic (Z_{in}) of the SMPS can be found out by insertion loss approach. The insertion loss is defined as a ratio of voltages across R_{LISN} before and after the filter element is inserted. The definition of insertion loss is expressed in equation (1).

$$IL = 20 \log \left(\frac{V_{LISN} \text{ without filter}}{V_{LISN} \text{ with filter}} \right) \quad (1)$$

Figures. 2-3 show the conducted emission model and deriving $|Z_{in}|$ by the insertion loss approach, respectively.

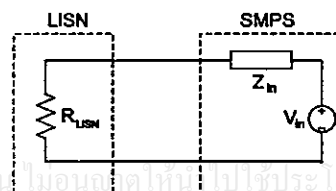


Figure 2. The conducted emission model

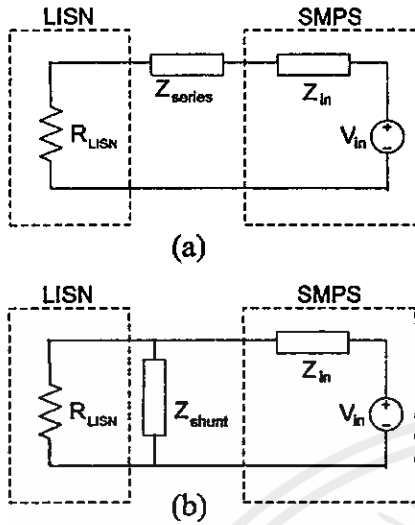


Figure 3. $|Z_{in}|$ for the insertion loss approach.

- (a) Z_{series} is inserted for CM input impedance measurement.
 (b) Z_{shunt} is inserted for DM input impedance measurement.

The insertion loss approach can be divided into two cases. In the first case, Z_{series} is added with the condition that $|Z_{in}| \gg R_{LISN}$ and $|Z_{series}| \gg |Z_{in}|$. This assumption uses only for measuring common mode input impedance as the following equation.

$$\begin{aligned}
 IL &= \frac{\frac{R_{LISN}}{R_{LISN} + Z_{in}} \times V_{in}}{\frac{R_{load}}{R_{LISN} + Z_{in} + Z_{series}} \times V_{in}} \\
 &= 1 + \frac{Z_{series}}{R_{LISN} + Z_{in}} \\
 &\approx 1 + \frac{Z_{series}}{Z_{in}}
 \end{aligned}$$

Since $|IL|$ is normally much greater than 1, then

$$|Z_{in}| \approx \frac{|Z_{series}|}{|IL|} \quad (2)$$

The second case, $|Z_{in}| \ll R_{LISN}$ assuming by added a shunt component with $|Z_{shunt}| \ll |Z_{in}|$, the insertion loss can be simplified as follows:

$$\begin{aligned}
 IL &= \frac{\frac{R_{LISN}}{R_{LISN} + Z_{in}} \times V_{in}}{\frac{R_{LISN} // Z_{shunt}}{R_{LISN} // Z_{shunt} + Z_{in}} \times V_{in}} \\
 &= 1 + \frac{R_{LISN} // Z_{in}}{Z_{shunt}} \\
 &\approx 1 + \frac{Z_{in}}{Z_{shunt}}
 \end{aligned}$$

It is similar to the first case $|Z_{in}|$ can be approximated by

$$|Z_{in}| \approx |Z_{shunt}| \times |IL| \quad (3)$$

III. TEST SETUP AND EXPERIMENTAL RESULTS

The equipment under test (E.U.T.) is selected as Cúk converter, input: 12.5 VDC, output 25 VDC, 0.5 A.

To measure the common mode input impedance of SMPS by the insertion loss approach, two common mode choke " Z_{series} " are added with two 50 Ω resistors. Equivalent resistors (R_{LISN}) of the LISN are paralleled. The common mode input impedance of SMPS is derived by equation (2).

For this experiment, three size of inductors use to calculate the common mode input impedance of Cúk converter. Figure 4 is shown the inductors



Figure 4. The inductors for determine the common mode input impedance of E.U.T.

It is similar to the case of the differential mode input impedance of SMPS adds the parallel " Z_{shunt} " to the SMPS. The Z_{shunt} is the series combination of a 1 Ω resistor and capacitors. The differential mode input impedance of SMPS is derived by equation (3).

Three size of capacitors use to calculate the differential mode input impedance of Cúk converter. Figure 5 is shown the capacitors

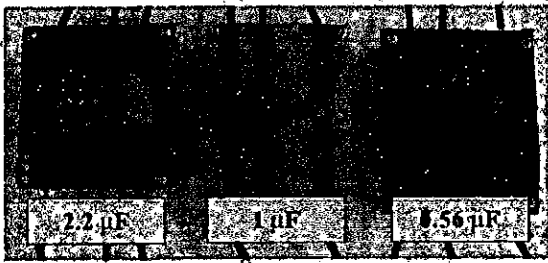


Figure 5. The capacitors for determine the differential mode input impedance of E.U.T.

The method to measure the input impedance uses the spectrum analyzer and the current probe. The input impedance of cuk converter measurement setup is shown in Figure. 6.

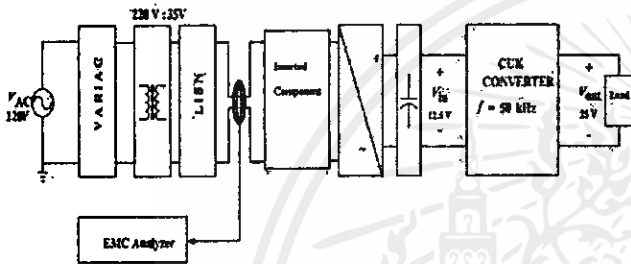
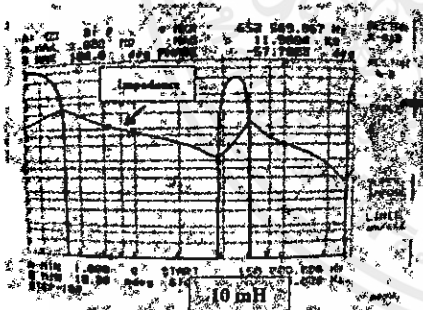
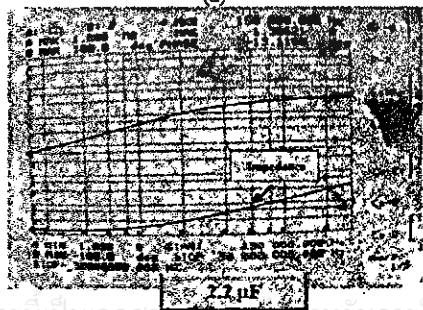


Figure 6. Test setup circuit

The impedance of the Z_{series} is shown in figure 7 (a). Figure 7 (b) shows the impedance and phase of the Z_{shunt} .



(a)

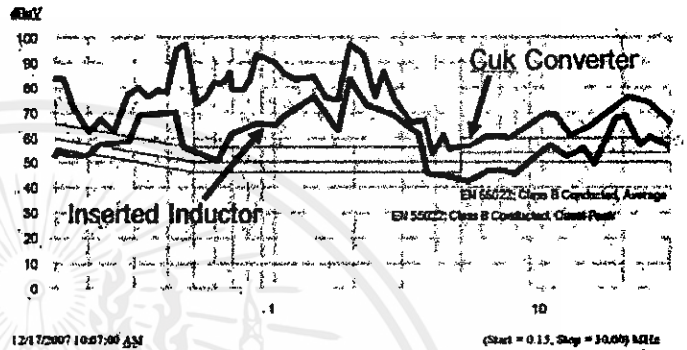


(b)

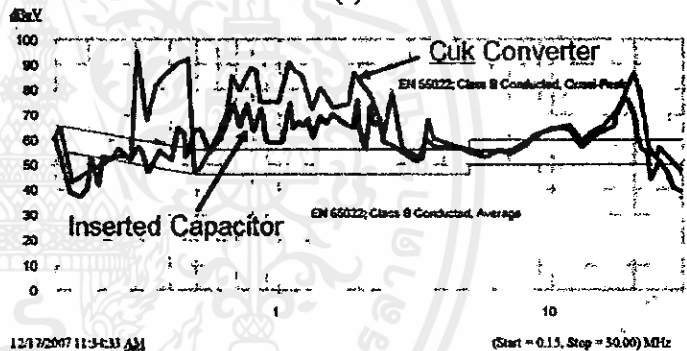
Figure 7 The impedance measurement from impedance analyzer

- (a) The impedance of Z_{series}
- (b) The impedance of Z_{shunt}

The insertion loss of must be known for calculate the input impedance of cuk converter. Determine the insertion loss from voltage at LISN before inserted inductor minus voltage at LISN after inserted inductor for each frequency. The noise spectrum is shown in figure 8 (a). And determine the insertion loss from voltage at LISN before inserted capacitor minus voltage at LISN after inserted capacitor for each frequency. The noise spectrum is shown in figure 8 (b).



(a)

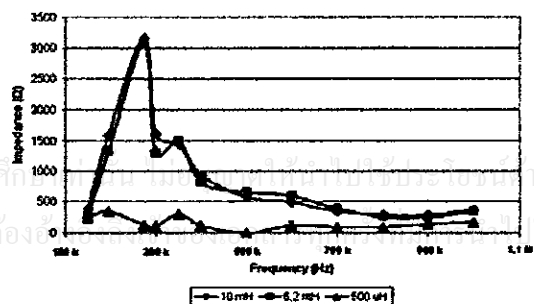


(b)

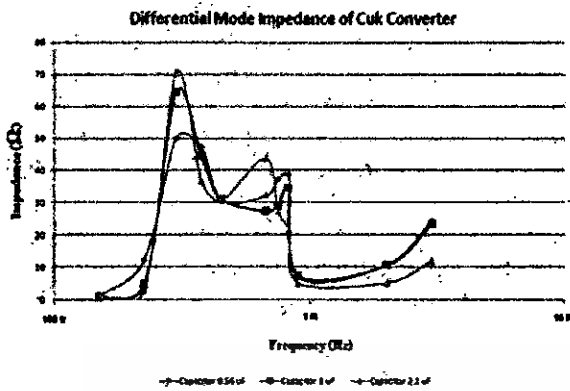
Figure 8. The noise spectrum for determine the insertion loss
 (a)The common mode noise spectrum of SMPS.
 (b)The differential mode noise spectrum of SMPS

The input impedance of SMPS can be calculated by the insertion loss approach from equation 2 and 3. The input impedance of SMPS is shown in figure 8 (a)-(b). Figure 8 (a) is shown the common mode input impedance of SMPS from 150 kHz – 30 MHz. Similarly, the differential mode input impedance of SMPS is shown in figure 8 (b).

Common Mode Input Impedance of Cuk converter



(a)



(b)
 Figure 9. The input impedance of cuk converter
 (a)The common mode input impedance of cuk converter.
 (b)The differential mode input impedance of cuk converter

The common mode input impedance of cuk converter is shown in 3 lines in figure 9(a). The 500 μH line shows the error calculation because the inductance of the inserted component is less than the input impedance of cuk converter.

In order to determine the common mode input impedance of cuk converter, the inductance of inserted component must be greater than the input impedance. If the inductance of inserted component less than input impedance, the insertion loss could not determined. (3)-(5)

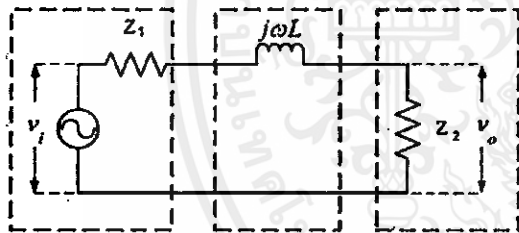


Figure 9. Insertion loss of common mode circuit

$$IL = 20 \log \left[1 + \frac{Z_{ind}}{Z_{sum}} \right] \quad (3)$$

$$Z_{sum} = Z_1 + Z_2 \quad (4)$$

$$Z_{ind} \gg Z_{sum} \quad (5)$$

To determine the differential mode input impedance of cuk converter, the capacitance of inserted component must be less than the input impedance. If the capacitance of inserted component greater than input impedance, the insertion loss could not determined. (6)-(8)

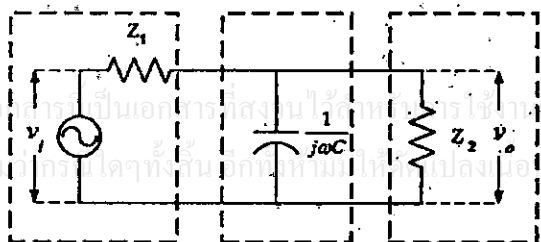


Figure 10. Insertion loss of differential mode circuit

$$IL = 20 \log \left[1 + \frac{Z_p}{Z_c} \right] \quad (6)$$

$$Z_p = Z_1 // Z_2 \quad (7)$$

$$Z_c \ll Z_p \quad (8)$$

After the input impedance of cuk converter is determined, The EMI filter can be designed.[5]

IV. CONCLUSION

The common mode and the differential mode input impedance of SMPS are the key parameters which can be used to design the EMI filter effectively. The insertion loss method is verified to be the simple and effective choice to measure the characteristic of the input impedance of SMPS. The phase of the input impedance can be found by Hilbert transform [6].

V. REFERENCES

- [1] Dan Y. Chen, "Measurement of Noise Source Impedance of Off-Line Converters," *IEEE Trans.Power Electron.*,vol. 15, Sep 2000, pp 820-825.
- [2] L.M. Schneider, "Noise source equivalent circuit model for off-line converters and its use in input filter design," in Proc.IEEE EMC'83 Symposium, 1983, pp. 167-175.
- [3] K.Y. See, J Deng, "Measurement of noise source impedance of SMPS using a two probes approach," *IEEE Trans.Power Electron.*,vol. 19, Issue 3, May 2004, pp 862-868.
- [4] M. Nave, *Power Line Filter Design for Switched Mode Power Supplies*. New York: Van Nostrand.1991, pp. 102-110.
- [5] Sheng Ye, Wilson Eberle and Yan-Fei Liu "A Novel EMI Filter Design Method for Switching Power Supplies," *IEEE Trans.Power Electron.*,vol. 19, Nov 2004, pp 1668-1678.
- [6] F.M. Tesche, "On the use of the Hilbert transform for processing measure CW data," *IEEE Trans. Electromag. Compat.*, vol.34, Aug 1992, pp 259-266.

ประวัติผู้เขียน

นายคทาวุธ เกียรติกำจร เกิดเมื่อวันที่ 6 มีนาคม พ.ศ. 2525 ที่จังหวัดสระบุรี สำเร็จ การศึกษาระดับปริญญาตรี หลักสูตรวิศวกรรมศาสตรบัณฑิต สาขาวิศวกรรมไฟฟ้า ภาควิชา วิศวกรรมไฟฟ้า คณะวิศวกรรมศาสตร์ มหาวิทยาลัยขอนแก่น ในปีการศึกษา 2548 และเข้าศึกษา ต่อในระดับปริญญาโท หลักสูตรวิศวกรรมศาสตรมหาบัณฑิต สาขาวิศวกรรมไฟฟ้า ภาควิชา วิศวกรรมไฟฟ้า คณะวิศวกรรมศาสตร์ สถาบันเทคโนโลยีพระจอมเกล้าเจ้าคุณทหารลาดกระบัง ในปีการศึกษา 2548

ในปี พ.ศ. 2548 - 2549 ได้เข้าร่วมเป็นคณะทำงาน ในตำแหน่ง ผู้ช่วยนักวิจัย โครงการ ศึกษาภาพรวมและจัดทำเส้นทางเทคโนโลยีของชาติ ชุดโครงการวิจัยแห่งชาติ ด้านการพัฒนา คอมพิวเตอร์ซอฟต์แวร์และฮาร์ดแวร์ โดยมี รศ. ดร. วีระเชษฐ ชันเงิน เป็นหัวหน้าโครงการ ได้รับ ทุนอุดหนุนการวิจัยเพื่อพัฒนาเศรษฐกิจและสังคม ด้านวิทยาศาสตร์และเทคโนโลยี จาก สำนักงานคณะกรรมการวิจัยแห่งชาติ

ปี พ.ศ. 2549 - 2551 ได้เข้าร่วมเป็นคณะทำงาน ในตำแหน่ง ผู้ช่วยนักวิจัย โครงการ พัฒนาบุคลากรของการไฟฟ้าส่วนภูมิภาค ให้เป็นผู้เชี่ยวชาญด้านความเข้ากันได้ทางแม่เหล็กไฟฟ้า โดยมี รศ. ดร. วีระเชษฐ ชันเงิน เป็นหัวหน้าโครงการ ได้รับทุนอุดหนุนการวิจัยจากการไฟฟ้า ส่วนภูมิภาค

มีความสนใจในด้านความเข้ากันได้ทางแม่เหล็กไฟฟ้า, การศึกษาอิมพีแดนซ์ภายในของ แหล่งจ่ายไฟแบบสวิตซ์ซิง และวงจรกรองสัญญาณรบกวนแม่เหล็กไฟฟ้าทางสายตัวนำ และมี บทความที่ได้รับการตีพิมพ์ที่เกี่ยวข้องกับงานวิจัยทั้งหมด 3 บทความ

1. The Comparison of the Input Impedance Measurement of SMPS between the Resonance Method and the Insertion Loss Method
2. การวิเคราะห์เทคนิคการออกแบบสำหรับวงจรกรองความถี่ในโหมดผลรวม และ โหมดผลต่าง
3. The Study of Input Impedance of Switched Mode Power Supply